

Absence of a four-body Efimov effect in the $2+2$ fermionic problem

Shimpei Endo^{1,*} and Yvan Castin^{1,†}

¹*Laboratoire Kastler Brossel, ENS-PSL, CNRS, UPMC-Sorbonne Universités, Collège de France, Paris, France*

(Dated: November 7, 2023)

In the free three-dimensional space, we consider a pair of identical \uparrow fermions of some species or in some internal state, and a pair of identical \downarrow fermions of another species or in another state. There is a resonant s -wave interaction (that is of zero range and infinite scattering length) between fermions in different pairs, and no interaction within the same pair. We study whether this $2+2$ fermionic system can exhibit (as the $3+1$ fermionic system) a four-body Efimov effect in the absence of three-body Efimov effect, that is the mass ratio α between \uparrow and \downarrow fermions and its inverse are both smaller than $13.6069\dots$. For this purpose, we investigate scale invariant zero-energy solutions of the four-body Schrödinger equation, that is positively homogeneous functions of the coordinates of degree $s - 7/2$, where s is a generalized Efimov exponent that becomes purely imaginary in the presence of a four-body Efimov effect. Using rotational invariance in momentum space, it is found that the allowed values of s are such that $M(s)$ has a zero eigenvalue; here the operator $M(s)$, that depends on the total angular momentum ℓ , acts on functions of two real variables (the cosine of the angle between two wave vectors and the logarithm of the ratio of their moduli), and we write it explicitly in terms of an integral matrix kernel. We have performed a spectral analysis of $M(s)$, analytical and for an arbitrary imaginary s for the continuous spectrum, numerical and limited to $s = 0$ and $\ell \leq 12$ for the discrete spectrum. We conclude that no eigenvalue of $M(0)$ crosses zero over the mass ratio interval $\alpha \in [1, 13.6069\dots]$, even if, in the parity sector $(-1)^\ell$, the continuous spectrum of $M(s)$ has everywhere a zero lower border. As a consequence, there is no possibility of a four-body Efimov effect for the $2+2$ fermions.

We also enunciated a conjecture for the fourth virial coefficient of the unitary spin-1/2 Fermi gas, inspired from the known analytical form of the third cluster coefficient and involving the integral over the imaginary s -axis of s times the logarithmic derivative of the determinant of $M(s)$ summed over all angular momenta. The conjectured value is in contradiction with the experimental results.

PACS numbers: 67.85.-d, 21.45.-v, 34.50.-s

I. INTRODUCTION AND MOTIVATION

In three-dimensional cold atomic gases, thanks to magnetic Feshbach resonances, it is now possible to induce resonant s -wave interactions between the particles [1]. This means that the s -wave scattering length a is in absolute value much larger than the range (or the effective range) of the interaction. Essentially, one can assume that $1/a = 0$, and since the de Broglie atomic wavelength is also much larger than the range of the interaction, one can replace the interactions by scaling invariant Wigner-Bethe-Peierls two-body contact conditions on the wavefunction [2]: one realizes the long sought unitary limit.

Perhaps the most striking phenomenon that can take place in that regime is the Efimov effect, predicted for three particles with appropriate statistics and mass ratios [3]. It corresponds to the occurrence of an infinite number of bound states, with an asymptotically geometric spectrum close to the zero-energy accumulation point. The geometric part of the spectrum is characterized by a ratio, predicted by Efimov's zero-range theory, and a global energy scale that depends on the microscopic details of the interaction. The mere existence of such an

energy scale forces us to supplement the two-body contact conditions by three-body ones, that involve a length scale, the so-called three-body parameter, and that break the scale invariance at the three-body level. It is at this cost that the zero-range model becomes well defined and leads to a self-adjoint Hamiltonian. The Efimov effect is now observed experimentally with cold atoms [4], which gives access to the value of the three-body parameter [5].

A natural question is to know whether or not a four-body Efimov effect is possible [6, 7], leading to an infinite, asymptotically geometric, spectrum of tetramers, with an energy ratio predicted by a zero-range theory and a global energy scale fixed by a four-body parameter appearing in four-body contact conditions. It is now understood that a prerequisite to the four-body Efimov effect is the absence of three-body Efimov effect: it is indeed expected that the introduction of three-body contact conditions (in terms of the three-body parameter) imposed by the three-body Efimov effect is sufficient to also render the four-body problem well defined, that is without the need for a four-body parameter; as predicted in reference [6], no geometric sequence of tetramer states can then be found but, as shown numerically for four bosons [8], sequences of four-body complex energy resonances are expected in general, with the same geometric ratio as the trimer Efimov spectrum (see [9, 10] for early studies not accessing the imaginary part of the energy). This prerequisite rules out systems with more than one

*Electronic address: shimpei.endo@lkb.ens.fr

†Electronic address: yvan.castin@lkb.ens.fr

boson [3] as possible candidates for a four-body Efimov effect, and suggests to use fermions to counterbalance the Efimov effect by the Pauli exclusion principle, at least in three dimensions (what happens in lower dimensions or with resonant interactions in other channels than the s -wave is discussed in [11, 12]).

Consider then the so-called $p + q$ fermionic problem: p identical fermions of the same species or spin state resonantly interact in free space with q identical fermions of another species or spin state. It is assumed that there is no interaction between the identical fermions, since they cannot scatter in the s wave. It is convenient to adopt a pseudo-spin notation, with \uparrow for the first species and \downarrow for the second. The two species have in general different masses m_{\uparrow} and m_{\downarrow} , and the crucial idea is to use their mass ratio as an adjustable parameter to search for the four-body Efimov effect without triggering the three-body one.

The $3+1$ or $\uparrow\uparrow\downarrow\downarrow$ resonant fermionic problem was investigated in reference [13]. A four-body Efimov effect was predicted for a mass ratio $13.384 < m_{\uparrow}/m_{\downarrow} < 13.6069\dots$. Beyond $13.6069\dots$ the three-body Efimov effect sets in as shown in [3, 14, 15], which blocks the four-body Efimov effect as discussed above: apart from a finite number of tetramer states, one expects an infinite number of four-body resonances with the same geometric ratio as for the $2+1$ problem.

The main motivation of the present work is to determine the presence or the absence of a four-body Efimov effect in the $2+2$ or $\uparrow\uparrow\downarrow\downarrow$ fermionic problem. To our knowledge, no general and rigorous answer was given to this problem. One may think attacking it with the Born-Oppenheimer approximation. We indeed expect (as for the three-body case) that the only possibility for a four-body Efimov effect is to have a large mass imbalance between the two species, for example the \uparrow fermions are much heavier than the \downarrow ones. It is found that, in presence of two \uparrow fermions at fixed positions, there is a *single* bound state for the \downarrow particle, which creates an effective $\propto -\hbar^2/(m_{\downarrow}r^2)$ attraction between the \uparrow fermions. For a large enough $m_{\uparrow}/m_{\downarrow}$ mass ratio, this indeed beats the centrifugal barrier $\propto \hbar^2/(m_{\uparrow}r^2)$ between the \uparrow particles (they are fermions and approach each other with a non-zero angular momentum), which qualitatively explains the occurrence of a three-body Efimov effect in the $2+1$ problem, as pointed out in 1973 by Efimov [3]. However, as there is a *single* bonding orbital, one cannot put a *second* \downarrow fermion in that orbital, but one can at best put one in the ground, zero-energy scattering state, which has two consequences: (i) the Born-Oppenheimer attractive potential between the \uparrow particles is not lowered by the second \downarrow fermion, so no four-body Efimov effect is predicted at a mass ratio strictly below the three-body Efimov effect threshold, and (ii) as emphasized in [16], the second \downarrow fermion, being in a zero-energy eigenstate, does not have a fast motion as compared to the one of the heavy particles, which sheds doubts on the validity of the Born-Oppenheimer approximation. Alter-

natively, one may expect that this $2+2$ problem was already solved numerically in the literature; however no convincingly dense coverage of the mass ratio interval between 1 and $13.6069\dots$ seems to be available in the numerics [17] considering the narrowness of the above mentioned mass interval. To obtain a firm answer to the question, we generalize the method of reference [13, 18], deriving from the zero-range model momentum space integral equations for the $2+2$ fermionic problem at zero energy (see also the most general formulation of reference [19]), and using rotational symmetry and scale invariance to reduce them to a numerically tractable form.

Another motivation is to pave the way for the calculation of the fourth virial coefficient of a two-component unitary Fermi gas: this would make an interesting bridge between few-body and many-body physics. For a unit mass ratio $m_{\uparrow}/m_{\downarrow} = 1$, the value of this virial coefficient was already obtained experimentally from a measurement of the equation of state of a gas of ultracold atoms [20, 21]. On the theory side, there exist two main techniques. First, the diagrammatic technique, used exactly (all diagrams are kept) for the third virial coefficient [22, 23], and approximately (only some diagrams are kept, those relevant in the perturbative regime of a large effective range or a small scattering length) for the fourth virial coefficient [24] leading to a value different from but reasonably close to the experimental value. Second, the harmonic regulator technique [25], used with success for the third virial coefficient [26–29], that requires to determine the spectrum of up to four particles in an isotropic harmonic trap. A first, brute force numerical solution of this trapped four-body problem [30] was not able to recover even the sign of the experimental value. In a more analytical way, this spectrum can be deduced from the solutions of the zero-energy free space problem [31, 32], due to the $SO(2, 1)$ dynamical symmetry of the unitary Fermi gas [32–34], so that the four-body integral equations written here may also be useful for the solution of the virial problem.

Our article is organized as follows. In section II we derive the zero-energy momentum-space integral equations in general form. In section III we successively use the rotational invariance, the scale invariance and the parity invariance to put the integral equations in a maximally reduced form. This reduced form, written in section IV A, exactly expresses the fact that some operator M , depending on the angular momentum ℓ and the scaling exponent s , has a zero eigenvalue, which motivates its spectral analysis; it allows to show that two components of the continuous spectrum of M can be expressed exactly in terms of the Efimov transcendental functions appearing in the $\uparrow\uparrow\downarrow\downarrow$ and $\uparrow\downarrow\downarrow\uparrow$ three-body problems (see section IV B) and that there is a third, unexpected continuum due to a term with no equivalent in the $3+1$ problem (see section IV C). The question of the existence of the four-body Efimov effect in the $2+2$ fermionic problem is the subject of section V, whereas the secondary motivation of this work, i.e. the fourth virial coefficient of

the spin 1/2 unitary Fermi gas, is relegated to the Appendix B, where its expression in terms of the operator M is conjectured from a transposition of the known analytic expression of the third virial coefficient [28, 29], and the conjectured value is compared to the experimental [20, 21] and theoretical [24, 30] values. We conclude in section VI.

II. DERIVATION OF THE GENERAL FOUR-BODY INTEGRAL EQUATIONS

Particles 1 and 2, of positions \mathbf{r}_1 and \mathbf{r}_2 , belong to species \uparrow . Particles 3 and 4, of positions \mathbf{r}_3 and \mathbf{r}_4 , belong to species \downarrow . The four-body wavefunction ψ is subjected to the usual Wigner-Bethe-Peierls contact conditions, for a zero-range interaction of s -wave scattering length a between opposite-spin particles. For all $i \in \{1, 2\}$ and all $j \in \{3, 4\}$, when the distance r_{ij} between particles i and j tends to zero, at fixed position $\mathbf{R}_{ij} = (m_\uparrow \mathbf{r}_i + m_\downarrow \mathbf{r}_j)/(m_\uparrow + m_\downarrow)$ of their center of mass (different from the positions of the remaining two particles), one imposes

$$\begin{aligned} \psi_{\uparrow\uparrow\downarrow\downarrow}(\mathbf{r}_1, \mathbf{r}_2, \mathbf{r}_3, \mathbf{r}_4) &\underset{r_{ij} \rightarrow 0}{=} \left(\frac{1}{r_{ij}} - \frac{1}{a} \right) \frac{\mu_{\uparrow\downarrow}}{2\pi\hbar^2} \\ &\times \mathcal{A}_{ij}((\mathbf{r}_k - \mathbf{R}_{ij})_{k \neq i,j}) + O(r_{ij}) \end{aligned} \quad (1)$$

where the form of the regular part \mathcal{A}_{ij} supposes that the center of mass of the four particles is at rest, and where $\mu_{\uparrow\downarrow} = m_\uparrow m_\downarrow / (m_\uparrow + m_\downarrow)$ is the reduced mass of two opposite-spin particles. Due to the fermionic antisymmetry, the regular parts are not independent functions:

$$\mathcal{A}_{13} = \mathcal{A}_{24} = -\mathcal{A}_{14} = -\mathcal{A}_{23} \equiv \mathcal{A} \quad (2)$$

Schrödinger's equation at zero eigenenergy $E = 0$, written in the language of distributions, is then

$$\begin{aligned} H\psi_{\uparrow\uparrow\downarrow\downarrow} &= \mathcal{A}(\mathbf{r}_2 - \mathbf{R}_{13}, \mathbf{r}_4 - \mathbf{R}_{13})\delta(\mathbf{r}_1 - \mathbf{r}_3) \\ &- \mathcal{A}(\mathbf{r}_2 - \mathbf{R}_{14}, \mathbf{r}_3 - \mathbf{R}_{14})\delta(\mathbf{r}_1 - \mathbf{r}_4) \\ &- \mathcal{A}(\mathbf{r}_1 - \mathbf{R}_{23}, \mathbf{r}_4 - \mathbf{R}_{23})\delta(\mathbf{r}_2 - \mathbf{r}_3) \\ &+ \mathcal{A}(\mathbf{r}_1 - \mathbf{R}_{24}, \mathbf{r}_3 - \mathbf{R}_{24})\delta(\mathbf{r}_2 - \mathbf{r}_4) \end{aligned} \quad (3)$$

with the kinetic energy Hamiltonian

$$H = \sum_{n=1}^4 -\frac{\hbar^2}{2m_n} \Delta_{\mathbf{r}_n} \quad (4)$$

and $\delta(\mathbf{r})$ is the Dirac distribution in three dimensions, stemming from the identity $\Delta_{\mathbf{r}}(1/r) = -4\pi\delta(\mathbf{r})$.

We now go to momentum space and we take the Fourier transform of Schrödinger's equation. In the left-hand side, each Laplace operator gives rise to a factor $-\mathbf{k}_n^2$, where \mathbf{k}_n is the wave-vector of particle number n . In the right-hand side, one obtains for example for the

first term:

$$\begin{aligned} \int \prod_{n=1}^4 d^3 r_n e^{-i \sum_{n=1}^4 \mathbf{k}_n \cdot \mathbf{r}_n} \mathcal{A}(\mathbf{r}_2 - \mathbf{R}_{13}, \mathbf{r}_4 - \mathbf{R}_{13}) \delta(\mathbf{r}_1 - \mathbf{r}_3) \\ = (2\pi)^3 \tilde{\mathcal{A}}(\mathbf{k}_2, \mathbf{k}_4) \delta\left(\sum_{n=1}^4 \mathbf{k}_n\right) \end{aligned} \quad (5)$$

where the tilde indicates the Fourier transform. Introducing the function $D \equiv (2\pi)^3 \tilde{\mathcal{A}}$, we obtain the four-body momentum space ansatz generalizing to the 2+2 fermionic problem the one of the 3+1 fermionic problem [13, 18]:

$$\begin{aligned} \tilde{\psi}_{\uparrow\uparrow\downarrow\downarrow}(\mathbf{k}_1, \mathbf{k}_2, \mathbf{k}_3, \mathbf{k}_4) &= \frac{\delta\left(\sum_{n=1}^4 \mathbf{k}_n\right)}{\sum_{n=1}^4 \frac{\hbar^2 k_n^2}{2m_n}} [D(\mathbf{k}_2, \mathbf{k}_4) \\ &- D(\mathbf{k}_2, \mathbf{k}_3) - D(\mathbf{k}_1, \mathbf{k}_4) + D(\mathbf{k}_1, \mathbf{k}_3)] \end{aligned} \quad (6)$$

The ansatz obeys fermionic antisymmetry and Schrödinger's equation, not yet the contact condition (1), that it suffices to implement for $(i, j) = (1, 3)$. One thus takes the inverse Fourier transform of $\tilde{\psi}$ at $(\mathbf{r}_1, \mathbf{r}_2, \mathbf{r}_3, \mathbf{r}_4)$, with the parametrization:

$$\mathbf{r}_1 = \mathbf{R}_{13} + \frac{m_3}{m_1 + m_3} \mathbf{r}_{13} \quad (7)$$

$$\mathbf{r}_3 = \mathbf{R}_{13} - \frac{m_1}{m_1 + m_3} \mathbf{r}_{13} \quad (8)$$

Only the contribution ψ_{24} of $D(\mathbf{k}_2, \mathbf{k}_4)$ to ψ diverges for $r_{13} \rightarrow 0$; in that inverse Fourier transform, we then take $\mathbf{K}_{13} = \mathbf{k}_1 + \mathbf{k}_3$, $\mathbf{k}_{13} = \mu_{13}(\mathbf{k}_1/m_1 - \mathbf{k}_3/m_3)$ and $\mathbf{k}_2, \mathbf{k}_4$ as integration variables (clearly $\mu_{13} = \mu_{\uparrow\downarrow}$), so that $\mathbf{k}_1 \cdot \mathbf{r}_1 + \mathbf{k}_3 \cdot \mathbf{r}_3 = \mathbf{K}_{13} \cdot \mathbf{R}_{13} + \mathbf{k}_{13} \cdot \mathbf{r}_{13}$ and $\frac{\hbar^2 k_1^2}{2m_1} + \frac{\hbar^2 k_3^2}{2m_3} = \frac{\hbar^2 k_{13}^2}{2\mu_{13}} + \frac{\hbar^2 K_{13}^2}{2(m_1 + m_3)}$; integration over \mathbf{K}_{13} is straightforward, due to the momentum conservation, and integration over \mathbf{k}_{13} also can be done using

$$u(\mathbf{r}) = \int \frac{d^3 k_{13}}{(2\pi)^3} \frac{e^{i\mathbf{k}_{13} \cdot \mathbf{r}}}{k_{13}^2 + q_{13}^2} = \frac{e^{-q_{13}r}}{4\pi r} \quad (9)$$

One obtains

$$\begin{aligned} \psi_{24}(\mathbf{r}_1, \mathbf{r}_2, \mathbf{r}_3, \mathbf{r}_4) &= \int \frac{d^3 k_2 d^3 k_4}{(2\pi)^9} \frac{2\mu_{13}}{\hbar^2} u(r_{13}) \\ &\times e^{i[\mathbf{k}_2 \cdot (\mathbf{r}_2 - \mathbf{R}_{13}) + \mathbf{k}_4 \cdot (\mathbf{r}_4 - \mathbf{R}_{13})]} D(\mathbf{k}_2, \mathbf{k}_4) \end{aligned} \quad (10)$$

with $q_{13} \geq 0$ such that

$$\frac{\hbar^2 q_{13}^2}{2\mu_{13}} = \frac{\hbar^2 (\mathbf{k}_2 + \mathbf{k}_4)^2}{2(m_1 + m_3)} + \frac{\hbar^2 k_2^2}{2m_2} + \frac{\hbar^2 k_4^2}{2m_4} \quad (11)$$

Taking $r_{13} \rightarrow 0$ in ψ_{24} is then elementary. In the contribution to ψ of $D(\mathbf{k}_2, \mathbf{k}_3)$, $D(\mathbf{k}_1, \mathbf{k}_4)$ and $D(\mathbf{k}_1, \mathbf{k}_3)$,

noted as $\psi_{\neq 24}$, one can directly take $\mathbf{r}_{13} = \mathbf{0}$. Thanks to momentum conservation one can replace $\mathbf{k}_1 + \mathbf{k}_3$ by $-(\mathbf{k}_2 + \mathbf{k}_4)$ within the position-dependent phase factor, so that the positions $\mathbf{r}_2 - \mathbf{R}_{13}$ and $\mathbf{r}_4 - \mathbf{R}_{13}$ appear as in Eq. (10):

$$\begin{aligned} \psi_{\neq 24}(\mathbf{r}_1 = \mathbf{R}_{13}, \mathbf{r}_2, \mathbf{r}_3 = \mathbf{R}_{13}, \mathbf{r}_4) = & \\ & \int \frac{d^3 k_2 d^3 k_4}{(2\pi)^9} e^{i[\mathbf{k}_2 \cdot (\mathbf{r}_2 - \mathbf{R}_{13}) + \mathbf{k}_4 \cdot (\mathbf{r}_4 - \mathbf{R}_{13})]} \int \frac{d^3 k_1 d^3 k_3}{(2\pi)^3} \\ & \delta \left(\sum_{n=1}^4 \mathbf{k}_n \right) [-D(\mathbf{k}_2, \mathbf{k}_3) - D(\mathbf{k}_1, \mathbf{k}_4) + D(\mathbf{k}_1, \mathbf{k}_3)] \quad (12) \\ & \frac{\sum_{n=1}^4 \hbar^2 k_n^2}{\sum_{n=1}^4 2m_n} \end{aligned}$$

Finally the contact condition at the unitary limit, that is for $1/a = 0$, leads to the following integral equation for D :

$$\begin{aligned} 0 = & \frac{\mu_{\uparrow\downarrow}^{3/2}}{2\pi\hbar^2} \left[\frac{(\mathbf{k}_2 + \mathbf{k}_4)^2}{m_{\uparrow} + m_{\downarrow}} + \frac{k_2^2}{m_{\uparrow}} + \frac{k_4^2}{m_{\downarrow}} \right]^{1/2} D(\mathbf{k}_2, \mathbf{k}_4) \\ & + \int \frac{d^3 k_1 d^3 k_3}{(2\pi)^3} \frac{\delta \left(\sum_{n=1}^4 \mathbf{k}_n \right)}{\sum_{n=1}^4 \frac{\hbar^2 k_n^2}{2m_n}} [D(\mathbf{k}_2, \mathbf{k}_3) + D(\mathbf{k}_1, \mathbf{k}_4) - D(\mathbf{k}_1, \mathbf{k}_3)] \quad (13) \end{aligned}$$

where the first term is simply $\frac{q_{13}\mu_{13}}{2\pi\hbar^2} D(\mathbf{k}_2, \mathbf{k}_4)$. Contrarily to the $3+1$ fermionic case [13, 18], D is not subjected to any condition of exchange symmetry.

III. TAKING ADVANTAGE OF SYMMETRIES

A. Overview

The unknown function $D(\mathbf{k}_2, \mathbf{k}_4)$ in the integral equation (13) depends on six real variables. This is already a strong reduction, as compared to the twelve real variables of the original four-body wavefunction, but still this makes a numerical solution challenging.

Fortunately one can use rotational invariance as in section III B: the unknown function D can be considered for example as being the $m_z = 0$ component of a spinor of angular momentum ℓ . Then it is known how the various $2\ell + 1$ components of the spinor transform under an arbitrary common rotation of \mathbf{k}_2 and \mathbf{k}_4 , in terms of rotation matrices having spherical harmonics as matrix elements, so that it suffices to know the value of the $2\ell + 1$ component of the spinor in the particular configuration where vector \mathbf{k}_2 points along x axis in the positive direction and \mathbf{k}_4 lies in the xy upper half-plane $y \geq 0$, at an angle $\theta_{24} \in [0, \pi]$ with respect to \mathbf{k}_2 . As this particular configuration is characterized by the cosine of the angle

θ_{24} and the two moduli k_2 and k_4 , the unknown function $D(\mathbf{k}_2, \mathbf{k}_4)$ can be represented in terms of $2\ell + 1$ unknown functions $f_{m_z}^{(\ell)}$ of these three real variables [18]:

$$\begin{aligned} D(\mathbf{k}_2, \mathbf{k}_4) = & \sum_{m_z=-\ell}^{\ell} [Y_{\ell}^{m_z}(\mathbf{e}_2 \cdot \mathbf{e}_z, \mathbf{e}_{4\perp 2} \cdot \mathbf{e}_z, \mathbf{e}_{24} \cdot \mathbf{e}_z)]^* \\ & \times f_{m_z}^{(\ell)}(k_2, k_4, u_{24}) \quad (14) \end{aligned}$$

In this expression we have introduced the unit vectors

$$\mathbf{e}_2 = \frac{\mathbf{k}_2}{k_2} \quad (15)$$

$$\mathbf{e}_{4\perp 2} = \frac{1}{v_{24}} \left(\frac{\mathbf{k}_4}{k_4} - u_{24} \mathbf{e}_2 \right) \quad (16)$$

$$\mathbf{e}_{24} = \frac{\mathbf{k}_2 \wedge \mathbf{k}_4}{|\mathbf{k}_2 \wedge \mathbf{k}_4|} \quad (17)$$

Here $\theta_{24} \in [0, \pi]$ is the angle between \mathbf{k}_2 and \mathbf{k}_4 , and the notations

$$u_{24} \equiv \cos \theta_{24} \text{ and } v_{24} \equiv \sin \theta_{24} \quad (18)$$

will be used throughout the paper. It is apparent that $\mathbf{e}_{4\perp 2}$ is obtained by projecting $\mathbf{e}_4 = \mathbf{k}_4/k_4$ orthogonally to \mathbf{e}_2 and by renormalizing the result to unity. Then $(\mathbf{e}_2, \mathbf{e}_{4\perp 2}, \mathbf{e}_{24})$ forms a direct orthonormal basis. In that basis, an arbitrary (unit) vector \mathbf{n} has uniquely defined spherical coordinates, that is polar angle $\theta_{\mathbf{n}} \in [0, \pi]$ with respect to axis \mathbf{e}_{24} and azimuthal angle $\phi_{\mathbf{n}} \in [0, 2\pi]$ in the $\mathbf{e}_2 - \mathbf{e}_{4\perp 2}$ plane with respect to axis \mathbf{e}_2 . Then

$$Y_{\ell}^{m_z}(\mathbf{e}_2 \cdot \mathbf{n}, \mathbf{e}_{4\perp 2} \cdot \mathbf{n}, \mathbf{e}_{24} \cdot \mathbf{n}) \equiv Y_{\ell}^{m_z}(\theta_{\mathbf{n}}, \phi_{\mathbf{n}}) \quad (19)$$

where the right-hand side is the standard notation for the spherical harmonics [35]. Integral equations can then be obtained for the $f_{m_z}^{(\ell)}$, see section III B.

For an infinite s -wave scattering length the Wigner-Bethe-Peierls contact conditions (1) are scale invariant. As the integral equation (13) was further specialized to the zero energy case, its solution can be taken as scale invariant, which allows one to eliminate one more variable [13]:

$$\begin{aligned} f_{m_z}^{(\ell)}(k_2, k_4, u_{24}) = & (k_2^2 + k_4^2)^{-(s+7/2)/2} (\text{ch } x)^{s+3/2} \\ & \times e^{im_z \theta_{24}/2} \Phi_{m_z}^{(\ell)}(x, u_{24}) \quad (20) \end{aligned}$$

with

$$x \equiv \ln \frac{k_4}{k_2} \quad (21)$$

The first factor contains the scaling exponent of the solution, which involves the unknown quantity s . By inserting the ansatz (20) into the linear integral equations of section III B, one obtains linear integral equations for the unknown functions $\Phi_{m_z}^{(\ell)}(x, u)$, represented by a matrix $M^{(\ell)}(s)$ that depends parametrically on s , see section III C; requiring that the functions $\Phi_{m_z}^{(\ell)}(x, u)$ are not

identically zero, one gets an implicit equation for s , in the form [49]

$$\det M^{(\ell)}(s) = 0 \quad (22)$$

The way the first factor in Eq. (20) is parametrized by the quantity s ensures compatibility with the notation used by Efimov for the three-body problem [3]. In the three-body problem, the Efimov effect takes place if and only if one of the scaling exponents s is purely imaginary, and the geometric trimer energy spectrum has then a ratio $\exp(-2\pi/|s|)$. In the four-body problem, with our definition of s , the four-body Efimov effect occurs if and only if there is a purely imaginary s solving Eq. (22), in which case there exists a geometric sequence of tetramer eigenenergies with a ratio $\exp(-2\pi/|s|)$. A justification is given in [13]. The second factor in the ansatz (20) ensures that the matrix $M(s)$ is hermitian for purely imaginary s , with bounded diagonal matrix elements, which is both mathematically and numerically advantageous; as compared to [13] it contains an additional term s in the exponent, that for purely imaginary s suppresses phase oscillations in the matrix elements of $M(s)$ at large $|x|$ [50]. The third factor in Eq. (20) is a phase factor taking into account the fact that exchanging \mathbf{k}_2 and \mathbf{k}_4 in Eq. (14) transforms the spherical harmonics $Y_\ell^{m_z}$ into $(-1)^\ell e^{im_z\theta_{24}} Y_\ell^{-m_z}$ with the same values of the variables [18]; it ensures that the matrix $M(s)$ transforms in the simplest way under the exchange of m_\uparrow and m_\downarrow , which must leave our $2+2$ problem invariant.

A last reduction of the problem can be obtained from parity invariance. It turns out that, under the transformation $(\mathbf{k}_2, \mathbf{k}_4) \rightarrow (-\mathbf{k}_2, -\mathbf{k}_4)$, the term of index m_z in the sum (14) acquires a factor $(-1)^{m_z}$ [18]. This shows that the odd-parity functions $\Phi_{m_z}^{(\ell)}$ (that is with m_z odd) are decoupled from the even-parity functions $\Phi_{m_z}^{(\ell)}$ (that is with m_z even) in the integral equations, and that $M^{(\ell)}(s)$ has zero matrix elements between the odd and the even channels.

B. Rotational invariance

To obtain the integral equations for the unknown functions $f_{m_z}^{(\ell)}$ in Eq. (14) we use a variational formulation: The integral equation (13) is equivalent to

$$\partial_{D^*(\mathbf{k}_2, \mathbf{k}_4)} \mathcal{E}[D, D^*] = 0 \quad (23)$$

where D and its complex conjugate D^* are taken as independent variables, ∂_{D^*} is the functional derivative with respect to D^* and the functional \mathcal{E} is given by

$$\mathcal{E} = \mathcal{E}_{\text{diag}} + \mathcal{E}_{24,23} + \mathcal{E}_{24,14} - \mathcal{E}_{24,13} \quad (24)$$

with the diagonal part

$$\begin{aligned} \mathcal{E}_{\text{diag}} &= \int d^3k_2 d^3k_4 D^*(\mathbf{k}_2, \mathbf{k}_4) D(\mathbf{k}_2, \mathbf{k}_4) \\ &\times \frac{\mu_{\uparrow\downarrow}^{3/2}}{2\pi\hbar^2} \left[\frac{(\mathbf{k}_2 + \mathbf{k}_4)^2}{m_\uparrow + m_\downarrow} + \frac{k_2^2}{m_\uparrow} + \frac{k_4^2}{m_\downarrow} \right]^{1/2} \end{aligned} \quad (25)$$

and the generic off-diagonal part

$$\begin{aligned} \mathcal{E}_{24,ij} &= \int \frac{d^3k_2 d^3k_4 d^3k_1 d^3k_3}{(2\pi)^3} D^*(\mathbf{k}_2, \mathbf{k}_4) D(\mathbf{k}_i, \mathbf{k}_j) \\ &\times \frac{\delta(\mathbf{k}_1 + \mathbf{k}_2 + \mathbf{k}_3 + \mathbf{k}_4)}{\frac{\hbar^2}{2m_\uparrow}(k_1^2 + k_2^2) + \frac{\hbar^2}{2m_\downarrow}(k_3^2 + k_4^2)} \end{aligned} \quad (26)$$

Then one inserts the ansatz (14) into these functionals. Assuming that one is able to integrate over all variables other than k_2, k_4, θ_{24} and k_i, k_j, θ_{ij} , one obtains a functional of the $f_{m_z}^{(\ell)}$ and $f_{m_z}^{(\ell)*}$, which it remains to differentiate with respect to $f_{m_z}^{(\ell)}$ to obtain the integral equations for the $f_{m_z}^{(\ell)}$.

Integration is simplified by the following remark: The final integral equations and their solutions $f_{m_z}^{(\ell)}$ cannot depend on the specific vector \mathbf{e}_z introduced in Eq. (14). One can then replace \mathbf{e}_z by an arbitrary unit vector \mathbf{n} in the ansatz (14), and one can average the resulting functional \mathcal{E} over \mathbf{n} uniformly on the unit sphere, for fixed $f_{m_z}^{(\ell)}$. The result of this average is particularly simple when the orthonormal basis of Eqs. (15,16,17) reduces to the usual Cartesian basis:

$$(\mathbf{e}_2, \mathbf{e}_{4\perp 2}, \mathbf{e}_{24}) = (\mathbf{e}_x, \mathbf{e}_y, \mathbf{e}_z) \quad (27)$$

Then [51]

$$\begin{aligned} \langle Y_\ell^{m_z}(\mathbf{e}_2 \cdot \mathbf{n}, \mathbf{e}_{4\perp 2} \cdot \mathbf{n}, \mathbf{e}_{24} \cdot \mathbf{n}) [Y_\ell^{m'_z}(\mathbf{e}_i \cdot \mathbf{n}, \mathbf{e}_{j\perp i} \cdot \mathbf{n}, \mathbf{e}_{ij} \cdot \mathbf{n})]^* \rangle_{\mathbf{n}} \\ = \frac{1}{4\pi} \left(\langle \ell, m_z | R^{(ij)} | \ell, m'_z \rangle \right)^* \end{aligned} \quad (28)$$

where $\langle \dots \rangle_{\mathbf{n}}$ indicates the average over the direction of \mathbf{n} and the quantum operator $R^{(ij)}$ represents (in the usual spin- ℓ irreducible representation, with vectors $|\ell, m_z\rangle$ of angular momentum $m_z\hbar$ along z) the unique real space rotation $\mathcal{R}^{(ij)}$ that maps the Cartesian basis onto the basis $(\mathbf{e}_i, \mathbf{e}_{j\perp i}, \mathbf{e}_{ij})$:

$$(\mathbf{e}_i, \mathbf{e}_{j\perp i}, \mathbf{e}_{ij}) = \mathcal{R}^{(ij)}(\mathbf{e}_x, \mathbf{e}_y, \mathbf{e}_z) \quad (29)$$

After average over \mathbf{n} , and integration over \mathbf{k}_1 and \mathbf{k}_3 in $\mathcal{E}_{24,ij}$, it remains an integral over \mathbf{k}_2 and \mathbf{k}_4 , with an integrand invariant by common rotation of \mathbf{k}_2 and \mathbf{k}_4 . To evaluate that integrand, one can then indeed assume that \mathbf{k}_2 is along x (in the positive direction) and that \mathbf{k}_4 lies in the plane xy in the upper half $y \geq 0$:

$$\mathbf{k}_2 = k_2 \mathbf{e}_x \quad (30)$$

$$\mathbf{k}_4 = k_4 (\cos \theta_{24} \mathbf{e}_x + \sin \theta_{24} \mathbf{e}_y) \text{ with } \theta_{24} \in [0, \pi] \quad (31)$$

so that

$$(\mathbf{e}_2, \mathbf{e}_{4\perp 2}, \mathbf{e}_{24}) = (\mathbf{e}_x, \mathbf{e}_y, \mathbf{e}_z) \quad (32)$$

and one can use Eqs. (28,29). Then one pulls out a factor 4π (resulting from integration over the solid angle of \mathbf{k}_2) compensated by the 4π denominator in Eq. (28), and an uncompensated factor 2π (resulting from the integration over the azimuthal angle of \mathbf{k}_4 for the spherical coordinates of polar axis $\mathbf{k}_2/k_2 = \mathbf{e}_x$ for \mathbf{k}_4), and one is left with an integration over the moduli k_2 and k_4 and over the angle θ_{24} .

For the functional $\mathcal{E}_{\text{diag}}$, this gives a simple result: Since $i = 2$ and $j = 4$, the matrix $\mathcal{R}^{(ij)}$ is the identity matrix, $R^{(ij)}$ reduces to the identity operator; also there is no \mathbf{k}_1 or \mathbf{k}_3 integration. One obtains

$$\begin{aligned} \mathcal{E}_{\text{diag}} &= \sum_{m_z=-\ell}^{\ell} 2\pi \int_0^\infty dk_2 k_2^2 dk_4 k_4^2 \int_{-1}^1 du_{24} |f_{m_z}(k_2, k_4, u_{24})|^2 \\ &\times \frac{\mu_{\uparrow\downarrow}^{3/2}}{2\pi\hbar^2} \left(\frac{k_2^2 + k_4^2 + 2k_2 k_4 u_{24}}{m_\uparrow + m_\downarrow} + \frac{k_2^2}{m_\uparrow} + \frac{k_4^2}{m_\downarrow} \right)^{1/2} \end{aligned} \quad (33)$$

with the same notation as in Eq. (18). For the generic off-diagonal part this leads to

$$\begin{aligned} \mathcal{E}_{24,ij} &= \sum_{m_z, m'_z=-\ell}^{\ell} 2\pi \int_0^\infty dk_2 k_2^2 dk_4 k_4^2 \int_{-1}^1 du_{24} \int \frac{d^3 k_1 d^3 k_3}{(2\pi)^3} \\ &\left(\langle \ell, m_z | R^{(ij)} | \ell, m'_z \rangle \right)^* f_{m_z}^{(\ell)*}(k_2, k_4, u_{24}) f_{m'_z}^{(\ell)}(k_i, k_j, u_{ij}) \\ &\times \frac{\delta(\mathbf{k}_1 + \mathbf{k}_2 + \mathbf{k}_3 + \mathbf{k}_4)}{\frac{\hbar^2(k_1^2+k_2^2)}{2m_\uparrow} + \frac{\hbar^2(k_3^2+k_4^2)}{2m_\downarrow}} \end{aligned} \quad (34)$$

The way to proceed with the integration over the directions of \mathbf{k}_1 and \mathbf{k}_3 depends on the indices i and j .

1. Case $(i, j) = (2, 3)$

For $(i, j) = (2, 3)$, one trivially integrates over \mathbf{k}_1 using the Dirac distribution, that imposes $\mathbf{k}_1 = -(\mathbf{k}_2 + \mathbf{k}_3 + \mathbf{k}_4)$, and one integrates over \mathbf{k}_3 using spherical coordinates of polar axis \mathbf{e}_x and of azimuthal axis \mathbf{e}_y ; the azimuthal angle is called ϕ , and the polar angle is called θ_{23} since it is the angle between \mathbf{k}_2 and \mathbf{k}_3 [see Fig. 1(a)]. Then $\mathcal{R}^{(ij)}$ in Eq. (29) is the rotation of axis x and of angle ϕ :

$$\mathcal{R}^{(23)} = \mathcal{R}_x(\phi) \text{ and } R^{(23)} = e^{-i\phi L_x/\hbar} \quad (35)$$

where L_x is the angular momentum operator along x . Also

$$\begin{aligned} k_1^2 &= k_2^2 + k_3^2 + k_4^2 + 2k_2 k_3 u_{23} + 2k_2 k_4 u_{24} \\ &+ 2k_3 k_4 (u_{23} u_{24} + v_{23} v_{24} \cos \phi) \end{aligned} \quad (36)$$

with $u_{23} = \cos \theta_{23}$ and $v_{23} = \sin \theta_{23}$ as in Eq. (18). This gives

$$\begin{aligned} \mathcal{E}_{24,23} &= \sum_{m_z, m'_z=-\ell}^{\ell} 2\pi \int_0^\infty dk_2 dk_3 dk_4 k_2^2 k_3^2 k_4^2 \int_{-1}^1 du_{23} du_{24} \int_0^{2\pi} d\phi \\ &\frac{\langle \ell, m_z | e^{i\phi L_x/\hbar} | \ell, m'_z \rangle f_{m_z}^{(\ell)*}(k_2, k_4, u_{24}) f_{m'_z}^{(\ell)}(k_2, k_3, u_{23})}{(2\pi)^3 \left[\frac{\hbar^2(k_1^2+k_2^2)}{2m_\uparrow} + \frac{\hbar^2(k_3^2+k_4^2)}{2m_\downarrow} \right]} \end{aligned} \quad (37)$$

where k_1 is given by Eq. (36) and we used the fact that L_x has real matrix elements in the standard $|\ell, m_z\rangle$ basis.

2. Case $(i, j) = (1, 4)$

For $(i, j) = (1, 4)$, one integrates over \mathbf{k}_3 using the Dirac distribution, that imposes $\mathbf{k}_3 = -(\mathbf{k}_1 + \mathbf{k}_2 + \mathbf{k}_4)$ and one integrates over \mathbf{k}_1 using spherical coordinates in a rotated basis

$$(\mathbf{e}_X, \mathbf{e}_Y, \mathbf{e}_Z) = (\mathbf{e}_z, \mathbf{e}_4 \wedge \mathbf{e}_z, \mathbf{e}_4) \text{ with } \mathbf{e}_4 = \frac{\mathbf{k}_4}{k_4}. \quad (38)$$

The direction \mathbf{e}_Z of \mathbf{k}_4 is taken as the polar axis, so that the polar angle is θ_{14} ; \mathbf{e}_X is taken as the azimuthal axis, with the azimuthal angle called ϕ , see Fig. 1(b). Then the real space rotation $\mathcal{R}^{(ij)}$ in Eq. (29) is

$$\begin{aligned} \mathcal{R}^{(14)} &= \mathcal{R}_Z(\phi - \frac{\pi}{2}) \mathcal{R}_z(\theta_{24} - \theta_{14}) \\ &= \mathcal{R}_z(\theta_{24}) \mathcal{R}_x(\phi - \frac{\pi}{2}) \mathcal{R}_z(-\theta_{14}) \end{aligned} \quad (39)$$

and the corresponding operator has matrix elements

$$\begin{aligned} \langle \ell, m_z | R^{(14)} | \ell, m'_z \rangle &= e^{-im_z\theta_{24}} \\ &\times \langle \ell, m_z | e^{-i(\phi-\frac{\pi}{2})L_x/\hbar} | \ell, m'_z \rangle e^{im'_z\theta_{14}} \end{aligned} \quad (40)$$

Using $\mathbf{e}_x = [\mathcal{R}^{(14)}]^{-1} \mathbf{e}_1 = u_{24} \mathbf{e}_Z + v_{24} \mathbf{e}_Y$ and $\mathbf{e}_1 = u_{14} \mathbf{e}_Z + v_{14} (\cos \phi \mathbf{e}_X + \sin \phi \mathbf{e}_Y)$ we get

$$\begin{aligned} k_3^2 &= k_1^2 + k_2^2 + k_4^2 + 2k_1 k_2 [u_{14} u_{24} + v_{14} v_{24} \cos(\phi - \pi/2)] \\ &+ 2k_1 k_4 u_{14} + 2k_2 k_4 u_{24}. \end{aligned} \quad (41)$$

This gives:

$$\begin{aligned} \mathcal{E}_{24,14} &= \sum_{m_z, m'_z=-\ell}^{\ell} 2\pi \int_0^\infty dk_1 dk_2 dk_4 k_1^2 k_2^2 k_4^2 \int_{-1}^1 du_{14} du_{24} \int_0^{2\pi} d\phi \\ &\frac{e^{im_z\theta_{24}} \langle \ell, m_z | e^{i(\phi-\pi/2)L_x/\hbar} | \ell, m'_z \rangle e^{-im'_z\theta_{14}}}{(2\pi)^3 \left[\frac{\hbar^2(k_1^2+k_2^2)}{2m_\uparrow} + \frac{\hbar^2(k_3^2+k_4^2)}{2m_\downarrow} \right]} \\ &\times f_{m_z}^{(\ell)*}(k_2, k_4, u_{24}) f_{m'_z}^{(\ell)}(k_1, k_4, u_{14}) \end{aligned} \quad (42)$$

where k_3 is given by Eq. (41).

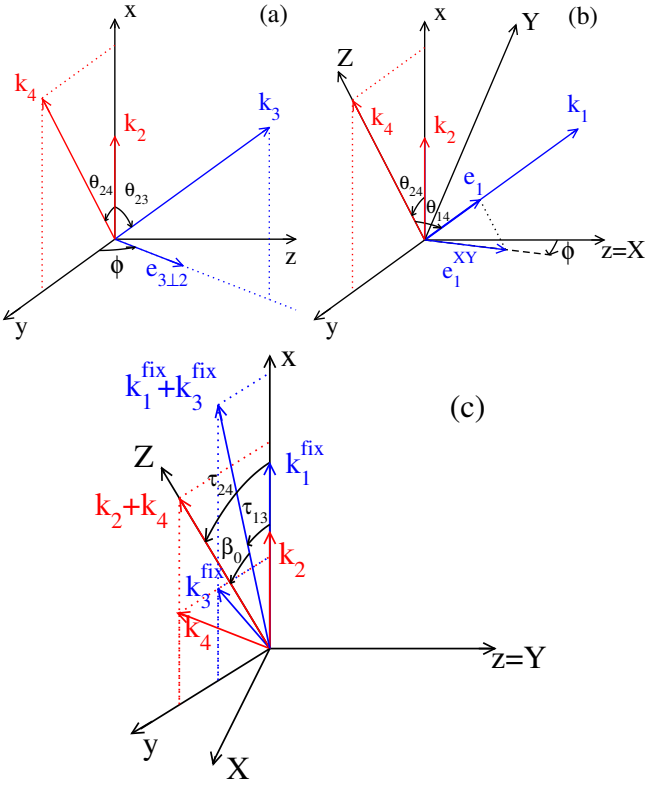


FIG. 1: (Color online) Positions and parametrisations of the wavevectors appearing in the angular integration in the functionals $\mathcal{E}_{24,ij}$. The vectors \mathbf{k}_2 and \mathbf{k}_4 are given by Eqs. (30,31). (a) For $(i,j) = (2,3)$, $\mathbf{k}_1 = -(\mathbf{k}_2 + \mathbf{k}_3 + \mathbf{k}_4)$ and one integrates over \mathbf{k}_3 using spherical coordinates of polar axis x and azimuthal axis y . (b) For $(i,j) = (1,4)$, $\mathbf{k}_3 = -(\mathbf{k}_1 + \mathbf{k}_2 + \mathbf{k}_4)$ and one integrates over \mathbf{k}_1 using the polar axis Z (direction of \mathbf{k}_4) and the azimuthal axis X (direction of \mathbf{e}_z) as defined by Eq. (38), leading to the polar angle θ_{14} and the azimuthal angle ϕ (< 0 in the figure). The dashed line gives the direction of the component \mathbf{e}_1^{XY} of $\mathbf{e}_1 = \mathbf{k}_1/k_1$ in the XY plane. (c) For $(i,j) = (1,3)$, one integrates over the rotation \mathcal{R} , such that \mathbf{k}_1 and \mathbf{k}_3 are given by the action of \mathcal{R} on vectors $\mathbf{k}_1^{\text{fix}}$ and $\mathbf{k}_3^{\text{fix}}$ in the xy plane as in Eqs. (43,44), using the parametrisation in terms of Euler angles associated to the convenient axes X , Y and Z of Eq. (48).

3. Case $(i,j) = (1,3)$

For $(i,j) = (1,3)$, we find it convenient to replace the integration over \mathbf{k}_1 and \mathbf{k}_3 by an integration over the moduli k_1 and k_3 , over the angle $\theta_{13} \in [0, \pi]$ and over a rotation matrix \mathcal{R} uniformly distributed over the rotation group $\text{SO}(3)$, the vectors \mathbf{k}_1 and \mathbf{k}_3 being given by the action of \mathcal{R} on vectors fixed in the xy plane:

$$\mathbf{k}_1 = \mathcal{R}\mathbf{k}_1^{\text{fix}} \quad \text{with} \quad \mathbf{k}_1^{\text{fix}} = k_1\mathbf{e}_x \quad (43)$$

$$\mathbf{k}_3 = \mathcal{R}\mathbf{k}_3^{\text{fix}} \quad \text{with} \quad \mathbf{k}_3^{\text{fix}} = k_3(u_{13}\mathbf{e}_x + v_{13}\mathbf{e}_y) \quad (44)$$

Then \mathcal{R} is precisely the rotation matrix $\mathcal{R}^{(ij)}$ of Eq. (29) and

$$\begin{aligned} \mathcal{E}_{24,13} &= \sum_{m_z, m'_z=-\ell}^{\ell} 2 \int_0^{\infty} \left(\prod_{n=1}^4 dk_n k_n^2 \right) \int_{-1}^1 du_{13} du_{24} \int_{\text{SO}(3)} d\mathcal{R} \\ &\quad (\langle \ell, m_z | R | \ell, m'_z \rangle)^* f_{m_z}^{(\ell)*}(k_2, k_4, u_{24}) f_{m'_z}^{(\ell)}(k_1, k_3, u_{13}) \\ &\quad \times \frac{\delta(\mathbf{k}_2 + \mathbf{k}_4 + \mathcal{R}(\mathbf{k}_1^{\text{fix}} + \mathbf{k}_3^{\text{fix}}))}{\frac{\hbar^2(k_1^2 + k_2^2)}{2m_\uparrow} + \frac{\hbar^2(k_3^2 + k_4^2)}{2m_\downarrow}} \end{aligned} \quad (45)$$

where the factor 2 originates from $(4\pi \times 2\pi)^2/[4\pi(2\pi)^3]$, R is the operator representing \mathcal{R} and $d\mathcal{R}$ is the invariant measure over the group $\text{SO}(3)$ normalized to unity (see §8.2 of reference [35]) [52]. To integrate over \mathcal{R} , we use the Euler parametrisation as in Eq. (7.1-12) of reference [35]:

$$\mathcal{R} = \mathcal{R}_Z(\alpha)\mathcal{R}_Y(\beta)\mathcal{R}_Z(\gamma) \quad (46)$$

where the Euler angles α and γ run over an interval of length 2π and the Euler angle β runs over $[0, \pi]$, so that the invariant measure is (see §8.2 of reference [35])

$$d\mathcal{R} = \frac{d\alpha \sin \beta d\beta d\gamma}{8\pi^2} \quad (47)$$

Due to the occurrence of $\mathbf{k}_2 + \mathbf{k}_4$ in the argument of the Dirac distribution in Eq. (45), the convenient direct orthonormal basis defining the rotation axes X , Y and Z is now [see Fig. 1(c)]

$$(\mathbf{e}_X, \mathbf{e}_Y, \mathbf{e}_Z) = (\mathbf{e}_z \wedge \frac{\mathbf{k}_2 + \mathbf{k}_4}{|\mathbf{k}_2 + \mathbf{k}_4|}, \mathbf{e}_z, \frac{\mathbf{k}_2 + \mathbf{k}_4}{|\mathbf{k}_2 + \mathbf{k}_4|}). \quad (48)$$

Then the Dirac distribution can be written as [53]

$$\begin{aligned} \delta(\mathbf{k}_2 + \mathbf{k}_4 + \mathcal{R}(\mathbf{k}_1^{\text{fix}} + \mathbf{k}_3^{\text{fix}})) &= \delta(\sin \gamma) \delta(\sin(\beta_0 - \beta \cos \gamma)) \\ &\times \frac{\delta(|\mathbf{k}_2 + \mathbf{k}_4| \cos(\beta_0 - \beta \cos \gamma) + |\mathbf{k}_1^{\text{fix}} + \mathbf{k}_3^{\text{fix}}|)}{|\sin \beta_0| |\mathbf{k}_1^{\text{fix}} + \mathbf{k}_3^{\text{fix}}| |\mathbf{k}_2 + \mathbf{k}_4|} \end{aligned} \quad (49)$$

where we have introduced the oriented angle β_0 between $\mathbf{k}_1^{\text{fix}} + \mathbf{k}_3^{\text{fix}}$ and $\mathbf{k}_2 + \mathbf{k}_4$ such that [see Fig. 1(c)]

$$\mathbf{k}_1^{\text{fix}} + \mathbf{k}_3^{\text{fix}} = |\mathbf{k}_1^{\text{fix}} + \mathbf{k}_3^{\text{fix}}|(-\sin \beta_0 \mathbf{e}_X + \cos \beta_0 \mathbf{e}_Z). \quad (50)$$

There is no dependence on α in the right-hand side of Eq. (49): in the argument of δ , one can write $\mathbf{k}_2 + \mathbf{k}_4$ as $\mathcal{R}_Z(\alpha)(\mathbf{k}_2 + \mathbf{k}_4)$ and, due to the rotational invariance of the three-dimensional Dirac distribution, one can factor out and remove the rotation $\mathcal{R}_Z(\alpha)$. The integration over α in Eq. (45) then pulls out in the matrix element of R the orthogonal projector on the state of total angular momentum ℓ and of vanishing angular momentum along Z :

$$\int_0^{2\pi} d\alpha e^{-i\alpha L_Z/\hbar} = 2\pi |\ell, m_Z = 0\rangle \langle \ell, m_Z = 0| \quad (51)$$

In the integral over γ , for example over the interval $[-\pi/2, 3\pi/2]$, only the points $\gamma = 0$ and $\gamma = \pi$ contribute. The contribution of $\gamma = \pi$ can be deduced from the one of $\gamma = 0$ by changing β into $-\beta$, due to $\mathcal{R}_Z(\pi)\mathcal{R}_Y(\beta)\mathcal{R}_Z(\pi) = \mathcal{R}_Y(-\beta)$ and to the invariance of $\mathbf{k}_1^{\text{fix}} + \mathbf{k}_3^{\text{fix}}$ and $|m_Z = 0\rangle$ by rotation of axis Z . In the integral over $\beta \in [0, \pi]$, the $\gamma = \pi$ contribution can then be taken into account by extending the integration of the $\gamma = 0$ contribution to $\beta \in [-\pi, 0]$: one can take $\gamma = 0$ in Eq. (49) and one faces

$$\begin{aligned} & \int_{-\pi}^{\pi} d\beta |\sin \beta| e^{i\beta m'_z} \delta(\sin(\beta_0 - \beta)) \delta(|\mathbf{k}_2 + \mathbf{k}_4| \cos(\beta_0 - \beta) \\ & + |\mathbf{k}_1^{\text{fix}} + \mathbf{k}_3^{\text{fix}}|) = \delta(|\mathbf{k}_2 + \mathbf{k}_4| - |\mathbf{k}_1^{\text{fix}} + \mathbf{k}_3^{\text{fix}}|) \\ & \times \int_{-\pi}^{\pi} d\beta |\sin \beta| e^{i\beta m'_z} \sum_{n \in \mathbb{Z}} \delta(\beta - \beta_0 - \pi - 2\pi n) \\ & = \delta(|\mathbf{k}_2 + \mathbf{k}_4| - |\mathbf{k}_1^{\text{fix}} + \mathbf{k}_3^{\text{fix}}|) |\sin \beta_0| (-1)^{m'_z} e^{i\beta_0 m'_z} \end{aligned} \quad (52)$$

Due to the 2π periodicity of the integrand we have shifted the domain of integration so as to only keep for example the term $n = 0$ of the Dirac comb. Finally, using $\beta_0 = \tau_{24} - \tau_{13}$, where τ_{24} is the angle $\in [0, \pi]$ between \mathbf{k}_2 and $\mathbf{k}_2 + \mathbf{k}_4$ and τ_{13} is the angle $\in [0, \pi]$ between $\mathbf{k}_1^{\text{fix}}$ and $\mathbf{k}_1^{\text{fix}} + \mathbf{k}_3^{\text{fix}}$ so that (up to a phase factor)

$$|\ell, m_Z = 0\rangle = e^{-i\tau_{24} L_z / \hbar} |\ell, m_x = 0\rangle, \quad (53)$$

and using the property that [54]

$$\langle \ell, m_x = 0 | \ell, m'_z \rangle = 0 \text{ if } \ell + m'_z \text{ is odd}, \quad (54)$$

allowing one to replace $(-1)^{m'_z}$ with $(-1)^\ell$, we obtain

$$\begin{aligned} \mathcal{E}_{24,13} &= \sum_{m_z, m'_z=-\ell}^{\ell} \frac{(-1)^\ell}{2\pi} \int_0^\infty \left(\prod_{n=1}^4 dk_n k_n^2 \right) \int_{-1}^1 du_{13} du_{24} \\ & e^{im_z \tau_{24}} \langle \ell, m_z | \ell, m_x = 0 \rangle \langle \ell, m_x = 0 | \ell, m'_z \rangle e^{-im'_z \tau_{13}} \\ & \frac{|\mathbf{k}_2 + \mathbf{k}_4| \left[\frac{\hbar^2(k_1^2 + k_2^2)}{2m_\uparrow} + \frac{\hbar^2(k_3^2 + k_4^2)}{2m_\downarrow} \right] |\mathbf{k}_1^{\text{fix}} + \mathbf{k}_3^{\text{fix}}|}{\times \delta(|\mathbf{k}_2 + \mathbf{k}_4| - |\mathbf{k}_1^{\text{fix}} + \mathbf{k}_3^{\text{fix}}|) f_{m_z}^{(\ell)*}(k_2, k_4, u_{24}) f_{m'_z}^{(\ell)}(k_1, k_3, u_{13})} \end{aligned} \quad (55)$$

knowing that $|\ell, m_x = 0\rangle$ has real components in the basis $|\ell, m_z\rangle$ up to a global phase, and that \mathbf{k}_2 and \mathbf{k}_4 are given by Eqs. (30,31) and $\mathbf{k}_1^{\text{fix}}$ and $\mathbf{k}_3^{\text{fix}}$ by Eqs. (43,44).

C. Scale invariance

To take advantage of the scale invariance of the zero-energy solution, one uses the ansatz (20) with $s \in i\mathbb{R}$, as physically explained in section III A, and one inserts it in the various terms (33,37,42,55) of the functional (24). In Eq. (33) one performs in the integral over k_4 the change of variable $k_4 = e^x k_2$, where x ranges from $-\infty$ to $+\infty$,

and one sets $u_{24} = u$ for conciseness, also introducing the mass ratio

$$\alpha \equiv \frac{m_\uparrow}{m_\downarrow}. \quad (56)$$

One pulls out a constant factor \mathcal{F} , that will be given and discussed later, to obtain

$$\begin{aligned} \mathcal{E}_{\text{diag}} &= \mathcal{F} \sum_{m_z=-\ell}^{\ell} \int_{\mathbb{R}} dx \int_{-1}^1 du \left[\frac{\alpha}{(1+\alpha)^2} \left(1 + \frac{u}{\text{ch } x} \right) \right. \\ & \left. + \frac{e^{-x} + \alpha e^x}{2(\alpha+1) \text{ch } x} \right]^{1/2} |\Phi_{m_z}^{(\ell)}(x, u)|^2 \end{aligned} \quad (57)$$

In Eq. (37) one performs the change of variable $k_4 = e^x k_2$ and $k_3 = e^{x'} k_2$ in the integrals over k_4 and k_3 , also setting $\theta_{24} = \theta$, $u_{24} = u$, $v_{24} = v$ and $\theta_{23} = \theta'$, $u_{23} = u'$, $v_{23} = v'$ for concision. One then pulls out the same factor \mathcal{F} to obtain

$$\begin{aligned} \mathcal{E}_{24,23} &= \mathcal{F} \sum_{m_z, m'_z=-\ell}^{\ell} \int_{\mathbb{R}} dx dx' \int_{-1}^1 du du' \left(\frac{e^x \text{ch } x'}{e^{x'} \text{ch } x} \right)^{s/2} \\ & \times \left(\frac{e^{x+x'}}{4 \text{ch } x \text{ch } x'} \right)^{1/4} \Phi_{m_z}^{(\ell)*}(x, u) \Phi_{m'_z}^{(\ell)}(x', u') \\ & \times \int_0^{2\pi} \frac{d\phi}{(2\pi)^2} \frac{e^{-im_z \theta/2} \langle l, m_z | e^{i\phi L_x / \hbar} | l, m'_z \rangle e^{im'_z \theta'/2}}{\mathcal{D}_{24,23}(\phi; x, u; x', u'; \alpha)} \end{aligned} \quad (58)$$

In the denominator, we have introduced the notation

$$\mathcal{D}_{24,23} = \frac{\frac{\hbar^2(k_1^2 + k_2^2)}{2m_\uparrow} + \frac{\hbar^2(k_3^2 + k_4^2)}{2m_\downarrow}}{\frac{\hbar^2 k_3 k_4}{\mu_{\uparrow\downarrow}}} \quad (59)$$

where k_1 is given by Eq. (36) so that

$$\begin{aligned} \mathcal{D}_{24,23}(\phi; x, u; x', u'; \alpha) &= \text{ch}(x - x') \\ & + \frac{1}{1 + \alpha} (e^{-x-x'} + e^{-x'} u + e^{-x} u' + uu' + vv' \cos \phi). \end{aligned} \quad (60)$$

In Eq. (42) one performs the change of variables $k_4 = e^x k_2$ and $k_1 = e^{x-x'} k_2$ (so that $k_4/k_1 = e^{x'}$) in the integrals over k_4 and k_1 , and the change of variable $\phi = \frac{\pi}{2} + \phi'$ in the integral over ϕ [55], also setting $\theta_{24} = \theta$, $u_{24} = u$, $v_{24} = v$ and $\theta_{14} = \theta'$, $u_{14} = u'$, $v_{14} = v'$. Again pulling out the factor \mathcal{F} one gets

$$\begin{aligned} \mathcal{E}_{24,14} &= \mathcal{F} \sum_{m_z, m'_z=-\ell}^{\ell} \int_{\mathbb{R}} dx dx' \int_{-1}^1 du du' \left(\frac{e^{-x} \text{ch } x'}{e^{-x'} \text{ch } x} \right)^{s/2} \\ & \times \left(\frac{e^{-(x+x')}}{4 \text{ch } x \text{ch } x'} \right)^{1/4} \Phi_{m_z}^{(\ell)*}(x, u) \Phi_{m'_z}^{(\ell)}(x', u') \\ & \times \int_0^{2\pi} \frac{d\phi'}{(2\pi)^2} \frac{e^{im_z \theta/2} \langle l, m_z | e^{i\phi' L_x / \hbar} | l, m'_z \rangle e^{-im'_z \theta'/2}}{\mathcal{D}_{24,14}(\phi'; x, u; x', u'; \alpha)} \end{aligned} \quad (61)$$

In the denominator we have introduced the notation

$$\mathcal{D}_{24,14} = \frac{\frac{\hbar^2(k_1^2+k_2^2)}{2m_\uparrow} + \frac{\hbar^2(k_3^2+k_4^2)}{2m_\downarrow}}{\frac{\hbar^2 k_1 k_2}{\mu_{\uparrow\downarrow}}} \quad (62)$$

with k_3 given by Eq. (41) so that

$$\begin{aligned} \mathcal{D}_{24,14}(\phi'; x, u; x', u'; \alpha) &= \text{ch}(x - x') \\ &+ \frac{\alpha}{1 + \alpha} (e^{x+x'} + e^{x'} u + e^x u' + uu' + vv' \cos \phi'). \end{aligned} \quad (63)$$

Finally, in Eq. (55), one performs the change of variables $k_4 = e^x k_2$ and $k_3 = e^{x'} k_1$ in the integrals over k_4 and k_3 , also setting $\theta_{24} = \theta$, $u_{24} = u$, $\tau_{24} = \tau$ and $\theta_{13} = \theta'$, $u_{13} = u'$, $\tau_{13} = \tau'$. The integration over k_1 is straightforward due to the occurrence of a Dirac distribution in Eq. (55). Due to the phase factor in the ansatz (20), there naturally appear the angles $\gamma \equiv \tau - \theta/2$ and $\gamma' = \tau' - \theta'/2$. Since τ is the angle between \mathbf{k}_2 and $\mathbf{k}_2 + \mathbf{k}_4$ [see Fig. 1(c)], one has according to Eqs. (30,31) and using the usual representation of vectors in the xy plane by complex numbers:

$$e^{i\gamma} = \frac{1 + e^x e^{i\theta}}{|1 + e^x e^{i\theta}|} e^{-i\theta/2} = \frac{e^{(x+i\theta)/2} + e^{-(x+i\theta)/2}}{|e^{(x+i\theta)/2} + e^{-(x+i\theta)/2}|} \quad (64)$$

As $\theta \in [0, \pi]$, the real part $\cos \gamma$ of this expression is non negative so that one can choose $\gamma \in [-\frac{\pi}{2}, \frac{\pi}{2}]$. Then forming the ratio of the imaginary part to the real part of the same expression gives the value of $\tan \gamma$ and

$$\gamma = \text{atan} \left[\text{th} \left(\frac{x}{2} \right) \tan \left(\frac{\theta}{2} \right) \right] \text{ with } \tan \left(\frac{\theta}{2} \right) = \left(\frac{1-u}{1+u} \right)^{1/2} \quad (65)$$

One has the same expressions for γ' , replacing the variables x , θ and u by x' , θ' , u' . This leads to

$$\begin{aligned} \mathcal{E}_{24,13} &= \mathcal{F} \sum_{m_z, m'_z=-\ell}^{\ell} \int_{\mathbb{R}} dx dx' \int_{-1}^1 du du' \left[\frac{(u' + \text{ch } x') \text{ch } x'}{(u + \text{ch } x) \text{ch } x} \right]^{s/2} \\ &\times \frac{(-1)^\ell \Phi_{m_z}^{(\ell)*}(x, u) \Phi_{m'_z}^{(\ell)}(x', u')}{4\pi [(u + \text{ch } x)(u' + \text{ch } x') \text{ch } x \text{ch } x']^{1/4}} \\ &\times \frac{e^{im_z \gamma} \langle \ell, m_z | \ell, m_x = 0 \rangle \langle \ell, m_x = 0 | \ell, m'_z \rangle e^{-im'_z \gamma'}}{\left(\frac{e^{-x'} + \alpha e^{x'}}{1+\alpha} \right) (u + \text{ch } x) + \left(\frac{e^{-x} + \alpha e^x}{1+\alpha} \right) (u' + \text{ch } x')} \end{aligned} \quad (66)$$

In all the results (57,58,61,66) there appears a factor

$$\mathcal{F} = \frac{\mu_{\uparrow\downarrow}}{8\hbar^2} \int_0^{+\infty} \frac{dk_2}{k_2}. \quad (67)$$

This factor contains a diverging integral, making these last calculations not entirely rigorous. We have checked

however that always the same diverging integral is pulled out, even if one singles out a wavenumber other than k_2 (performing for example the change of variables $k_2 = e^{-x} k_4$ and $k_1 = e^{-x'} k_4$ in the integrals over k_2 and k_1 in Eq. (42)). This is certainly due to the scale invariance of $dk_2/k_2 = d(\ln k_2)$. Alternatively, one can write the integral equation for the $f_{m_z}^{(\ell)}$ deduced from the functional derivatives of Eqs. (33,37,42,55) of the functional Eq. (24) with respect to $f_{m_z}^{(\ell)*}$; at this stage, one has only used rotational invariance. Then, one inserts the scale invariant ansatz (20), and one obtains exactly the same integral equations for the $\Phi_{m_z}^{(\ell)}$ as those derived from the functional derivatives of Eqs. (57,58,61,66) with respect to $\Phi_{m_z}^{(\ell)*}$.

D. Parity invariance

The term of index m_z in the ansatz (14) is simply multiplied by $(-1)^{m_z}$ under the action of parity $(\mathbf{k}_2, \mathbf{k}_4) \rightarrow (-\mathbf{k}_2, -\mathbf{k}_4)$ [18]. This means that the odd- m_z components of $\Phi_{m_z}^{(\ell)}$ are decoupled from the even- m_z components of $\Phi_{m_z}^{(\ell)}$ in the integral equation. This property can also be obtained by an explicit calculation: first, for m_z and m'_z of different parities, the coupling amplitude between $|\ell, m_z\rangle$ and $|\ell, m'_z\rangle$ must vanish in Eq. (55); this can be seen from Eq. (54). Second, it also vanishes in Eqs. (58,61) after integration over ϕ or ϕ' : L_x obeys the selection rule $\Delta m_z = \pm 1$, and in an expansion of $e^{i\phi L_x}$ in powers of ϕ , only even powers of ϕ and L_x survive due to the parity of the denominator \mathcal{D} . In what follows, at a given angular momentum ℓ , we shall distinguish the manifold of parity $(-1)^{\ell+1}$, where $\mathcal{E}_{24,13}$ and the contribution of $D(\mathbf{k}_1, \mathbf{k}_3)$ in Eq. (13) are zero, and the manifold of parity $(-1)^\ell$ where they are *a priori* non zero. Note that, in the particular case $\ell = 0$, there exists only the manifold of parity $(-1)^\ell$.

IV. FINAL FORM AND ASYMPTOTIC ANALYSIS

A. Explicit form of the integral equation

By taking the functional derivative of \mathcal{E} of Eq. (24) with respect to $\Phi_{m_z}^{(\ell)}$, using the forms (57,58,61,66) of the various terms and not forgetting the minus sign in front of the last contribution in Eq. (24), we obtain the form of the integral equation (13) maximally reduced by use of the rotational symmetry and of the scale invariance:

$$0 = \left[\frac{\alpha}{(1+\alpha)^2} \left(1 + \frac{u}{\text{ch } x} \right) + \frac{e^{-x} + \alpha e^x}{2(\alpha+1) \text{ch } x} \right]^{1/2} \Phi_{m_z}^{(\ell)}(x, u) + \int_{\mathbb{R}} dx' \int_{-1}^1 du' \sum_{m'_z=-\ell}^{\ell} K_{m_z, m'_z}^{(\ell)}(x, u; x', u'; \alpha) \Phi_{m'_z}^{(\ell)}(x', u') \quad (68)$$

with the following expression for the matrix kernel $K^{(\ell)}$:

$$\begin{aligned} K_{m_z, m'_z}^{(\ell)}(x, u; x', u'; \alpha) = & \left(\frac{e^x \text{ch } x'}{e^{x'} \text{ch } x} \right)^{s/2} \left(\frac{e^{x+x'}}{4 \text{ch } x \text{ch } x'} \right)^{1/4} \int_0^{2\pi} \frac{d\phi}{(2\pi)^2} \frac{e^{-im_z \theta/2} \langle \ell, m_z | e^{i\phi L_x/\hbar} | \ell, m'_z \rangle e^{im'_z \theta'/2}}{\text{ch}(x-x') + \frac{1}{1+\alpha} [(u+e^{-x})(u'+e^{-x'}) + vv' \cos \phi]} \\ & + \left(\frac{e^{-x} \text{ch } x'}{e^{-x'} \text{ch } x} \right)^{s/2} \left(\frac{e^{-x-x'}}{4 \text{ch } x \text{ch } x'} \right)^{1/4} \int_0^{2\pi} \frac{d\phi}{(2\pi)^2} \frac{e^{im_z \theta/2} \langle \ell, m_z | e^{i\phi L_x/\hbar} | \ell, m'_z \rangle e^{-im'_z \theta'/2}}{\text{ch}(x-x') + \frac{\alpha}{1+\alpha} [(u+e^x)(u'+e^{x'}) + vv' \cos \phi]} \\ & - \frac{(-1)^\ell}{4\pi[(u+\text{ch } x)(u'+\text{ch } x') \text{ch } x \text{ch } x']^{1/4}} \left(\frac{(u'+\text{ch } x') \text{ch } x'}{(u+\text{ch } x) \text{ch } x} \right)^{s/2} \frac{e^{im_z \gamma} \langle \ell, m_z | \ell, m_x = 0 \rangle \langle \ell, m_x = 0 | \ell, m'_z \rangle e^{-im'_z \gamma}}{\left(\frac{e^{-x'} + \alpha e^{x'}}{1+\alpha} \right) (u+\text{ch } x) + \left(\frac{e^{-x} + \alpha e^x}{1+\alpha} \right) (u'+\text{ch } x')} \end{aligned} \quad (69)$$

Here, the scaling exponent s is purely imaginary, so that a four-body Efimov takes place in our $2+2$ fermionic problem if Eq. (68) has a non-identically zero solution $\Phi^{(\ell)}$ for some non-zero s . We recall that the angle $\theta \in [0, \pi]$ is such that $u = \cos \theta$ and $v = (1-u^2)^{1/2} = \sin \theta$, and that the angle γ is given by Eq. (65); the same relations hold among the primed variables.

The first, second and third contributions in Eq. (69) originate respectively from the terms $D(\mathbf{k}_2, \mathbf{k}_3)$, $D(\mathbf{k}_1, \mathbf{k}_4)$ and $D(\mathbf{k}_1, \mathbf{k}_3)$ in the unreduced integral equation (13); the diagonal term in Eq. (68) emanates from the diagonal term of that equation. The integrals over ϕ can be evaluated after insertion of a closure relation in the eigenbasis of L_x [56]. Importantly, the third contribution in Eq. (69) vanishes when $\ell + m_z$ or $\ell + m'_z$ are odd, i.e. in the parity channel $(-1)^{\ell+1}$, as shown by the property (54) and as already pointed out in section III D.

It is interesting to note the decoupled form of the prefactors in each contribution of Eq. (69), of the form $[f(x, u)]^{s/2+1/4} [f(x', u')]^{-s/2+1/4}$ with a function f given by $e^x/(2 \text{ch } x)$, $e^{-x}/(2 \text{ch } x)$ and $1/[(u+\text{ch } x) \text{ch } x]$, respectively. The fact that this function $f(x, u)$ is not common to all contributions prevents one from suppressing the s dependence of the matrix kernel $K^{(\ell)}$ by a simple gauge transform on $\Phi^{(\ell)}$: As expected, the s -dependence of the problem (68) is non trivial.

Our results (68,69) must obey the symmetry of the $2+2$ problem under the exchange of \uparrow and \downarrow . First, this exchange has the effect of changing the mass ratio α into its inverse $1/\alpha$, see Eq. (56). Second, the momenta \mathbf{k}_2 and \mathbf{k}_4 in $D(\mathbf{k}_2, \mathbf{k}_4)$ are exchanged, so that x of Eq. (21) is changed into its opposite; this also reverts the direction of the quantization axis $\mathbf{k}_2 \wedge \mathbf{k}_4$ along which the angular momentum m_z is measured in Eq. (14): it changes m_z

into $-m_z$ according to the identity [18]

$$e^{-i\pi L_x/\hbar} |\ell, m_z\rangle = (-1)^\ell |\ell, -m_z\rangle; \quad (70)$$

on the contrary, the non-oriented angle $\theta_{24} \in [0, \pi]$ between \mathbf{k}_2 and \mathbf{k}_4 is unchanged, so that the variable u is unaffected. Hence, one must have

$$K_{m_z, m'_z}^{(\ell)}(x, u; x', u'; \alpha) = K_{-m_z, -m'_z}^{(\ell)}(-x, u; -x', u'; \alpha^{-1}) \quad (71)$$

for all values of the argument and of the indices of the kernel. It is clear that Eq. (69) indeed obeys the symmetry requirement (71): the first and second contributions are interchanged, whereas the third one is invariant since γ is changed into $-\gamma$, see Eq. (65). Note that our results also respect the parity invariance, see section III D, and that the matrix kernel is hermitian as our variational derivation guarantees:

$$K_{m_z, m'_z}^{(\ell)}(x, u; x', u'; \alpha) = \left[K_{m'_z, m_z}^{(\ell)}(x', u'; x, u; \alpha) \right]^* \quad (72)$$

B. Recovering the three-body problem from four-body asymptotics

The right-hand side of the integral equation (68) defines an operator $M^{(\ell)}(s)$ acting on the spinor functions $\Phi_{m_z}^{(\ell)}(x, u)$. The spectrum of this operator is physically relevant, since a four-body Efimov effect takes place with an Efimov scaling exponent $s \in i\mathbb{R}$ if and only if one of the eigenvalue Ω of $M^{(\ell)}(s)$ is zero. As $M^{(\ell)}(s)$ is a hermitian operator, since s is here purely imaginary, its spectrum is real and in general includes a discrete part and a continuous part. The discrete spectrum corresponds to localized, square integrable eigenfunctions; we are able

to determine it only numerically. The expected contribution to the continuous spectrum corresponds to extended functions, that explore arbitrarily large values of $|x|$; as we now explain, it can be determined analytically from the asymptotic analysis of the kernel (69) when x and x' tend to $\pm\infty$, by a generalisation of the discussion of reference [13]. There is also an unexpected contribution to the continuous spectrum, whose analysis is deferred to section IV C.

Sector $x \rightarrow +\infty, x' \rightarrow +\infty$: Clearly, the diagonal part of $M^{(\ell)}(s)$ in Eq. (68) tends exponentially rapidly to a finite and non-zero value, and the second and third contributions to the kernel in Eq. (69) tend exponentially fast to zero. In the first contribution in Eq. (69), the prefactor tends exponentially to unity since $e^x/(2\operatorname{ch} x) \rightarrow 1$, and in the denominator of the integrand, all the x or x' -dependent terms are exponentially suppressed, except the first one $\operatorname{ch}(x-x')$ since no hypothesis must be made on the magnitude of the difference $x-x'$. The eigenvalue problem then asymptotically reduces to

$$\Omega^{\rightarrow(\ell)} \tilde{\Phi}_{m_z}^{(\ell)}(x, u) = \left[\frac{\alpha(2+\alpha)}{(1+\alpha)^2} \right]^{1/2} \tilde{\Phi}_{m_z}^{(\ell)}(x, u) + \int_{\mathbb{R}} dx' \sum_{m'_z=-\ell}^{\ell} \int_{-1}^1 du' \int_0^{2\pi} \frac{d\phi'}{(2\pi)^2} \frac{\langle \ell, m_z | e^{i\phi' L_x/\hbar} | \ell, m'_z \rangle}{\operatorname{ch}(x-x') + \frac{uu'+vv'\cos\phi'}{1+\alpha}} \tilde{\Phi}_{m'_z}^{(\ell)}(x', u') \quad (73)$$

where the arrow in the exponent of Ω indicates that x and x' tend to positive infinity, and the phase factors $e^{-im_z\theta/2}$ and $e^{im'_z\theta'/2}$ have been eliminated by a gauge transform on the spinor, $\Phi_{m_z}^{(\ell)}(x, u) = e^{-im_z\theta/2} \tilde{\Phi}_{m_z}^{(\ell)}(x, u)$. Then, one performs a spin rotation, by moving to the internal basis of the eigenstates $|\ell, m_x\rangle$ of L_x , in which $e^{i\phi L_x/\hbar}$ is diagonal: the components $\tilde{\Phi}_{m_x}^{(\ell)}(x, u)$ are all decoupled. For a given m_x , with $|m_x| \leq \ell$, the trick is to extend $\tilde{\Phi}_{m_x}^{(\ell)}(x, u)$ into a function of the real variable x and of the vector \mathbf{n} on the two-dimensional unit sphere:

$$F_{m_x}^{(\ell)}(x, \mathbf{n}) \equiv \tilde{\Phi}_{m_x}^{(\ell)}(x, \cos\theta) e^{im_x\phi} \quad (74)$$

where $\theta \in [0, \pi]$ and $\phi \in [0, 2\pi]$ are the polar and azimuthal angles of \mathbf{n} in spherical coordinates, e.g. with respect to x and y axes, $\mathbf{n} = (\cos\theta, \sin\theta\cos\phi, \sin\theta\sin\phi)$. In the phase factor $e^{im_x\phi'}$ in the numerator and in $\cos\phi'$ in the denominator, one can then replace ϕ' by $\phi' - \phi$: the integrand is a periodic function of ϕ' of period 2π and its integral has the same value whatever the interval of length 2π over which ϕ' runs. Then, one recognizes the scalar product $\mathbf{n} \cdot \mathbf{n}' = uu' + vv'\cos(\phi-\phi')$ where $\mathbf{n}' = (\cos\theta', \sin\theta'\cos\phi', \sin\theta'\sin\phi')$. The eigenvalue problem is now

$$\Omega_{m_x}^{\rightarrow(\ell)} F_{m_x}^{(\ell)}(x, \mathbf{n}) = \frac{[\alpha(2+\alpha)]^{1/2}}{1+\alpha} F_{m_x}^{(\ell)}(x, \mathbf{n}) + \int_{\mathbb{R}} dx' \int_{|\mathbf{n}|=1} \frac{d^2n}{(2\pi)^2} \frac{F_{m_x}^{(\ell)}(x', \mathbf{n}')}{\operatorname{ch}(x-x') + \frac{\mathbf{n} \cdot \mathbf{n}'}{1+\alpha}} \quad (75)$$

The corresponding operator is invariant by translation along x and by rotation of \mathbf{n} over the unit sphere. Its eigenfunctions $F_{m_x}^{(\ell)}(x, \mathbf{n})$ can therefore be taken as plane waves of the variable x and spherical harmonics of the variables (θ, ϕ) , with the *same* quantum number m_x (this is imposed by the form (74)) but with *any* integer quantum number $L \geq |m_x|$ for the total angular momentum:

$$F_{m_x}^{(\ell)}(x, \mathbf{n}) = e^{ikx} Y_L^{m_x}(\theta, \phi) \quad (76)$$

As usual for a rotationally invariant operator, the eigenvalue does not depend on m_x . It only depends on L , so it suffices to specialize to $m_x = 0$, where $Y_L^0(\theta, \phi) \propto P_L(\cos\theta)$, where $P_L(X)$ is the Legendre polynomial of degree L . Then, one gets the continuous spectrum “to the right” ($x, x' \rightarrow +\infty$):

$$\Omega_{m_x}^{\rightarrow(\ell)}(\alpha) \in \{\Lambda_L(ik, \alpha^{-1}), \forall k \in \mathbb{R}, \forall L \geq |m_x|\} \quad (77)$$

The function Λ_L of $s \in i\mathbb{R}$ and of the mass ratio was introduced and analytically calculated in [36, 37], generalizing previous results [38, 39]:

$$\begin{aligned} \Lambda_L(s, \beta) &\equiv \frac{(1+2\beta)^{1/2}}{1+\beta} + \int_{-1}^1 du \int_{\mathbb{R}} \frac{dx}{2\pi} \frac{e^{-sx} P_L(u)}{\operatorname{ch} x + \frac{\beta}{1+\beta} u} \\ &= \cos\nu(\beta) + \frac{1}{\sin\nu(\beta)} \int_{\frac{\pi}{2}-\nu(\beta)}^{\frac{\pi}{2}+\nu(\beta)} d\theta P_L \left(\frac{\cos\theta}{\sin\nu(\beta)} \right) \frac{\sin(s\theta)}{\sin(s\pi)} \end{aligned} \quad (78)$$

where, in the second expression obtained after integration over x [37],

$$\nu(\beta) = \operatorname{asin} \frac{\beta}{1+\beta} \quad (79)$$

is a mass angle. For all $\beta > 0$, it is found numerically for even L that the maximal value of $\Lambda_L(s, \beta)$ over $s \in i\mathbb{R}^+$ is reached at $s = 0$, and the minimal value is reached for $|s| \rightarrow +\infty$ (where $\Lambda_L(s, \beta)$ tends to $\cos\nu(\beta)$). For odd L , the situation is found to be reversed: $\Lambda_L(s, \beta)$ is minimal at $s = 0$ and maximal at infinity. To summarize, we expect that

$$\begin{aligned} \cos\nu(\beta) &\leq \Lambda_L(s, \beta) \leq \Lambda_L(0, \beta) & \forall s \in i\mathbb{R}, L \text{ even}, \\ \Lambda_L(0, \beta) &\leq \Lambda_L(s, \beta) \leq \cos\nu(\beta) & \forall s \in i\mathbb{R}, L \text{ odd} \end{aligned} \quad (80)$$

This allows to determine the borders of the continuous component of quantum number L in Eq. (77), see Fig. 2. A physical explanation for the emergence of the function Λ_L is postponed to the end of the section.

Sector $x \rightarrow -\infty, x' \rightarrow -\infty$: The calculation closely resembles the previous one, except that it is now the second contribution in the right-hand side of Eq. (69) that survives. This was expected from the symmetry relation (71). We arrive at the continuous spectrum “to the left” ($x, x' \rightarrow -\infty$):

$$\Omega_{m_x}^{\leftarrow(\ell)}(\alpha) \in \{\Lambda_L(ik, \alpha), \forall k \in \mathbb{R}, \forall L \geq |m_x|\} \quad (81)$$

that differs from (77) by the occurrence of α (rather than $1/\alpha$) in the argument of the Λ_L function [57]. The borders of the L -components of that continuum are plotted in Fig. 2 for the first few values of L , using the numerically checked property (80).

Parity considerations: At fixed ℓ , the results (77,81) are expressed in terms of the quantum number m_x , whereas the original problem only distinguishes between an even parity manifold (m_z is even) and an odd parity manifold (m_z is odd). In practice, due to the property (54), the continua (77,81) with $L = 0$ can be realized only in the manifold of parity $(-1)^\ell$, at any considered total angular momentum ℓ (obviously one must then take $m_x = 0$). The other continua (with $L \geq 1$) can all be realized, in both odd and even manifolds, for all values of $\ell \geq 0$ [58].

Physical discussion: The function $\Lambda_L(s, \beta)$ appears in the unitary three-body problem of two fermionic particles interacting with a single distinguishable particle, β being the mass ratio of the majority-to-minority species. For $s \in i\mathbb{R}$ this function is given by the first form in Eq. (78); it can be analytically extended to real values of s using e.g. the second form in Eq. (78) [37]. The zero-energy solutions of this three-body problem have an Efimov scaling exponent s : the three-body wavefunction scales as R^{s-2} , R being the three-particle hyperradius, and the allowed values of s at total angular momentum L must solve

$$\Lambda_L(s, \beta) = 0. \quad (82)$$

This three-body system exhibits an Efimov effect if and only if this equation has a purely imaginary solution $s \in i\mathbb{R}^*$. This occurs only at odd L , starting from a mass ratio [14]

$$\beta > \alpha_c(2; 1) = 13.60696\dots \quad (83)$$

for $L = 1$, and at increasingly larger critical mass ratios for $L = 3, 5, \dots$ [37, 40].

It is thus apparent that the asymptotic analysis of the $2+2$ fermionic problem brings up the three-body problem. This is intuitive in position space: imagine that at fixed position $\mathbf{r}_4 \neq \mathbf{0}$ of the fourth particle (of spin \downarrow), the positions $(\mathbf{r}_i)_{1 \leq i \leq 3}$ of the other particles (of spin $\uparrow\uparrow\downarrow$) simultaneously tend to zero; then the four-body wavefunction $\psi(\mathbf{r}_1, \mathbf{r}_2, \mathbf{r}_3, \mathbf{r}_4)$ must reproduce the behavior of the zero-energy scattering state of two \uparrow and one \downarrow particles, characterized by a mass ratio $\beta = m_\uparrow/m_\downarrow = \alpha$, in particular it must exhibit the same scaling exponents s as the $2+1$ problem (see §5.3.6 in reference [34]); as these scaling exponents solve Eq. (82) with $\beta = \alpha$, this explains the occurrence of $\Lambda_L(s, \alpha)$ in the spectrum (81) [59]. Even if $\ell = 0$ for the four-body system, L can take any value, as the angular momentum can be distributed among particle 4 and the first three particles. The equivalent in momentum space of the considered limit is to have divergent $(\mathbf{k}_i)_{1 \leq i \leq 3}$ at fixed \mathbf{k}_4 , which, due to scale invariance, is equivalent to having $\mathbf{k}_4 \rightarrow \mathbf{0}$ at fixed $(\mathbf{k}_i)_{1 \leq i \leq 3}$, that is

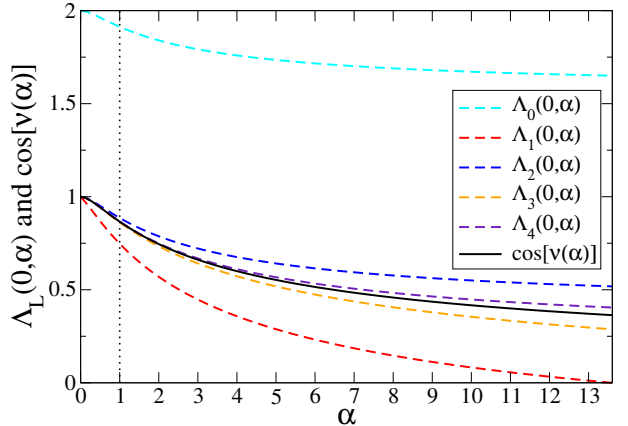


FIG. 2: (Color online) Analytically obtained borders of the continuous spectrum of $M(s)$ ($s \in i\mathbb{R}^+$) corresponding to the limits $x \rightarrow \pm\infty$. It is a collection of components characterized by an angular momentum quantum number L of a three-body asymptotic problem (not to be confused with the total angular momentum ℓ of the four-body states), leading to a continuous set of eigenvalues ranging from $\Lambda_L(0, \alpha)$ to $\cos[\nu(\alpha)]$ for $x \rightarrow -\infty$, and ranging from $\Lambda_L(0, 1/\alpha)$ to $\cos[\nu(1/\alpha)]$ for $x \rightarrow +\infty$, where α is the mass ratio given by Eq. (56), the Λ_L function is given by Eq. (78) and the mass angle ν is given by Eq. (79). We plot $\cos[\nu(\alpha)]$ (black solid line) and $\Lambda_L(0, \alpha)$ (color dashed lines, with $L = 0, 2, 4$ from top to bottom above the solid line, and $L = 1, 3$ from bottom to top below the solid line) as functions of $\alpha \in [0, \alpha_c(2; 1)]$ where $\alpha_c(2; 1)$ is the critical mass ratio (83) for the Efimov effect in the $\uparrow\uparrow\downarrow$ three-body problem. Due to the $\alpha \leftrightarrow 1/\alpha$ symmetry of the $2+2$ fermionic problem, one can restrict to $\alpha \geq 1$ (that is to the right of the vertical dotted line); the borders of the $x \rightarrow -\infty$ continuum can then be directly read on the figure, and the ones of the $x \rightarrow +\infty$ continuum can be obtained by mentally folding back the $\alpha \leq 1$ part of the figure into the $\alpha \geq 1$ part.

$x \rightarrow -\infty$ according to Eq. (21). This is why $\beta = \alpha$ corresponds to the spectrum (81). A similar reasoning with \mathbf{r}_2 fixed with $(\mathbf{r}_i)_{i \neq 2}$ tending to zero leads to $\beta = 1/\alpha$ and $x \rightarrow +\infty$, as for the spectrum (77).

C. A third, unexpected continuum

The first two contributions in Eq. (69) are innocuous: the denominator in their integrands cannot vanish, see Eqs. (59,60) and Eqs. (62,63), and, as we have seen, they have a short range in the (x, x') space. On the contrary, the third contribution in Eq. (69), which is non-zero only in the $(-1)^\ell$ parity sector, diverges when $(x, u) \rightarrow (0, -1)$ or $(x', u') \rightarrow (0, -1)$. This creates doubt about the bounded nature of the eigenvalues of $M(s)$, $s \in i\mathbb{R}$, for that parity. We investigate this problem mathematically in the appendix A and we conclude that $M(s)$ is bounded.

Physically, this divergence of the kernel leads to a quite interesting effect: the emergence of a third component of the continuous spectrum of $M(s)$, different from the previously discussed $x \rightarrow \pm\infty$ continua. The intuitive idea

is that one can turn the eigenvalue problem $\Omega\Phi = M(s)\Phi$ into an integral equation with a bounded kernel through an appropriate change of variables, with the consequence that one of the new variables, that we shall call t , can tend to $-\infty$, in which case the eigenvector Φ takes a plane wave structure $\propto \exp(ikt)$, $k \in \mathbb{R}$, with a spectrum:

$$\Omega^{(\ell)} \in \left\{ \frac{1}{\sqrt{2}} \left[1 - \frac{(-1)^\ell}{\operatorname{ch}(k\pi/2)} \right], \forall k \in \mathbb{R} \right\} \quad [\text{parity } (-1)^\ell] \quad (84)$$

This is an unexpected feature of the $2+2$ fermionic problem, absent in the $3+1$ fermionic case [13].

To obtain this result, we construct a local approximation to the integral equation in the vicinity of $(x, u) = (0, -1)$, $(x', u') = (0, -1)$, keeping only the leading diverging contributions. We use

$$y \equiv \pi - \theta \quad (85)$$

rather than $u = \cos \theta$ as integration variable, so that $y, y' \rightarrow 0$ when $u, u' \rightarrow -1$. This pulls out a Jacobian $\sin y'$ that we absorb (in a way preserving the hermiticity of the problem) with a change of function. We also take into account the fact that the third, diverging contribution in Eq. (69) involves a projector onto the $|\ell, m_x = 0\rangle$ state, and that the phase factors $e^{im_z\gamma}$ and $e^{-im'_z\gamma'}$, $[(u + \operatorname{ch} x) \operatorname{ch} x]^{-s/2}$ and $[(u' + \operatorname{ch} x') \operatorname{ch} x']^{s/2}$ can be eliminated by a change of gauge. Hence the ansatz

$$\Phi_{m_z}^{(\ell)}(x, u) = \frac{(x^2 + y^2)^{-s/2}}{y^{1/2}} e^{im_z\gamma} \langle \ell, m_z | \ell, m_x = 0 \rangle \Phi(x, y) \quad (86)$$

where $\sin y$ was linearized, $u + \operatorname{ch} x$ was quadratized. The resulting local eigenvalue problem is

$$\left(\Omega - \frac{1}{\sqrt{2}} \right) \Phi(x, y) = -\frac{(-1)^\ell}{2^{1/2}\pi} \int_D \frac{dx' dy' (yy')^{1/2}}{[(x^2 + y^2)(x'^2 + y'^2)]^{1/4}} \times \frac{\Phi(x', y')}{x^2 + y^2 + x'^2 + y'^2} \quad (87)$$

where we have conveniently restricted the integration to the upper half ($y > 0$) of the disk D of radius $\rho_0 \ll 1$ centered in $(0, 0)$. In polar coordinates

$$(x, y) = (\rho \cos \psi, \rho \sin \psi) \quad (88)$$

only $(yy')^{1/2}$ depends on ψ in the kernel. It depends on ψ in a factorised way so that Φ is also factorised:

$$\Phi(x, y) = \rho^{-1/2} \Phi(\rho) (\sin \psi)^{1/2} \quad (89)$$

and, since $\int_0^\pi d\psi' \sin \psi' = 2$,

$$\left(\Omega - \frac{1}{\sqrt{2}} \right) \Phi(\rho) = -\frac{(-1)^\ell 2^{1/2}}{\pi} \int_0^{\rho_0} d\rho' \frac{(\rho\rho')^{1/2}}{\rho^2 + \rho'^2} \Phi(\rho') \quad (90)$$

The scale invariance of this kernel motivates the logarithmic change of variable

$$t = \ln \frac{\rho}{\rho_0} \quad \text{and} \quad \phi(t) = \left(\frac{\rho}{\rho_0} \right)^{1/2} \Phi(\rho) \quad (91)$$

The resulting eigenvalue problem

$$\Omega\phi(t) = \frac{1}{2^{1/2}} \phi(t) - \frac{(-1)^\ell}{2^{1/2}\pi} \int_{-\infty}^0 \frac{dt' \phi(t')}{\operatorname{ch}(t-t')} \quad (92)$$

admits Eq. (84) as a continuous spectrum with eigenfunctions $\phi(t)$ that are for $t \rightarrow -\infty$ linear superpositions of e^{ikt} and e^{-ikt} , since $\int_{\mathbb{R}} dt e^{ikt}/\operatorname{ch} t = \pi/\operatorname{ch}(k\pi/2)$; we have checked numerically that it has no discrete eigenvalue [60].

Physical interpretation: We collect Eqs. (86, 89, 91), taking as a particular solution of Eq. (92) at t large and negative the function $\phi(t) = 1$, which corresponds to an asymptotic plane wave in t space with a vanishing wave vector, that is to $k = 0$ in Eq. (84) [61]. Restricting for simplicity to a zero total angular momentum $\ell = 0$ [62], we then find that

$$\Phi_0^{(0)}(x, u) \underset{(x, u) \rightarrow (0, -1)}{\propto} \frac{1}{\rho^{s+3/2}} \quad (93)$$

A more inspiring writing is obtained in terms of the center-of-mass and relative wavevectors $\mathbf{K}_{24} = \mathbf{k}_2 + \mathbf{k}_4$ and $\mathbf{k}_{24} = (\mathbf{k}_2 - \alpha \mathbf{k}_4)/(1 + \alpha)$ of particles 2 and 4:

$$\Phi^{(0)}(x, u) \underset{K_{24}/k_{24} \rightarrow 0}{\propto} \left(\frac{k_{24}}{K_{24}} \right)^{s+3/2} \quad (94)$$

One has indeed $\rho^2 \simeq 2(u + \operatorname{ch} x)$ and $K_{24}^2 = 2k_2^2 e^x (u + \operatorname{ch} x)$, so that K_{24} and ρ vanish in the same way when $(x, u) \rightarrow (0, -1)$; also the ratio K_{24}/k_{24} tends to zero if and only if $u + \operatorname{ch} x \rightarrow 0$ [63]. Restricting to a small neighbourhood of the singularity, $K_{24} < \epsilon k_{24}$, where $\epsilon \ll 1$, we can in the ansatz (20) approximate the factor $(\operatorname{ch} x)^{s+3/2}$ by one and, in the denominator, approximate $k_2^2 + k_4^2 = 2k_{24}^2 + 2\frac{\alpha-1}{\alpha+1} \mathbf{k}_{24} \cdot \mathbf{K}_{24} + \frac{1+\alpha^2}{(1+\alpha)^2} K_{24}^2$ by its leading order approximation $2k_{24}^2$ to isolate the singular behavior of $D(\mathbf{k}_2, \mathbf{k}_4)$:

$$D_{\text{sing}}(\mathbf{k}_2, \mathbf{k}_4) \propto \frac{1}{k_{24}^{s+7/2}} \left(\frac{k_{24}}{K_{24}} \right)^{s+3/2} \quad (95)$$

The key idea is then to see how this translates into a singularity of the regular part \mathcal{A}_{13} of the four-body wavefunction that appears in the Wigner-Bethe-Peierls contact condition (1). As we have seen below Eq. (5), $\mathcal{A}_{13} = \mathcal{A}$ is related to $D(\mathbf{k}_2, \mathbf{k}_4)$ by a Fourier transform; using $(\mathbf{k}_{24}, \mathbf{K}_{24})$ rather than $(\mathbf{k}_2, \mathbf{k}_4)$ as integration variables, and the fact that $\mathbf{k}_2 \cdot \mathbf{r}_2 + \mathbf{k}_4 \cdot \mathbf{r}_4 = \mathbf{k}_{24} \cdot \mathbf{r}_{24} + \mathbf{K}_{24} \cdot \mathbf{R}_{24}$, where $\mathbf{r}_{24} = \mathbf{r}_2 - \mathbf{r}_4$ and $\mathbf{R}_{24} = (m_2 \mathbf{r}_2 + m_4 \mathbf{r}_4)/(m_2 + m_4)$ are the relative and center-of-mass coordinates of the particles 2 and 4, we obtain for the contribution to \mathcal{A} of the singularity of D :

$$\begin{aligned} \mathcal{A}_{\text{sing}}(\mathbf{r}_2 - \mathbf{R}_{13}, \mathbf{r}_4 - \mathbf{R}_{13}) &\propto \int_{K_{24} < \epsilon k_{24}} d^3 k_{24} d^3 K_{24} e^{i\mathbf{K}_{24} \cdot (\mathbf{R}_{24} - \mathbf{R}_{13})} \\ &\times \frac{e^{i\mathbf{k}_{24} \cdot \mathbf{r}_{24}}}{k_{24}^{s+7/2}} \left(\frac{k_{24}}{K_{24}} \right)^{s+3/2} \end{aligned} \quad (96)$$

Integrating over the solid angles for \mathbf{k}_{24} and \mathbf{K}_{24} , performing the change of variable $K_{24} = qk_{24}r_{24}/|\mathbf{R}_{24}-\mathbf{R}_{13}|$ at fixed k_{24} , changing the order of integration over k_{24} and q and finally integrating over k_{24} [64] we obtain

$$\begin{aligned} \mathcal{A}_{\text{sing}}(\mathbf{r}_2 - \mathbf{R}_{13}, \mathbf{r}_4 - \mathbf{R}_{13}) &\propto \frac{|\mathbf{R}_{24} - \mathbf{R}_{13}|^{s-3/2}}{r_{24}} \\ &\times \int_0^{\epsilon|\mathbf{R}_{24}-\mathbf{R}_{13}|/r_{24}} \frac{dq}{q^{s+1/2}} [|q-1|^{s-1/2} - (q+1)^{s-1/2}] \end{aligned} \quad (97)$$

It then becomes obvious that the singularity in $D(\mathbf{k}_2, \mathbf{k}_4)$ at $\mathbf{k}_2 + \mathbf{k}_4 = \mathbf{0}$ is linked to a $1/r_{24}$ divergence of the regular part \mathcal{A}_{13} of the four-body wavefunction at $r_{24} = 0$ [65] [66]. This was physically expected: $\mathcal{A}_{13}(\mathbf{r}_2 - \mathbf{R}_{13}, \mathbf{r}_4 - \mathbf{R}_{13})$ is essentially the wavefunction of particles 2 and 4 knowing that particles 1 and 3 have converged to the same location in the s -wave; since 2 and 4 are in different spin states, they interact in the s -wave and must be sensitive to the 2 – 4 Wigner-Bethe-Peierls contact conditions, which implies a $1/r_{24}$ divergence when $r_{24} \rightarrow 0$. Such a divergence of \mathcal{A}_{13} was already pointed out in the scattering problem of two $\uparrow\downarrow$ dimers in reference [41], and in the general $N_\uparrow + N_\downarrow$ fermionic problem when $N_\uparrow \geq 2$ and $N_\downarrow \geq 2$ in reference [42] (see footnote 20 of that reference) [67].

This interpretation of the matrix kernel singularity at $(x, u) = (0, -1)$ has a simple, though illuminating implication: The $1/r_{24}$ divergence in \mathcal{A}_{13} can take place only when the particles 2 and 4 converge to the same location in the relative partial wave of zero angular momentum, since \uparrow and \downarrow particles resonantly interact only in the s -wave. In such a configuration the angular momentum ℓ of the function \mathcal{A}_{13} (that is of the whole system) is carried out by the center of mass motion of particles 2 and 4 with respect to \mathbf{R}_{13} ; in this case there is a univocal link between the angular momentum ℓ and the parity, as for single particle systems, and the parity of \mathcal{A}_{13} must be $(-1)^\ell$. This explains why the singularity at $(x, u) = (0, -1)$, and ultimately the third continuum (84), can appear only in that parity channel [68].

V. SEARCH FOR THE FOUR-BODY EFIMOV EFFECT

In the $3 + 1$ fermionic problem, the signature of a four-body Efimov effect was that an eigenvalue of the corresponding $M(s = 0)$ operator crosses zero for some value of α below $\alpha_c(2; 1) \simeq 13.6069$, specifically for $\alpha = \alpha_c(3; 1) \simeq 13.384$ [13]. The question here is to know whether or not such a crossing can occur for the $2 + 2$ fermionic problem, that is for $M(s = 0)$ corresponding to Eqs. (68,69). We answer this question by a numerical calculation of the eigenvalues of $M(s = 0)$.

Numerical implementation: In the $(-1)^{\ell+1}$ parity sector, we truncate the x variable in a symmetric way, that is to $[x_{\min} = -x_{\max}, x_{\max}]$, and we dis-

cretize it with a uniform step dx according to the usual mid-point integration method. We use θ rather than $u = \cos \theta$ as integration variable, so that we use $\check{\Phi}(x, \theta) = (\sin \theta)^{1/2} \Phi(x, u)$ rather than $\Phi(x, u)$ as the unknown function; multiplying the eigenvalue problem $\Omega \Phi = M(s = 0) \Phi$ by $(\sin \theta)^{1/2}$, we get an hermitian eigenvalue problem with the same eigenvalues, the same diagonal part and a kernel $\check{K}_{m_z, m'_z}^{(\ell)}(x, \theta; x', \theta') = (\sin \theta \sin \theta')^{1/2} K_{m_z, m'_z}^{(\ell)}(x, u; x', u')$ with $u = \cos \theta$, $u' = \cos \theta'$. For better accuracy, we use the Gauss-Legendre integration scheme [44] for θ' as this angular variable is naturally bounded to $[0, \pi]$ [69].

In the $(-1)^\ell$ parity sector, there is the additional complication that the kernel diverges at the point $(x, \theta) = (0, \pi)$, making the previous (x, θ) discretisation inefficient. At a small distance from this point, say less than ρ_0 , the optimal set of variables is (t, ψ) , where $\psi \in [0, \pi]$ is defined by Eq. (88) and $t \in \mathbb{R}^-$ is given by Eq. (91), since the resulting kernel is bounded after a convenient change of the unknown function $\tilde{\Phi}_{m_z}^{(\ell)}(t, \psi) = \rho \check{\Phi}_{m_z}^{(\ell)}(x, \theta)$, see Eq. (92). So we resort to a mixed scheme: for $\rho = [x^2 + (\pi - \theta)^2]^{1/2} > \rho_0$, we use the (x, θ) set of variables, with x uniformly discretised with a step dx submultiple of ρ_0 and θ discretised according to a Gauss-Legendre scheme over the interval $[0, \theta_{\max}]$ where $\theta_{\max} = \pi$ for $|x| > \rho_0$ and $\theta_{\max} = \pi - (\rho_0^2 - x^2)^{1/2}$ for $|x| \leq \rho_0$, the number of angular points being scaled linearly with θ_{\max} ; for $\rho < \rho_0$, we use the (t, ψ) set of variables, with t truncated to $[t_{\min}, 0]$ and discretized with a uniform step dt according to the mid-point integration method, and $\psi \in [0, \pi]$ discretised according to the Gauss-Legendre scheme [70].

Results: The numerically obtained spectrum of $M(s = 0)$ for the $2 + 2$ fermionic problem is plotted in Fig. 3 [left half for the $(-1)^\ell$ parity channels, right half for the $(-1)^{\ell+1}$ parity channels], for the first values $0 \leq \ell \leq 3$ of the four-body internal angular momentum quantum number ℓ , as a function of the mass ratio $\alpha = \frac{m_\uparrow}{m_\downarrow}$. It is a symmetric function under the exchange $\alpha \leftrightarrow 1/\alpha$ so the figure is restricted to $\alpha \geq 1$; as the starting integral equation (13) assumes scale invariance, which is broken by the three-body Efimov effect beyond the threshold $\alpha_c(2; 1) = 13.6069 \dots$, the figure is also restricted to $\alpha < \alpha_c(2; 1)$.

For the $(-1)^\ell$ parity channels, the spectrum is entirely within the limits of the analytically predicted continuous spectrum, which are shown as dashed lines, except for even ℓ in a barely visible small triangle [71] close to $\Omega = 0.75$ with $1 \leq \alpha \lesssim 1.2$: this means that the necessarily discrete numerical spectrum must tend to a continuum when the truncations $x_{\max} = -x_{\min}$ and t_{\min} tend to $+\infty$ and $-\infty$ respectively. The lower border of the continuum corresponds for even ℓ to the $k \rightarrow 0$ limit in Eq. (84), that is zero, and for odd ℓ to the smallest of the two quantities, $1/\sqrt{2}$ [this is the $k \rightarrow +\infty$ limit of Eq. (84)] and $\Lambda_{L=1}(0, \alpha)$ [this is the minimal value of Eq. (81), see Fig. 2]. The upper border of the continuum

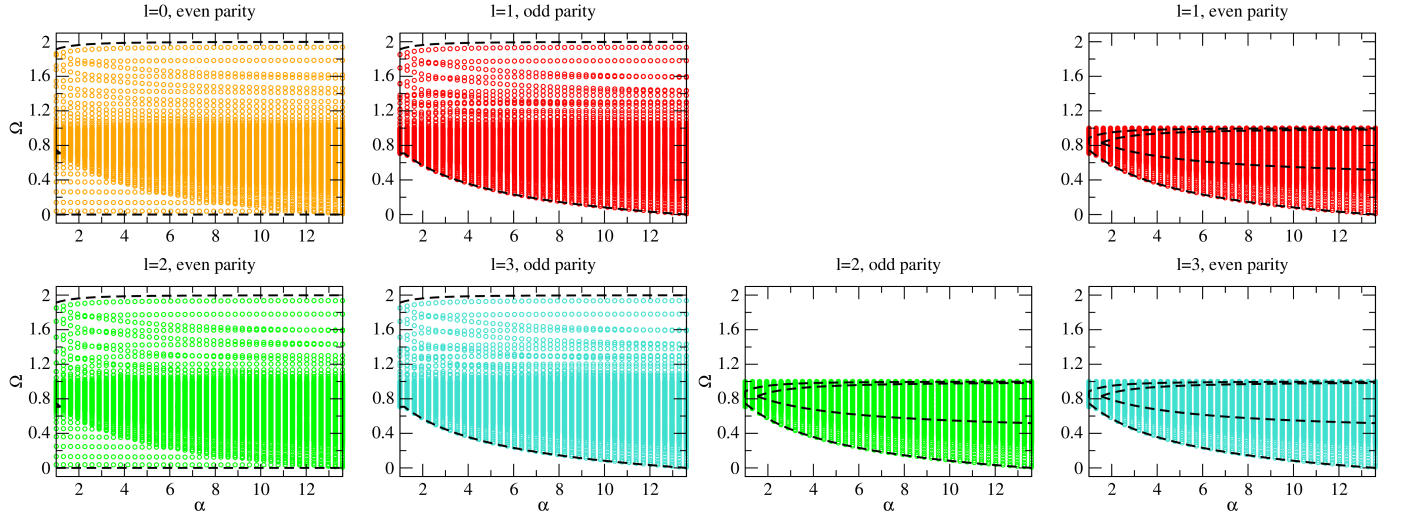


FIG. 3: (Color online) Eigenvalues of $M(s = 0)$ as functions of the mass ratio $\alpha \in [1, 13.6]$, for various values of the angular momentum ℓ and the parity [left half for the parity $(-1)^\ell$, right half for the parity $(-1)^{\ell+1}$], obtained numerically after discretisation and truncation of the variables x and θ in the zone $\rho \equiv [x^2 + (\pi - \theta)^2]^{1/2} > \rho_0$ and of their log-polar versions $t \equiv \ln(\rho/\rho_0)$ and ψ in the zone $\rho < \rho_0$ (see text): $x_{\max} = -x_{\min} = 12$, $dx = 1/5$, $d\theta \simeq \pi/15$, $\rho_0 = 2/5$, $t_{\min} = -12$, $dt = 1/5$, $d\psi = \pi/15$, with the Gauss-Legendre integration scheme for the integrals over θ and ψ , and the mid-point integration formula for the integrals over x and t . For the $(-1)^{\ell+1}$ parity channels the $\rho < \rho_0$ zone is not useful and is not included in the numerics. The boundaries of the continuous spectrum of $M(s)$ are given by black thick dashed curves: for the $(-1)^{\ell+1}$ parity channels, this corresponds to the $x \rightarrow +\pm\infty$ continua of Eqs. (77,81) with all $L \geq 1$; for the $(-1)^\ell$ parity channels, this corresponds to the $x \rightarrow +\pm\infty$ continua of Eqs. (77,81) with all $L \geq 0$ and to the $(x, \theta) \rightarrow (0, \pi)$ [that is $t \rightarrow -\infty$] continuum of Eq. (84). Contrarily to the $3+1$ case, no eigenvalue of $M(s = 0)$ is found to cross zero for $\alpha < \alpha_c(2; 1) = 13.6069\dots$: no four-body Efimov effect is found for the $2+2$ fermionic problem.

corresponds, whatever the parity of ℓ , to $\Lambda_{L=0}(0, 1/\alpha)$ [this is the maximal value of Eq. (77), see Fig. 2].

For the $(-1)^{\ell+1}$ parity channels, there are three differences. First, the continuum (84) cannot be realized, so that the lower border of the continuous spectrum of $M(s = 0)$, now given by $\Lambda_{L=1}(0, \alpha)$, reaches zero only at $\alpha = \alpha_c(2; 1)$. Second, the $L = 0$ continua in Eqs. (77, 81) cannot be realized so that the upper border of the continuum of $M(s = 0)$, given by $\Lambda_{L=2}(0, 1/\alpha)$, is everywhere below $1 = \lim_{\alpha \rightarrow +\infty} \Lambda_{L=2}(0, 1/\alpha)$. Third, the continuum presents, in the $\alpha - \Omega$ plane for $1.53 \lesssim \alpha$, a large void internal area, corresponding to $\Lambda_{L=2}(0, \alpha) < \Omega < \Lambda_{L=1}(0, 1/\alpha)$. Still, many numerically found eigenvalues lay in this internal area: these eigenvalues must correspond to the discrete spectrum of $M(s = 0)$, with localized (square-integrable) eigenfunctions [72]. We checked this numerically by calculating the density of states of $M(s = 0)$, in practice the histogram of its eigenvalues, for increasing values of the numerical truncation $x_{\max} = -x_{\min}$: by doubling the values of x_{\max} and x_{\min} , the spacing $\approx \pi/x_{\max}$ between successive k in Eqs. (77,81) is approximately divided by two so that the density of states of the numerical quasi-continuum is approximately multiplied by two, whereas the density of states of the discrete spectrum is essentially not (only exponentially weakly) affected as soon as x_{\max} is much larger than the localized eigenfunctions width in x space. This is what is observed in Fig. 4, knowing that the lo-

cations of the internal and external borders of the continuum (corresponding to the dashed lines in Fig. 3) are indicated by vertical dashed lines in Fig. 4.

Synthesis: Contrarily to the $3+1$ case, no discrete eigenvalue of $M(s = 0)$ (necessarily discrete because it would be below the lower border of the continuum) crosses zero for $\alpha < \alpha_c(2; 1) = 13.6069\dots$, that is below the three-body Efimov effect threshold: no four-body Efimov effect is found for the $2+2$ fermionic problem [73]. This conclusion is apparent in Fig. 3, obtained for all the internal angular momentum quantum numbers $0 \leq \ell \leq 3$. It extends to all the angular momentum values that we were able to numerically explore, $4 \leq \ell \leq 12$, as we have shown with a dedicated careful spectral analysis almost perfectly at the three-body critical mass ratio, $\alpha = 13.6069$, see Fig. 5.

VI. CONCLUSION

We have studied in three dimensions a four-body $2+2$ fermionic system with resonant interactions and we have derived its momentum space integral equations at zero energy. By using rotational invariance and scale invariance, we have reduced them to a numerically tractable two-dimensional form (the unknown function depends on two variables only). With these equations we have numerically shown that no four-body Efimov effect occurs

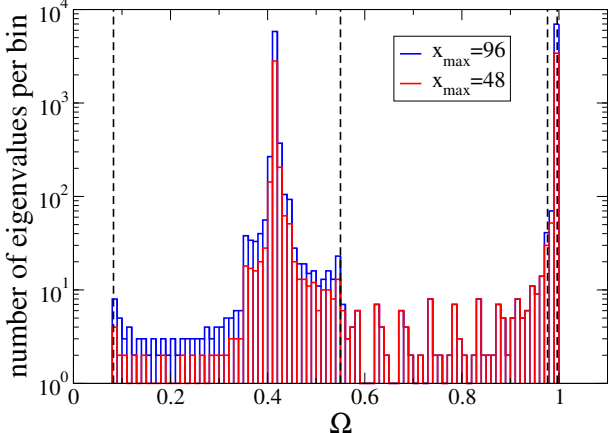


FIG. 4: (Color online) Histogram of the eigenvalues Ω of $M(s=0)$ for a mass ratio $\alpha = 10$ and an angular momentum $\ell = 1$ in the $(-1)^{\ell+1}$ parity channels, obtained numerically after discretisation and truncation of the x and θ variables. The numerical grid is the same as in Fig. 3, except that much larger values of $x_{\max} = -x_{\min}$ are used, to reveal the emergence of the continuous part of the spectrum in the $x_{\max} \rightarrow +\infty$ limit: $x_{\max} = 48$ (red bars in the foreground) and $x_{\max} = 96$ (blue bars in the background). The black vertical dashed lines indicate the analytically predicted borders of the continuous spectrum (as in Fig. 3); in between the first two ones and in between the last two ones, it is indeed observed that the number of eigenvalues per bin is approximately multiplied by two when x_{\max} is doubled. On the contrary, the histogram is unaffected by the change of x_{\max} in the bins strictly in between the second and third dashed lines, indicating that the corresponding eigenvalues belong to the discrete spectrum of $M(s=0)$, with localized eigenfunctions in x space.

for the 2+2 fermionic system in angular momentum channels $0 \leq \ell \leq 12$. The 3+1 fermionic system thus remains the only known one exhibiting a four-body Efimov effect [13].

A detailed treatment of the second motivation for deriving these integral equations, that is a calculation of the already measured [20, 21] fourth cluster coefficient b_4 of the spin 1/2 unitary Fermi gas, is beyond the scope of this paper. Still we have numerically calculated an educated guess for b_4 inspired from the analytical form of the third cluster coefficient b_3 [28, 29]: it is found that this guess does not reproduce the experimental value (see Appendix B) so that a dedicated work is needed and left for the future.

Acknowledgments

We acknowledge useful discussions with J. Levinsen and D. Gridnev. S.E. thanks the Japan Society for the Promotion of Science (JSPS) for support. The group of Y.C. is affiliated to IFRAF.

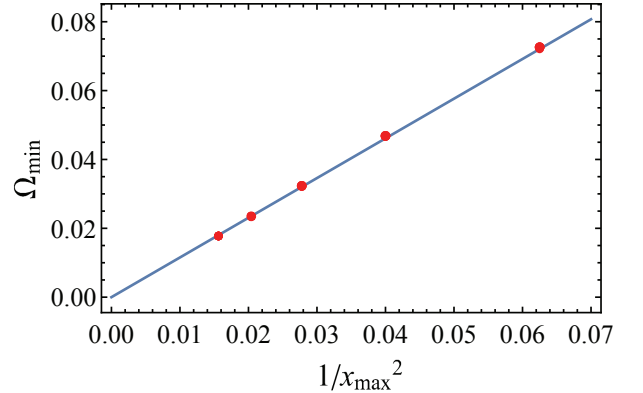


FIG. 5: (Color online) Numerically determined minimal eigenvalue Ω_{\min} of $M^{(\ell)}(s=0)$ almost at the three-body critical mass ratio, $\alpha = 13.6069 \simeq \alpha_c(2;1)$, as a function of the numerical cut-off $t_{\min} = -x_{\max}$. For each given cut-off value, each angular momentum ℓ from 0 to 12 and parity sector $(-1)^\ell$ and $(-1)^{\ell+1}$ contributes as a point in the figure: The fact that the points (in red) are superimposed and cannot be distinguished shows that Ω_{\min} does not depend on ℓ nor on the parity. Furthermore, Ω_{\min} is always positive, it is linear in $1/x_{\max}^2$ and extrapolates to zero for infinite cut-off (see blue line): This is perfectly consistent with the fact that Ω_{\min} corresponds to the lower border of the 2+1 continuum $\Lambda_{L=1}(ik, \alpha)$, where k has a minimal, discrete value scaling as $1/x_{\max}$ in presence of the numerical cut-off, and $\Lambda_{L=1}(ik, \alpha_c(2;1))$ vanishes quadratically at $k = 0$. In other words, there is no negative Ω_{\min} and no four-body Efimov effect for 2+2 fermions.

Appendix A: Is the spectrum of $M(s)$ bounded?

In the parity sector $(-1)^\ell$, the third contribution in Eq. (69) diverges when $(x, u) \rightarrow (0, -1)$ or $(x', u') \rightarrow (0, -1)$. The question is to know if this makes the operator $M(s)$ unbounded, for a purely imaginary $s = iS$.

To investigate this problem, we construct a simplified functional that focuses on the diverging part of the matrix kernel (69), replacing each non-zero limit expression by its limit, and replacing the vanishing expressions by their leading order (here quadratic) approximations:

$$u + \text{ch } x \simeq \frac{1}{2}(x^2 + y^2) \quad \text{with} \quad y \equiv \pi - \theta. \quad (\text{A1})$$

Dropping numerical factors and other bounded pieces (for example the bit raised to the power s , of modulus one), we obtain the mean- Ω functional

$$\langle \Omega \rangle = \frac{\int dx du \int dx' du' \frac{\Phi^*(x, u)\Phi(x', u')}{[(x^2 + y^2)(x'^2 + y'^2)]^{1/4}(x^2 + y^2 + x'^2 + y'^2)}}{\int dx du |\Phi(x, u)|^2} \quad (\text{A2})$$

where the integrals are taken over some convenient neighborhood of $(x, u) = (0, -1)$. It is convenient to use the angle θ rather than $u = \cos \theta$ as integration variable, which pulls out a Jacobian $\sin \theta \simeq y$; we absorb it in the integral in the denominator of Eq. (A2) with the change

of function

$$\check{\Phi} = (\sin \theta)^{1/2} \Phi(x, u) \quad (\text{A3})$$

A factor $(\sin \theta \sin \theta')^{1/2} \simeq (yy')^{1/2}$ remains in the integrand in the numerator. We restrict the integration over (x, y) to the upper half $y > 0$ of the disk $x^2 + y^2 < 1$. Then it is natural to move to polar coordinates:

$$(x, y) = (\rho \cos \phi, \rho \sin \phi) \quad (\text{A4})$$

so that $x^2 + y^2 = \rho^2$, $x'^2 + y'^2 = \rho'^2$ and $(yy')^{1/2} = (\rho\rho')^{1/2}(\sin \phi \sin \phi')^{1/2}$. The occurrence of the Jacobians ρ and ρ' in the elements $\rho d\rho$ and $\rho' d\rho'$ motivates the change of variable in the radial integration:

$$X = \rho^2 \text{ and } X' = \rho'^2. \quad (\text{A5})$$

Then, considering $\check{\Phi}$ as a function of X and ϕ , we obtain

$$\langle \Omega \rangle = \frac{\int_0^1 \frac{dX dX'}{X+X'} \int_0^\pi d\phi d\phi' (\sin \phi \sin \phi')^{1/2} \check{\Phi}^*(X, \phi) \check{\Phi}(X', \phi')}{2 \int_0^1 dX \int_0^\pi d\phi |\check{\Phi}(X, \phi)|^2} \quad (\text{A6})$$

To get rid of the polar angle ϕ , we introduce

$$\Phi_a(X) \equiv \int_0^\pi d\phi (\sin \phi)^{1/2} \check{\Phi}(X, \phi) \quad (\text{A7})$$

so that the integral over ϕ and ϕ' in the numerator of Eq. (A6) reduces to the product $\Phi_a^*(X) \Phi_a(X')$. In that numerator, we use the fact that the modulus of the integral over X and X' is less than the integral of the modulus, and that $\frac{1}{X+X'} \leq \frac{1}{(X^2+X'^2)^{1/2}}$. In the denominator of Eq. (A6), at fixed X , we apply over the interval $\phi \in [0, \pi]$ the Cauchy-Schwarz inequality $|\langle f|g \rangle|^2 \leq \langle f|f \rangle \langle g|g \rangle$ (in Dirac's notation) with $f(\phi) = (\sin \phi)^{1/2}$ and $g(\phi) = \check{\Phi}(X, \phi)$; after integration of the resulting inequality over X , we get:

$$\int_0^1 dX |\Phi_a(X)|^2 \leq 2 \int_0^1 dX \int_0^\pi d\phi |\check{\Phi}(X, \phi)|^2 \quad (\text{A8})$$

whose right-hand side is the denominator of Eq. (A6). We arrive at

$$|\langle \Omega \rangle| \leq \frac{\int_0^1 dX \int_0^1 dX' \frac{|\Phi_a(X)| |\Phi_a(X')|}{(X^2+X'^2)^{1/2}}}{\int_0^1 dX |\Phi_a(X)|^2} \quad (\text{A9})$$

We again move to polar coordinates

$$(X, X') = (r \cos \psi, r \sin \psi) \quad (\text{A10})$$

so as to simplify the factor $\frac{1}{(X^2+X'^2)^{1/2}} = \frac{1}{r}$ with the Jacobian and to obtain

$$|\langle \Omega \rangle| \leq \frac{\int_0^{\pi/2} d\psi \int_0^{R(\psi)} dr |\Phi_a(r \cos \psi)| |\Phi_a(r \sin \psi)|}{\int_0^1 dX |\Phi_a(X)|^2} \quad (\text{A11})$$

Since the domain of integration over (X, X') is the square $[0, 1]^2$, ψ runs over $[0, \pi/2]$ and, at fixed ψ , r runs over $[0, R(\psi)]$ with

$$R(\psi) = \min \left(\frac{1}{\cos \psi}, \frac{1}{\sin \psi} \right). \quad (\text{A12})$$

In the integral over r at fixed ψ , we again use the Cauchy-Schwarz inequality over the interval $r \in [0, R(\psi)]$ with $f(r) = |\Phi_a(r \cos \psi)|$ and $g(r) = |\Phi_a(r \sin \psi)|$:

$$\begin{aligned} \int_0^{R(\psi)} dr |\Phi_a(r \cos \psi)| |\Phi_a(r \sin \psi)| &\leq \\ \left[\int_0^{R(\psi)} dr |\Phi_a(r \cos \psi)|^2 \right]^{1/2} \left[\int_0^{R(\psi)} dr |\Phi_a(r \sin \psi)|^2 \right]^{1/2} & \end{aligned} \quad (\text{A13})$$

In the first factor in the right-hand side of Eq. (A13), we perform the change of variable $X = r \cos \psi$, so that

$$\begin{aligned} \int_0^{R(\psi)} dr |\Phi_a(r \cos \psi)|^2 &= \frac{1}{\cos \psi} \int_0^{R(\psi) \cos \psi} dX |\Phi_a(X)|^2 \\ &\leq \frac{1}{\cos \psi} \int_0^1 dX |\Phi_a(X)|^2 \end{aligned} \quad (\text{A14})$$

where we used $R(\psi) \cos \psi \leq 1$ and the non-negativeness of $|\Phi_a|^2$. The last integral in Eq. (A14) is nothing but the denominator in the right-hand side of Eq. (A11)! We proceed similarly in the second factor in the right-hand side of Eq. (A13), except that $\cos \psi$ is replaced with $\sin \psi$. Finally the denominator in Eq. (A11) cancels out, so that

$$|\langle \Omega \rangle| \leq \int_0^{\pi/2} \frac{d\psi}{(\cos \psi \sin \psi)^{1/2}} < +\infty \quad (\text{A15})$$

and the spectrum of $M(s)$ is bounded, when $s \in i\mathbb{R}$.

Appendix B: Enunciating and testing a conjecture for b_4

1. The cluster expansion

Consider a spatially uniform spin 1/2 Fermi gas at thermal equilibrium in the grand canonical ensemble in the thermodynamic limit, with a temperature T , and a single chemical potential μ since the gas is unpolarized. The well-known cluster expansion is a series expansion of its pressure in powers of the fugacity $z = \exp(\beta\mu)$ in the non-degenerate limit $\mu \rightarrow -\infty$ for a fixed temperature T , with $\beta = 1/(k_B T)$ [45]. For our gas, it is generally written as

$$\frac{P\lambda^3}{k_B T} = 2 \sum_{n \geq 1} b_n z^n \quad (\text{B1})$$

where the overall factor 2 accounts for the number of spin components and λ is the thermal de Broglie wavelength

$$\lambda = \left(\frac{2\pi\hbar^2}{mk_B T} \right)^{1/2} \quad (\text{B2})$$

When reexpanded in terms of the small degeneracy parameter $\rho\lambda^3$, where ρ is the total density, the cluster expansion gives rise to the virial expansion with virial coefficients a_n [45]. In practice, one rather considers the deviation Δb_n of b_n from its ideal Fermi gas value, that is (for $n > 1$) from the mere effect of Fermi statistics:

$$b_n = \frac{(-1)^{n+1}}{n^{5/2}} + \Delta b_n \quad (\text{B3})$$

While the cluster expansion has been studied for a long time and the second cluster coefficient b_2 was obtained analytically in reference [46] (note that $b_1 = 1$ according to the ideal gas law), there is a renewed interest in the cluster coefficients for $n > 2$. First, the new challenge is to calculate the b_n for resonant s -wave interactions (with a scattering length a much larger in absolute value than the interaction range), whereas previous studies were concentrating on the hard sphere model [47]. Second, the b_n have been extracted up to $n = 4$ in the unitary limit, from a measurement of the equation of state of ultracold atomic Fermi gases [20, 21]. The two independent groups have reported consistent values of the fourth cluster coefficient:

$$\Delta b_4^{\text{ENS}} = 0.096(15) \quad \text{and} \quad \Delta b_4^{\text{MIT}} = 0.096(10) \quad (\text{B4})$$

2. In the unitary limit

For zero-range interactions with infinite s -wave scattering length $a^{-1} = 0$, i.e. in the unitary limit, the harmonic regulator method used in [25], that introduces an isotropic harmonic trapping potential, is quite efficient, due to the $\text{SO}(2, 1)$ dynamical symmetry resulting from the scale invariance [33, 48] and the subsequent separability of Schrödinger's equation in hyperspherical coordinates [32, 38] in the trap. The value of b_n can be deduced from the canonical partition functions, that is from the energy spectra, of all the possible k -body problems in the trap, with $k \leq n$. One has the following expansion of the grand potential Ω of the thermal equilibrium gas in the trap:

$$\frac{-\Omega}{k_B T Z_1} = \sum_{(n_\uparrow, n_\downarrow) \in \mathbb{N}^{2*}} B_{n_\uparrow, n_\downarrow}(\omega) z_\uparrow^{n_\uparrow} z_\downarrow^{n_\downarrow} \quad (\text{B5})$$

where Z_1 is the canonical partition function for one particle in the trap, and it is convenient at this stage to be general and introduce independent chemical potentials μ_σ for the various spin components σ , so that $z_\sigma = \exp(\beta\mu_\sigma)$. Then, from the asymptotically exact local density approximation [26] (see also [25]), and introducing also the

deviations $\Delta B_{n_\uparrow, n_\downarrow}(\omega)$ of $B_{n_\uparrow, n_\downarrow}(\omega)$ from the ideal Fermi gas value [74], one has

$$2\Delta b_n = n^{3/2} \sum_{n_\uparrow=1}^{n-1} \Delta B_{n_\uparrow, n_\downarrow=n-n_\uparrow}(0^+) \quad (\text{B6})$$

where $\Delta B(0^+) = \lim_{\omega \rightarrow 0^+} \Delta B(\omega)$ and where we could restrict the sum to $n_\sigma \neq 0$, $\sigma = \uparrow, \downarrow$, since the fully polarized configurations are non-interacting and have zero deviations from the ideal gas.

For $n = 3$, extending to fermions the technique initially developed for bosons [28], the following analytical expression was obtained [29] [75]:

$$\Delta B_{2,1}(0^+) = \sum_{\ell \in \mathbb{N}} \left(\ell + \frac{1}{2} \right) \int_0^{+\infty} \frac{dS}{\pi} S \frac{d}{dS} [\ln \Lambda_\ell(iS, \alpha)] \quad (\text{B7})$$

where the function Λ_ℓ is given by Eq. (78), and the mass ratio between the opposite spin component α is equal to one (so that $\Delta B_{2,1} = \Delta B_{1,2}$). It gives

$$\Delta b_3 \simeq -0.355103 \quad (\text{B8})$$

in agreement with previous numerical studies [26, 27] and with the experimental values [20].

For $n = 4$, the problem is still open. A numerical attempt [30], with brute force calculation of the 4-body unitary spectrum in the trap, has produced the value

$$\Delta b_4^{\text{Blume}} = -0.016(4) \quad (\text{B9})$$

The disagreement with the experimental results (B4) is attributed to uncertainties in extrapolating to $\omega \rightarrow 0$ the numerical values of $\Delta B_{n_\uparrow, n_\downarrow}(\omega)$, in practice obtainable only for $\hbar\omega \gtrsim k_B T$. An approximate diagrammatic theory [24] (keeping even in the unitary limit only the diagrams that have leading contribution in the perturbative regime of a large effective range or a small scattering length) gives an estimate closer to the experimental values (B4),

$$\Delta b_4^{\text{Levinson}} \approx 0.06 \quad (\text{B10})$$

Extending the analytical method of reference [28] to the fermionic four-body problem is technically challenging and goes beyond the scope of the present work. On the contrary, it is reasonable here to propose and test a guess by direct transposition of Eq. (B7): the transcendental function $\Lambda_\ell(s)$ of the three-body problem is formally replaced by $\det M^{(\ell)}(s)$ for the four-body problem, where \det is the determinant and the operator $M^{(\ell)}(s)$, acting on the spinor functions $\Phi_{m_z}^{(\ell)}(x, u)$ as in the right-hand side of Eq. (68), was introduced and spectrally discussed in section IV B for the $2 + 2$ fermionic problem, and has a known equivalent for the $3 + 1$ fermionic problem, see Eq. (14) of reference [13]. Indeed, in both cases, the scaling exponents s (purely imaginary in the Efimovian channels, real otherwise) allowed by Schrödinger's equation in the unitary Wigner-Bethe-Peierls model are such

that $\Lambda_l(s) = 0$ for $n = 3$, or such that Eq. (68) has a non-zero solution $\Phi_{m_z}^{(\ell)}(x, u)$, that is $M^{(\ell)}(s)$ admits a zero eigenvalue. Hence our conjecture:

$$\Delta B_{n\uparrow, n\downarrow}^{\text{conj}}(0^+) = \sum_{\ell \in \mathbb{N}} \left(\ell + \frac{1}{2} \right) \times \int_0^{+\infty} \frac{dS}{\pi} S \frac{d}{dS} [\ln \det M_{n\uparrow, n\downarrow}^{(\ell)}(iS)] \quad (\text{B11})$$

with $(n\uparrow, n\downarrow) \in \{(1, 3), (2, 2), (3, 1)\}$ and $M_{n\uparrow, n\downarrow}^{(\ell)}$ is the operator $M^{(\ell)}$ for the four-body problem with n_σ particles in each spin component σ .

3. Existence of the logarithmic derivative of the determinant

The conjecture (B11) is not as innocent as it may look at first sight. The difficulty is that $M^{(\ell)}$ is actually an operator, and not a finite size matrix: it has a continuous spectrum, constituting an infinite, dense set of “eigenvalues”; even its discrete spectrum may present accumulation points, leading to an infinite but countable number of eigenvalues. In other words, the determinant of $M^{(\ell)}(iS)$ is not finite. Numerically, as we have already done in section V, one of course truncates the unbounded variable x to the compact interval $[-x_{\max}, x_{\max}]$, which amounts to imposing the boundary conditions to the spinor:

$$\Phi_{m_z}^{(\ell)}(x = \pm x_{\max}, u) = 0 \quad \forall u \in [-1, 1], \forall m_z \in \{-\ell, \dots, \ell\} \quad (\text{B12})$$

After discretization of the x and u variables, $M^{(\ell)}(iS)$ is then replaced by a matrix, with a well-defined determinant; still it remains to know if there is convergence of the integrand in Eq. (B11) when $x_{\max} \rightarrow +\infty$. As we now see, the answer is positive.

The key point is that what appears in the integrand of Eq. (B11) is not the determinant itself, rather its logarithmic derivative, which can be written as

$$\frac{d}{dS} \ln \det M^{(\ell)}(iS) = \text{Tr} \left\{ [M^{(\ell)}(iS)]^{-1} \frac{d}{dS} M^{(\ell)}(iS) \right\} \quad (\text{B13})$$

where Tr is the trace and M^{-1} the inverse of M .

Parity $(-1)^{\ell+1}$: In the parity sector $(-1)^{\ell+1}$, the spectrum of $M^{(\ell)}(iS)$ is at non-zero distance from 0 for a mass ratio $\alpha = 1$, as there is no 4-body Efimov effect, see Fig. 3. So the inverse of $M^{(\ell)}(iS)$ is well defined. Also the operator $M^{(\ell)}(iS)$ is local in the x basis, meaning that the off-diagonal matrix elements of the operator $\mathcal{D}^{-1/2} K^{(\ell)} \mathcal{D}^{-1/2}$ are rapidly decreasing functions of $|x - x'|$, for example there exists a constant $A^{(\ell)}$ such that

$$\frac{|\langle x, u, \ell, m_z | K^{(\ell)}(iS) | x', u', \ell, m'_z \rangle|}{[d(x, u) d(x', u')]^{1/2}} \leq \frac{A^{(\ell)}}{\text{ch}(x - x')} \quad (\text{B14})$$

for all x, x', u, u' and all m_z, m'_z of parity opposite to ℓ , and for all $S \in \mathbb{R}$. Here, we have used Dirac's notation

and singled out as in Eq. (68) a diagonal part and a kernel part,

$$M^{(\ell)}(iS) = \mathcal{D} + K^{(\ell)}(iS) \quad (\text{B15})$$

where the operator \mathcal{D} is positive and defined by the diagonal-element function $d(x, u)$,

$$\mathcal{D}|x, u, \ell, m_z\rangle = d(x, u)|x, u, \ell, m_z\rangle \quad \text{with}$$

$$d(x, u) = \left[\frac{\alpha}{(1 + \alpha)^2} \left(1 + \frac{u}{\text{ch } x} \right) + \frac{e^{-x} + \alpha e^x}{2(\alpha + 1) \text{ch } x} \right]^{1/2} \quad (\text{B16})$$

This locality is apparent for the first two contributions in the right-hand side of Eq. (69): each contribution is bounded, and is consistent with Eq. (B14) at the four infinities $(x, x') = (\pm\infty, \pm\infty)$ (see reasoning in section IV B). We then expect that the inverse of $M^{(\ell)}(iS)$, that can be written as

$$[M^{(\ell)}(iS)]^{-1} = \mathcal{D}^{-1} + K_{\text{inv}}^{(\ell)}(iS) \quad (\text{B17})$$

is also local, from the geometric series expansion:

$$\begin{aligned} (\mathcal{D} + K)^{-1} &= \mathcal{D}^{-1/2} (\mathbf{1} + \mathcal{D}^{-1/2} K \mathcal{D}^{-1/2})^{-1} \mathcal{D}^{-1/2} \\ &= \mathcal{D}^{-1} + \mathcal{D}^{-1/2} \sum_{n \geq 1} (-1)^n (\mathcal{D}^{-1/2} K \mathcal{D}^{-1/2})^n \mathcal{D}^{-1/2} \end{aligned} \quad (\text{B18})$$

each term of the series being local (for simplicity, we omit to write the exponent (ℓ) and the argument iS). This holds of course if the operator $\mathcal{D}^{-1/2} K \mathcal{D}^{-1/2}$ is small enough. For $\ell = 1$ in the $2 + 2$ fermionic problem, this can be made rigorous: the best constant in Eq. (B14) is

$$A = \frac{2(2 - \sqrt{3})}{3\pi} \simeq 0.05686 \quad (\text{B19})$$

Then [76]

$$\frac{|\langle x, u, \ell = 1, m_z = 0 | K_{\text{inv}}^{(\ell=1)}(iS) | x', u', \ell = 1, m'_z = 0 \rangle|}{[d(x, u) d(x', u')]^{-1/2}} \leq \frac{2A}{\sqrt{1 - (2\pi A)^2}} \frac{\text{sh}(\frac{2\delta}{\pi} |x - x'|)}{\text{sh}(2|x - x'|)} \quad (\text{B20})$$

with $\delta = \arccos(-2\pi A) \in]\pi/2, \pi[$.

This locality *per se* is not enough to ensure the convergence of the trace in Eq. (B13). Making the trace explicit in that equation and injecting a closure relation leads to the writing

$$\begin{aligned} \frac{d}{dS} \ln \det M^{(\ell)}(iS) &= \int_{\mathbb{R}} dx dx' \int_{-1}^1 du du' \sum_{m_z, m'_z}^{(-1)^{\ell+1}} \\ &\quad \langle x, u, \ell, m_z | [M^{(\ell)}(iS)]^{-1} | x', u', \ell, m'_z \rangle \\ &\quad \times \langle x', u', \ell, m'_z | \frac{d}{dS} M^{(\ell)}(iS) | x, u, \ell, m_z \rangle \end{aligned} \quad (\text{B21})$$

where the sum is restricted to m_z and m'_z of parity opposite to that of ℓ as the exponent $(-1)^{\ell+1}$ indicates. The locality of $M(iS)^{-1}$, and even of $\frac{d}{dS}M(iS)$, exponentially bounds the excursion of $|x - x'|$ in the integral over x' , but still there remains the integral over the unbounded variable x . One must take advantage of the structure of $K(iS)$ and of its derivative: splitting

$$K(iS) = K_1(iS) + K_2(iS), \quad (\text{B22})$$

where K_1 and K_2 respectively correspond to the first term and the second term in the right-hand side of Eq. (69), one finds

$$\frac{d}{dS}K(iS) = i[D_1, K_1(iS)] + i[D_2, K_2(iS)] \quad (\text{B23})$$

where $[A, B] = AB - BA$ is the commutator of two operators and the diagonal operators D_j are defined by the following diagonal functions

$$d_1(x) = \frac{1}{2} \ln \frac{e^{+x}}{2 \operatorname{ch} x} \quad (\text{B24})$$

$$d_2(x) = \frac{1}{2} \ln \frac{e^{-x}}{2 \operatorname{ch} x} \quad (\text{B25})$$

such that

$$D_j|x, u, \ell, m_z\rangle = d_j(x)|x, u, \ell, m_z\rangle \quad (\text{B26})$$

Clearly the diagonal term \mathcal{D}^{-1} in M^{-1} , see Eq. (B17), has a zero contribution to the trace, as $[\mathcal{D}, D_j] = 0$. Eq. (B21) is correspondingly rewritten as

$$\begin{aligned} \frac{d}{dS} \ln \det M^{(\ell)}(iS) &= \int_{\mathbb{R}} dx dx' \int_{-1}^1 du du' \sum_{m_z, m'_z}^{(-1)^{\ell+1}} \\ &\quad \langle x, u, \ell, m_z | K_{\text{inv}}^{(\ell)}(iS) | x', u', \ell, m'_z \rangle \\ &\times \sum_{j=1}^2 i[d_j(x') - d_j(x)] \langle x', u', \ell, m'_z | K_j^{(\ell)}(iS) | x, u, \ell, m_z \rangle \end{aligned} \quad (\text{B27})$$

Then $d_1(x)$ tends exponentially rapidly to 0 when $x \rightarrow +\infty$, whereas it diverges linearly with x when $x \rightarrow -\infty$; the contrary holds for $d_2(x)$. A second property is that there exists a constant B such that

$$\begin{aligned} |\langle x, u, \ell, m_z | K_1(iS) | x', u', \ell, m'_z \rangle| &\leq \\ &\left(\frac{e^{+x+x'}}{4 \operatorname{ch} x \operatorname{ch} x'} \right)^{1/4} \frac{B}{\operatorname{ch}(x-x')} \end{aligned} \quad (\text{B28})$$

$$\begin{aligned} |\langle x, u, \ell, m_z | K_2(iS) | x', u', \ell, m'_z \rangle| &\leq \\ &\left(\frac{e^{-x-x'}}{4 \operatorname{ch} x \operatorname{ch} x'} \right)^{1/4} \frac{B}{\operatorname{ch}(x-x')} \end{aligned} \quad (\text{B29})$$

This is due to the fact, evident from Eqs. (59,60), that the denominator in the integral over ϕ in Eq. (69), is always larger than $(\mu_{\uparrow\downarrow}/m_{\uparrow}) \operatorname{ch}(x - x')$. Then, for $|x - x'| = O(1)$, the upper bound for the matrix elements of K_1 (respectively K_2) tends exponentially fast to 0 when $x \rightarrow -\infty$ (respectively $x \rightarrow +\infty$), due to the first factor in Eqs. (B28,B29), which suppresses the linear divergence in $d_1(x)$ (respectively in $d_2(x)$). Then the integral over x and x' in the trace converges exponentially rapidly at infinity, the logarithmic derivative of the determinant of $M^{(\ell)}(iS)$ in the $(-1)^{\ell+1}$ parity channel is well defined [77] and its value can be calculated with a rapidly vanishing error in the truncation x_{\max} when $x_{\max} \rightarrow +\infty$. The numerics agree with this conclusion, and indicate that the surprisingly low value $x_{\max} = 5$ is sufficient.

Parity $(-1)^\ell$: The situation is physically quite different for the $(-1)^\ell$ parity sector, at least for even ℓ : The third contribution in Eq. (69) is non zero, and it leads to a continuous part in the spectrum of $M^{(\ell)}(iS)$ that reaches zero for even ℓ , see Eq. (84). Then the spectrum of the inverse $[M^{(\ell)}(iS)]^{-1}$ is no longer bounded, and its matrix elements are not bounded even if one uses the optimal (t, ψ) representation in which the matrix elements of $M^{(\ell)}(iS)$ are bounded, see Eq. (92), when the lower cut-off t_{\min} on the t variable tends to $-\infty$. Then, as we shall see, there is no exponential locality in the t -basis but still the logarithmic derivative of the determinant of $M^{(\ell)}(iS)$ has a finite limit when $t_{\min} \rightarrow -\infty$, which is approached with an error vanishing linearly with $1/t_{\min}$.

To derive this property, a spectral or “Fourier-space” analysis is more appropriate than the “real”-space analysis of the previous parity case. After the gauge transform and the change of functions performed in Eqs. (86,89,91), the asymptotic $t \rightarrow -\infty$ part of the eigenstates of $M^{(\ell)}(iS)$ of the continuum (84) can be written as

$$\phi_k(t) = e^{ikt} - e^{i\theta(k, S)} e^{-ikt}, \quad k > 0 \quad (\text{B30})$$

see Fig. 6. The plane waves e^{ikt} and e^{-ikt} are indeed two linearly independent solutions of the eigenvalue problem (92) with

$$\Omega = \Omega_k = \frac{1}{\sqrt{2}} \left[1 - \frac{1}{\operatorname{ch}(k\pi/2)} \right] \quad (\text{B31})$$

[see Eq. (84), here ℓ is even]. The right solution is some specific superposition of these two degenerate solutions, with a relative amplitude determined by the physics at $t = O(1)$, that is for (x, u) not extremely close to $(0, -1)$. Analytically the value of this relative amplitude is an unknown function of k and S , but we know that it must be of modulus one, so that we can express it as in Eq. (B30) in terms of a mere phase shift $\theta(k, S) \in \mathbb{R}$: (i) the “Hamiltonian” $M^{(\ell)}(iS)$ for the spinor is hermitian, so that the corresponding evolution operator is unitary and conserves probability, (ii) the third continuum (84) is not degenerate with the other continua for the considered mass ratio $\alpha = 1$, so the wave e^{ikt} incoming from $t = -\infty$ has no channel to escape and must fully get out by the incoming channel.

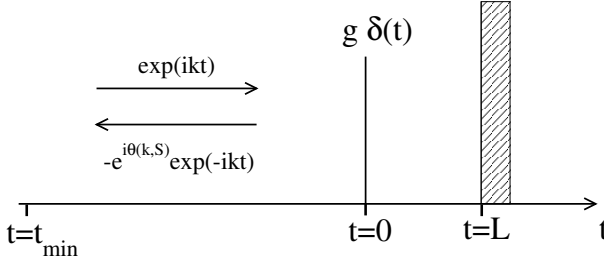


FIG. 6: Diagram giving the structure of the eigenstates of the third continuum (84), in terms of the variable t of Eq. (91): $k > 0$ is the wave vector of the incoming wave, $-k$ the one of the reflected wave with a phase shift $\theta(k, S)$. The reflection due to the physics at $t = O(1)$ is, in a toy model, represented by a Dirac scattering potential at $t = 0$ and a hard wall acting as a mirror at $t = L$; the toy model exemplifies the expected low k behavior (B32) of $\theta(k, S)$.

The key property that we shall use is that, as it is common in one-dimensional scattering problems, the phase shift $\theta(k, S)$ vanishes linearly at low k :

$$\theta(k, S) \underset{k \rightarrow 0}{=} kb(S) + o(k) \quad (\text{B32})$$

where $b(S)$ is a S -dependent effective scattering length. We present two plausible arguments to establish this. The first argument results from the assumption that the writing (B30) can be smoothly extended from $k > 0$ to $k < 0$: This implies that if one directly replaces k by $-k$ in Eq. (B30), the resulting wave $t \mapsto e^{-ikt} - e^{i\theta(-k, S)} e^{ikt}$ must reproduce the physical solution $e^{ikt} - e^{i\theta(k, S)} e^{-ikt}$ up to a global phase factor, so that $e^{i\theta(k, S)} = e^{-i\theta(-k, S)}$ and there exists an integer q such that

$$-\theta(-k, S) = \theta(k, S) + 2q\pi \quad (\text{B33})$$

The fact that, in one dimension, the arbitrarily low energy waves are generically fully retroreflected (no matter how small, but non-zero, the scattering potential is) leads to $\theta(k, S) \rightarrow 0$ for $k \rightarrow 0$ and to $q = 0$ in Eq. (B33); then if $\theta(k, S)$ is a smooth function of k , Eq. (B32) holds. The second argument utilizes some model for the scattering potential in the region $t = O(1)$, introducing on purpose most singular potentials, see Fig. 6: a pointlike fixed scattering center of coupling constant $g = \hbar^2/(2m_{\text{eff}}a)$ placed at $t = 0$ at a distance L from a hard wall (the second element acts as a mirror and ensures that the wave is fully reflected at all energies). At low k , the dispersion relation Ω_k can be quadratized, $\Omega_k \approx \hbar^2 k^2/(2m_{\text{eff}})$ with $m_{\text{eff}} > 0$, leading to an effective Schrödinger equation and scattering problem, so that at fixed S

$$e^{i\theta(k)} = \frac{(ka)^{-1} + (\tan kL)^{-1} + i}{(ka)^{-1} + (\tan kL)^{-1} - i} \quad (\text{B34})$$

The phase shift $\theta(k, S)$ is indeed an odd function of k , and at low k one indeed obtains the linear law (B32) with $2/b(S) = 1/a(S) + 1/L(S)$.

Then the property (B32) leads to the conclusion that the logarithmic derivative of the determinant of $M^{(\ell)}(iS)$ has a finite limit when the lower cut-off value t_{\min} tends to $-\infty$, as we now see. Similarly to Eq. (B12), this lower cut-off corresponds to the boundary condition

$$\phi(t_{\min}) = 0 \quad (\text{B35})$$

which, considering (B30), leads to the quantization condition for k [78]:

$$2k|t_{\min}| + \theta(k, S) = 2n\pi, \quad \forall n \in \mathbb{N}^* \quad (\text{B36})$$

Then the contribution of the corresponding eigenvalues to the logarithmic derivative of the determinant is

$$\frac{d}{dS} \ln \det M^{(\ell)}(iS)|_{\odot} = \sum_{n>0} \frac{d}{dS} \ln \Omega_k = \sum_{n>0} \Omega_k^{-1} \frac{d\Omega_k}{dk} \frac{dk}{dS} \quad (\text{B37})$$

Taking the derivative of Eq. (B36) with respect to S at fixed n we obtain

$$\frac{dk}{dS} = -\frac{\partial_S \theta(k, S)}{2|t_{\min}| + \partial_k \theta(k, S)} \quad (\text{B38})$$

In the large $|t_{\min}|$ limit, one can neglect $\partial_k \theta(k, S)$ in the denominator and one can replace in Eq. (B37) the sum over n by an integral $\int dn$. According to Eq. (B36),

$$2 \frac{dk}{dn} |t_{\min}| \underset{t_{\min} \rightarrow -\infty}{\rightarrow} 2\pi \quad (\text{B39})$$

so that

$$\frac{d}{dS} \ln \det M^{(\ell)}(iS)|_{\odot} \underset{t_{\min} \rightarrow -\infty}{\rightarrow} - \int_0^{+\infty} \frac{dk}{2\pi} \frac{1}{\Omega_k} \frac{d\Omega_k}{dk} \partial_S \theta(k, S) \quad (\text{B40})$$

This is finite even if Ω_k vanishes quadratically in $k = 0$, i.e. it is saved from a naively expected logarithmic divergence, because the phase shift $\theta(k, S)$ vanishes linearly with k , and so does its derivative with respect to S .

This main point being established, there remains a problem of practical interest, the speed of the convergence with $|t_{\min}|$. The answer is provided by Poisson's summing formula:

$$\sum_{n \in \mathbb{Z}} f(\lambda n) = \frac{1}{\lambda} \sum_{n \in \mathbb{Z}} \hat{f}(2\pi n/\lambda) \quad (\text{B41})$$

for any $\lambda > 0$ and for an arbitrary function $f(k)$, $\hat{f}(x) = \int_{\mathbb{R}} dk \exp(-ikx) f(k)$ being its Fourier transform. For simplicity, we give details in the case where $\theta(k, S)$ is linear in k at all k , that is $\theta(k, S) = kb(S)$. From the quantization condition (B36) one has

$$k = \lambda n \quad \text{with} \quad \lambda = \frac{2\pi}{2|t_{\min}| + b(S)} \quad (\text{B42})$$

so that

$$\frac{dk}{dS} = -\frac{db(S)}{dS} \frac{\lambda}{2\pi} k \quad (\text{B43})$$

This, together with Eqs. (B37), leads to a function f given by

$$f(k) = \frac{k \frac{db(S)}{dS}}{\Omega_k} \frac{d\Omega_k}{dk} \quad (\text{B44})$$

such that

$$\frac{d}{dS} \ln \det M^{(\ell)}(iS)|_{\odot} = -\frac{\lambda}{2\pi} \sum_{n>0} f(\lambda n) \quad (\text{B45})$$

Then using the fact that the function f is even, one can express the sum over \mathbb{N}^* in terms of the sum over \mathbb{Z} , and then in terms of $f(0)$ and \hat{f} :

$$\begin{aligned} \sum_{n>0} f(\lambda n) &= -\frac{1}{2} f(0) + \frac{1}{2} \sum_{n \in \mathbb{Z}} f(\lambda n) \\ &= -\frac{1}{2} f(0) + \frac{1}{2\lambda} \sum_{n \in \mathbb{Z}} \hat{f}(2\pi n/\lambda) \end{aligned} \quad (\text{B46})$$

The function f is a smooth function of k , in particular in $k = 0$, that rapidly decreases at infinity, so that its Fourier transform $\hat{f}(q)$ is also rapidly decreasing when $|q| \rightarrow +\infty$. In the large $|t_{\min}|$ limit, $1/\lambda$ diverges linearly in $|t_{\min}|$ and one commits an exponentially small error $O[\exp(-C|t_{\min}|)]$ (C is some constant) in neglecting the $n \neq 0$ terms in the last sum over n in Eq. (B46). As a consequence,

$$\begin{aligned} \frac{d}{dS} \ln \det M^{(\ell)}(iS)|_{\odot} \Big|_{t_{\min} \rightarrow -\infty} &= -\frac{1}{2\pi} \int_0^{+\infty} dk \frac{k \frac{db(S)}{dS}}{\Omega_k} \frac{d\Omega_k}{dk} \\ &\quad + \frac{\frac{db(S)}{dS}}{2|t_{\min}| + b(S)} + O[\exp(-C|t_{\min}|)] \end{aligned} \quad (\text{B47})$$

where we have replaced λ , $f(0)$ and $\hat{f}(0)$ by their values. When $\theta(k, S)$ is not a linear function of k , we obtain the general result

$$\begin{aligned} \frac{d}{dS} \ln \det M^{(\ell)}(iS)|_{\odot} \Big|_{t_{\min} \rightarrow -\infty} &= -\frac{1}{2\pi} \int_0^{+\infty} dk \frac{\partial_S \theta(k, S)}{\Omega_k} \frac{d\Omega_k}{dk} \\ &\quad + \lim_{k \rightarrow 0} \frac{\frac{1}{2} \frac{d\Omega_k}{dk} \partial_S \theta(k, S)}{\Omega_k [2|t_{\min}| + \partial_k \theta(k, S)]} + O[\exp(-C|t_{\min}|)] \end{aligned} \quad (\text{B48})$$

In any case, when $t_{\min} \rightarrow -\infty$, the limiting value of the logarithmic derivative of the determinant of $M^{(\ell)}(iS)$ is approached with an error that vanishes only polynomially with $1/t_{\min}$ [79]

On the contrary, if the dispersion relation Ω_k nowhere approaches zero, as for an odd ℓ in the parity sector $(-1)^\ell$, the $\lim_{k \rightarrow 0}$ term in the right-hand side of Eq. (B48) is zero and the convergence of the logarithmic derivative of the determinant is exponentially fast with $|t_{\min}|$, as also observed numerically; this last situation is then similar to the exponentially fast convergence of $\frac{d}{dS} \ln \det M^{(\ell)}(iS)$ when $x_{\max} \rightarrow +\infty$, which is always achieved for the continua (77,81), even when the third term in Eq. (69) is active.

4. Other convergence issues

To show that the conjectured values (B11) are finite, one must also check that the integral over S is convergent at infinity, and that the sum over the angular momenta ℓ is convergent. This we have initially explored numerically. First, at a given ℓ , we found that the logarithmic derivative of the determinant of $M^{(\ell)}(iS)$ rapidly decreases when $S \rightarrow +\infty$, presumably exponentially fast, see Fig. 7(a). Second, after the integration over S is taken, one observes also a rapid convergence of the series over ℓ , see Fig. 7(b), if one takes the precaution to be accurate enough in the discretization of the integral over u [80].

These numerical results suggest that the contribution of angular momentum ℓ to $\Delta B_{2,2}^{\text{conj}}(0^+)$ and to $\Delta B_{3,1}^{\text{conj}}(0^+)$ can be obtained, when ℓ is large enough, from a perturbative calculation in Eq. (B13), limited to leading order in the operators $K_j^{(\ell)}$ defined by Eqs. (B15,B22), at least for the 2+2 problem in the parity channel $(-1)^{\ell+1}$ where K_{inv} in Eq. (B17) has a chance of being bounded. This idea was implemented with success at the three-body level in reference [28], treating the integral term in Eq. (78) as a perturbation of the constant term [81].

Let us implement the idea for the 2+2 problem, in the parity sector $(-1)^{\ell+1}$ of the subspace of angular momentum ℓ . We truncate Eq. (B18) to order one included in the operator K , to obtain

$$\frac{d}{dS} \ln \det M \simeq \text{Tr} \left[(\mathcal{D}^{-1} - \mathcal{D}^{-1} K \mathcal{D}^{-1}) \frac{d}{dS} K \right] \quad (\text{B49})$$

Then we split K as in Eq. (B22) and we use the commutator structure (B23). Using the invariance of the trace in a cyclic permutation and the fact that the diagonal operators \mathcal{D} of Eq. (B16) and D_j of Eq. (B26) commute, we find that only the crossed quadratic contributions in K_1 and K_2 survive, so that

$$\begin{aligned} \frac{d}{dS} \ln \det M &\simeq \text{Tr} \left[-\mathcal{D}^{-1} K_1 \mathcal{D}^{-1} \frac{d}{dS} K_2 - (1 \leftrightarrow 2) \right] \\ &= \frac{d}{dS} \text{Tr} (-\mathcal{D}^{-1} K_1 \mathcal{D}^{-1} K_2) \end{aligned} \quad (\text{B50})$$

Integrating by parts in Eq. (B11) and using the fact that the integrand is an even function of S we obtain the approximation

$$\int_0^{+\infty} \frac{dS}{\pi} S \frac{d}{dS} \ln \det M \simeq \int_{\mathbb{R}} \frac{dS}{2\pi} \text{Tr} (\mathcal{D}^{-1} K_1 \mathcal{D}^{-1} K_2) \quad (\text{B51})$$

Calculating the trace in the $|x, u, \ell, m_z\rangle$ basis (with $\ell + m_z$ odd) and injecting a closure relation in that basis as e.g. in Eq. (B21), we realize that the integrand has a very simple dependence with S , due to simplifications as

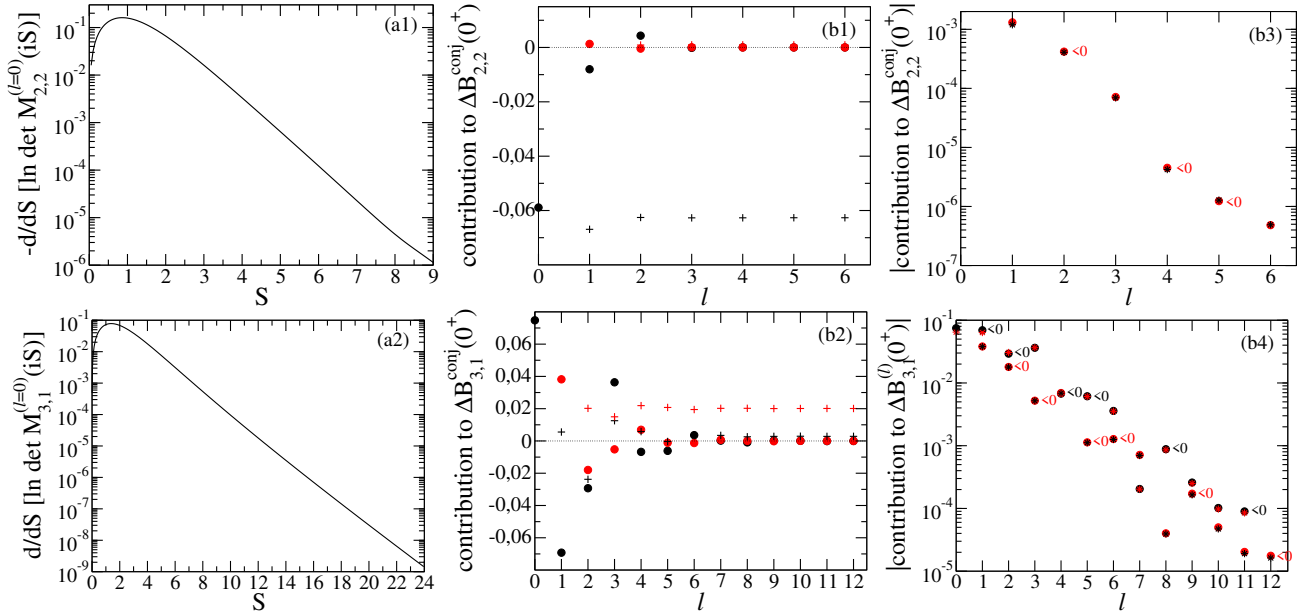


FIG. 7: (Color online) Convergence in the integration over S and summation over ℓ in Eq. (B11) (we recall that the mass ratio is $\alpha = 1$). (a) The logarithmic derivative of the determinant of $M^{(\ell)}(iS)$ is a rapidly decreasing function of S ; the figure takes as an example (a1) the $\ell = 0$ channel of the $2 + 2$ fermionic problem (for a numerical cut-off $t_{\min} = -9$, thus without extrapolation; note the minus sign in the vertical axis), (a2) the $\ell = 0$ channel of the $3 + 1$ fermionic problem. (b) The sum over ℓ also seems to converge well, see the contribution of each angular momentum channel to the result (B11) for (b1) the $2 + 2$ problem and (b2) the $3 + 1$ problem: black disks for the parity sector $(-1)^\ell$, red disks for the parity sector $(-1)^{\ell+1}$; the plus signs indicate the corresponding cumulative sums. Convincing evidence is even shown in (b3) for the $2 + 2$ problem in the $(-1)^{\ell+1}$ parity sector and in (b4) for the $3 + 1$ problem in both parity sectors, where the numerical results (black disks for parity $(-1)^\ell$, red disks for parity $(-1)^{\ell+1}$) are compared to the perturbative results (B54) and (B60) [red asterisks for parity $(-1)^\ell$, black asterisks for parity $(-1)^{\ell+1}$] that extend to four bodies a technique developed for three bodies in reference [28] and are expected to be exact asymptotic equivalents for $\ell \rightarrow +\infty$ (what is actually plotted is the absolute value of the results, so as to allow for a log scale, but their sign is indicated with the label “ < 0 ” of the same color as the corresponding disks when they are negative: the negative black (red) disks are indicated with a black (red) “ < 0 ” label; note that the black (red) asterisks have always the same sign as the corresponding red (black) disks).

follows:

$$\left(\frac{e^x \operatorname{ch} x'}{e^{x'} \operatorname{ch} x}\right)^{s/2} \left(\frac{e^{-x'} \operatorname{ch} x}{e^{-x} \operatorname{ch} x'}\right)^{s/2} = e^{i(x-x')S} \quad (\text{B52})$$

where we wrote the phase factor of the first term as it is in Eq. (69) and the phase factor of the second term of Eq. (69) with $x \leftrightarrow x'$, and used $s = iS$ with S real. So the integral over x or x' takes the form of a Fourier transform with respect to x or x' , with S as the conjugate variable; this is the Fourier transform of a smooth rapidly

decreasing function of x or x' , so that, as a function of S , it is a rapidly decreasing function. This gives a reason for the numerically observed fast decay of $\frac{d}{dS} \ln \det M$ at large S . Also, integration over S is straightforward due to

$$\int_{\mathbb{R}} \frac{dS}{2\pi} e^{i(x-x')S} = \delta(x - x') \quad (\text{B53})$$

We finally obtain the leading order approximation

$$\Delta B_{2,2}^{\text{conj}}(0^+) \Big|_{\text{parity}(-1)^{\ell+1}}^{(\ell)} \simeq \frac{2\ell+1}{(4\pi)^2} \int_{\mathbb{R}} dx \int_0^\pi d\theta \int_0^\pi d\theta' \int_0^{2\pi} \frac{d\phi}{2\pi} \int_0^{2\pi} \frac{d\phi'}{2\pi} \frac{vv'}{d(x,u)d(x,u')\sin x} \\ \times \frac{\frac{1}{4} \sum_{n=0}^1 \sum_{n'=0}^1 (-1)^{(\ell+1)(n+n')} \mathcal{T}_\ell(\theta + n\pi, \theta' + n'\pi, \phi, \phi')}{\left\{ 1 + \frac{1}{1+\alpha} [(u + e^{-x})(u' + e^{-x}) + vv' \cos \phi] \right\} \left\{ 1 + \frac{\alpha}{1+\alpha} [(u + e^x)(u' + e^x) + vv' \cos \phi'] \right\}} \quad (\text{B54})$$

In the integrand of Eq. (B54), $d(x, u)$ is given by Eq. (B16), we again use the notations $u = \cos \theta$ and $v = \sin \theta$ and the same for θ' , and we introduced the function

$$\mathcal{T}_\ell(\theta, \theta', \phi, \phi') \equiv \sum_{m_z, m'_z=-\ell}^{\ell} e^{-im_z\theta} \langle \ell, m_z | e^{i\phi L_x/\hbar} | \ell, m'_z \rangle e^{im'_z\theta'} \langle \ell, m'_z | e^{i\phi' L_x/\hbar} | \ell, m_z \rangle \quad (\text{B55})$$

$$= \text{Tr}_\ell \left[e^{-i\theta L_z/\hbar} e^{i\phi L_x/\hbar} e^{i\theta' L_z/\hbar} e^{i\phi' L_x/\hbar} \right] = \frac{\sin[(2\ell+1)\delta/2]}{\sin(\delta/2)} \quad (\text{B56})$$

where the trace is taken over the whole subspace $\{|\ell, m_z\rangle, -\ell \leq m_z \leq \ell\}$ of angular momentum ℓ without any parity restriction and the angle $\delta \in [0, \pi]$ is such that [82]

$$1 + 2 \cos \delta = uu'(1 + \cos \phi \cos \phi') - (u + u') \sin \phi \sin \phi' + vv'(\cos \phi + \cos \phi') + \cos \phi \cos \phi' \quad (\text{B57})$$

The sum over n and n' in the numerator of the integrand of Eq. (B54) suppresses the contribution to \mathcal{T}_ℓ of the states $|\ell, m_z\rangle$ and $|\ell, m'_z\rangle$ of the wrong parity, $(-1)^{m_z} = (-1)^{m'_z} = (-1)^\ell$. We expect the approximation (B54) to be an exact asymptotic equivalent for $\ell \rightarrow +\infty$, and this is also what the comparison to the numerical results in Fig. 7(b3) indicates. Amazingly it is already good for $\ell = 1$, as it deviates from the numerical value by about 9% only.

This perturbative treatment can also be applied to the $3+1$ problem, using the integral equations of reference [13]. The main difference is that the spinor $\Phi_{m_z}^{(\ell)}(x, u)$ is now subjected to a condition reflecting the fermionic exchange symmetry of the two \downarrow particles that are spectators of the interacting $\uparrow\downarrow$ pair [18],

$$\Phi_{-m_z}^{(\ell)}(-x, u) = (-1)^{\ell+1} \Phi_{m_z}^{(\ell)}(x, u) \quad (\text{B58})$$

This means that the kernel $K^{(\ell)}$ must be restricted to the corresponding subspace, hence the occurrence of a projector $P = (1 + U)/2$ on that subspace, where the unitary operator U such that in Dirac's notation

$$U|x, u, \ell, m_z\rangle = (-1)^{\ell+1}|-x, u, \ell, -m_z\rangle \\ = -e^{i\pi L_x/\hbar}|-x, u, \ell, m_z\rangle \quad (\text{B59})$$

is an involution ($U^2 = \mathbb{1}$) [83]. The interesting point is now that, even if $\frac{d}{ds}K$ is a sum of commutators as in Eq. (B23), the corresponding D_j do not commute with the projector P . As a consequence, when one expands M^{-1} up to first order in K , $\frac{d}{ds} \ln \det M$ contains both a contribution of order one in K and two contributions of order two in K . Here is the result in the subspace of angular momentum ℓ and parity ε [84]:

$$\begin{aligned}
\Delta B_{3,1}^{\text{conj}}(0^+) |_{\text{parity } \varepsilon}^{(\ell)} &\simeq \frac{2\ell+1}{2\pi\sqrt{2}} \int_0^\pi d\theta \int_0^{2\pi} \frac{d\phi}{2\pi} \frac{v}{d_{31}(0,u)} \frac{\frac{1}{2} \sum_{n=0}^1 \varepsilon^n \mathcal{T}_\ell(\theta + n\pi, 0, \phi + \pi, 0)}{3 + \frac{2\alpha}{1+\alpha} (2u + u^2 + v^2 \cos \phi)} \\
&+ \frac{2\ell+1}{8\pi^2} \int_{\mathbb{R}} dx \int_0^\pi d\theta \int_0^\pi d\theta' \int_0^{2\pi} \frac{d\phi}{2\pi} \int_0^{2\pi} \frac{d\phi'}{2\pi} \frac{vv'}{d_{3,1}(x,u)d_{3,1}(x,u') \operatorname{ch} x} \\
&\times \frac{1}{4} \sum_{n=0}^1 \sum_{n'=0}^1 \varepsilon^{n+n'} \mathcal{T}_\ell(\theta + n\pi, \theta' + n'\pi, \phi, \phi') \\
&\times \left\{ 2 + e^{-2x} + \frac{2\alpha}{1+\alpha} [e^{-x}(u+u') + uu' + vv' \cos \phi] \right\} \left\{ 2 + e^{2x} + \frac{2\alpha}{1+\alpha} [e^x(u+u') + uu' + vv' \cos \phi'] \right\} \\
&- \frac{2\ell+1}{4\pi^2} \int_{\mathbb{R}} dx' \int_0^\pi d\theta \int_0^\pi d\theta' \int_0^{2\pi} \frac{d\phi}{2\pi} \int_0^{2\pi} \frac{d\phi'}{2\pi} \left(\frac{e^{x'}}{\operatorname{ch} x'} \right)^{1/2} \frac{vv'}{d_{31}(0,u)d_{31}(x',u')} \\
&\times \frac{1}{4} \sum_{n=0}^1 \sum_{n'=0}^1 \varepsilon^{n+n'} \mathcal{T}_\ell(\theta + n\pi, n'\pi, \phi, \phi' + \pi) \\
&\times \left[2e^{-x'} + e^{x'} + \frac{2\alpha}{1+\alpha} (ue^{-x'} + u' + uu' + vv' \cos \phi) \right] \left[2e^{-x'} + e^{x'} + \frac{2\alpha}{1+\alpha} (ue^{-x'} + u' + uu' + vv' \cos \phi') \right]
\end{aligned} \tag{B60}$$

where $d_{31}(x, u)$ defines the diagonal part \mathcal{D} of the operator M for the $3+1$ problem (as $d(x, u)$ did for the $2+2$ problem), see reference [13]:

$$d_{31}(x, u) = \left[\frac{1+2\alpha}{(1+\alpha)^2} + \frac{\alpha u}{(1+\alpha)^2 \operatorname{ch} x} \right]^{1/2} \tag{B61}$$

As can be checked in Fig. 7(b4), this approximation is in good agreement with the numerical results even for $\ell = 0$, where it deviates from the exact result only by $\simeq 13\%$. In the large ℓ limit the first contribution in the right-hand side of Eq. (B60) rapidly dominates over the other two; summing over the two parity sectors $\varepsilon = \pm 1$ and restricting for simplicity to a mass ratio $\alpha = 1$, one can integrate it over θ and ϕ at fixed $\delta \in [0, \pi]$, where $1 + 2 \cos \delta = u + \cos \phi + u \cos \phi$ as shown by Eq. (B57) taken with $\theta' = \phi' = 0$, to obtain the rapidly decreasing large- ℓ equivalent [85]

$$\begin{aligned}
\Delta B_{3,1}^{\text{conj}}(0^+) |_{\ell \rightarrow +\infty}^{(\ell)} &\sim \frac{2\ell+1}{2\pi^2} \int_0^\pi d\delta \sin[(\ell + 1/2)\delta] \\
&\times \arccos \frac{8 \cos^2 \delta + 5 \cos \delta - 1}{3(3 + \cos \delta)} \\
&\times \frac{1}{[(5 + 4 \cos \delta)(1 + \cos \delta + \cos^2 \delta)]^{1/2}}
\end{aligned} \tag{B62}$$

5. The verdict

The numerical results for our conjecture (B11) are

$$\Delta B_{2,2}^{\text{conj}}(0^+) = -0.0617(2) \tag{B63}$$

$$\Delta B_{3,1}^{\text{conj}}(0^+) = +0.02297(4) \tag{B64}$$

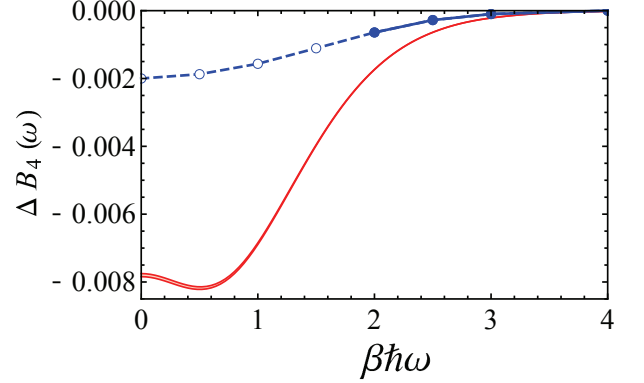


FIG. 8: (Color online) Fourth order cluster coefficient (B67) for a harmonically trapped unpolarized spin $1/2$ unitary Fermi gas at temperature T , as a function of $\beta\hbar\omega$, with $\beta = 1/(k_B T)$, ω the angular oscillation frequency of a fermion in the trap and $\alpha = m_\uparrow/m_\downarrow = 1$. Blue line with symbols: results of reference [30] obtained by brute force numerical calculation of the up-to-four-body spectra in the trap (disks: actually calculated values; circles: values resulting from an extrapolation). Red lines: our conjecture (B66) (the values slightly differ depending on the linear or cubic extrapolation to the numerical cut-off limit $1/t_{\min} \rightarrow 0^-$).

leading, after use of Eq. (B6), to

$$\Delta b_4^{\text{conj}} = -0.063(1) \tag{B65}$$

This clearly disagrees with the experimental values (B4). Remarkably, for $\Delta B_{3,1}(0^+)$ our conjectured value is very close to the approximate diagrammatic result 0.025 of

[24], whereas for $\Delta B_{2,2}(0^+)$ it widely differs from the (still approximate) result -0.036 of [24] (these values were communicated to us privately by Jesper Levinsen).

A useful complementary test is to compare to the theoretical results of reference [30]. As mentioned above and in that reference, these results, obtained with the harmonic regulator technique, are trustable at non-zero values of $\beta\hbar\omega$ without extrapolation to $\beta\hbar\omega = 0$ (ω is the angular oscillation frequency in the trap and $\beta = 1/(k_B T)$). It is actually straightforward to extend with the same notations the conjecture (B11) to a non-zero value of ω , see Eq. (38) of reference [28]:

$$\begin{aligned} \Delta B_{n\uparrow,n\downarrow}^{\text{conj}}(\omega) &= \sum_{\ell \in \mathbb{N}} \left(\ell + \frac{1}{2} \right) \\ &\times \int_0^{+\infty} \frac{dS}{\pi} \frac{\sin(S\beta\hbar\omega)}{\text{sh}(\beta\hbar\omega)} \frac{d}{dS} [\ln \det M_{n\uparrow,n\downarrow}^{(\ell)}(iS)] \quad (\text{B66}) \end{aligned}$$

Since $|\sin(S\beta\hbar\omega)/\text{sh}(\beta\hbar\omega)| \leq S$, this does not raise new convergence issues and the numerical evaluation of $\Delta B_{2,2}^{\text{conj}}(\omega)$ and $\Delta B_{3,1}^{\text{conj}}(\omega)$ is straightforward once the logarithmic derivatives of the determinant of M are known. The resulting value of the fourth in-trap cluster coefficient

$$\Delta B_4(\omega) \equiv \frac{1}{2} [\Delta B_{3,1}(\omega) + \Delta B_{2,2}(\omega) + \Delta B_{1,3}(\omega)] \quad (\text{B67})$$

(with $\Delta B_{3,1} = \Delta B_{1,3}$ for the mass ratio $\alpha = 1$) is plotted as a function of $\beta\hbar\omega$ in Fig. 8. It clearly disagrees with the results of reference [30], not only with the ones resulting from the extrapolation to $\beta\hbar\omega = 0$ but also with the actually calculated ones.

The conjecture is thus invalidated, and more theoretical work is needed to derive the correct analytical expression for Δb_4 of the unitary Fermi gas.

-
- [1] S. Inouye, M.R. Andrews, J. Stenger, H.-J. Miesner, D.M. Stamper-Kurn, W. Ketterle, *Nature* **392**, 151 (1998); K.M. O'Hara, S. L. Hemmer, M. E. Gehm, S. R. Granade, J. E. Thomas, *Science* **298**, 2179 (2002); T. Bourdel, J. Cubizolles, L. Khaykovich, K.M.F. Magalhães, S.J.J.M.F. Kokkelmans, G.V. Shlyapnikov, C. Salomon, *Phys. Rev. Lett.* **91**, 020402 (2003); C.A. Regal, M. Greiner, D.S. Jin, *Phys. Rev. Lett.* **92**, 040403 (2004); M.W. Zwierlein, C.A. Stan, C.H. Schunck, S.M.F. Rupprech, A.J. Kerman, W. Ketterle, *Phys. Rev. Lett.* **92**, 120403 (2004).
 - [2] E. Wigner, *Zeits. f. Physik* **83**, 253 (1933); H. Bethe, R. Peierls, *Proc. R. Soc. London, Ser. A* **148**, 146 (1935).
 - [3] V. Efimov, *Sov. J. Nucl. Phys.* **12**, 589 (1971); V. Efimov, *Nucl. Phys. A* **210**, 157 (1973); A. Bulgac, V. Efimov, *Sov. J. Nucl. Phys.* **22**, 296 (1975).
 - [4] T. Kraemer, M. Mark, P. Waldburger, J. G. Danzl, C. Chin, B. Engeser, A.D. Lange, K. Pilch, A. Jaakkola, H.-C. Naegerl, R. Grimm, *Nature* **440**, 315 (2006); M. Zaccanti, B. Deissler, C. D'Errico, M. Fattori, M. Jona-Lasinio, S. Müller, G. Roati, M. Inguscio, G. Modugno, *Nature Physics* **5**, 586 (2009); N. Gross, Z. Shotan, S. Kokkelmans, L. Khaykovich, *Phys. Rev. Lett.* **103**, 163202 (2009); *Phys. Rev. Lett.* **105**, 103203 (2010); N. Gross, Z. Shotan, O. Machtey, S. Kokkelmans, L. Khaykovich, *C. R. Physique* **12**, 4 (2011); S.E. Pollack, D. Dries, R.G. Hulet, *Science* **326**, 1683 (2009); T. Lompe, T.B. Ottenstein, F. Serwane, A.N. Wenz, G. Zürn, S. Jochim, *Science* **330**, 940 (2010); B.S. Rem, A.T. Grier, I. Ferrier-Barbut, U. Eismann, T. Langen, N. Navon, L. Khaykovich, F. Werner, D.S. Petrov, F. Chevy, C. Salomon, *Phys. Rev. Lett.* **110**, 163202 (2013); P. Dyke, S.E. Pollack, R.G. Hulet, *Phys. Rev. A* **88**, 023625 (2013); B. Huang, L.A. Sidorenkov, R. Grimm, J.M. Hutson, *Phys. Rev. Lett.* **112**, 190401 (2014); R. Pires, J. Ulmanis, S. Häfner, M. Repp, A. Arias, E.D. Kuhnle, M. Weidemüller, *Phys. Rev. Lett.* **112**, 250404 (2014); S.-K. Tung, K. Jimenez-García, J. Johansen, C.V. Parker, C. Chin, *Phys. Rev. Lett.* **113**, 240402 (2014).
 - [5] M. Berninger, A. Zenesini, B. Huang, W. Harm, H.-C. Nägerl, F. Ferlaino, R. Grimm, P.S. Julienne, J.M. Hutson, *Phys. Rev. Lett.* **107**, 120401 (2011); Jia Wang, J.P. D'Incao, B.D. Esry, C.H. Greene, *Phys. Rev. Lett.* **108**, 263001 (2012); P. Naidon, S. Endo, M. Ueda, *Phys. Rev. Lett.* **112**, 105301 (2014).
 - [6] R. Amado, F. Greenwood, *Phys. Rev. D* **7**, 2517 (1973).
 - [7] D. Gridnev, *J. Math. Phys.* **54**, 042105 (2013).
 - [8] A. Deltuva, *Phys. Rev. A* **82**, 040701 (2010).
 - [9] J. von Stecher, J. P. D'Incao, C. H. Greene, *Nature Physics* **5**, 417 (2009).
 - [10] L. Platter, H.-W. Hammer, Ulf-G. Meissner, *Phys. Rev. A* **70**, 052101 (2004); H.-W. Hammer, L. Platter, *Eur. Phys. J. A* **32**, 113 (2007).
 - [11] Yusuke Nishida, Shina Tan, *Few-Body Syst.* **51**, 191 (2011).
 - [12] Yusuke Nishida, S. Moroz, Dam Thanh Son, *Phys. Rev. Lett.* **110**, 235301 (2013); S. Moroz, Yusuke Nishida, *Phys. Rev. A* **90**, 063631 (2014); D. Gridnev, *J. Phys. A: Math. Theor.* **47**, 505204 (2014); Chao Gao, Jia Wang, Zhenhua Yu, *Phys. Rev. A* **92**, 020504(R) (2015).
 - [13] Y. Castin, C. Mora, L. Pricoupenko, *Phys. Rev. Lett.* **105**, 223201 (2010).
 - [14] D.S. Petrov, *Phys. Rev. A* **67**, 010703 (2003).
 - [15] E. Braaten, H.-W. Hammer, *Phys. Rep.* **428**, 259 (2006).
 - [16] D.S. Petrov, C. Salomon, G.V. Shlyapnikov, *J. Phys. B* **38**, S645 (2005).
 - [17] D. Blume, K.M. Daily, *Phys. Rev. Lett.* **105**, 170403 (2010).
 - [18] C. Mora, Y. Castin, L. Pricoupenko, *C. R. Physique* **12**, 71 (2011).
 - [19] L. Pricoupenko, *Phys. Rev. A* **83**, 062711 (2011).
 - [20] N. Navon, S. Nascimbène, F. Chevy, C. Salomon, *Science* **328**, 729 (2010).
 - [21] Mark J.H. Ku, A.T. Sommer, L.W. Cheuk, M.W. Zwierlein, *Science* **335**, 563 (2012).
 - [22] D.B. Kaplan, Sichun Sun, *Phys. Rev. Lett.* **107**, 030601 (2011).
 - [23] X. Leyronas, *Phys. Rev. A* **84**, 053633 (2011).

- [24] V. Ngampruetikorn, Meera M. Parish, J. Levinsen, Phys. Rev. A **91**, 013606 (2015).
- [25] A. Comtet, Y. Georgelin, S. Ouvry, J. Phys. A **22**, 3917 (1989); J. McCabe, S. Ouvry, Phys. Lett. B **260**, 113 (1991).
- [26] Xia-Ji Liu, Hui Hu, P. D. Drummond, Phys. Rev. Lett. **102**, 160401 (2009); Phys. Rev. A **82**, 023619 (2010).
- [27] K.M. Daily, D. Blume, Phys. Rev. A **85**, 013609 (2012).
- [28] Y. Castin, F. Werner, Rev. can. phys. **91**, 382 (2013).
- [29] Chao Gao, Shimpei Endo, Y. Castin, EPL **109**, 16003 (2015).
- [30] D. Rakshit, K. M. Daily, D. Blume, Phys. Rev. A **85**, 033634 (2012).
- [31] S. Tan, arXiv:cond-mat/0412764v2 (2005); F. Werner, Y. Castin, arXiv:cond-mat/0507399v1 (2005).
- [32] F. Werner, Y. Castin, Phys. Rev. A **74**, 053604 (2006).
- [33] Y. Castin, C. R. Physique **5**, 407 (2004).
- [34] Y. Castin, F. Werner, chap. 5, *The BCS-BEC Crossover and the Unitary Fermi Gas*, LNIP 836, W. Zwerger ed. (Springer, Berlin, 2011).
- [35] Wu-Ki Tung, *Group Theory in Physics* (World Scientific, Philadelphia, 1985).
- [36] Seth T. Rittenhouse, N.P. Mehta, Chris H. Greene, Phys. Rev. A **82**, 022706 (2010).
- [37] Y. Castin, E. Tignone, Phys. Rev. A **84**, 062704 (2011).
- [38] F. Werner, Y. Castin, Phys. Rev. Lett. **97**, 150401 (2006).
- [39] G. Gasaneo, J.H. Macek, J. Phys. B **35**, 2239 (2002); M. Birse, J. Phys. A **39**, L49 (2006).
- [40] O.I. Kartavtsev, A.V. Malykh, Zh. Eksp. Teor. Phys. **86**, 713 (2007).
- [41] D.S. Petrov, C. Salomon, G.V. Shlyapnikov, Phys. Rev. Lett. **93**, 090404 (2004).
- [42] F. Werner, Y. Castin, Phys. Rev. A **86**, 013626 (2012).
- [43] S. Tölle, H.-W. Hammer, B. Ch. Metsch, C. R. Physique **12**, 59 (2011).
- [44] W. H. Press, S. A. Teukolsky, W. T. Vetterling, and B. P. Flannery, *Numerical Recipes* (Cambridge University Press, Cambridge, 1988).
- [45] K. Huang, *Statistical Mechanics* (Wiley, New York, 1963).
- [46] E. Beth, G.E. Uhlenbeck, Physica III **8**, 729 (1936); Physica IV **10**, 915 (1937).
- [47] T.D. Lee, C.N. Yang, Phys. Rev. **116**, 25 (1959); A. Pais, G.E. Uhlenbeck, Phys. Rev. **116**, 250 (1959); P.C. Hemmer, Phys. Lett. **27A**, 377 (1968); B. Jancovi, Phys. Rev. **178**, 295 (1969); B. Jancovi, Phys. Rev. **184**, 119 (1969); S.K. Adhikari, R.D. Amado, Phys. Rev. Lett. **27**, 485 (1971); W.G. Gibson, Phys. Rev. A **6**, 2469 (1972). B. Jancovici, S. Merkuriev, Phys. Rev. A **12**, 2610 (1975).
- [48] L.P. Pitaevskii, A. Rosch, Phys. Rev. A **55**, R853 (1997).
- [49] In principle, $M^{(\ell)}(s)$ is an operator, with an infinite number of eigenvalues, and its determinant is infinite. The mathematically correct form is to require that one of the eigenvalues of $M^{(\ell)}(s)$ vanishes. In practice, in the numerical calculation, one discretizes and truncates the variables, so that the determinantal form can be used.
- [50] This additional term leads to the factor $(\text{ch } x)^s$ in the ansatz (20) and to an additional factor $(\text{ch } x'/\text{ch } x)^s$ in the kernel K of Eq. (69). This does not change the determinant of the matrix $M(s)$. This also preserves the hermitian nature of $M(s)$ for $s \in i\mathbb{R}$.
- [51] With the notation $Y_\ell^{m_z}(\mathbf{n}) = Y_\ell^{m_z}(\theta_{\mathbf{n}}, \phi_{\mathbf{n}})$, where $\theta_{\mathbf{n}}$ and $\phi_{\mathbf{n}}$ are the polar and azimuthal angles of \mathbf{n} in the usual spherical coordinates attached to the xyz Cartesian coordinates, one faces the integral over the unit sphere $\int \frac{d^2 n}{4\pi} Y_\ell^{m_z}(\mathbf{n}) [Y_\ell^{m'_z}(\mathcal{R}^{-1}\mathbf{n})]^*$. Since $Y_\ell^{m'_z}(\mathcal{R}^{-1}\mathbf{n}) = \langle \mathbf{n} | R | \ell, m'_z \rangle = \sum_{m''_z} Y_\ell^{m''_z}(\mathbf{n}) \langle \ell, m''_z | R | \ell, m'_z \rangle$ and the spherical harmonics form an orthonormal basis, $\int d^2 n Y_\ell^{m_z}(\mathbf{n}) [Y_\ell^{m''_z}(\mathbf{n})]^* = \delta_{m_z, m''_z}$, we get (28). Here \mathcal{R} is a rotation in the three-dimensional space and the operator R is its representation in the Hilbert space.
- [52] For an arbitrary function ϕ , one defines $I \equiv \int d^3 k_1 d^3 k_3 \phi(\mathbf{k}_1, \mathbf{k}_3)$. Then one has $I = (4\pi \times 2\pi) \int_{SO(3)} d\mathcal{R} \int_0^{+\infty} dk_1 dk_3 k_1^2 k_3^2 \int_{-1}^1 du_{13} \phi(\mathcal{R}\mathbf{k}_1^{\text{fix}}, \mathcal{R}\mathbf{k}_3^{\text{fix}})$. To show this one makes in the integral defining I the unit Jacobian change of variable $\mathbf{k}_1 \rightarrow \mathcal{R}\mathbf{k}_1$ and $\mathbf{k}_3 \rightarrow \mathcal{R}\mathbf{k}_3$, where \mathcal{R} is any rotation: $I = \int d^3 k_1 d^3 k_3 \phi(\mathcal{R}\mathbf{k}_1, \mathcal{R}\mathbf{k}_3)$. As the result does not depend on \mathcal{R} , we can average it over $SO(3)$, with the normalized invariant measure. Exchanging the order of integration over \mathcal{R} and over \mathbf{k}_1 and \mathbf{k}_3 , we get $I = \int d^3 k_1 d^3 k_3 J_{\mathbf{k}_1, \mathbf{k}_3}$ with $J_{\mathbf{k}_1, \mathbf{k}_3} \equiv \int_{SO(3)} d\mathcal{R} \phi(\mathcal{R}\mathbf{k}_1, \mathcal{R}\mathbf{k}_3)$. In $J_{\mathbf{k}_1, \mathbf{k}_3}$ one then performs the change of variable $\mathcal{R} \rightarrow \mathcal{R}\rho$, where ρ is any rotation. As the measure is invariant, $J_{\mathbf{k}_1, \mathbf{k}_3} = \int_{SO(3)} d\mathcal{R} \phi(\mathcal{R}\rho\mathbf{k}_1, \mathcal{R}\rho\mathbf{k}_3)$. Then for any given \mathbf{k}_1 and \mathbf{k}_3 , one chooses ρ such that $\rho\mathbf{k}_1 = \mathbf{k}_1^{\text{fix}}$ and $\rho\mathbf{k}_3 = \mathbf{k}_3^{\text{fix}}$, so that $J_{\mathbf{k}_1, \mathbf{k}_3} = \int_{SO(3)} d\mathcal{R} \phi(\mathcal{R}\mathbf{k}_1^{\text{fix}}, \mathcal{R}\mathbf{k}_3^{\text{fix}})$. Inserting this expression of $J_{\mathbf{k}_1, \mathbf{k}_3}$ into I and exchanging again the order of integration gives $I = \int_{SO(3)} d\mathcal{R} \int d^3 k_1 d^3 k_3 \phi(\mathcal{R}\mathbf{k}_1^{\text{fix}}, \mathcal{R}\mathbf{k}_3^{\text{fix}})$. At fixed \mathbf{k}_1 one integrates over \mathbf{k}_3 in spherical coordinates of polar axis \mathbf{k}_1 ; as the integrand does not depend on the azimuthal angle, we pull out a factor 2π . The resulting integral over k_3 and θ_{13} does not depend on the direction of \mathbf{k}_1 so, after integration over \mathbf{k}_1 in spherical coordinates of arbitrary polar axis, one pulls out an additional factor 4π and gets the desired relation.
- [53] A three-dimensional $\delta(\mathbf{k})$ is the product of three one-dimensional $\delta(\mathbf{u}_n \cdot \mathbf{k})$ where (\mathbf{u}_n) is an orthonormal basis. As explained in the text one can take $\mathbf{k} = \mathbf{k}_2 + \mathbf{k}_4 + \mathcal{R}_Y(\beta)\mathcal{R}_Z(\gamma)(\mathbf{k}_1^{\text{fix}} + \mathbf{k}_3^{\text{fix}})$. We first take $\mathbf{u}_1 = \mathbf{e}_Y$ so that $\mathbf{u}_1 \cdot \mathbf{k} = (\mathcal{R}_Z(-\gamma)\mathbf{e}_Y) \cdot (\mathbf{k}_1^{\text{fix}} + \mathbf{k}_3^{\text{fix}}) = \sin \gamma \mathbf{e}_X \cdot (\mathbf{k}_1^{\text{fix}} + \mathbf{k}_3^{\text{fix}}) = -\sin \gamma \sin \beta_0 |\mathbf{k}_1^{\text{fix}} + \mathbf{k}_3^{\text{fix}}|$ where we used Eq. (50). This gives the factor $\delta(\sin \gamma)$ in Eq. (49). As explained in the text we can restrict to the case $\gamma = 0$ (up to a change $\beta \leftrightarrow -\beta$) and we are left with a two-dimensional Dirac $\delta(\mathbf{k}_\perp)$ in the plane orthogonal to \mathbf{e}_Y . In principle $\mathbf{k}_\perp = \mathbf{k}_2 + \mathbf{k}_4 + \mathcal{R}_Y(\beta)(\mathbf{k}_1^{\text{fix}} + \mathbf{k}_3^{\text{fix}})$ but we can equivalently take $\mathbf{k}_\perp = \mathcal{R}_Y(-\beta)(\mathbf{k}_2 + \mathbf{k}_4) + \mathbf{k}_1^{\text{fix}} + \mathbf{k}_3^{\text{fix}}$ due to the rotational invariance of the Dirac distribution. Using $\mathcal{R}_Y(-\beta)\mathbf{e}_Z = \cos \beta \mathbf{e}_Z - \sin \beta \mathbf{e}_X$ and taking $\mathbf{u}_2 = \frac{\mathbf{k}_1^{\text{fix}} + \mathbf{k}_3^{\text{fix}}}{|\mathbf{k}_1^{\text{fix}} + \mathbf{k}_3^{\text{fix}}|} = \cos \beta_0 \mathbf{e}_Z - \sin \beta_0 \mathbf{e}_X$ and its dual $\mathbf{u}_3 = \sin \beta_0 \mathbf{e}_Z + \cos \beta_0 \mathbf{e}_X$ in the ZX plane, we justify Eq. (49).
- [54] Similarly to Eq. (53), $|\ell, m_x = 0\rangle = s_+ e^{-i(\pi/2)L_y/\hbar} |\ell, m_x = 0\rangle = s_- e^{-i(-\pi/2)L_y/\hbar} |\ell, m_x = 0\rangle$ where s_\pm are just signs since $|\ell, m_x = 0\rangle$ can be taken with real components in the $|\ell, m_z\rangle$ basis (L_y has purely imaginary matrix elements). Then $s_- s_+ \langle \ell, m_z = 0 | e^{-i\pi L_y/\hbar} | \ell, m_z = 0 \rangle = 1$. The action of $e^{-i\pi L_y/\hbar}$ in Cartesian coordinates is $(x, y, z) \rightarrow (-x, y, -z)$; in spherical coordinates of polar axis z it is $(\theta, \phi) \rightarrow (\pi - \theta, \pi - \phi)$. For $Y_\ell^{m_z=0}(\theta, \phi)$, which does not depend on ϕ , this is equivalent to the

- action of parity $(\theta, \phi) \rightarrow (\pi - \theta, \pi + \phi)$ and it pulls out a factor $(-1)^\ell$ so that $s_- = (-1)^\ell s_+$ and $|\ell, m_x = 0\rangle = (s_+/2)(e^{-i(\pi/2)L_y/\hbar} + (-1)^\ell e^{-i(-\pi/2)L_y/\hbar})|\ell, m_z = 0\rangle$. Series expanding the exponentials in this last expression, and using the fact that L_y only couples states of different m_z parity, one gets Eq. (54).
- [55] One can keep $[0, 2\pi]$ as the range of integration over ϕ' since the integrand is a periodic function of ϕ' of period 2π .
- [56] For $b_0 > b_1 > 0$, $\int_0^{2\pi} \frac{d\phi}{2\pi} \frac{e^{im_x\phi}}{b_0+b_1\cos\phi} = z_0^{|m_x|}/[(b_0-b_1)(b_0+b_1)]^{1/2}$ with $z_0 = -b_1/\{b_0 + [(b_0-b_1)(b_0+b_1)]^{1/2}\}$.
- [57] If $x \rightarrow -\infty$, $x' \rightarrow +\infty$ or $x \rightarrow +\infty$, $x' \rightarrow -\infty$, the matrix kernel (69) entirely tends exponentially to zero, which does not bring any significant new information.
- [58] This is trivial for $\ell = 0$. For $\ell \geq 1$, this results from the fact that, for $L \geq 1$, one can take $m_x = 1$. Then $\langle \ell, m_z | \ell, m_x = 1 \rangle \neq 0$, except if ℓ is even and $m_z = 0$ (in agreement with Eq. (54), considering the $x \leftrightarrow y$ symmetry), in which case one may return to the choice $m_x = 0$ and use the fact that $\langle \ell, m_z = 0 | \ell, m_x = 0 \rangle \neq 0$ for even ℓ .
- [59] Let us explain more physically why the Λ_L function appears in the expression of the continuous spectrum. The idea is to consider a physical state of the $2+2$ fermionic system, corresponding to a non-zero square integrable solution $\Phi_{m_z}^{(\ell)}(x, u)$ of Eq. (68), and to see how the four-body wavefunction scales when three particles, say 1, 2 and 3, converge to the same location, the fourth particle being at some other fixed location. As we have seen, an extended eigenstate of the continuum that varies for $x \rightarrow -\infty$ as $e^{ikx} e^{im_z\theta/2} \langle \ell, m_z | \ell, m_x = 0 \rangle P_L(u)$, $k \in \mathbb{R}$, has an eigenvalue $\Omega = \Lambda_L(ik, \alpha)$. According to the analytic continuation argument of reference [13], this implies that the $\Omega = 0$ localized eigenstate $\Phi_{m_z}^{(\ell)}(x, u)$ vanishes for $x \rightarrow -\infty$ as $e^{\kappa x} e^{im_z\theta/2} \langle \ell, m_z | \ell, m_x = 0 \rangle P_L(u)$, where the real quantity κ is the minimal positive root of
- $$\Lambda_L(\kappa, \alpha) = 0$$
- with L chosen so as to minimize κ (minimizing κ amounts to selecting the most slowly decreasing exponential function $e^{\kappa x}$, that is the leading contribution for $x \rightarrow -\infty$). This implies that κ is one of the possible scaling exponents s_3 of the $2+1$ fermionic problem, see Eq. (82). In order to determine the limit of Eq. (10) when r_{13} and $|\mathbf{r}_2 - \mathbf{R}_{13}| \rightarrow 0$ tend to zero with the same scaling law, that is both are proportional to the vanishing hyperradius R_{123} of particles 1, 2 and 3, we determine the large \mathbf{k}_2 limit of the integrand of ψ_{24} in Eq. (10) at fixed \mathbf{k}_4 : Omitting to write the angular part for simplicity, we find that $D(\mathbf{k}_2, \mathbf{k}_4)$ scales as $k_2^{-2-\kappa} k_4^{\kappa-s-3/2}$, so that its Fourier transform, according to the usual power-law counting argument, scales as $|\mathbf{r}_2 - \mathbf{R}_{13}|^{\kappa-1} |\mathbf{r}_4 - \mathbf{R}_{13}|^{s-\kappa-3/2}$. The same reasoning applies to ψ_{14} . At fixed $|\mathbf{r}_4 - \mathbf{R}_{13}| > 0$, the four-body wavefunction therefore scales as $R_{123}^{\kappa-2} = R_{123}^{s_3-2}$, exactly as predicted by Eq. (5.179) of reference [34]. This whole discussion is formal for the $2+2$ fermionic problem since, as we shall see, there is no four-body Efimov effect, but it explicitly applies to the $3+1$ fermionic problem and nicely completes reference [13].
- [60] The continuous spectrum $\Omega^{\odot(\ell)}$ can be recovered by keeping only but exactly the last contribution in Eq. (69) to the matrix kernel $K_{m_z, m'_z}^{(\ell)}$ of Eq. (68), that is without resorting to a local approximation of this contribution around $(x, u) = (0, -1)$. The explicit calculation remains simple for a unit mass ratio $\alpha = 1$. The eigenvectors of the resulting operator are then of the form $\Phi_{m_z}^{(\ell)}(x, u) = e^{im_z\gamma} \langle \ell, m_z | \ell, m_x = 0 \rangle \Phi(x, u)$ with the ansatz $\Phi(x, u) = (\text{ch } x)^{-(s-1/2)/2} (u + \text{ch } x)^{-(s+7/2)/2} \chi(\sqrt{2}k_{24}/K_{24})$, k_{24} and K_{24} being the relative and center-of-mass wave numbers of particles 2 and 4, so that $2k_{24}/K_{24} = (\frac{\text{ch } x-u}{\text{ch } x+u})^{1/2}$. One then obtains the integral equation for $\chi(k)$: $\Omega(2k^2 + 1)^{1/2} \chi(k) = (k^2 + 1)^{1/2} \chi(k) - \frac{2(-1)^\ell}{\pi} \int_0^{+\infty} dk' k'^2 \chi(k')/(1 + k^2 + k'^2)$. Further setting $\chi(k) = k^{-3/2}(1 + 2k^2)^{-1/4} \psi(t)$ with $k = \exp(-t)$, one obtains $\Omega\psi(t) = \left(\frac{1+e^{-2t}}{1+2e^{-2t}}\right)^{1/2} \psi(t) - \frac{2(-1)^\ell}{\pi} \int_{\mathbb{R}} dt' \frac{\psi(t') \exp[-3(t+t')/2]}{(1+e^{-2t}+e^{-2t'})([1+2e^{-2t})(1+2e^{-2t'})]^{1/4}}$. The $t \rightarrow -\infty$ continuum of that eigenvalue problem solves $(\sqrt{2}\Omega - 1)\psi_\infty(t) = -\frac{(-1)^\ell}{\pi} \int_{\mathbb{R}} dt' \frac{\psi_\infty(t')}{\text{ch}(t-t')}$, with plane wave solutions $\psi_\infty(t') = e^{ikt}$ reproducing (84). The ansatz for $\Phi(x, u)$ results from the fact that $D(\mathbf{k}_2, \mathbf{k}_4)$ is of the form $K_{24}^{-(s+7/2)} P_\ell(\mathbf{e}_z \cdot \mathbf{K}_{24}/K_{24}) \chi(\sqrt{2}k_{24}/K_{24})$ (P_ℓ is a Legendre polynomial), which is apparent if one turns back to Eq. (13) and realizes that its last contribution conserves the total wave vector \mathbf{K}_{24} (up to a sign).
- [61] In reality, the physical solution for the tensor $\Phi_{m_z}^{(\ell)}(x, u)$ must correspond to a zero-eigenvalue of the matrix $M^{(\ell)}(s)$. In this respect, $k = 0$ is acceptable only for ℓ even. Furthermore, as we shall see in Appendix B [see the footnote called above Eq. (B36)], when $\Omega = 0$, $\phi(t)$ actually scales linearly in t for $t \rightarrow -\infty$, so that $D(\mathbf{k}_2, \mathbf{k}_4)$ actually diverges as $\ln(|\mathbf{k}_2 + \mathbf{k}_4|/k_{24})/(|\mathbf{k}_2 + \mathbf{k}_4|/k_{24})^{s+3/2}$ when $\mathbf{k}_2 + \mathbf{k}_4 \rightarrow \mathbf{0}$. This would result in a $\ln(r_{24}/|\mathbf{R}_{24} - \mathbf{R}_{13}|)/r_{24}$ divergence of the function $\mathcal{A}_{13}(\mathbf{r}_2 - \mathbf{R}_{13}, \mathbf{r}_4 - \mathbf{R}_{13})$ at $r_{24} = 0$, which is physically opaque. Let us keep in mind however that, according to section V there is no four-body Efimov effect in the $2+2$ problem, so that Eq. (68) does not actually support any non-identically zero solution $\Phi^{(\ell)}$ if $s \in i\mathbb{R}$.
- [62] For $\ell > 0$, one can use the identity: $\sum_{m_z=-\ell}^{\ell} [Y_\ell^{m_z}(\mathbf{e} \cdot \mathbf{e}_z, \mathbf{e}_{4\perp 2} \cdot \mathbf{e}_z, \mathbf{e}_{24} \cdot \mathbf{e}_z)]^* e^{im_z(\gamma_{24}+\theta_{24}/2)} \langle \ell, m_z | \ell, m_x = 0 \rangle = s_+ Y_\ell^0(\hat{\mathbf{K}}_{24})$ where $\hat{\mathbf{K}}_{24} = (\mathbf{k}_2 + \mathbf{k}_4)/|\mathbf{k}_2 + \mathbf{k}_4|$, we recall that $\gamma_{24} = \tau_{24} - \theta_{24}/2$ and τ_{24} is the angle between \mathbf{k}_2 and $\mathbf{k}_2 + \mathbf{k}_4$, the spherical harmonics notation is as in footnote [51] and the sign s_+ is defined in footnote [54]. This identity is also useful for footnote [60].
- [63] If $k_{24} \rightarrow +\infty$, $|x|$ necessarily tends to $+\infty$ since $|u| \leq 1$, in which case K_{24} and k_{24} both diverge as $e^{|x|}$ and have a non-vanishing ratio.
- [64] We used $\int_0^{+\infty} dy \sin(ay) \sin(by)/y^{s+1/2} = \frac{1}{2}\Gamma(\frac{1}{2} - s) \sin[\frac{\pi}{4}(1-2s)][|a-b|^{s-\frac{1}{2}} - |a+b|^{s-\frac{1}{2}}]$, for $s \in i\mathbb{R}$, a and b real numbers that differ in absolute value.
- [65] The integrand in Eq. (97) is $O(1/q^2)$ when $q \rightarrow +\infty$, so that the integral converges when $r_{24} \rightarrow 0$ at fixed non-zero $\mathbf{R}_{24} - \mathbf{R}_{13}$. Furthermore it converges to a non-zero value (e.g. to π for $s = 0$).
- [66] If one takes a function $D(\mathbf{k}_2, \mathbf{k}_4)$ with no singularity in $\mathbf{k}_2 + \mathbf{k}_4 = \mathbf{0}$, for example $\Phi_0^{(0)}(x, u) = \exp(-\kappa|x|)$ in the ansatz (20) as in footnote [59] for $\ell = L = 0$, one finds by an explicit calculation that $\mathcal{A}(\mathbf{r}_2 - \mathbf{R}_{13}, \mathbf{r}_4 - \mathbf{R}_{13})$ is finite for $\mathbf{r}_2 = \mathbf{r}_4 = \mathbf{R}_{24}$.
- [67] There is a paradox here. As shown by Eq. (3), the ac-

tion of the Hamiltonian H on $\psi_{24}(\mathbf{r}_1, \mathbf{r}_2, \mathbf{r}_3, \mathbf{r}_4)$ leads to a $\delta(\mathbf{r}_1 - \mathbf{r}_3)$ distribution, not to a $\delta(\mathbf{r}_2 - \mathbf{r}_4)$ distribution. This shows that ψ_{24} is the so-called 1–3 Faddeev component, and it cannot have any $1/r_{24}$ singularity. How can A_{13} then have such a singularity? The answer as usual lies in the order of the limits. At fixed non-zero r_{13} , it is apparent that the function $u(r_{13})$ in Eq. (10), through its dependence on q_{13} given by Eq. (11), provides an ultraviolet cut-off of order $1/r_{13}$ in the $(\mathbf{k}_2, \mathbf{k}_4)$ wavevector space, so that ψ_{24} cannot diverge when $r_{24} \rightarrow 0$. But if one first takes the $r_{13} \rightarrow 0$ limit, the function $u(r_{13})$ is replaced by its equivalent $1/(4\pi r_{13})$ which has no momentum dependence: The wavevector cut-off is set to infinity and a $1/r_{24}$ divergence in $\lim_{r_{13} \rightarrow 0} (r_{13} \psi_{24})$ can now take place at $r_{24} = 0$.

- [68] This reasoning can be transposed to the case of four identical bosons, when three of them converge to the same location in the relative three-body channel where the Efimov effect takes place. As this channel has a zero angular momentum and an even parity, this implies that, in such a configuration, the total internal angular momentum ℓ of the four-body system is carried by the relative motion of the fourth boson with respect to the center of mass of the first three bosons, leading to a global parity $(-1)^\ell$. This indicates that, for $\ell \neq 0$, the four-boson unitary system in an isotropic harmonic trap should have interacting states in the $(-1)^{\ell+1}$ parity sector that are immune to the three-body Efimov effect. Such “universal” states have indeed been observed numerically in reference [43], but for a total internal angular momentum $\ell = 0$: this observation cannot be explained by our reasoning.
- [69] If for simplicity one omits to write the other variables, the integral over θ' , of the form $\int_0^\pi d\theta' \check{K}(\theta, \theta') \check{\Phi}(\theta')$, is approximated by $\sum_{j=1}^{n_\theta} w(\theta_j) \check{K}(\theta_i, \theta_j) \check{\Phi}(\theta_j)$, where $(\theta_i)_{1 \leq i \leq n_\theta}$ is the set of (non-equispaced) discrete values of θ proposed by the n_θ -points Gauss-Legendre method and $w(\theta_i)$ the corresponding weights. To render the resulting discretised form of $\check{M}(s=0)$ hermitian, it suffices to take as unknowns $w(\theta_j)^{1/2} \check{\Phi}(\theta_j)$ and to multiply the eigenvalue equation by $w(\theta_i)^{1/2}$, which leads to the kernel $[w(\theta_i)w(\theta_j)]^{1/2} \check{K}(\theta_i, \theta_j)$ without modifying the spectrum.
- [70] With the notations of the previous footnote, one takes $[dx w_x(\theta_i)]^{1/2} \check{\Phi}_{m_z}^{(\ell)}(x, \theta_i)$ as unknowns in the zone $\rho > \rho_0$, and $[dt w(\psi_i)]^{1/2} \rho_0 e^t \check{\Phi}_{m_z}^{(\ell)}(x(t, \psi_i), \theta(t, \psi_i))$ as unknowns in the zone $\rho < \rho_0$. In this way, after multiplication of the eigenvalue equation by $[dx w_x(\theta_i)]^{1/2}$ or $[dt w(\psi_i)]^{1/2} \rho_0 e^t$, one obtains an hermitian matrix. The x -dependence of the weight $w_x(\theta_i)$ results from the x -dependence of θ_{\max} .
- [71] The triangle corresponds to the zone $1/\sqrt{2} \leq \Omega \leq \Lambda_{L=1}(0, \alpha)$.
- [72] The same conclusion must hold for the eigenvalues Ω in Fig. 3 [parity $(-1)^{\ell+1}$] that are above the upper external border of the continuum, as well as for those below the lower external border of the continuum (there are some for α close to unity).
- [73] It is explicitly supposed here that a potential purely imaginary root s_4 of Eq. (22) would exist above some threshold value $\alpha_c(2; 2)$ of the mass ratio α , with $s_4 = 0$ at threshold. One can however imagine another scenario, with s_4 still a continuous function of α : s_4 would exist for all mass ratio $\alpha \in [1, \alpha_c(2; 1)]$, with $\alpha_c(2, 1) = 13.6069 \dots$ the three-body Efimov effect threshold, in which case s_4 would not need to cross zero for some α . This scenario is however excluded (i) by the experimental results for the spin 1/2 unitary Fermi gas, which has a mass ratio $\alpha = 1$ (no significant four-body losses are observed) and (ii) by the numerical calculations in the conjecture on the fourth cluster coefficient b_4 of that unitary Fermi gas in Appendix B [it is found for $\alpha = 1$ that the operator $M(s)$ is positive for all purely imaginary s , which excludes the existence of a root s_4].
- [74] Note that $\Delta B_{n_\uparrow, n_\downarrow}$ is actually equal to $B_{n_\uparrow, n_\downarrow}$ as soon as the two indices differ from zero, since the ideal gas grand potential is the sum of the grand potential of each spin component, and no $\uparrow\downarrow$ crossed term can appear in the resulting cluster expansion.
- [75] It can be deduced from Eq. (7) of reference [29] by integration by parts.
- [76] For $\ell = 1$ within the even parity sector, the minimal value of A given by Eq. (B19) corresponds to $x = x' \rightarrow +\infty$, $u = u' = 0$ in Eq. (B14). Let us use the notation $O = \langle \ell = 1, m_z = 0 | \mathcal{D}^{-1/2} K^{(\ell=1)} \mathcal{D}^{-1/2} | \ell = 1, m'_z = 0 \rangle$ and introduce the operator T in the space of functions of the single variable x such that, in Dirac's notation, $\langle x | T | x' \rangle = A / \text{ch}(x - x')$. Then Eq. (B14) can be rewritten as $|\langle x, u | O | x', u' \rangle| \leq \langle x | T | x' \rangle$. For any integer n greater than 1, we inject $n-1$ closure relations and use the triangular inequality to obtain $|\langle x, u | O^n | x', u' \rangle| \leq \int_{\mathbb{R}} dx_1 \dots dx_{n-1} \int_{-1}^1 du_1 \dots du_{n-1} \langle x | T | x_1 \rangle \dots \langle x_{n-1} | T | x' \rangle = 2^{n-1} \langle x | T^n | x' \rangle$. Then $|\langle x, u | [(\mathbb{1} + O)^{-1} - \mathbb{1}] | x', u' \rangle| \leq \langle x | \frac{T}{1-2T} | x' \rangle = \int_{\mathbb{R}} \frac{dk}{2\pi} e^{ik(x-x')} \frac{t_k}{1-2t_k}$, where we have used a series expansion in powers of O and where $t_k = \int_{\mathbb{R}} dy \frac{A}{\text{ch} y} e^{iky} = \pi A / \text{ch}(k\pi/2)$ is the eigenspectrum of T . Calculating the integral over k and combining the result with the identity $\langle \ell = 1, m_z = 0 | K_{\text{inv}}^{(\ell=1)} | \ell = 1, m'_z = 0 \rangle = \mathcal{D}^{-1/2} [(\mathbb{1} + O)^{-1} - \mathbb{1}] \mathcal{D}^{-1/2}$ leads to Eq. (B20).
- [77] To finish the calculation, one can use the mild hypothesis that the matrix elements of K_{inv} are uniformly bounded, that $|d_1(x) - d_1(x')| \left(\frac{e^{x+x'}}{4 \text{ch } x \text{ ch } x'} \right)^{1/4} \leq |d_1(x)| \left(\frac{e^x}{2 \text{ch } x} \right)^{1/4} + |d_1(x')| \left(\frac{e^{x'}}{2 \text{ch } x'} \right)^{1/4}$, due to $\exp(x) \leq 2 \text{ch } x$ or $\exp(x) \leq 2 \text{ch } x$ and to the triangular inequality $|d_1(x) - d_1(x')| \leq |d_1(x)| + |d_1(x')|$. Then one can integrate over x' or over x (depending on the term), using $\int_{\mathbb{R}} \frac{dx'}{\text{ch}(x-x')} = \pi$, and one finally faces the integral $\int_{\mathbb{R}} dx |d_1(x)| \left(\frac{e^x}{2 \text{ch } x} \right)^{1/4} < +\infty$.
- [78] The value $k = 0$, that is $n = 0$, should not be included. If one directly takes the limit $k \rightarrow 0$ in Eq. (B30) one gets the absurd result $\phi_{k=0}(t) = 0$. The correct way of taking the limit is to first divide Eq. (B30) by ik . One then finds that $\phi_{k=0}(t)$ diverges as $2t - b(S)$ when $t \rightarrow -\infty$, so it does not satisfy the boundary condition (B35).
- [79] In the numerics, we extrapolate to $1/t_{\min} = 0$ using a cubic fit in $1/t_{\min}$, with data down to minimal values $1/|t_{\min}| = 1/200$ for $\ell = 0$ and $1/|t_{\min}| = 1/30$ for $\ell > 0$. For $\ell = 0$, as a test of the finite- t_{\min} formalism, we have used Eq. (B48) to predict the leading numerical error on $\Delta B_{2,2}^{\text{conj}(\ell=0)}(0^+)$ due to the t_{\min} truncation, that is $(8\pi|t_{\min}|)^{-1} \int_{\mathbb{R}} dS [b(\infty) - b(S)] = 2.3(1)/(8\pi|t_{\min}|)$, which agrees with the direct numerical calculation. To obtain $b(S)$ at any given S , and hence the integral of

$b(\infty) - b(S)$, we calculated numerically the eigenvectors corresponding to the first few eigenvalues Ω_n ($n \geq 1$) of $M^{(\ell=0)}(s = iS)$, and we fitted the corresponding functions $\phi_n(t)$ [defined as in Eq. (91)] with a three-parameter sine function $t \mapsto A_n \sin(k_n t - \theta_n/2)$ as suggested by Eq. (B30), where A_n is a complex amplitude, k_n an effective wavenumber and θ_n a phase shift. The fits are very good, the obtained values of k_n agree very well with the dispersion relation (84); setting $\theta(k_n, S) = \theta_n$, we also find that the quantization condition (B36) is well obeyed; finally, extrapolating θ_n/k_n to $n = 0$ linearly in k_n^2 gives $b(S)$. To be complete, we note that $b(S)$ looks like a negative amplitude Gaussian on a non-zero background $b(\infty)$, that is $b(\infty) - b(S) \simeq 1.05 \times \exp(-0.668S^2)$. As the variable t in Eq. (91) depends on ρ_0 , so does $b(\infty)$. In our numerics, $\rho_0 = 2/5$ and we find $b(\infty) = 3.84(1)$. More analytically, one expects at large S that the phase shift $\theta(k, S)$ is imposed by the third contribution in Eq. (69), the first two ones becoming rapidly oscillating and negligible. Then one can use the analytical results of footnote [60]: introducing the phase shift $\theta_\psi(k)$ such that $\psi(t) = \sin[kt - \theta_\psi(k)/2] + o(1)$ for $t \rightarrow -\infty$, one expects that $\theta(k, S) \rightarrow \theta_\psi(k) - 2k \ln(\rho_0/\sqrt{2})$ for $S \rightarrow \infty$, so that $b(\infty) = b_\psi - 2 \ln(\rho_0/\sqrt{2})$ with $b_\psi \simeq 1.33$. Our numerics fulfill these expectations, which constitutes a good test.

- [80] In practice, we used a Gauss-Legendre scheme with up to 59 points, using θ rather than $u = \cos \theta$ as the integration variable, with the change of function (A3) and the inclusion of the extra Jacobian $(\sin \theta \sin \theta')^{1/2}$ in the matrix kernel.
- [81] The integration over $S \in \mathbb{R}$ of $\Lambda_\ell(iS)/\cos \nu - 1$ using the first line of Eq. (78) leads to $\int_{-1}^1 du P_\ell(u)/(1 + u \sin \nu)$. The large ℓ limit of that integral reproduces exactly Eq. (42) of reference [28], as we have checked using $P_\ell(u) = (2^\ell \ell!)^{-1} \frac{d^\ell}{du^\ell} [(u^2 - 1)^\ell]$, then integrating ℓ times by parts then using Laplace's method.
- [82] The product of the four unitary operators under the trace represents in the single-particle Hilbert space a rotation of angle δ around some axis. It is easy to explicitly eval-

uate this trace as a function of the angles $\theta, \theta', \phi, \phi'$ in the case $\ell = 1$, where each operator can be replaced by a well-known 3×3 rotation matrix in the usual, three-dimensional space. This leads to the expression (B57).

- [83] Furthermore the Hilbert space was limited in reference [13] to the kets $|x, u, \ell, m_z\rangle$ with $x > 0$, as the symmetry condition (B58) allows, which amounts to adding an extra projector $\mathcal{P}_{x>0}$. This complicates things because $\mathcal{P}_{x>0}$ and U do not commute. Fortunately, in calculating operator traces, one can use the properties $UP = PU = P$, $\mathcal{P}_{x<0} = U\mathcal{P}_{x>0}U$ and $\mathcal{P}_{x<0} + \mathcal{P}_{x>0} = \mathbb{1}$, as well as the invariance of the trace under a cyclic permutation of the operators, so that $\text{Tr}(\mathcal{P}_{x<0}PAP) = \text{Tr}(U\mathcal{P}_{x>0}UPAP) = \text{Tr}(\mathcal{P}_{x>0}PAP) = \frac{1}{2}\text{Tr}(PAP) = \frac{1}{2}\text{Tr}(AP)$ and $\text{Tr}(APP_{x<0}PB) = \text{Tr}(APP_{x>0}PB) = \frac{1}{2}\text{Tr}(APB)$, where A and B are arbitrary operators.
- [84] If one writes the operator M of reference [13] before its restriction to the subspace of symmetry (B58) as $\mathcal{D} + K_0 + UK_0U$ then after implementation of the symmetry and restriction to the Hilbert space of kets $|x, u, \ell, m_z\rangle$ with $x > 0$, it becomes $\mathcal{P}_{x>0}[\mathcal{D} + (1+U)K_0(1+U)]\mathcal{P}_{x>0}$. The first, second and third contributions in the right-hand side of Eq. (B60) are respectively given by $-(\ell + 1/2)/(2\pi)$ times the integral over $S \in \mathbb{R}$ of $\text{Tr}_{\ell,\varepsilon}(\tilde{K}_0U)$, of $-\frac{1}{2}\text{Tr}_{\ell,\varepsilon}[\tilde{K}_0(U\tilde{K}_0U)]$ and of $-\text{Tr}_{\ell,\varepsilon}(\tilde{K}_0^2U)$, where we have set $\tilde{K}_0 \equiv \mathcal{D}^{-1}K_0$ and the index ℓ, ε means that the trace is restricted to the states $|\ell, m\rangle$ with $(-1)^m = \varepsilon$. Note that $U\mathcal{D}U = \mathcal{D}$ and $[\mathcal{P}_{x>0}, \mathcal{D}] = 0$.
- [85] The ℓ independent function in factor of the sine function in the integrand of Eq. (B62) is a smooth function of δ over $[0, \pi]$, with all its even order derivatives (including the zeroth order) vanishing at $\delta = 0$ and all its odd order derivatives vanishing at $\delta = \pi$. Under repeated integration by parts (always integrating the sine function), the fully-integrated term vanishes at the boundaries and one pulls out at each step a factor $(\ell + 1/2)^{-1}$. So Eq. (B62) is $O[(\ell + 1/2)^{-n}]$ when $\ell \rightarrow +\infty$, for all integers n .

Absence d'effet Efimov à quatre corps dans le problème à 2 + 2 fermions

Shimpei Endo¹ et Yvan Castin¹

¹ Laboratoire Kastler Brossel, ENS-PSL, CNRS, UPMC-Sorbonne Universités, Collège de France, Paris, France

Dans l'espace libre tridimensionnel, nous considérons une paire de fermions identiques \uparrow d'une certaine espèce ou dans un certain état interne, et une paire de fermions identiques \downarrow d'une autre espèce ou dans un autre état. Il y a une interaction résonnante dans l'onde s (c'est-à-dire de portée nulle et de longueur de diffusion infinie) entre les fermions des paires différentes, et aucune interaction au sein de la même paire. Nous déterminons si ce système à 2 + 2 fermions peut présenter (comme le système à 3 + 1 fermions) un effet Efimov à quatre corps en l'absence d'effet Efimov à trois corps, c'est-à-dire lorsque le rapport de masse α entre les fermions \uparrow et \downarrow et son inverse sont tous deux inférieurs à 13,6069.... Dans ce but, nous étudions des solutions d'énergie nulle invariantes d'échelle de l'équation de Schrödinger à quatre corps, qui sont des fonctions positivement homogènes des coordonnées de degré $s - 7/2$, où s est un exposant d'Efimov généralisé qui devient purement imaginaire en présence d'un effet d'Efimov à quatre corps. En utilisant l'invariance par rotation dans l'espace des impulsions, on trouve que les valeurs autorisées de s sont telles que $M(s)$ a une valeur propre nulle ; ici l'opérateur $M(s)$, qui dépend du moment cinétique total ℓ , agit sur des fonctions de deux variables réelles (le cosinus de l'angle entre deux vecteurs d'onde et le logarithme du rapport de leurs modules), et nous l'écrivons explicitement en termes d'un noyau intégral matriciel. Nous avons effectué une analyse spectrale de $M(s)$, analytique pour s imaginaire pur quelconque dans le cas du spectre continu, numérique et limitée à $s = 0$ et $\ell \leq 12$ dans le cas du spectre discret. Nous concluons qu'aucune valeur propre de $M(0)$ ne croise zéro sur l'intervalle de rapport de masse $\alpha \in [1 ; 13,6069\dots]$, même si, dans le secteur de parité $(-1)^\ell$, le spectre continu de $M(s)$ a partout un bord inférieur nul. Par conséquent, il n'y a pas de possibilité d'effet d'Efimov à quatre corps pour 2 + 2 fermions.

Nous avons également énoncé une conjecture sur le quatrième coefficient d'amas du gaz unitaire de fermions de spin 1/2, inspirée de la forme analytique connue du troisième coefficient d'amas et faisant apparaître l'intégrale par rapport à s sur l'axe imaginaire pur de s fois la dérivée logarithmique du déterminant de $M(s)$ sommée sur tous les moments cinétiques. La valeur conjecturée est en désaccord avec les résultats expérimentaux.

I. INTRODUCTION ET MOTIVATION

Dans les gaz atomiques froids tridimensionnels, grâce aux résonances magnétiques de Feshbach, il est maintenant possible d'induire des interactions résonnantes dans l'onde s entre les particules [1]. Cela signifie que la longueur de diffusion a dans l'onde s est, en valeur absolue, beaucoup plus grande que la portée (ou la portée effective) de l'interaction. Essentiellement, on peut supposer que $1/a = 0$, et puisque la longueur d'onde de de Broglie atomique est également beaucoup plus grande que la portée de l'interaction, on peut remplacer les interactions par des conditions de contact à deux corps de Wigner-Bethe-Peierls invariantes d'échelle sur la fonction d'onde [2] : on réalise la limite unitaire tant recherchée.

Le phénomène le plus frappant qui peut se produire dans ce régime est peut-être l'effet Efimov, prédit pour trois particules ayant des statistiques et des rapports de masse appropriés [3]. Il correspond à l'apparition d'un nombre infini d'états liés, avec un spectre asymptotiquement géométrique près du point d'accumulation d'énergie nulle. La partie géométrique du spectre est caractérisée par une raison, prédite par la théorie de portée nulle d'Efimov, et une échelle d'énergie globale qui dépend des détails microscopiques de l'interaction. La simple existence d'une telle échelle d'énergie nous oblige à compléter les conditions de contact à deux corps par des conditions à trois corps, qui font intervenir une échelle de lon-

gueur, appelée paramètre à trois corps, et qui brisent l'invariance d'échelle au niveau du trois corps. C'est à ce prix que le modèle de portée nulle devient bien défini et conduit à un hamiltonien auto-adjoint. L'effet Efimov est maintenant observé expérimentalement avec des atomes froids [4], ce qui donne accès à la valeur du paramètre à trois corps [5].

Une question naturelle est de savoir si un effet Efimov à quatre corps est possible [6, 7], conduisant à un spectre infini, asymptotiquement géométrique, de tétramères, avec une raison en énergie prédite par la théorie de portée nulle et une échelle d'énergie globale fixée par un paramètre à quatre corps apparaissant dans des conditions de contact à quatre corps. On a maintenant compris qu'une condition préalable à l'effet Efimov à quatre corps est l'absence d'effet Efimov à trois corps : on s'attend en effet à ce que l'introduction de conditions de contact à trois corps (en termes d'un paramètre à trois corps) imposées par l'effet Efimov à trois corps soit suffisante pour rendre également le problème à quatre corps bien défini, c'est-à-dire sans la nécessité d'un paramètre à quatre corps ; comme le prédit la référence [6], aucune suite géométrique d'états tétramères ne peut alors être trouvée mais, comme il a été montré numériquement pour quatre bosons [8], des suites géométriques de résonances d'énergie complexes à quatre corps sont attendues en général, avec la même raison que le spectre de trimères d'Efimov (voir [9, 10] pour les premières études igno-

rant la partie imaginaire de l'énergie). Cette condition préalable exclut les systèmes avec plus d'un boson [3] comme candidats possibles pour un effet Efimov à quatre corps, et suggère d'utiliser des fermions pour contrebalancer l'effet Efimov par le principe d'exclusion de Pauli, au moins à trois dimensions (ce qui se passe dans les dimensions inférieures ou avec des interactions résonnantes dans d'autres voies que l'onde s est discuté dans [11, 12]).

Considérons alors le problème dit à $p + q$ fermions : p fermions identiques de la même espèce ou dans le même état de spin interagissent de manière résonnante dans l'espace libre avec q fermions identiques d'une autre espèce ou dans un autre état de spin. On suppose qu'il n'y a pas d'interaction entre les fermions identiques, puisqu'ils ne peuvent pas diffuser dans l'onde s . Il est commode d'adopter une notation de pseudo-spin, avec \uparrow pour la première espèce et \downarrow pour la seconde. Les deux espèces ont en général des masses différentes m_\uparrow et m_\downarrow , et l'idée cruciale est d'utiliser leur rapport de masse comme paramètre ajustable pour rechercher l'effet Efimov à quatre corps sans déclencher celui à trois corps.

Le problème résonnant à $3 + 1$ fermions ou $\uparrow\uparrow\downarrow$ a été étudié dans la référence [13]. Un effet Efimov à quatre corps a été prédit pour un rapport de masse tel que $13,384 < m_\uparrow/m_\downarrow < 13,6069\dots$. Au delà de $13,6069\dots$, l'effet Efimov à trois corps se produit comme l'a montré la référence [3, 14, 15], ce qui empêche l'effet Efimov à quatre corps comme discuté plus haut : à part un nombre fini d'états tétramères, on s'attend à un nombre infini de résonances à quatre corps avec la même raison géométrique que pour le problème $2 + 1$.

La motivation principale du présent travail est de déterminer la présence ou l'absence d'un effet Efimov à quatre corps dans le problème à $2 + 2$ fermions ou $\uparrow\uparrow\downarrow\downarrow$. A notre connaissance, aucune réponse générale et rigoureuse n'a été donnée à ce problème. On peut penser l'attaquer avec l'approximation de Born-Oppenheimer. Nous nous attendons en effet (comme pour le cas à trois corps) à ce que la seule possibilité pour un effet Efimov à quatre corps soit d'avoir un grand rapport de masse entre les deux espèces, avec par exemple des fermions \uparrow beaucoup plus massifs que les \downarrow . On constate qu'en présence de deux fermions \uparrow à des positions fixées, il existe un seul état lié pour la particule \downarrow , ce qui crée une attraction effective $\propto -\hbar^2/(m_\downarrow r^2)$ entre les fermions \uparrow . Pour un rapport de masse m_\uparrow/m_\downarrow suffisamment grand, ceci l'emporte en effet sur la barrière centrifuge $\propto \hbar^2/(m_\uparrow r^2)$ entre les particules \uparrow (comme elles sont fermioniques, elles se rapprochent les unes des autres avec un moment cinétique non nul), ce qui explique qualitativement l'apparition d'un effet Efimov à trois corps dans le problème $2 + 1$, comme l'a souligné Efimov [3] en 1973. Cependant, comme il y a une seule orbitale liante, on ne peut pas mettre un second fermion \downarrow dans cette orbitale, mais on peut au mieux en mettre un dans l'état de diffusion fondamental, à énergie nulle, ce qui a deux conséquences : (i) le potentiel attractif de Born-Oppenheimer entre les particules \uparrow n'est pas abaissé par le second fermion \downarrow , donc aucun effet Efimov à quatre corps n'est prévu à un rapport de masse strictement inférieur au seuil de l'effet Efimov à trois corps, et (ii) comme souligné dans [16], le second fermion \downarrow , étant dans un état propre d'énergie nulle, n'a pas un mouvement rapide par rapport à celui des particules lourdes, ce qui jette des doutes sur la validité de l'approximation de Born-Oppenheimer. Alternativement, on peut s'attendre à ce que ce problème $2 + 2$ ait déjà été résolu numériquement dans la littérature ; cependant, aucune couverture assez fine et convaincante de l'intervalle de rapport de masse entre 1 et $13,6069\dots$ ne semble être disponible dans les études numériques [17] compte tenu de l'étroitesse de l'intervalle de masse mentionné ci-dessus. Pour obtenir une réponse fiable à la question, nous généralisons la méthode de la référence [13, 18], en déduisant du modèle de portée nulle les équations intégrales dans l'espace des impulsions pour le problème à $2 + 2$ fermions à énergie nulle (voir aussi la formulation la plus générale de la référence [19]), et en utilisant la symétrie de rotation et l'invariance d'échelle pour les réduire à une forme traitable numériquement.

Une autre motivation est d'ouvrir la voie au calcul du quatrième coefficient du viriel d'un gaz unitaire de fermions à deux composantes : cela jetterait un pont intéressant entre la physique à petit nombre de corps et la physique à N corps. Pour un rapport de masse unité $m_\uparrow/m_\downarrow = 1$, la valeur de ce coefficient du viriel a déjà été obtenue expérimentalement à partir d'une mesure de l'équation d'état d'un gaz d'atomes froids [20, 21]. Du côté de la théorie, il existe deux méthodes de calcul principales. Premièrement, la méthode diagrammatique, utilisée de manière exacte (tous les diagrammes sont conservés) pour le troisième coefficient du viriel [22, 23], et de manière approchée (seuls certains diagrammes sont conservés, ceux qui sont pertinents dans le régime perturbatif d'une grande portée effective ou d'une faible longueur de diffusion) pour le quatrième coefficient du viriel [24] conduisant à une prédiction différente mais raisonnablement proche de la valeur expérimentale. Deuxièmement, la technique du régulateur harmonique [25], utilisée avec succès pour le troisième coefficient du viriel [26–29], qui nécessite de déterminer le spectre d'énergie jusqu'à quatre particules dans un piège harmonique isotrope. Une première solution numérique frontale de ce problème à quatre corps piégés [30] n'a pas permis de retrouver même le signe de la valeur expérimentale. D'une manière plus analytique, ce spectre peut être déduit des solutions du problème dans l'espace libre à énergie nulle [31, 32], grâce à la symétrie dynamique $SO(2, 1)$ du gaz unitaire de fermions [32–34], de sorte que les équations intégrales à quatre corps écrites ici peuvent également être utiles pour la solution du problème du viriel.

Notre article est organisé comme suit. Dans la section II, nous obtenons les équations intégrales dans l'espace des impulsions à énergie nulle sous une forme générale. Dans la section III, nous utilisons successivement l'invariance par rotation, l'invariance d'échelle et l'invariance

par parité pour mettre les équations intégrales sous une forme maximalement réduite.

Cette forme réduite, écrite dans la section IV A, exprime exactement le fait qu'un opérateur M , dépendant du moment cinétique ℓ et de l'exposant d'échelle s , a une valeur propre nulle, ce qui motive son analyse spectrale ; celle-ci permet de montrer que deux composantes du spectre continu de M peuvent être exprimées exactement en termes de fonctions transcendantes d'Efimov apparaissant dans les problèmes à trois corps $\uparrow\downarrow\downarrow$ et $\uparrow\downarrow\downarrow$ (voir la section IV B) et qu'il existe un troisième continuum inattendu dû à un terme sans équivalent dans le problème 3+1 (voir la section IV C). La question de l'existence de l'effet Efimov à quatre corps dans le problème à 2+2 fermions fait l'objet de la section V, alors que la motivation secondaire de ce travail, c'est-à-dire le quatrième coefficient du viriel du gaz unitaire de fermions de spin 1/2, est relégué dans l'annexe B, où son expression en termes de l'opérateur M est conjecturée par une transposition au problème à 4 corps de l'expression analytique connue du troisième coefficient du viriel [28, 29], et la valeur conjecturée est comparée aux valeurs expérimentales [20, 21] et théoriques [24, 30]. Nous concluons dans la section VI.

II. OBTENTION DES ÉQUATIONS INTÉGRALES GÉNÉRALES À QUATRE CORPS

Les particules 1 et 2, de positions \mathbf{r}_1 et \mathbf{r}_2 , appartiennent à l'espèce \uparrow . Les particules 3 et 4, de positions \mathbf{r}_3 et \mathbf{r}_4 , appartiennent à l'espèce \downarrow . La fonction d'onde à quatre corps ψ est soumise aux conditions de contact habituelles de Wigner-Bethe-Peierls, pour une interaction de portée nulle de longueur de diffusion a dans l'onde s entre des particules de spins opposés. Pour tout $i \in \{1, 2\}$ et tout $j \in \{3, 4\}$, lorsque la distance r_{ij} entre les particules i et j tend vers zéro, à position fixée $\mathbf{R}_{ij} = (m_\uparrow \mathbf{r}_i + m_\downarrow \mathbf{r}_j)/(m_\uparrow + m_\downarrow)$ de leur centre de masse (différente des positions des deux particules restantes), on impose

$$\begin{aligned} \psi_{\uparrow\uparrow\downarrow\downarrow}(\mathbf{r}_1, \mathbf{r}_2, \mathbf{r}_3, \mathbf{r}_4) &\underset{r_{ij} \rightarrow 0}{=} \left(\frac{1}{r_{ij}} - \frac{1}{a} \right) \frac{\mu_{\uparrow\downarrow}}{2\pi\hbar^2} \\ &\times \mathcal{A}_{ij}((\mathbf{r}_k - \mathbf{R}_{ij})_{k \neq i, j}) + O(r_{ij}) \end{aligned} \quad (1)$$

où la forme de la partie régulière \mathcal{A}_{ij} suppose que le centre de masse des quatre particules est au repos, et où $\mu_{\uparrow\downarrow} = m_\uparrow m_\downarrow / (m_\uparrow + m_\downarrow)$ est la masse réduite de deux particules de spins opposés. En raison de l'antisymétrie fermionique, les parties régulières ne sont pas des fonctions indépendantes :

$$\mathcal{A}_{13} = \mathcal{A}_{24} = -\mathcal{A}_{14} = -\mathcal{A}_{23} \equiv \mathcal{A} \quad (2)$$

L'équation de Schrödinger à l'énergie propre nulle $E = 0$, s'écrit alors au sens des distributions

$$\begin{aligned} H\psi_{\uparrow\uparrow\downarrow\downarrow} &= \mathcal{A}(\mathbf{r}_2 - \mathbf{R}_{13}, \mathbf{r}_4 - \mathbf{R}_{13})\delta(\mathbf{r}_1 - \mathbf{r}_3) \\ &- \mathcal{A}(\mathbf{r}_2 - \mathbf{R}_{14}, \mathbf{r}_3 - \mathbf{R}_{14})\delta(\mathbf{r}_1 - \mathbf{r}_4) \\ &- \mathcal{A}(\mathbf{r}_1 - \mathbf{R}_{23}, \mathbf{r}_4 - \mathbf{R}_{23})\delta(\mathbf{r}_2 - \mathbf{r}_3) \\ &+ \mathcal{A}(\mathbf{r}_1 - \mathbf{R}_{24}, \mathbf{r}_3 - \mathbf{R}_{24})\delta(\mathbf{r}_2 - \mathbf{r}_4) \end{aligned} \quad (3)$$

avec l'hamiltonien d'énergie cinétique

$$H = \sum_{n=1}^4 -\frac{\hbar^2}{2m_n} \Delta_{\mathbf{r}_n} \quad (4)$$

et $\delta(\mathbf{r})$ est la distribution de Dirac tridimensionnelle, provenant de l'identité $\Delta_{\mathbf{r}}(1/r) = -4\pi\delta(\mathbf{r})$.

Nous passons maintenant dans l'espace des impulsions et nous prenons la transformée de Fourier de l'équation de Schrödinger. Au premier membre, chaque opérateur de Laplace fait sortir un facteur $-k_n^2$, où \mathbf{k}_n est le vecteur d'onde de la particule numéro n . Au second membre, on obtient par exemple pour le premier terme :

$$\begin{aligned} \int \prod_{n=1}^4 d^3 r_n e^{-i \sum_{n=1}^4 \mathbf{k}_n \cdot \mathbf{r}_n} \mathcal{A}(\mathbf{r}_2 - \mathbf{R}_{13}, \mathbf{r}_4 - \mathbf{R}_{13})\delta(\mathbf{r}_1 - \mathbf{r}_3) \\ = (2\pi)^3 \tilde{\mathcal{A}}(\mathbf{k}_2, \mathbf{k}_4)\delta\left(\sum_{n=1}^4 \mathbf{k}_n\right) \end{aligned} \quad (5)$$

où le tilde repère la transformée de Fourier. En introduisant la fonction $D \equiv (2\pi)^3 \tilde{\mathcal{A}}$, on obtient l'ansatz dans l'espace des impulsions à quatre corps généralisant au problème à 2+2 fermions celui du problème à 3+1 fermions [13, 18] :

$$\begin{aligned} \tilde{\psi}_{\uparrow\uparrow\downarrow\downarrow}(\mathbf{k}_1, \mathbf{k}_2, \mathbf{k}_3, \mathbf{k}_4) &= \frac{\delta\left(\sum_{n=1}^4 \mathbf{k}_n\right)}{\sum_{n=1}^4 \frac{\hbar^2 k_n^2}{2m_n}} [D(\mathbf{k}_2, \mathbf{k}_4) \\ &- D(\mathbf{k}_2, \mathbf{k}_3) - D(\mathbf{k}_1, \mathbf{k}_4) + D(\mathbf{k}_1, \mathbf{k}_3)] \end{aligned} \quad (6)$$

L'ansatz obéit à l'antisymétrie fermionique et à l'équation de Schrödinger, mais pas encore à la condition de contact (1), qu'il suffit d'implémenter pour $(i, j) = (1, 3)$. On prend donc la transformée de Fourier inverse de $\tilde{\psi}$ en $(\mathbf{r}_1, \mathbf{r}_2, \mathbf{r}_3, \mathbf{r}_4)$, avec la paramétrisation :

$$\mathbf{r}_1 = \mathbf{R}_{13} + \frac{m_3}{m_1 + m_3} \mathbf{r}_{13} \quad (7)$$

$$\mathbf{r}_3 = \mathbf{R}_{13} - \frac{m_1}{m_1 + m_3} \mathbf{r}_{13} \quad (8)$$

Seule la contribution ψ_{24} de $D(\mathbf{k}_2, \mathbf{k}_4)$ à ψ diverge pour $r_{13} \rightarrow 0$; dans cette transformée de Fourier inverse, on prend alors $\mathbf{K}_{13} = \mathbf{k}_1 + \mathbf{k}_3$, $\mathbf{k}_{13} = \mu_{13}(\mathbf{k}_1/m_1 - \mathbf{k}_3/m_3)$ et $\mathbf{k}_2, \mathbf{k}_4$ comme variables d'intégration (on a évidemment

$\mu_{13} = \mu_{\uparrow\downarrow}$), de sorte que $\mathbf{k}_1 \cdot \mathbf{r}_1 + \mathbf{k}_3 \cdot \mathbf{r}_3 = \mathbf{K}_{13} \cdot \mathbf{R}_{13} + \mathbf{k}_{13} \cdot \mathbf{r}_{13}$ et $\frac{\hbar^2 k_1^2}{2m_1} + \frac{\hbar^2 k_3^2}{2m_3} = \frac{\hbar^2 k_{13}^2}{2\mu_{13}} + \frac{\hbar^2 K_{13}^2}{2(m_1 + m_3)}$; l'intégration sur \mathbf{K}_{13} est simple, en raison de la conservation de la quantité de mouvement, et l'intégration sur \mathbf{k}_{13} peut aussi être faite en utilisant

$$u(\mathbf{r}) = \int \frac{d^3 k_{13}}{(2\pi)^3} \frac{e^{i\mathbf{k}_{13} \cdot \mathbf{r}}}{k_{13}^2 + q_{13}^2} = \frac{e^{-q_{13} r}}{4\pi r} \quad (9)$$

On obtient

$$\begin{aligned} \psi_{24}(\mathbf{r}_1, \mathbf{r}_2, \mathbf{r}_3, \mathbf{r}_4) &= \int \frac{d^3 k_2 d^3 k_4}{(2\pi)^9} \frac{2\mu_{13}}{\hbar^2} u(r_{13}) \\ &\times e^{i[\mathbf{k}_2 \cdot (\mathbf{r}_2 - \mathbf{R}_{13}) + \mathbf{k}_4 \cdot (\mathbf{r}_4 - \mathbf{R}_{13})]} D(\mathbf{k}_2, \mathbf{k}_4) \end{aligned} \quad (10)$$

avec $q_{13} \geq 0$ tel que

$$\frac{\hbar^2 q_{13}^2}{2\mu_{13}} = \frac{\hbar^2(\mathbf{k}_2 + \mathbf{k}_4)^2}{2(m_1 + m_3)} + \frac{\hbar^2 k_2^2}{2m_2} + \frac{\hbar^2 k_4^2}{2m_4} \quad (11)$$

Prendre la limite $r_{13} \rightarrow 0$ dans ψ_{24} est alors élémentaire. Dans la contribution de $D(\mathbf{k}_2, \mathbf{k}_3)$, $D(\mathbf{k}_1, \mathbf{k}_4)$ et $D(\mathbf{k}_1, \mathbf{k}_3)$ à ψ , notée $\psi_{\neq 24}$, on peut directement prendre $\mathbf{r}_{13} = \mathbf{0}$. Grâce à la conservation de l'impulsion, on peut remplacer $\mathbf{k}_1 + \mathbf{k}_3$ par $-(\mathbf{k}_2 + \mathbf{k}_4)$ dans le facteur de phase dépendant de la position, ce qui fait apparaître les positions relatives $\mathbf{r}_2 - \mathbf{R}_{13}$ et $\mathbf{r}_4 - \mathbf{R}_{13}$ comme dans l'équation (10) :

$$\begin{aligned} \psi_{\neq 24}(\mathbf{r}_1 = \mathbf{R}_{13}, \mathbf{r}_2, \mathbf{r}_3 = \mathbf{R}_{13}, \mathbf{r}_4) &= \\ &\int \frac{d^3 k_2 d^3 k_4}{(2\pi)^9} e^{i[\mathbf{k}_2 \cdot (\mathbf{r}_2 - \mathbf{R}_{13}) + \mathbf{k}_4 \cdot (\mathbf{r}_4 - \mathbf{R}_{13})]} \int \frac{d^3 k_1 d^3 k_3}{(2\pi)^9} \\ &\delta\left(\sum_{n=1}^4 \mathbf{k}_n\right) \left[-D(\mathbf{k}_2, \mathbf{k}_3) - D(\mathbf{k}_1, \mathbf{k}_4) + D(\mathbf{k}_1, \mathbf{k}_3)\right] \end{aligned} \quad (12)$$

Enfin, la condition de contact à la limite unitaire, c'est-à-dire pour $1/a = 0$, conduit à l'équation intégrale suivante sur D :

$$\begin{aligned} 0 &= \frac{\mu_{\uparrow\downarrow}^{3/2}}{2\pi\hbar^2} \left[\frac{(\mathbf{k}_2 + \mathbf{k}_4)^2}{m_\uparrow + m_\downarrow} + \frac{k_2^2}{m_\uparrow} + \frac{k_4^2}{m_\downarrow} \right]^{1/2} D(\mathbf{k}_2, \mathbf{k}_4) \\ &+ \int \frac{d^3 k_1 d^3 k_3}{(2\pi)^9} \frac{\delta\left(\sum_{n=1}^4 \mathbf{k}_n\right)}{\sum_{n=1}^4 \frac{\hbar^2 k_n^2}{2m_n}} [D(\mathbf{k}_2, \mathbf{k}_3) + D(\mathbf{k}_1, \mathbf{k}_4) - D(\mathbf{k}_1, \mathbf{k}_3)] \end{aligned} \quad (13)$$

où le premier terme est simplement $\frac{q_{13}\mu_{13}}{2\pi\hbar^2} D(\mathbf{k}_2, \mathbf{k}_4)$. Contrairement au cas à 3 + 1 fermions [13, 18], D n'est soumis à aucune condition de symétrie d'échange.

III. TIRER PARTI DES SYMÉTRIES

A. Vue d'ensemble

La fonction inconnue $D(\mathbf{k}_2, \mathbf{k}_4)$ dans l'équation intégrale (13) dépend de six variables réelles. Il s'agit déjà d'une forte réduction, par rapport aux douze variables réelles de la fonction d'onde originale à quatre corps, mais la solution numérique reste difficile.

Heureusement, on peut utiliser l'invariance par rotation comme dans la section III B : la fonction inconnue D peut être considérée par exemple comme étant la composante $m_z = 0$ d'un spineur de moment cinétique ℓ . On sait alors comment les différentes composantes $2\ell + 1$ du spineur se transforment sous une rotation conjointe arbitraire de \mathbf{k}_2 et \mathbf{k}_4 , en termes de matrices de rotation ayant des harmoniques sphériques comme éléments de matrice, de sorte qu'il suffit de connaître la valeur de la composante $2\ell + 1$ du spineur dans la configuration particulière où le vecteur \mathbf{k}_2 pointe le long de l'axe Ox dans la direction positive et \mathbf{k}_4 se trouve dans le demi-plan xOy supérieur $y \geq 0$, avec un angle $\theta_{24} \in [0, \pi]$ par rapport à \mathbf{k}_2 . Comme cette configuration particulière est caractérisée par le cosinus de l'angle θ_{24} et les deux modules k_2 et k_4 , la fonction inconnue $D(\mathbf{k}_2, \mathbf{k}_4)$ peut être représentée en termes de $2\ell + 1$ fonctions inconnues $f_{m_z}^{(\ell)}$ de ces trois variables réelles [18] :

$$\begin{aligned} D(\mathbf{k}_2, \mathbf{k}_4) &= \sum_{m_z=-\ell}^{\ell} [Y_\ell^{m_z}(\mathbf{e}_2 \cdot \mathbf{e}_z, \mathbf{e}_{4\perp 2} \cdot \mathbf{e}_z, \mathbf{e}_{24} \cdot \mathbf{e}_z)]^* \\ &\times f_{m_z}^{(\ell)}(k_2, k_4, u_{24}) \end{aligned} \quad (14)$$

Dans cette expression, nous avons introduit les vecteurs unitaires

$$\mathbf{e}_2 = \frac{\mathbf{k}_2}{k_2} \quad (15)$$

$$\mathbf{e}_{4\perp 2} = \frac{1}{v_{24}} \left(\frac{\mathbf{k}_4}{k_4} - u_{24} \mathbf{e}_2 \right) \quad (16)$$

$$\mathbf{e}_{24} = \frac{\mathbf{k}_2 \wedge \mathbf{k}_4}{|\mathbf{k}_2 \wedge \mathbf{k}_4|} \quad (17)$$

Ici $\theta_{24} \in [0, \pi]$ est l'angle entre \mathbf{k}_2 et \mathbf{k}_4 , et les notations

$$u_{24} \equiv \cos \theta_{24} \quad \text{et} \quad v_{24} \equiv \sin \theta_{24} \quad (18)$$

seront utilisées tout au long de l'article. Il est évident que $\mathbf{e}_{4\perp 2}$ est obtenu en projetant $\mathbf{e}_4 = \mathbf{k}_4/k_4$ orthogonalement à \mathbf{e}_2 et en renormalisant le résultat à un. Du coup, $(\mathbf{e}_2, \mathbf{e}_{4\perp 2}, \mathbf{e}_{24})$ forme une base orthonormale directe. Dans cette base, un vecteur (unitaire) arbitraire \mathbf{n} a des coordonnées sphériques définies de façon unique, à savoir l'angle polaire $\theta_{\mathbf{n}} \in [0, \pi]$ par rapport à l'axe porté par \mathbf{e}_{24} et l'angle azimuthal $\phi_{\mathbf{n}} \in [0, 2\pi]$ dans le plan $\mathbf{e}_2 - \mathbf{e}_{4\perp 2}$ par rapport à l'axe porté par \mathbf{e}_2 . Alors

$$Y_\ell^{m_z}(\mathbf{e}_2 \cdot \mathbf{n}, \mathbf{e}_{4\perp 2} \cdot \mathbf{n}, \mathbf{e}_{24} \cdot \mathbf{n}) \equiv Y_\ell^{m_z}(\theta_{\mathbf{n}}, \phi_{\mathbf{n}}) \quad (19)$$

où le second membre est la notation habituelle pour les harmoniques sphériques [35]. Des équations intégrales peuvent alors être obtenues pour les $f_{m_z}^{(\ell)}$, voir la section III B.

Pour une longueur de diffusion infinie dans l'onde s , les conditions de contact de Wigner-Bethe-Peierls (1) sont invariantes d'échelle. Comme l'équation intégrale (13) a été spécialisée au cas d'énergie nulle, sa solution peut être considérée comme invariante d'échelle, ce qui permet d'éliminer une variable supplémentaire [13] :

$$f_{m_z}^{(\ell)}(k_2, k_4, u_{24}) = (k_2^2 + k_4^2)^{-(s+7/2)/2} (\text{ch } x)^{s+3/2} \times e^{im_z\theta_{24}/2} \Phi_{m_z}^{(\ell)}(x, u_{24}) \quad (20)$$

avec

$$x \equiv \ln \frac{k_4}{k_2} \quad (21)$$

Le premier facteur contient l'exposant d'échelle de la solution, qui met en jeu la quantité inconnue s . En insérant l'ansatz (20) dans les équations intégrales linéaires de la section III B, on obtient des équations intégrales linéaires sur les fonctions inconnues $\Phi_{m_z}^{(\ell)}(x, u)$, représentées par un opérateur $M^{(\ell)}(s)$ qui dépend paramétriquement de s , voir la section III C; en imposant que les fonctions $\Phi_{m_z}^{(\ell)}(x, u)$ ne soient pas identiquement nulles, on obtient une équation implicite sur s , de la forme [49]

$$\det M^{(\ell)}(s) = 0 \quad (22)$$

Notre paramétrisation du premier facteur dans l'Eq. (20) par la quantité s assure la compatibilité avec la notation utilisée par Efimov pour le problème à trois corps [3]. Dans le problème à trois corps, l'effet Efimov a lieu si et seulement si l'un des exposants d'échelle s est imaginaire pur, et le spectre d'énergie du trimère est géométrique de raison $\exp(-2\pi/|s|)$. Dans le problème à quatre corps, avec notre définition de s , l'effet Efimov à quatre corps se produit si et seulement s'il existe un s imaginaire pur solution de l'Eq. (22), auquel cas il existe une suite géométrique d'énergies propres de tétramère de raison $\exp(-2\pi/|s|)$. Une justification est donnée dans [13]. Le second facteur de l'ansatz (20) assure que l'opérateur $M(s)$ est hermitien pour s imaginaire pur, avec des éléments de matrice diagonaux bornés, ce qui est à la fois mathématiquement et numériquement avantageux; par rapport à [13], il contient un terme supplémentaire s dans l'exposant, qui pour s imaginaire pur supprime les oscillations de phase dans les éléments de matrice de $M(s)$ à grand $|x|$ [50]. Le troisième facteur de l'Eq. (20) est un facteur de phase prenant en compte le fait que l'échange de \mathbf{k}_2 et \mathbf{k}_4 dans l'Eq. (14) transforme les harmoniques sphériques $Y_\ell^{m_z}$ en $(-1)^\ell e^{im_z\theta_{24}} Y_\ell^{-m_z}$ avec les mêmes valeurs des variables [18]; il assure que l'opérateur $M(s)$ se transforme de la manière la plus simple possible sous l'échange de m_\uparrow et m_\downarrow , ce qui doit laisser notre problème $2+2$ invariant.

Une dernière réduction du problème peut être obtenue à partir de l'invariance par parité. En effet, sous la transformation $(\mathbf{k}_2, \mathbf{k}_4) \rightarrow (-\mathbf{k}_2, -\mathbf{k}_4)$, le terme d'indice m_z dans la somme (14) prend un facteur $(-1)^{m_z}$ [18]. Les fonctions de parité impaire $\Phi_{m_z}^{(\ell)}$ (c'est-à-dire avec m_z impair) sont donc découpées des fonctions de parité paire $\Phi_{m_z}^{(\ell)}$ (c'est-à-dire avec m_z pair) dans les équations intégrales, et $M^{(\ell)}(s)$ a des éléments de matrice nuls entre les voies impaire et paire.

B. Invariance par rotation

Pour obtenir les équations intégrales sur les fonctions inconnues $f_{m_z}^{(\ell)}$ dans l'équation (14), nous utilisons une formulation variationnelle : l'équation intégrale (13) est équivalente à

$$\partial_{D^*}(\mathbf{k}_2, \mathbf{k}_4) \mathcal{E}[D, D^*] = 0 \quad (23)$$

où D et son complexe conjugué D^* sont pris comme variables indépendantes, ∂_{D^*} est la dérivée fonctionnelle par rapport à D^* et la fonctionnelle \mathcal{E} est donnée par

$$\mathcal{E} = \mathcal{E}_{\text{diag}} + \mathcal{E}_{24,23} + \mathcal{E}_{24,14} - \mathcal{E}_{24,13} \quad (24)$$

avec la partie diagonale

$$\mathcal{E}_{\text{diag}} = \int d^3 k_2 d^3 k_4 D^*(\mathbf{k}_2, \mathbf{k}_4) D(\mathbf{k}_2, \mathbf{k}_4) \times \frac{\mu_{\uparrow\downarrow}^{3/2}}{2\pi\hbar^2} \left[\frac{(\mathbf{k}_2 + \mathbf{k}_4)^2}{m_\uparrow + m_\downarrow} + \frac{k_2^2}{m_\uparrow} + \frac{k_4^2}{m_\downarrow} \right]^{1/2} \quad (25)$$

et la partie générique non diagonale

$$\mathcal{E}_{24,ij} = \int \frac{d^3 k_2 d^3 k_4 d^3 k_1 d^3 k_3}{(2\pi)^3} D^*(\mathbf{k}_2, \mathbf{k}_4) D(\mathbf{k}_i, \mathbf{k}_j) \times \frac{\delta(\mathbf{k}_1 + \mathbf{k}_2 + \mathbf{k}_3 + \mathbf{k}_4)}{\frac{\hbar^2}{2m_\uparrow}(k_1^2 + k_2^2) + \frac{\hbar^2}{2m_\downarrow}(k_3^2 + k_4^2)} \quad (26)$$

Puis on insère l'ansatz (14) dans ces fonctionnelles. En supposant que l'on puisse intégrer sur toutes les variables autres que k_2, k_4, θ_{24} et k_i, k_j, θ_{ij} , on obtient une fonctionnelle des $f_{m_z}^{(\ell)}$ et $f_{m_z}^{(\ell)*}$, qu'il reste à différentier par rapport à $f_{m_z}^{(\ell)*}$ pour obtenir les équations intégrales sur les $f_{m_z}^{(\ell)}$.

L'intégration est simplifiée par la remarque suivante : les équations intégrales finales et leurs solutions $f_{m_z}^{(\ell)}$ ne peuvent pas dépendre du choix particulier du vecteur \mathbf{e}_z introduit dans l'équation (14). On peut alors remplacer \mathbf{e}_z par un vecteur unitaire arbitraire \mathbf{n} dans l'ansatz (14), et on peut faire la moyenne de la fonctionnelle résultante \mathcal{E} sur \mathbf{n} uniformément sur la sphère unité, pour $f_{m_z}^{(\ell)}$ fixé. Le résultat de cette moyenne est particulièrement simple lorsque la base orthonormale des Eqs. (15,16,17) se réduit à la base cartésienne habituelle :

$$(\mathbf{e}_2, \mathbf{e}_{4\perp 2}, \mathbf{e}_{24}) = (\mathbf{e}_x, \mathbf{e}_y, \mathbf{e}_z) \quad (27)$$

Alors [51]

$$\begin{aligned} \langle Y_\ell^{m_z}(\mathbf{e}_2 \cdot \mathbf{n}, \mathbf{e}_{4\perp 2} \cdot \mathbf{n}, \mathbf{e}_{24} \cdot \mathbf{n}) | Y_\ell^{m'_z}(\mathbf{e}_i \cdot \mathbf{n}, \mathbf{e}_{j\perp i} \cdot \mathbf{n}, \mathbf{e}_{ij} \cdot \mathbf{n}) \rangle_{\mathbf{n}} \\ = \frac{1}{4\pi} \left(\langle \ell, m_z | R^{(ij)} | \ell, m'_z \rangle \right)^* \end{aligned} \quad (28)$$

où $\langle \dots \rangle_{\mathbf{n}}$ indique la moyenne sur la direction de \mathbf{n} et l'opérateur quantique $R^{(ij)}$ représente (dans la représentation irréductible habituelle de spin ℓ , avec les vecteurs $|\ell, m_z\rangle$ de moment cinétique $m_z \hbar$ selon Oz) l'unique rotation $\mathcal{R}^{(ij)}$ de l'espace réel qui envoie la base cartésienne sur la base $(\mathbf{e}_i, \mathbf{e}_{j\perp i}, \mathbf{e}_{ij})$:

$$(\mathbf{e}_i, \mathbf{e}_{j\perp i}, \mathbf{e}_{ij}) = \mathcal{R}^{(ij)}(\mathbf{e}_x, \mathbf{e}_y, \mathbf{e}_z) \quad (29)$$

Après moyenne sur \mathbf{n} , et intégration sur \mathbf{k}_1 et \mathbf{k}_3 dans $\mathcal{E}_{24,ij}$, il reste une intégrale sur \mathbf{k}_2 et \mathbf{k}_4 , avec un intégrande invariant par rotation conjointe de \mathbf{k}_2 et \mathbf{k}_4 . Pour évaluer cet intégrande, on peut alors effectivement supposer que \mathbf{k}_2 est selon Ox (dans le sens positif) et que \mathbf{k}_4 se trouve dans le plan xOy dans la moitié supérieure $y \geq 0$:

$$\mathbf{k}_2 = k_2 \mathbf{e}_x \quad (30)$$

$$\mathbf{k}_4 = k_4 (\cos \theta_{24} \mathbf{e}_x + \sin \theta_{24} \mathbf{e}_y) \text{ avec } \theta_{24} \in [0, \pi] \quad (31)$$

auquel cas

$$(\mathbf{e}_2, \mathbf{e}_{4\perp 2}, \mathbf{e}_{24}) = (\mathbf{e}_x, \mathbf{e}_y, \mathbf{e}_z) \quad (32)$$

et on peut utiliser les Eqs. (28,29). On fait sortir alors un facteur 4π (résultant de l'intégration sur l'angle solide de \mathbf{k}_2) compensé par le dénominateur 4π de l'Eq. (28), et un facteur 2π non compensé (résultant de l'intégration sur l'angle azimuthal de \mathbf{k}_4 dans les coordonnées sphériques d'axe polaire $\mathbf{k}_2/k_2 = \mathbf{e}_x$ pour \mathbf{k}_4), et on se retrouve avec une intégration sur les modules k_2 et k_4 et sur l'angle θ_{24} .

Pour la fonctionnelle $\mathcal{E}_{\text{diag}}$, cela donne un résultat simple : puisqu'alors $i = 2$ et $j = 4$, la matrice $\mathcal{R}^{(ij)}$ est la matrice identité, $R^{(ij)}$ se réduit à l'opérateur identité ; de plus, il n'y a pas d'intégration à faire sur \mathbf{k}_1 ou \mathbf{k}_3 . On obtient

$$\begin{aligned} \mathcal{E}_{\text{diag}} = \sum_{m_z=-\ell}^{\ell} 2\pi \int_0^\infty dk_2 k_2^2 dk_4 k_4^2 \int_{-1}^1 du_{24} |f_{m_z}(k_2, k_4, u_{24})|^2 \\ \times \frac{\mu_{\uparrow\downarrow}^{3/2}}{2\pi\hbar^2} \left(\frac{k_2^2 + k_4^2 + 2k_2 k_4 u_{24}}{m_\uparrow + m_\downarrow} + \frac{k_2^2}{m_\uparrow} + \frac{k_4^2}{m_\downarrow} \right)^{1/2} \end{aligned} \quad (33)$$

avec la même notation que dans l'Eq. (18). Pour la forme générale non diagonale, on obtient

$$\begin{aligned} \mathcal{E}_{24,ij} = \sum_{m_z, m'_z=-\ell}^{\ell} 2\pi \int_0^\infty dk_2 k_2^2 dk_4 k_4^2 \int_{-1}^1 du_{24} \int \frac{d^3 k_1 d^3 k_3}{(2\pi)^3} \\ \left(\langle \ell, m_z | R^{(ij)} | \ell, m'_z \rangle \right)^* f_{m_z}^{(\ell)*}(k_2, k_4, u_{24}) f_{m'_z}^{(\ell)}(k_i, k_j, u_{ij}) \\ \times \frac{\delta(\mathbf{k}_1 + \mathbf{k}_2 + \mathbf{k}_3 + \mathbf{k}_4)}{\frac{\hbar^2(k_1^2+k_2^2)}{2m_\uparrow} + \frac{\hbar^2(k_3^2+k_4^2)}{2m_\downarrow}} \end{aligned} \quad (34)$$

La bonne manière d'intégrer sur les directions de \mathbf{k}_1 et \mathbf{k}_3 dépend des indices i et j .

1. Cas $(i,j) = (2,3)$

Pour $(i,j) = (2,3)$, on intègre trivialement sur \mathbf{k}_1 en utilisant la distribution de Dirac, qui impose $\mathbf{k}_1 = -(\mathbf{k}_2 + \mathbf{k}_3 + \mathbf{k}_4)$, et on intègre sur \mathbf{k}_3 en utilisant les coordonnées sphériques d'axe polaire \mathbf{e}_x et d'axe azimuthal \mathbf{e}_y ; l'angle azimuthal est appelé ϕ , et l'angle polaire est appelé θ_{23} puisqu'il est l'angle entre \mathbf{k}_2 et \mathbf{k}_3 [voir Fig. 1(a)]. Alors $\mathcal{R}^{(ij)}$ dans l'Eq. (29) est la rotation d'axe Ox et d'angle ϕ :

$$\mathcal{R}^{(23)} = \mathcal{R}_x(\phi) \text{ et } R^{(23)} = e^{-i\phi L_x/\hbar} \quad (35)$$

où L_x est l'opérateur moment cinétique selon Ox . Aussi

$$\begin{aligned} k_1^2 = k_2^2 + k_3^2 + k_4^2 + 2k_2 k_3 u_{23} + 2k_2 k_4 u_{24} \\ + 2k_3 k_4 (u_{23} u_{24} + v_{23} v_{24} \cos \phi) \end{aligned} \quad (36)$$

avec $u_{23} = \cos \theta_{23}$ et $v_{23} = \sin \theta_{23}$ comme dans l'Eq. (18). Cela donne

$$\begin{aligned} \mathcal{E}_{24,23} = \sum_{m_z, m'_z=-\ell}^{\ell} 2\pi \int_0^\infty dk_2 dk_3 dk_4 k_2^2 k_3^2 k_4^2 \int_{-1}^1 du_{23} du_{24} \int_0^{2\pi} d\phi \\ \frac{\langle \ell, m_z | e^{i\phi L_x/\hbar} | \ell, m'_z \rangle f_{m_z}^{(\ell)*}(k_2, k_4, u_{24}) f_{m'_z}^{(\ell)}(k_2, k_3, u_{23})}{(2\pi)^3 \left[\frac{\hbar^2(k_1^2+k_2^2)}{2m_\uparrow} + \frac{\hbar^2(k_3^2+k_4^2)}{2m_\downarrow} \right]} \end{aligned} \quad (37)$$

où k_1 est donné par l'Eq. (36) et nous avons utilisé le fait que L_x a des éléments de matrice réels dans la base standard $|\ell, m_z\rangle$.

2. Cas $(i,j) = (1,4)$

Pour $(i,j) = (1,4)$, on intègre sur \mathbf{k}_3 en utilisant la distribution de Dirac, qui impose $\mathbf{k}_3 = -(\mathbf{k}_1 + \mathbf{k}_2 + \mathbf{k}_4)$ et on intègre sur \mathbf{k}_1 en utilisant des coordonnées sphériques dans une base tournée

$$(\mathbf{e}_X, \mathbf{e}_Y, \mathbf{e}_Z) = (\mathbf{e}_z, \mathbf{e}_4 \wedge \mathbf{e}_z, \mathbf{e}_4) \text{ avec } \mathbf{e}_4 = \frac{\mathbf{k}_4}{k_4}. \quad (38)$$

La direction \mathbf{e}_Z de \mathbf{k}_4 est prise comme axe polaire, de sorte que l'angle polaire est θ_{14} ; \mathbf{e}_X est pris comme axe azimuthal, avec l'angle azimuthal appelé ϕ , voir Fig. 1(b). Alors la rotation $\mathcal{R}^{(ij)}$ dans l'espace réel vaut dans l'Eq. (29)

$$\begin{aligned} \mathcal{R}^{(14)} = \mathcal{R}_Z(\phi - \frac{\pi}{2}) \mathcal{R}_z(\theta_{24} - \theta_{14}) \\ = \mathcal{R}_z(\theta_{24}) \mathcal{R}_x(\phi - \frac{\pi}{2}) \mathcal{R}_z(-\theta_{14}) \end{aligned} \quad (39)$$

et l'opérateur correspondant a des éléments de matrice

$$\begin{aligned} \langle \ell, m_z | R^{(14)} | \ell, m'_z \rangle = e^{-im_z \theta_{24}} \\ \times \langle \ell, m_z | e^{-i(\phi - \frac{\pi}{2}) L_x/\hbar} | \ell, m'_z \rangle e^{im'_z \theta_{14}} \end{aligned} \quad (40)$$

En utilisant $\mathbf{e}_x = [\mathcal{R}^{(14)}]^{-1}\mathbf{e}_1 = u_{24}\mathbf{e}_Z + v_{24}\mathbf{e}_Y$ et $\mathbf{e}_1 = u_{14}\mathbf{e}_Z + v_{14}(\cos\phi\mathbf{e}_X + \sin\phi\mathbf{e}_Y)$ on obtient

$$k_3^2 = k_1^2 + k_2^2 + k_4^2 + 2k_1k_2[u_{14}u_{24} + v_{14}v_{24}\cos(\phi - \pi/2)] + 2k_1k_4u_{14} + 2k_2k_4u_{24}. \quad (41)$$

Ce qui donne :

$$\begin{aligned} \mathcal{E}_{24,14} &= \sum_{m_z, m'_z=-\ell}^{\ell} 2\pi \int_0^\infty dk_1 dk_2 dk_4 k_1^2 k_2^2 k_4^2 \int_{-1}^1 du_{14} du_{24} \int_0^{2\pi} d\phi \\ &\frac{e^{im_z\theta_{24}} \langle \ell, m_z | e^{i(\phi-\pi/2)L_x/\hbar} | \ell, m'_z \rangle e^{-im'_z\theta_{14}}}{(2\pi)^3 \left[\frac{\hbar^2(k_1^2+k_2^2)}{2m_\uparrow} + \frac{\hbar^2(k_3^2+k_4^2)}{2m_\downarrow} \right]} \\ &\times f_{m_z}^{(\ell)*}(k_2, k_4, u_{24}) f_{m'_z}^{(\ell)}(k_1, k_4, u_{14}) \end{aligned} \quad (42)$$

où k_3 est donné par l'Eq. (41).

3. Cas $(i, j) = (1, 3)$

Pour $(i, j) = (1, 3)$, nous trouvons commode de remplacer l'intégration sur \mathbf{k}_1 et \mathbf{k}_3 par une intégration sur les modules k_1 et k_3 , sur l'angle $\theta_{13} \in [0, \pi]$ et sur une matrice de rotation \mathcal{R} uniformément distribuée sur le groupe des rotations SO(3), les vecteurs \mathbf{k}_1 et \mathbf{k}_3 étant engendrés par l'action de \mathcal{R} sur des vecteurs fixés dans le plan xOy :

$$\mathbf{k}_1 = \mathcal{R}\mathbf{k}_1^{\text{fix}} \text{ avec } \mathbf{k}_1^{\text{fix}} = k_1\mathbf{e}_x \quad (43)$$

$$\mathbf{k}_3 = \mathcal{R}\mathbf{k}_3^{\text{fix}} \text{ avec } \mathbf{k}_3^{\text{fix}} = k_3(u_{13}\mathbf{e}_x + v_{13}\mathbf{e}_y) \quad (44)$$

Alors \mathcal{R} est précisément la matrice de rotation $\mathcal{R}^{(ij)}$ de l'Eq. (29) et

$$\begin{aligned} \mathcal{E}_{24,13} &= \sum_{m_z, m'_z=-\ell}^{\ell} 2 \int_0^\infty \left(\prod_{n=1}^4 dk_n k_n^2 \right) \int_{-1}^1 du_{13} du_{24} \int_{\text{SO}(3)} d\mathcal{R} \\ &(\langle \ell, m_z | R | \ell, m'_z \rangle)^* f_{m_z}^{(\ell)*}(k_2, k_4, u_{24}) f_{m'_z}^{(\ell)}(k_1, k_3, u_{13}) \\ &\times \frac{\delta(\mathbf{k}_2 + \mathbf{k}_4 + \mathcal{R}(\mathbf{k}_1^{\text{fix}} + \mathbf{k}_3^{\text{fix}}))}{\frac{\hbar^2(k_1^2+k_2^2)}{2m_\uparrow} + \frac{\hbar^2(k_3^2+k_4^2)}{2m_\downarrow}} \end{aligned} \quad (45)$$

où le facteur 2 provient de $(4\pi \times 2\pi)^2/[4\pi(2\pi)^3]$, R est l'opérateur représentant \mathcal{R} et $d\mathcal{R}$ est la mesure invariante sur le groupe SO(3) normalisée à l'unité (voir §8.2 de la référence [35]) [52]. Pour intégrer sur \mathcal{R} , nous utilisons la paramétrisation d'Euler comme dans l'Eq. (7.1-12) de la référence [35] :

$$\mathcal{R} = \mathcal{R}_Z(\alpha)\mathcal{R}_Y(\beta)\mathcal{R}_Z(\gamma) \quad (46)$$

où les angles d'Euler α et γ décrivent un intervalle de longueur 2π et l'angle d'Euler β décrit $[0, \pi]$, de sorte que la mesure invariante est (voir §8.2 de la référence [35])

$$d\mathcal{R} = \frac{d\alpha \sin\beta d\beta d\gamma}{8\pi^2} \quad (47)$$

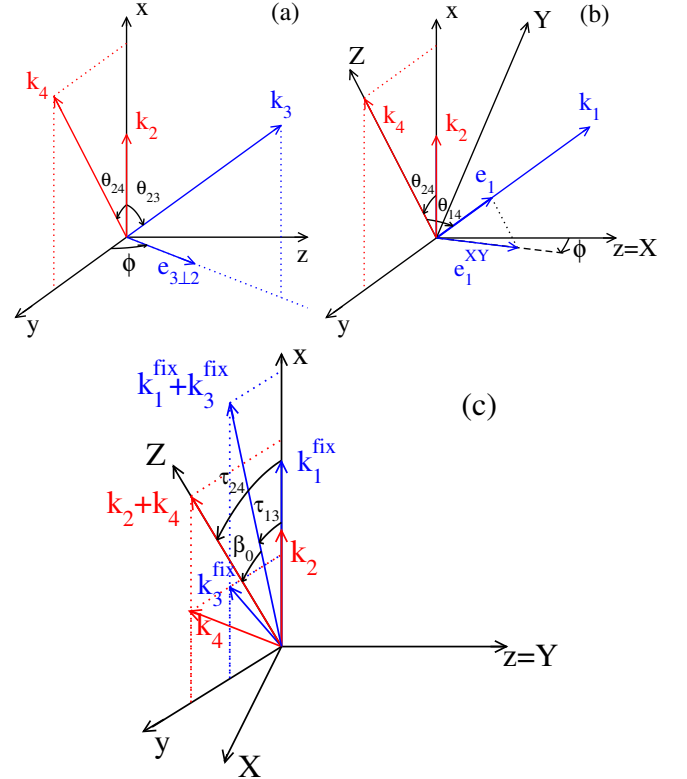


FIGURE 1: Positions et paramétrages des vecteurs d'onde apparaissant dans l'intégration angulaire dans les fonctionnelles $\mathcal{E}_{24,ij}$. Les vecteurs \mathbf{k}_2 et \mathbf{k}_4 sont donnés par les équations (30,31). (a) Pour $(i, j) = (2, 3)$, on a $\mathbf{k}_1 = -(\mathbf{k}_2 + \mathbf{k}_3 + \mathbf{k}_4)$ et on intègre sur \mathbf{k}_3 en utilisant les coordonnées sphériques d'axe polaire Ox et d'axe azimuthal Oy . (b) Pour $(i, j) = (1, 4)$, on a $\mathbf{k}_3 = -(\mathbf{k}_1 + \mathbf{k}_2 + \mathbf{k}_4)$ et on intègre sur \mathbf{k}_1 en utilisant l'axe polaire OZ (direction de \mathbf{k}_4) et l'axe azimuthal OX (direction de \mathbf{e}_z) comme dans l'équation (38), conduisant à l'angle polaire θ_{14} et l'angle azimuthal ϕ (< 0 sur la figure). La ligne tiretée donne la direction de la composante \mathbf{e}_1^{XY} de $\mathbf{e}_1 = \mathbf{k}_1/k_1$ dans le plan XOY . (c) Pour $(i, j) = (1, 3)$, on intègre sur la rotation \mathcal{R} , telle que \mathbf{k}_1 et \mathbf{k}_3 sont donnés par l'action de \mathcal{R} sur les vecteurs $\mathbf{k}_1^{\text{fix}}$ et $\mathbf{k}_3^{\text{fix}}$ dans le plan xOy comme dans les Eqs. (43,44), en utilisant la paramétrisation en termes des angles d'Euler associés au choix commode des axes OX , OY et OZ de l'Eq. (48).

Comme $\mathbf{k}_2 + \mathbf{k}_4$ apparaît dans l'argument de la distribution de Dirac de l'équation (45), la base orthonormale directe la plus pratique définissant les axes de rotation OX , OY et OZ est maintenant [voir Fig. 1(c)]

$$(\mathbf{e}_X, \mathbf{e}_Y, \mathbf{e}_Z) = (\mathbf{e}_z \wedge \frac{\mathbf{k}_2 + \mathbf{k}_4}{|\mathbf{k}_2 + \mathbf{k}_4|}, \mathbf{e}_z, \frac{\mathbf{k}_2 + \mathbf{k}_4}{|\mathbf{k}_2 + \mathbf{k}_4|}). \quad (48)$$

La distribution de Dirac peut alors être écrite sous la forme [53]

$$\begin{aligned} \delta(\mathbf{k}_2 + \mathbf{k}_4 + \mathcal{R}(\mathbf{k}_1^{\text{fix}} + \mathbf{k}_3^{\text{fix}})) &= \delta(\sin\gamma)\delta(\sin(\beta_0 - \beta \cos\gamma)) \\ &\times \frac{\delta(|\mathbf{k}_2 + \mathbf{k}_4| \cos(\beta_0 - \beta \cos\gamma) + |\mathbf{k}_1^{\text{fix}} + \mathbf{k}_3^{\text{fix}}|)}{|\sin\beta_0| |\mathbf{k}_1^{\text{fix}} + \mathbf{k}_3^{\text{fix}}| |\mathbf{k}_2 + \mathbf{k}_4|} \end{aligned} \quad (49)$$

où nous avons introduit l'angle orienté β_0 entre $\mathbf{k}_1^{\text{fix}} + \mathbf{k}_3^{\text{fix}}$ et $\mathbf{k}_2 + \mathbf{k}_4$ de telle sorte que [voir Fig. 1(c)]

$$\mathbf{k}_1^{\text{fix}} + \mathbf{k}_3^{\text{fix}} = |\mathbf{k}_1^{\text{fix}} + \mathbf{k}_3^{\text{fix}}|(-\sin \beta_0 \mathbf{e}_X + \cos \beta_0 \mathbf{e}_Z). \quad (50)$$

Il n'y a aucune dépendance en α au second membre de l'Eq. (49) : dans l'argument de δ , on peut écrire $\mathbf{k}_2 + \mathbf{k}_4$ comme $\mathcal{R}_Z(\alpha)(\mathbf{k}_2 + \mathbf{k}_4)$ et, en raison de l'invariance par rotation de la distribution de Dirac tridimensionnelle, on peut mettre en facteur puis omettre la rotation $\mathcal{R}_Z(\alpha)$. L'intégration sur α dans l'équation (45) fait alors sortir dans l'élément de matrice de R le projecteur orthogonal sur l'état de moment cinétique total ℓ et de moment cinétique nul selon OZ :

$$\int_0^{2\pi} d\alpha e^{-i\alpha L_Z/\hbar} = 2\pi |\ell, m_Z = 0\rangle \langle \ell, m_Z = 0| \quad (51)$$

Dans l'intégrale sur γ , par exemple sur l'intervalle $[-\pi/2, 3\pi/2]$, seuls les points $\gamma = 0$ et $\gamma = \pi$ contribuent. La contribution de $\gamma = \pi$ peut être déduite de celle de $\gamma = 0$ en changeant β en $-\beta$, grâce à $\mathcal{R}_Z(\pi)\mathcal{R}_Y(\beta)\mathcal{R}_Z(\pi) = \mathcal{R}_Y(-\beta)$ et à l'invariance de $\mathbf{k}_1^{\text{fix}} + \mathbf{k}_3^{\text{fix}}$ et $|m_Z = 0\rangle$ par rotation d'axe OZ . Dans l'intégrale sur $\beta \in [0, \pi]$, on peut alors prendre en compte la contribution de $\gamma = \pi$ en étendant l'intégration de la contribution de $\gamma = 0$ à $\beta \in [-\pi, 0]$: on peut prendre $\gamma = 0$ dans l'Eq. (49) et on tombe sur

$$\begin{aligned} & \int_{-\pi}^{\pi} d\beta |\sin \beta| e^{i\beta m'_z} \delta(\sin(\beta_0 - \beta)) \delta(|\mathbf{k}_2 + \mathbf{k}_4| \cos(\beta_0 - \beta) \\ & + |\mathbf{k}_1^{\text{fix}} + \mathbf{k}_3^{\text{fix}}|) = \delta(|\mathbf{k}_2 + \mathbf{k}_4| - |\mathbf{k}_1^{\text{fix}} + \mathbf{k}_3^{\text{fix}}|) \\ & \times \int_{-\pi}^{\pi} d\beta |\sin \beta| e^{i\beta m'_z} \sum_{n \in \mathbb{Z}} \delta(\beta - \beta_0 - \pi - 2\pi n) \\ & = \delta(|\mathbf{k}_2 + \mathbf{k}_4| - |\mathbf{k}_1^{\text{fix}} + \mathbf{k}_3^{\text{fix}}|) |\sin \beta_0| (-1)^{m'_z} e^{i\beta_0 m'_z} \end{aligned} \quad (52)$$

En raison de la périodicité de 2π de l'intégrande nous avons décalé le domaine d'intégration pour ne garder par exemple que le terme $n = 0$ du peigne de Dirac. Enfin, en utilisant $\beta_0 = \tau_{24} - \tau_{13}$, où τ_{24} est l'angle $\in [0, \pi]$ entre \mathbf{k}_2 et $\mathbf{k}_2 + \mathbf{k}_4$ et τ_{13} est l'angle $\in [0, \pi]$ entre $\mathbf{k}_1^{\text{fix}}$ et $\mathbf{k}_1^{\text{fix}} + \mathbf{k}_3^{\text{fix}}$ de sorte que (à un facteur de phase près)

$$|\ell, m_Z = 0\rangle = e^{-i\tau_{24} L_z/\hbar} |\ell, m_x = 0\rangle, \quad (53)$$

et en utilisant la propriété [54]

$$\langle \ell, m_x = 0 | \ell, m'_z \rangle = 0 \text{ si } \ell + m'_z \text{ est impair}, \quad (54)$$

qui permet de remplacer $(-1)^{m'_z}$ par $(-1)^\ell$, on obtient

$$\begin{aligned} \mathcal{E}_{24,13} &= \sum_{m_z, m'_z=-\ell}^{\ell} \frac{(-1)^\ell}{2\pi} \int_0^\infty \left(\prod_{n=1}^4 dk_n k_n^2 \right) \int_{-1}^1 du_{13} du_{24} \\ & \frac{e^{im_z \tau_{24}} \langle \ell, m_z | \ell, m_x = 0 \rangle \langle \ell, m_x = 0 | \ell, m'_z \rangle e^{-im'_z \tau_{13}}}{|\mathbf{k}_2 + \mathbf{k}_4| \left[\frac{\hbar^2(k_1^2 + k_2^2)}{2m_\uparrow} + \frac{\hbar^2(k_3^2 + k_4^2)}{2m_\downarrow} \right] |\mathbf{k}_1^{\text{fix}} + \mathbf{k}_3^{\text{fix}}|} \\ & \times \delta(|\mathbf{k}_2 + \mathbf{k}_4| - |\mathbf{k}_1^{\text{fix}} + \mathbf{k}_3^{\text{fix}}|) f_{m_z}^{(\ell)*}(k_2, k_4, u_{24}) f_{m'_z}^{(\ell)}(k_1, k_3, u_{13}) \end{aligned} \quad (55)$$

sachant que $|\ell, m_x = 0\rangle$ a des composantes réelles dans la base $|\ell, m_z\rangle$ à une phase globale près, et que \mathbf{k}_2 et \mathbf{k}_4 sont donnés par les Eqs. (30,31) et $\mathbf{k}_1^{\text{fix}}$ et $\mathbf{k}_3^{\text{fix}}$ par les Eqs. (43,44).

C. Invariance d'échelle

Pour profiter de l'invariance d'échelle de la solution à énergie nulle, on utilise l'ansatz (20) avec $s \in i\mathbb{R}$, comme expliqué physiquement dans la section III A, et on le rapporte dans les différents termes (33,37,42,55) de la fonctionnelle (24). Dans l'Eq. (33) on effectue dans l'intégrale sur k_4 le changement de variable $k_4 = e^x k_2$, où x va de $-\infty$ à $+\infty$, et on pose $u_{24} = u$ pour abréger, en introduisant aussi le rapport de masse

$$\alpha \equiv \frac{m_\uparrow}{m_\downarrow}. \quad (56)$$

On sort un facteur constant \mathcal{F} , qui sera spécifié et discuté plus tard, pour obtenir

$$\begin{aligned} \mathcal{E}_{\text{diag}} &= \mathcal{F} \sum_{m_z=-\ell}^{\ell} \int_{\mathbb{R}} dx \int_{-1}^1 du \left[\frac{\alpha}{(1+\alpha)^2} \left(1 + \frac{u}{\text{ch } x} \right) \right. \\ & \left. + \frac{e^{-x} + \alpha e^x}{2(\alpha+1) \text{ch } x} \right]^{1/2} |\Phi_{m_z}^{(\ell)}(x, u)|^2 \end{aligned} \quad (57)$$

Dans l'Eq. (37) on effectue le changement de variable $k_4 = e^x k_2$ et $k_3 = e^{x'} k_2$ dans les intégrales sur k_4 et k_3 , en posant également $\theta_{24} = \theta$, $u_{24} = u$, $v_{24} = v$ et $\theta_{23} = \theta'$, $u_{23} = u'$, $v_{23} = v'$ pour abréger. On sort ensuite le même facteur \mathcal{F} pour obtenir

$$\begin{aligned} \mathcal{E}_{24,23} &= \mathcal{F} \sum_{m_z, m'_z=-\ell}^{\ell} \int_{\mathbb{R}} dx dx' \int_{-1}^1 du du' \left(\frac{e^x \text{ch } x'}{e^{x'} \text{ch } x} \right)^{s/2} \\ & \times \left(\frac{e^{x+x'}}{4 \text{ch } x \text{ch } x'} \right)^{1/4} \Phi_{m_z}^{(\ell)*}(x, u) \Phi_{m'_z}^{(\ell)}(x', u') \\ & \times \int_0^{2\pi} \frac{d\phi}{(2\pi)^2} \frac{e^{-im_z \theta/2} \langle l, m_z | e^{i\phi L_x/\hbar} | l, m'_z \rangle e^{im'_z \theta'/2}}{\mathcal{D}_{24,23}(\phi; x, u; x', u'; \alpha)} \end{aligned} \quad (58)$$

Au dénominateur, nous avons introduit la notation

$$\mathcal{D}_{24,23} = \frac{\frac{\hbar^2(k_1^2+k_2^2)}{2m_\uparrow} + \frac{\hbar^2(k_3^2+k_4^2)}{2m_\downarrow}}{\frac{\hbar^2 k_3 k_4}{\mu_{\uparrow\downarrow}}} \quad (59)$$

où k_1 est donné par l'Eq. (36) de sorte que

$$\begin{aligned} \mathcal{D}_{24,23}(\phi; x, u; x', u'; \alpha) &= \text{ch}(x - x') \\ & + \frac{1}{1+\alpha} (e^{-x-x'} + e^{-x'} u + e^{-x} u' + uu' + vv' \cos \phi). \end{aligned} \quad (60)$$

Dans l'Eq. (42) on effectue le changement de variables $k_4 = e^x k_2$ et $k_1 = e^{x-x'} k_2$ (donc $k_4/k_1 = e^{x'}$) dans les intégrales sur k_4 et k_1 , et le changement de variable $\phi = \frac{\pi}{2} + \phi'$ dans l'intégrale sur ϕ [55], en posant également $\theta_{24} = \theta$, $u_{24} = u$, $v_{24} = v$ et $\theta_{14} = \theta'$, $u_{14} = u'$, $v_{14} = v'$. En sortant à nouveau le facteur \mathcal{F} , on obtient

$$\begin{aligned} \mathcal{E}_{24,14} &= \mathcal{F} \sum_{m_z, m'_z=-\ell}^{\ell} \int_{\mathbb{R}} dx dx' \int_{-1}^1 du du' \left(\frac{e^{-x} \operatorname{ch} x'}{e^{-x'} \operatorname{ch} x} \right)^{s/2} \\ &\quad \times \left(\frac{e^{-(x+x')}}{4 \operatorname{ch} x \operatorname{ch} x'} \right)^{1/4} \Phi_{m_z}^{(\ell)*}(x, u) \Phi_{m'_z}^{(\ell)}(x', u') \\ &\quad \times \int_0^{2\pi} \frac{d\phi'}{(2\pi)^2} \frac{e^{im_z\theta/2} \langle l, m_z | e^{i\phi' L_x/\hbar} | l, m'_z \rangle e^{-im'_z\theta'/2}}{\mathcal{D}_{24,14}(\phi'; x, u; x', u'; \alpha)} \end{aligned} \quad (61)$$

Au dénominateur, nous avons introduit la notation

$$\mathcal{D}_{24,14} = \frac{\frac{\hbar^2(k_1^2+k_2^2)}{2m_\uparrow} + \frac{\hbar^2(k_3^2+k_4^2)}{2m_\downarrow}}{\frac{\hbar^2 k_1 k_2}{\mu_{\uparrow\downarrow}}} \quad (62)$$

avec k_3 donné par l'Eq. (41) de sorte que

$$\begin{aligned} \mathcal{D}_{24,14}(\phi'; x, u; x', u'; \alpha) &= \operatorname{ch}(x - x') \\ &+ \frac{\alpha}{1 + \alpha} (e^{x+x'} + e^{x'} u + e^x u' + uu' + vv' \cos \phi'). \end{aligned} \quad (63)$$

Enfin, dans l'Eq. (55), on effectue le changement de variables $k_4 = e^x k_2$ et $k_3 = e^{x'} k_1$ dans les intégrales sur k_4 et k_3 , en posant également $\theta_{24} = \theta$, $u_{24} = u$, $\tau_{24} = \tau$ et $\theta_{13} = \theta'$, $u_{13} = u'$, $\tau_{13} = \tau'$. L'intégration sur k_1 est simple en raison de l'apparition d'une distribution de Dirac dans l'équation (55). À cause du facteur de phase dans l'ansatz (20), les angles $\gamma \equiv \tau - \theta/2$ et $\gamma' = \tau' - \theta'/2$ apparaissent naturellement. Puisque τ est l'angle entre \mathbf{k}_2 et $\mathbf{k}_2 + \mathbf{k}_4$ [voir Fig. 1(c)], on a d'après les Eqs. (30,31) et en utilisant la représentation habituelle des vecteurs dans le plan xOy par des nombres complexes :

$$e^{i\gamma} = \frac{1 + e^x e^{i\theta}}{|1 + e^x e^{i\theta}|} e^{-i\theta/2} = \frac{e^{(x+i\theta)/2} + e^{-(x+i\theta)/2}}{|e^{(x+i\theta)/2} + e^{-(x+i\theta)/2}|} \quad (64)$$

Comme $\theta \in [0, \pi]$, la partie réelle $\cos \gamma$ de cette expression est supérieure ou égale à zéro de sorte que l'on peut prendre $\gamma \in [-\frac{\pi}{2}, \frac{\pi}{2}]$. Puis en formant le rapport de la partie imaginaire et de la partie réelle de la même expression, on obtient la valeur de $\tan \gamma$ et

$$\gamma = \operatorname{atan} \left[\operatorname{th} \left(\frac{x}{2} \right) \tan \left(\frac{\theta}{2} \right) \right] \text{ avec } \tan \left(\frac{\theta}{2} \right) = \left(\frac{1-u}{1+u} \right)^{1/2} \quad (65)$$

On a les mêmes expressions pour γ' , en remplaçant les variables x , θ et u par x' , θ' , u' . Cela conduit à

$$\begin{aligned} \mathcal{E}_{24,13} &= \mathcal{F} \sum_{m_z, m'_z=-\ell}^{\ell} \int_{\mathbb{R}} dx dx' \int_{-1}^1 du du' \left[\frac{(u' + \operatorname{ch} x') \operatorname{ch} x'}{(u + \operatorname{ch} x) \operatorname{ch} x} \right]^{s/2} \\ &\quad \times \frac{(-1)^\ell \Phi_{m_z}^{(\ell)*}(x, u) \Phi_{m'_z}^{(\ell)}(x', u')}{4\pi[(u + \operatorname{ch} x)(u' + \operatorname{ch} x') \operatorname{ch} x \operatorname{ch} x']^{1/4}} \\ &\quad \times \frac{e^{im_z\gamma} \langle l, m_z | \ell, m_x = 0 \rangle \langle \ell, m_x = 0 | \ell, m'_z \rangle e^{-im'_z\gamma'}}{\left(\frac{e^{-x'} + \alpha e^x}{1+\alpha} \right) (u + \operatorname{ch} x) + \left(\frac{e^{-x} + \alpha e^x}{1+\alpha} \right) (u' + \operatorname{ch} x')} \end{aligned} \quad (66)$$

Dans tous les résultats (57,58,61,66) apparaît un facteur

$$\mathcal{F} = \frac{\mu_{\uparrow\downarrow}}{8\hbar^2} \int_0^{+\infty} \frac{dk_2}{k_2}. \quad (67)$$

Ce facteur contient une intégrale divergente, ce qui rend ces derniers calculs non rigoureux. Nous avons cependant vérifié que c'est toujours la même intégrale divergente qui sort, même si l'on particularise un nombre d'onde autre que k_2 (en effectuant par exemple le changement de variables $k_2 = e^{-x} k_4$ et $k_1 = e^{-x'} k_4$ dans les intégrales sur k_2 et k_1 dans l'Eq. (42)). Ceci est certainement dû à l'invariance d'échelle de $dk_2/k_2 = d(\ln k_2)$. Alternativement, on peut écrire l'équation intégrale sur $f_{m_z}^{(\ell)}$ déduite des dérivées fonctionnelles des Eq. (33,37,42,55) de l'Eq. (24) par rapport à $f_{m_z}^{(\ell)*}$; à ce stade, on a seulement utilisé l'invariance par rotation. Ensuite, on introduit l'ansatz invariant d'échelle (20), et on obtient exactement les mêmes équations intégrales sur $\Phi_{m_z}^{(\ell)}$ que celles obtenues par dérivation fonctionnelle des Eqs. (57,58,61,66) par rapport à $\Phi_{m_z}^{(\ell)*}$.

D. Invariance par parité

Le terme d'indice m_z dans l'ansatz (14) est simplement multiplié par $(-1)^{m_z}$ sous l'action de la parité $(\mathbf{k}_2, \mathbf{k}_4) \rightarrow (-\mathbf{k}_2, -\mathbf{k}_4)$ [18]. Cela signifie que les composantes de m_z impair de $\Phi_{m_z}^{(\ell)}$ sont découpées des composantes de m_z pair de $\Phi_{m_z}^{(\ell)}$ dans l'équation intégrale. Cette propriété peut également être obtenue par un calcul explicite : premièrement, pour m_z et m'_z de parités différentes, l'amplitude de couplage entre $|\ell, m_z\rangle$ et $|\ell, m'_z\rangle$ doit s'annuler dans l'Eq. (55); ceci peut être vu à partir de l'Eq. (54). Deuxièmement, elle s'annule également dans les équations (58,61) après intégration sur ϕ ou ϕ' : L_x satisfait à la règle de sélection $\Delta m_z = \pm 1$, et dans un développement de $e^{i\phi L_x}$ en puissances de ϕ , seules les puissances paires de ϕ et L_x survivent compte tenu de la parité du dénominateur \mathcal{D} . Dans ce qui suit, à un moment cinétique donné ℓ , nous distinguerons le secteur de parité $(-1)^{\ell+1}$, où $\mathcal{E}_{24,13}$ et la contribution de $D(\mathbf{k}_1, \mathbf{k}_3)$ dans l'Eq. (13) sont nuls, et le secteur de parité

$(-1)^\ell$ où ils sont *a priori* non nuls. Notons que, dans le cas particulier $\ell = 0$, il n'existe que le secteur de parité $(-1)^\ell$.

IV. FORME FINALE ET ANALYSE ASYMPTOTIQUE

A. Forme explicite de l'équation intégrale

En prenant la dérivée fonctionnelle de \mathcal{E} par rapport à $\Phi_{m_z}^{(\ell)}$ dans l'Eq. (24), en utilisant les formes (57,58,61,66)

des différents termes et en n'oubliant pas le signe moins devant la dernière contribution dans l'Eq. (24), on obtient la forme de l'équation intégrale (13) maximalement réduite par utilisation de la symétrie de rotation et de l'invariance d'échelle :

$$0 = \left[\frac{\alpha}{(1+\alpha)^2} \left(1 + \frac{u}{\text{ch } x} \right) + \frac{e^{-x} + \alpha e^x}{2(\alpha+1) \text{ch } x} \right]^{1/2} \Phi_{m_z}^{(\ell)}(x, u) + \int_{\mathbb{R}} dx' \int_{-1}^1 du' \sum_{m'_z=-\ell}^{\ell} K_{m_z, m'_z}^{(\ell)}(x, u; x', u'; \alpha) \Phi_{m'_z}^{(\ell)}(x', u') \quad (68)$$

avec l'expression suivante pour le noyau intégral matriciel $K^{(\ell)}$:

$$\begin{aligned} K_{m_z, m'_z}^{(\ell)}(x, u; x', u'; \alpha) = & \left(\frac{e^x \text{ch } x'}{e^{x'} \text{ch } x} \right)^{s/2} \left(\frac{e^{x+x'}}{4 \text{ch } x \text{ch } x'} \right)^{1/4} \int_0^{2\pi} \frac{d\phi}{(2\pi)^2} \frac{e^{-im_z \theta/2} \langle \ell, m_z | e^{i\phi L_x/\hbar} | \ell, m'_z \rangle e^{im'_z \theta'/2}}{\text{ch}(x-x') + \frac{1}{1+\alpha} [(u+e^{-x})(u'+e^{-x'}) + vv' \cos \phi]} \\ & + \left(\frac{e^{-x} \text{ch } x'}{e^{-x'} \text{ch } x} \right)^{s/2} \left(\frac{e^{-x-x'}}{4 \text{ch } x \text{ch } x'} \right)^{1/4} \int_0^{2\pi} \frac{d\phi}{(2\pi)^2} \frac{e^{im_z \theta/2} \langle \ell, m_z | e^{i\phi L_x/\hbar} | \ell, m'_z \rangle e^{-im'_z \theta'/2}}{\text{ch}(x-x') + \frac{\alpha}{1+\alpha} [(u+e^x)(u'+e^{x'}) + vv' \cos \phi]} \\ & - \frac{(-1)^\ell}{4\pi[(u+\text{ch } x)(u'+\text{ch } x') \text{ch } x \text{ch } x']^{1/4}} \left(\frac{(u'+\text{ch } x') \text{ch } x'}{(u+\text{ch } x) \text{ch } x} \right)^{s/2} \frac{e^{im_z \gamma} \langle \ell, m_z | \ell, m_x = 0 \rangle \langle \ell, m_x = 0 | \ell, m'_z \rangle e^{-im'_z \gamma'}}{\left(\frac{e^{-x'} + \alpha e^{x'}}{1+\alpha} \right) (u+\text{ch } x) + \left(\frac{e^{-x} + \alpha e^x}{1+\alpha} \right) (u'+\text{ch } x')} \end{aligned} \quad (69)$$

Ici, l'exposant d'échelle s est imaginaire pur, de sorte qu'un effet Efimov à quatre corps a lieu dans notre problème à $2+2$ fermions si l'Eq. (68) a une solution $\Phi^{(\ell)}$ non identiquement nulle pour une certaine valeur non nulle de s . Nous rappelons que l'angle $\theta \in [0, \pi]$ est tel que $u = \cos \theta$ et $v = (1-u^2)^{1/2} = \sin \theta$, et que l'angle γ est donné par l'Eq. (65); les mêmes relations s'appliquent pour les variables primées.

Les première, deuxième et troisième contributions dans l'Eq. (69) proviennent respectivement des termes $D(\mathbf{k}_2, \mathbf{k}_3)$, $D(\mathbf{k}_1, \mathbf{k}_4)$ et $D(\mathbf{k}_1, \mathbf{k}_3)$ dans l'équation intégrale non réduite (13); le terme diagonal dans l'Eq. (68) provient du terme diagonal de cette équation. Les intégrales sur ϕ peuvent être effectuées explicitement après insertion d'une relation de fermeture dans la base propre de L_x [56]. Il est important de noter que la troisième contribution dans l'Eq. (69) s'annule lorsque $\ell+m_z$ ou $\ell+m'_z$ sont impairs, c'est-à-dire dans le secteur de parité $(-1)^{\ell+1}$, comme le montre la propriété (54) et comme nous l'avons déjà souligné dans la section III D.

Il est intéressant de noter la séparabilité des

préfacteurs dans chaque contribution de l'Eq. (69), de la forme $[f(x, u)]^{s/2+1/4} [f(x', u')]^{-s/2+1/4}$ avec une fonction f donnée par $e^x/(2\text{ch } x)$, $e^{-x}/(2\text{ch } x)$ et $1/[(u+\text{ch } x)\text{ch } x]$, respectivement. Le fait que cette fonction $f(x, u)$ ne soit pas commune à toutes les contributions empêche de faire disparaître la dépendance en s du noyau matriciel $K^{(\ell)}$ par un simple changement de jauge sur $\Phi^{(\ell)}$: comme on pouvait s'y attendre, la dépendance en s du problème (68) est non triviale.

Nos résultats (68,69) doivent satisfaire à la symétrie du problème $2+2$ sous l'échange de \uparrow et \downarrow . Premièrement, cet échange a pour effet de changer le rapport de masse α en son inverse $1/\alpha$, voir l'Eq. (56). Deuxièmement, les vecteurs d'onde \mathbf{k}_2 et \mathbf{k}_4 dans $D(\mathbf{k}_2, \mathbf{k}_4)$ sont échangés, de sorte que la variable x définie par l'équation (21) est changée en son opposé; ceci inverse également la direction de l'axe de quantification $\mathbf{k}_2 \wedge \mathbf{k}_4$ selon lequel le moment cinétique m_z est mesuré dans l'équation (14): cela change m_z en $-m_z$ d'après l'identité [18]

$$e^{-i\pi L_x/\hbar} |\ell, m_z\rangle = (-1)^\ell |\ell, -m_z\rangle; \quad (70)$$

au contraire, l'angle non orienté $\theta_{24} \in [0, \pi]$ entre \mathbf{k}_2 et \mathbf{k}_4 reste inchangé, de sorte que la variable u n'est pas affectée. Par conséquent, on doit avoir

$$K_{m_z, m'_z}^{(\ell)}(x, u; x', u'; \alpha) = K_{-m_z, -m'_z}^{(\ell)}(-x, u; -x', u'; \alpha^{-1}) \quad (71)$$

pour toutes les valeurs de l'argument et des indices du noyau. Il est clair que l'Eq. (69) satisfait bien à la contrainte de symétrie (71) : les première et deuxième contributions sont échangées, tandis que la troisième est invariante puisque γ est changé en $-\gamma$, voir l'Eq. (65). On notera que nos résultats respectent également l'invariance par parité, voir la section III D, et que le noyau matriciel est hermitien comme le garantit notre obtention variationnelle :

$$K_{m_z, m'_z}^{(\ell)}(x, u; x', u'; \alpha) = \left[K_{m'_z, m_z}^{(\ell)}(x', u'; x, u; \alpha) \right]^* \quad (72)$$

B. Retrouver le problème à trois corps dans le comportement asymptotique à quatre corps

Le second membre de l'équation intégrale (68) définit un opérateur $M^{(\ell)}(s)$ agissant sur les fonctions spinorielles $\Phi_{m_z}^{(\ell)}(x, u)$. Le spectre de cet opérateur est physiquement pertinent, puisqu'un effet Efimov à quatre corps a lieu avec un exposant d'échelle Efimov $s \in i\mathbb{R}$ si et seulement si l'une des valeurs propres Ω de $M^{(\ell)}(s)$ est nulle. Comme $M^{(\ell)}(s)$ est un opérateur hermitien, puisque s est ici imaginaire pur, son spectre est réel et comprend en général une partie discrète et une partie continue. Le spectre discret correspond à des fonctions propres localisées, de carré intégrable ; nous ne savons le déterminer que numériquement. La contribution attendue au spectre continu est le fait des fonctions propres étendues, qui restent de l'ordre de l'unité pour des valeurs arbitrairement grandes de $|x|$; comme nous l'expliquons maintenant, elle peut être déterminée analytiquement à partir de l'analyse asymptotique du noyau (69) lorsque x et x' tendent vers $\pm\infty$, par une généralisation de la discussion de la référence [13]. Il y a aussi une contribution inattendue au spectre continu, dont l'analyse est reportée à la section IVC.

Secteur $x \rightarrow +\infty, x' \rightarrow +\infty$. Il est clair que la partie diagonale de $M^{(\ell)}(s)$ dans l'Eq. (68) tend exponentiellement vers une valeur finie et non nulle, et que les deuxième et troisième contributions au noyau dans l'Eq. (69) tendent exponentiellement vers zéro. Dans la première contribution de l'Eq. (69), le préfacteur tend exponentiellement vers un puisque $e^x/(2\operatorname{ch} x) \rightarrow 1$, et dans le dénominateur de l'intégrande, tous les termes dépendant de x ou x' sont exponentiellement supprimés, sauf le premier $\operatorname{ch}(x - x')$ puisqu'aucune hypothèse ne doit être faite sur la différence $x - x'$. Le problème aux

valeurs propres se réduit alors asymptotiquement à

$$\begin{aligned} \Omega^{\rightarrow(\ell)} \tilde{\Phi}_{m_z}^{(\ell)}(x, u) &= \left[\frac{\alpha(2+\alpha)}{(1+\alpha)^2} \right]^{1/2} \tilde{\Phi}_{m_z}^{(\ell)}(x, u) + \int_{\mathbb{R}} dx' \sum_{m'_z=-\ell}^{\ell} \\ &\quad \int_{-1}^1 du' \int_0^{2\pi} \frac{d\phi'}{(2\pi)^2} \frac{\langle \ell, m_z | e^{i\phi' L_x/\hbar} | \ell, m'_z \rangle}{\operatorname{ch}(x - x') + \frac{uu' + vv' \cos \phi'}{1+\alpha}} \tilde{\Phi}_{m'_z}^{(\ell)}(x', u') \end{aligned} \quad (73)$$

où la flèche dans l'exposant de Ω indique que x et x' tendent vers plus l'infini, et les facteurs de phase $e^{-im_z\theta/2}$ et $e^{im'_z\theta'/2}$ ont été éliminés par un changement de jauge sur le spineur, $\Phi_{m_z}^{(\ell)}(x, u) = e^{-im_z\theta/2} \tilde{\Phi}_{m_z}^{(\ell)}(x, u)$. Ensuite, on effectue une rotation de spin, en passant dans la base interne des états propres $|\ell, m_x\rangle$ de L_x , dans laquelle $e^{i\phi L_x/\hbar}$ est diagonale : les composantes $\tilde{\Phi}_{m_x}^{(\ell)}(x, u)$ sont toutes découpées. Pour un m_x donné, avec $|m_x| \leq \ell$, l'astuce consiste à étendre $\tilde{\Phi}_{m_x}^{(\ell)}(x, u)$ en une fonction de la variable réelle x et du vecteur \mathbf{n} sur la sphère unité à deux dimensions :

$$F_{m_x}^{(\ell)}(x, \mathbf{n}) \equiv \tilde{\Phi}_{m_x}^{(\ell)}(x, \cos \theta) e^{im_x \phi} \quad (74)$$

où $\theta \in [0, \pi]$ et $\phi \in [0, 2\pi]$ sont les angles polaire et azimutal de \mathbf{n} en coordonnées sphériques, par exemple par rapport aux axes Ox et Oy , $\mathbf{n} = (\cos \theta, \sin \theta \cos \phi, \sin \theta \sin \phi)$. Dans le facteur de phase $e^{im_x \phi'}$ au numérateur et dans $\cos \phi'$ au dénominateur, on peut alors remplacer ϕ' par $\phi' - \phi$: l'intégrande est une fonction périodique de ϕ' de période 2π et son intégrale a la même valeur quel que soit l'intervalle de longueur 2π décrit par ϕ' . On reconnaît alors le produit scalaire $\mathbf{n} \cdot \mathbf{n}' = uu' + vv' \cos(\phi - \phi')$ où $\mathbf{n}' = (\cos \theta', \sin \theta' \cos \phi', \sin \theta' \sin \phi')$. Le problème aux valeurs propres s'écrit maintenant

$$\begin{aligned} \Omega_{m_x}^{\rightarrow(\ell)} F_{m_x}^{(\ell)}(x, \mathbf{n}) &= \frac{[\alpha(2+\alpha)]^{1/2}}{1+\alpha} F_{m_x}^{(\ell)}(x, \mathbf{n}) \\ &\quad + \int_{\mathbb{R}} dx' \int_{|\mathbf{n}|=1} \frac{d^2 n}{(2\pi)^2} \frac{F_{m_x}^{(\ell)}(x', \mathbf{n}')}{\operatorname{ch}(x - x') + \frac{\mathbf{n} \cdot \mathbf{n}'}{1+\alpha}} \end{aligned} \quad (75)$$

L'opérateur correspondant est invariant par translation de la variable x et par rotation des variables \mathbf{n} sur la sphère unité. Ses fonctions propres $F_{m_x}^{(\ell)}(x, \mathbf{n})$ peuvent donc être prises comme le produit d'une onde plane en la variable x et d'une harmonique sphérique en les variables (θ, ϕ) , avec le même nombre quantique m_x (imposé par la forme (74)) mais avec un nombre quantique entier $L \geq |m_x|$ quelconque pour le moment cinétique total :

$$F_{m_x}^{(\ell)}(x, \mathbf{n}) = e^{ikx} Y_L^{m_x}(\theta, \phi) \quad (76)$$

Comme d'habitude pour un opérateur invariant par rotation, la valeur propre ne dépend pas de m_x . Elle ne dépend que de L , il suffit donc de se spécialiser au cas $m_x = 0$, où $Y_L^0(\theta, \phi) \propto P_L(\cos \theta)$, où $P_L(X)$ est le polynôme de Legendre de degré L . On obtient alors le

spectre continu “à droite” ($x, x' \rightarrow +\infty$) :

$$\Omega_{m_x}^{\rightarrow(\ell)}(\alpha) \in \{\Lambda_L(ik, \alpha^{-1}), \forall k \in \mathbb{R}, \forall L \geq |m_x|\} \quad (77)$$

La fonction Λ_L de $s \in i\mathbb{R}$ et du rapport de masse a été introduite et calculée analytiquement dans [36, 37], généralisant des résultats antérieurs [38, 39] :

$$\begin{aligned} \Lambda_L(s, \beta) &\equiv \frac{(1+2\beta)^{1/2}}{1+\beta} + \int_{-1}^1 du \int_{\mathbb{R}} \frac{dx}{2\pi} \frac{e^{-sx} P_L(u)}{\operatorname{ch} x + \frac{\beta}{1+\beta} u} \\ &= \cos \nu(\beta) + \frac{1}{\sin \nu(\beta)} \int_{\frac{\pi}{2}-\nu(\beta)}^{\frac{\pi}{2}+\nu(\beta)} d\theta P_L \left(\frac{\cos \theta}{\sin \nu(\beta)} \right) \frac{\sin(s\theta)}{\sin(s\pi)} \end{aligned} \quad (78)$$

où, dans la deuxième expression obtenue après intégration sur x [37], on a introduit l’angle de masse

$$\nu(\beta) = \operatorname{asin} \frac{\beta}{1+\beta} \quad (79)$$

Pour tout $\beta > 0$, on constate numériquement pour L pair que la valeur maximale de $\Lambda_L(s, \beta)$ sur $s \in i\mathbb{R}^+$ est atteinte en $s = 0$, et que la valeur minimale est atteinte en $|s| \rightarrow +\infty$ (où $\Lambda_L(s, \beta)$ tend vers $\cos \nu(\beta)$). Pour L impair, on constate que la situation est inversée : $\Lambda_L(s, \beta)$ est minimal en $s = 0$ et maximal à l’infini. En résumé, nous nous attendons à ce que

$$\begin{aligned} \cos \nu(\beta) &\leq \Lambda_L(s, \beta) \leq \Lambda_L(0, \beta) \quad \forall s \in i\mathbb{R}, L \text{ pair}, \\ \Lambda_L(0, \beta) &\leq \Lambda_L(s, \beta) \leq \cos \nu(\beta) \quad \forall s \in i\mathbb{R}, L \text{ impair} \end{aligned} \quad (80)$$

Ceci permet de déterminer les bords de la composante continue de nombre quantique L dans l’Eq. (77), voir Fig. 2. Une explication physique de l’apparition de la fonction Λ_L est donnée à la fin de la section.

Secteur $x \rightarrow -\infty, x' \rightarrow -\infty$. Le calcul ressemble beaucoup au précédent, sauf que c’est maintenant la deuxième contribution au second membre de l’Eq. (69) qui survit. Ceci était prévisible compte tenu de la relation de symétrie (71). Nous aboutissons au spectre continu “à gauche” ($x, x' \rightarrow -\infty$) :

$$\Omega_{m_x}^{\leftarrow(\ell)}(\alpha) \in \{\Lambda_L(ik, \alpha), \forall k \in \mathbb{R}, \forall L \geq |m_x|\} \quad (81)$$

qui diffère de (77) par la présence de α (plutôt que $1/\alpha$) dans l’argument de la fonction Λ_L [57]. Les bords des composantes de nombre quantique L de ce continuum sont représentés sur la Fig. 2 pour les premières valeurs de L , en utilisant la propriété (80) vérifiée numériquement.

Considérations sur la parité. À ℓ fixé, les résultats (77, 81) sont exprimés en termes du nombre quantique m_x , alors que le problème original ne fait la distinction qu’entre un secteur de parité paire (m_z est pair) et un secteur de parité impaire (m_z est impair). En pratique, en raison de la propriété (54), les continuums (77, 81) avec $L = 0$ ne peuvent être réalisés que dans le secteur de parité $(-1)^\ell$, quel que soit le moment cinétique total

considéré ℓ (évidemment on doit alors prendre $m_x = 0$). Les autres continuums (avec $L \geq 1$) peuvent tous être réalisés, dans les secteurs pairs et impairs, pour toutes les valeurs de $\ell \geq 0$ [58].

Discussion physique. La fonction $\Lambda_L(s, \beta)$ apparaît dans le problème unitaire à trois corps de deux particules fermioniques interagissant avec une seule particule discernable, β étant le rapport de masse entre espèces majoritaire et minoritaire. Pour $s \in i\mathbb{R}$, cette fonction est donnée au second membre de l’équation (78) ; elle peut être étendue analytiquement aux valeurs réelles de s en utilisant par exemple le troisième membre de l’équation (78) [37]. Les solutions à énergie nulle de ce problème à trois corps ont un exposant d’échelle d’Efimov s : la fonction d’onde à trois corps varie comme R^{s-2} , R étant l’hyperrayon des trois particules, et les valeurs autorisées de s pour une valeur L du moment cinétique total vérifient l’équation

$$\Lambda_L(s, \beta) = 0. \quad (82)$$

Ce système à trois corps présente un effet Efimov si et seulement si cette équation a une solution imaginaire pure $s \in i\mathbb{R}^*$. Cela ne se produit que pour des valeurs impaires de L , à partir d’un rapport de masse [14]

$$\beta > \alpha_c(2; 1) = 13,60696 \dots \quad (83)$$

pour $L = 1$, et à des rapports de masse critiques croissants pour $L = 3, 5, \dots$ [37, 40].

Il est donc évident que l’analyse asymptotique du problème à $2+2$ fermions fait apparaître le problème à trois corps. Ceci est intuitif dans l’espace des positions : imaginez qu’à position fixée $\mathbf{r}_4 \neq \mathbf{0}$ de la quatrième particule (de spin \downarrow), les positions $(\mathbf{r}_i)_{1 \leq i \leq 3}$ des autres particules (de spin $\uparrow\uparrow\downarrow$) tendent simultanément vers zéro ; alors la fonction d’onde à quatre corps $\psi(\mathbf{r}_1, \mathbf{r}_2, \mathbf{r}_3, \mathbf{r}_4)$ doit reproduire le comportement de l’état de diffusion à énergie nulle de deux particules \uparrow et une particule \downarrow , caractérisé par un rapport de masse $\beta = m_\uparrow/m_\downarrow = \alpha$, en particulier elle doit présenter les mêmes exposants d’échelle s que le problème $2+1$ (voir §5.3.6 dans la référence [34]) ; comme ces exposants d’échelle sont solutions de l’Eq. (82) avec $\beta = \alpha$, cela explique l’apparition de $\Lambda_L(s, \alpha)$ dans le spectre (81) [59]. Même si $\ell = 0$ pour le système à quatre corps, L peut prendre n’importe quelle valeur, car le moment cinétique peut être distribué entre la particule 4 et les trois premières particules. L’équivalent dans l’espace des impulsions de la limite considérée est d’avoir $(\mathbf{k}_i)_{1 \leq i \leq 3}$ divergent à \mathbf{k}_4 fixé, ce qui, en raison de l’invariance d’échelle, est équivalent à avoir $\mathbf{k}_4 \rightarrow \mathbf{0}$ à $(\mathbf{k}_i)_{1 \leq i \leq 3}$ fixé, c’est-à-dire $x \rightarrow -\infty$ d’après l’Eq. (21). C’est pourquoi $\beta = \alpha$ conduit au spectre (81). Un raisonnement similaire avec \mathbf{r}_2 fixé et $(\mathbf{r}_i)_{i \neq 2}$ tendant vers zéro conduit à $\beta = 1/\alpha$ et $x \rightarrow +\infty$, comme dans le spectre (77).

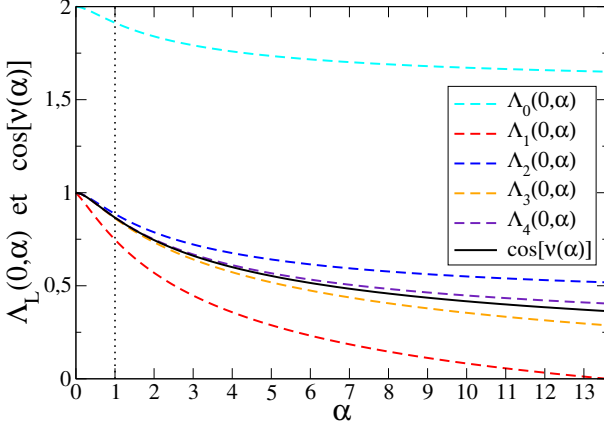


FIGURE 2: Bords du spectre continu de $M(s)$ ($s \in i\mathbb{R}^+$) obtenus analytiquement (ils correspondent aux limites $x \rightarrow \pm\infty$). Il s'agit de la réunion de composantes caractérisées par un nombre quantique de moment cinétique L d'un problème asymptotique à trois corps (à ne pas confondre avec le moment cinétique total ℓ des états à quatre corps), conduisant à un intervalle de valeurs propres allant de $\Lambda_L(0, \alpha)$ à $\cos[\nu(\alpha)]$ pour $x \rightarrow -\infty$, et allant de $\Lambda_L(0, 1/\alpha)$ à $\cos[\nu(1/\alpha)]$ pour $x \rightarrow +\infty$, où α est le rapport de masse donné par l'Eq. (56), la fonction Λ_L est donnée par l'Eq. (78) et l'angle de masse ν est donné par l'Eq. (79). Nous représentons $\cos[\nu(\alpha)]$ (trait plein noir continu) et $\Lambda_L(0, \alpha)$ (tirets colorés, avec $L = 0, 2, 4$ de haut en bas au-dessus de la ligne continue, et $L = 1, 3$ de bas en haut en dessous de la ligne continue) en fonction de $\alpha \in [0, \alpha_c(2; 1)]$ où $\alpha_c(2; 1)$ est le rapport de masse critique (83) de l'effet Efimov dans le problème à trois corps $\uparrow\uparrow\downarrow$. En raison de la symétrie $\alpha \leftrightarrow 1/\alpha$ du problème à 2 + 2 fermions, on peut se limiter à $\alpha \geq 1$ (c'est-à-dire à la partie à droite de la ligne pointillée verticale) ; les bords du continuum $x \rightarrow -\infty$ peuvent alors être lus directement sur la figure, et celles du continuum $x \rightarrow +\infty$ peuvent être obtenues en repliant mentalement la partie $\alpha \leq 1$ de la figure sur la partie $\alpha \geq 1$.

C. Un troisième continuum inattendu

Les deux premières contributions de l'Eq. (69) sont inoffensives : le dénominateur de leurs intégrandes ne peut pas s'annuler, voir les Eq. (59,60) et les Eq. (62,63), et, comme nous l'avons vu, elles sont à courte portée dans l'espace (x, x') . Au contraire, la troisième contribution dans l'Eq. (69), qui n'est non nulle que dans le secteur de parité $(-1)^\ell$, diverge lorsque $(x, u) \rightarrow (0, -1)$ ou $(x', u') \rightarrow (0, -1)$. Ceci laisse craindre que les valeurs propres de $M(s)$, $s \in i\mathbb{R}$, ne soient pas bornées pour cette parité. Nous étudions ce problème mathématiquement dans l'annexe A et nous concluons que $M(s)$ reste borné.

Physiquement, cette divergence du noyau conduit à un effet assez intéressant : l'émergence d'une troisième composante du spectre continu de $M(s)$, différente des continuums $x \rightarrow \pm\infty$ précédemment discutés. L'idée intuitive est que l'on peut transformer le problème aux valeurs propres $\Omega\Phi = M(s)\Phi$ en une équation intégrale à noyau borné par un changement de variables approprié, avec pour conséquence qu'une des nouvelles variables,

que nous appellerons t , peut tendre vers $-\infty$, auquel cas le vecteur propre Φ acquiert une structure d'onde plane $\propto \exp(ikt)$, $k \in \mathbb{R}$, avec un spectre

$$\Omega^{\odot(\ell)} \in \left\{ \frac{1}{\sqrt{2}} \left[1 - \frac{(-1)^\ell}{\text{ch}(k\pi/2)} \right], \forall k \in \mathbb{R} \right\} \quad [\text{parité } (-1)^\ell] \quad (84)$$

C'est une caractéristique inattendue du problème à 2 + 2 fermions, absente dans le cas à 3 + 1 fermions [13].

Pour obtenir ce résultat, nous construisons une approximation locale de l'équation intégrale au voisinage de $(x, u) = (0, -1), (x', u') = (0, -1)$, en ne conservant que les contributions les plus divergentes. Nous utilisons

$$y \equiv \pi - \theta \quad (85)$$

plutôt que $u = \cos\theta$ comme variable d'intégration, de sorte que $y, y' \rightarrow 0$ quand $u, u' \rightarrow -1$. Cela fait sortir un jacobien $\sin y'$ que nous réabsorbons (en préservant l'herméticité du problème) par un changement de fonction. Nous prenons également en compte le fait que la troisième contribution divergente dans l'Eq. (69) fait intervenir un projecteur sur l'état $|\ell, m_x = 0\rangle$, et que les facteurs de phase $e^{im_z\gamma}$ et $e^{-im'_z\gamma'}$, $[(u + \text{ch } x)\text{ch } x]^{-s/2}$ et $[(u' + \text{ch } x')\text{ch } x']^{s/2}$ peuvent être éliminés par un changement de jauge. D'où l'ansatz

$$\Phi_{m_z}^{(\ell)}(x, u) = \frac{(x^2 + y^2)^{-s/2}}{y^{1/2}} e^{im_z\gamma} \langle \ell, m_z | \ell, m_x = 0 \rangle \Phi(x, y) \quad (86)$$

où $\sin y$ a été linéarisé, $u + \text{ch } x$ a été quadratisé. Le problème aux valeurs propres qui en résulte localement est

$$\begin{aligned} \left(\Omega - \frac{1}{\sqrt{2}} \right) \Phi(x, y) &= -\frac{(-1)^\ell}{2^{1/2}\pi} \int_D \frac{dx' dy' (yy')^{1/2}}{[(x^2 + y^2)(x'^2 + y'^2)]^{1/4}} \\ &\quad \times \frac{\Phi(x', y')}{x^2 + y^2 + x'^2 + y'^2} \end{aligned} \quad (87)$$

où nous avons commodément restreint l'intégration à la moitié supérieure ($y > 0$) du disque D de rayon $\rho_0 \ll 1$ centré sur $(0, 0)$. En coordonnées polaires,

$$(x, y) = (\rho \cos \psi, \rho \sin \psi) \quad (88)$$

seul $(yy')^{1/2}$ dépend de ψ dans le noyau. Il en dépend de manière factorisée de sorte que Φ est aussi factorisé :

$$\Phi(x, y) = \rho^{-1/2} \Phi(\rho) (\sin \psi)^{1/2} \quad (89)$$

et, puisque $\int_0^\pi d\psi' \sin \psi' = 2$,

$$\left(\Omega - \frac{1}{\sqrt{2}} \right) \Phi(\rho) = -\frac{(-1)^\ell 2^{1/2}}{\pi} \int_0^{\rho_0} d\rho' \frac{(\rho\rho')^{1/2}}{\rho^2 + \rho'^2} \Phi(\rho') \quad (90)$$

L'invariance d'échelle de ce noyau suggère le changement de variable logarithmique

$$t = \ln \frac{\rho}{\rho_0} \quad \text{et} \quad \phi(t) = \left(\frac{\rho}{\rho_0} \right)^{1/2} \Phi(\rho) \quad (91)$$

Le problème aux valeurs propres

$$\Omega\phi(t) = \frac{1}{2^{1/2}}\phi(t) - \frac{(-1)^\ell}{2^{1/2}\pi} \int_{-\infty}^0 \frac{dt'\phi(t')}{\text{ch}(t-t')} \quad (92)$$

qui en résulte admet l'Eq. (84) comme spectre continu avec des fonctions propres $\phi(t)$ qui sont pour $t \rightarrow -\infty$ des superpositions linéaires de e^{ikt} et e^{-ikt} , puisque $\int_{\mathbb{R}} dt e^{ikt}/\text{ch} t = \pi/\text{ch}(k\pi/2)$; nous avons vérifié numériquement qu'il n'a pas de valeur propre discrète [60].

Interprétation physique. Nous rassemblons les Eq. (86,89,91), en prenant comme solution particulière de l'Eq. (92) à t grand et négatif la fonction $\phi(t) = 1$, qui correspond à une onde plane asymptotique dans l'espace des t avec un vecteur d'onde nul, c'est-à-dire à $k = 0$ dans l'Eq. (84) [61]. En se limitant pour simplifier à un moment cinétique total nul $\ell = 0$ [62], on trouve alors que

$$\Phi_0^{(0)}(x, u) \underset{(x,u) \rightarrow (0,-1)}{\propto} \frac{1}{\rho^{s+3/2}} \quad (93)$$

Une écriture plus éclairante s'obtient en termes des vecteurs d'onde du centre de masse $\mathbf{K}_{24} = \mathbf{k}_2 + \mathbf{k}_4$ et relatifs $\mathbf{k}_{24} = (\mathbf{k}_2 - \alpha \mathbf{k}_4)/(1 + \alpha)$ des particules 2 et 4 :

$$\Phi^{(0)}(x, u) \underset{K_{24}/k_{24} \rightarrow 0}{\propto} \left(\frac{k_{24}}{K_{24}}\right)^{s+3/2} \quad (94)$$

On a en effet $\rho^2 \simeq 2(u + \text{ch } x)$ et $K_{24}^2 = 2k_2^2 e^x (u + \text{ch } x)$, de sorte que K_{24} et ρ tendent vers zéro de la même manière lorsque $(x, u) \rightarrow (0, -1)$; de même, le rapport K_{24}/k_{24} tend vers zéro si et seulement si $u + \text{ch } x \rightarrow 0$ [63]. En se limitant à un petit voisinage de la singularité, $K_{24} < \epsilon k_{24}$, où $\epsilon \ll 1$, nous pouvons approximer dans l'ansatz (20) le facteur $(\text{ch } x)^{s+3/2}$ par un et, au dénominateur, $k_2^2 + k_4^2 = 2k_{24}^2 + 2\frac{\alpha-1}{\alpha+1}\mathbf{k}_{24} \cdot \mathbf{K}_{24} + \frac{1+\alpha^2}{(1+\alpha)^2}K_{24}^2$ par son terme d'ordre dominant $2k_{24}^2$ pour isoler le comportement singulier de $D(\mathbf{k}_2, \mathbf{k}_4)$:

$$D_{\text{sing}}(\mathbf{k}_2, \mathbf{k}_4) \propto \frac{1}{k_{24}^{s+7/2}} \left(\frac{k_{24}}{K_{24}}\right)^{s+3/2} \quad (95)$$

L'idée clé est alors de montrer que cela se traduit par une singularité de la partie régulière \mathcal{A}_{13} de la fonction d'onde à quatre corps dans la condition de contact de Wigner-Bethe-Peierls (1). Comme nous l'avons vu après l'Eq. (5), $\mathcal{A}_{13} = \mathcal{A}$ est relié à $D(\mathbf{k}_2, \mathbf{k}_4)$ par une transformée de Fourier ; en prenant $(\mathbf{k}_{24}, \mathbf{K}_{24})$ plutôt que $(\mathbf{k}_2, \mathbf{k}_4)$ comme variables d'intégration, et en utilisant le fait que $\mathbf{k}_2 \cdot \mathbf{r}_2 + \mathbf{k}_4 \cdot \mathbf{r}_4 = \mathbf{k}_{24} \cdot \mathbf{r}_{24} + \mathbf{K}_{24} \cdot \mathbf{R}_{24}$, où $\mathbf{r}_{24} = \mathbf{r}_2 - \mathbf{r}_4$ et $\mathbf{R}_{24} = (m_2 \mathbf{r}_2 + m_4 \mathbf{r}_4)/(m_2 + m_4)$ sont les coordonnées relatives et du centre de masse des particules 2 et 4, nous obtenons pour la contribution de la singularité de D à la partie

régulière \mathcal{A} :

$$\begin{aligned} \mathcal{A}_{\text{sing}}(\mathbf{r}_2 - \mathbf{R}_{13}, \mathbf{r}_4 - \mathbf{R}_{13}) &\propto \int_{K_{24} < \epsilon k_{24}} d^3 k_{24} d^3 K_{24} e^{i\mathbf{K}_{24} \cdot (\mathbf{R}_{24} - \mathbf{R}_{13})} \\ &\times \frac{e^{i\mathbf{k}_{24} \cdot \mathbf{r}_{24}}}{k_{24}^{s+7/2}} \left(\frac{k_{24}}{K_{24}}\right)^{s+3/2} \end{aligned} \quad (96)$$

En intégrant sur les angles solides des vecteurs \mathbf{k}_{24} et \mathbf{K}_{24} , en effectuant le changement de variable $K_{24} = q k_{24} r_{24} / |\mathbf{R}_{24} - \mathbf{R}_{13}|$ à k_{24} fixé, en changeant l'ordre d'intégration sur k_{24} et q et finalement en intégrant sur k_{24} [64] nous obtenons

$$\begin{aligned} \mathcal{A}_{\text{sing}}(\mathbf{r}_2 - \mathbf{R}_{13}, \mathbf{r}_4 - \mathbf{R}_{13}) &\propto \frac{|\mathbf{R}_{24} - \mathbf{R}_{13}|^{s-3/2}}{r_{24}} \\ &\times \int_0^{\epsilon |\mathbf{R}_{24} - \mathbf{R}_{13}|/r_{24}} \frac{dq}{q^{s+1/2}} [|q - 1|^{s-1/2} - (q + 1)^{s-1/2}] \end{aligned} \quad (97)$$

Il devient alors évident que la singularité dans $D(\mathbf{k}_2, \mathbf{k}_4)$ en $\mathbf{k}_2 + \mathbf{k}_4 = \mathbf{0}$ est liée à une divergence en $1/r_{24}$ de la partie régulière \mathcal{A}_{13} de la fonction d'onde à quatre corps en $r_{24} = 0$ [65] [66]. Ceci était physiquement attendu : $\mathcal{A}_{13}(\mathbf{r}_2 - \mathbf{R}_{13}, \mathbf{r}_4 - \mathbf{R}_{13})$ est essentiellement la fonction d'onde des particules 2 et 4 sachant que les particules 1 et 3 ont convergé au même point dans l'onde s ; puisque 2 et 4 sont dans des états de spin différents, elles interagissent dans l'onde s et sont soumises aux conditions de contact 2 – 4 de Wigner-Bethe-Peierls, ce qui implique une divergence en $1/r_{24}$ lorsque $r_{24} \rightarrow 0$. Une telle divergence de \mathcal{A}_{13} a déjà été mise en évidence dans le problème de la diffusion de deux dimères $\uparrow\downarrow$ dans la référence [41], et dans le problème général à $N_\uparrow + N_\downarrow$ fermions lorsque $N_\uparrow \geq 2$ et $N_\downarrow \geq 2$ dans la référence [42] (voir la note 20 de cette référence) [67].

Cette interprétation de la singularité du noyau matriciel en $(x, u) = (0, -1)$ a une implication simple, mais éclairante : la divergence en $1/r_{24}$ de \mathcal{A}_{13} ne peut avoir lieu que lorsque les particules 2 et 4 convergent vers le même point dans l'onde partielle relative de moment cinétique nul, puisque les particules \uparrow et \downarrow n'interagissent de manière résonnante que dans l'onde s . Dans une telle configuration, le moment cinétique ℓ de la fonction \mathcal{A}_{13} (c'est-à-dire du système total) est porté par le mouvement du centre de masse des particules 2 et 4 par rapport à \mathbf{R}_{13} ; il existe alors un lien univoque entre le moment cinétique ℓ et la parité, comme pour les systèmes à une seule particule, et la parité de \mathcal{A}_{13} doit être $(-1)^\ell$. Ceci explique pourquoi la singularité en $(x, u) = (0, -1)$, et finalement le troisième continuum (84), ne peuvent apparaître que dans ce secteur de parité [68].

V. RECHERCHE DE L'EFFET EFIMOV À QUATRE CORPS

Dans le problème à 3 + 1 fermions, la signature d'un effet Efimov à quatre corps est qu'une valeur propre de

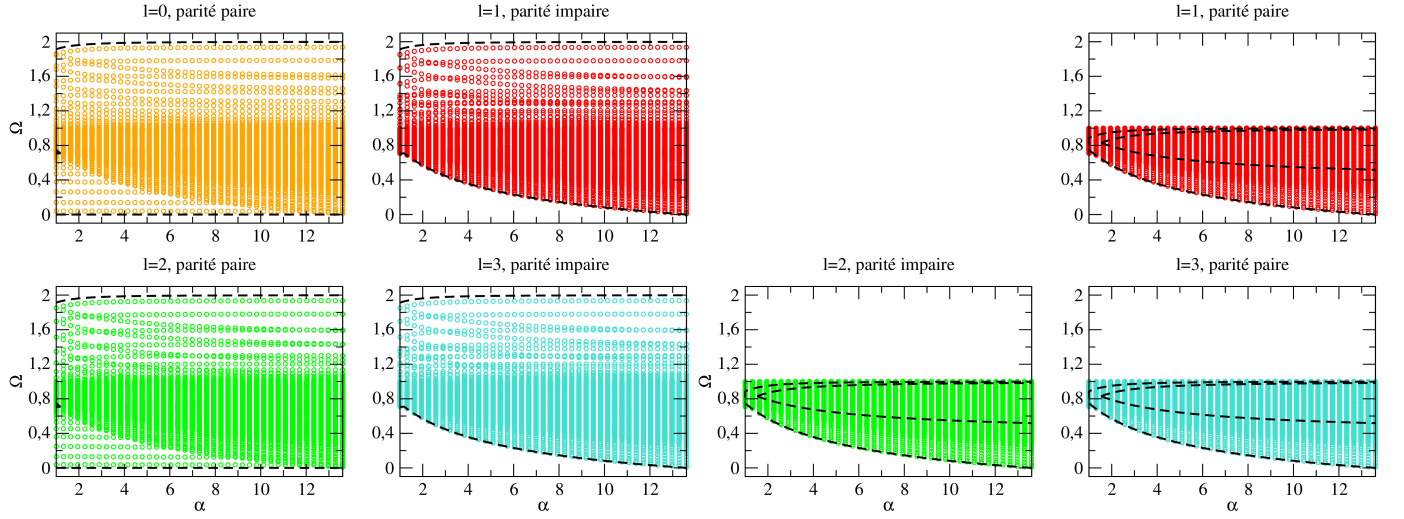


FIGURE 3: Valeurs propres de $M(s = 0)$ en fonction du rapport de masse $\alpha \in [1; 13,6]$, pour différentes valeurs du moment cinétique ℓ et de la parité [moitié gauche pour la parité $(-1)^\ell$, moitié droite pour la parité $(-1)^{\ell+1}$], obtenues numériquement après discréétisation et troncature des variables x et θ dans la zone $\rho \equiv [x^2 + (\pi - \theta)^2]^{1/2} > \rho_0$ et de leurs versions log-polaires $t \equiv \ln(\rho/\rho_0)$ et ψ dans la zone $\rho < \rho_0$ (voir texte) : $x_{\max} = -x_{\min} = 12$, $dx = 1/5$, $d\theta \simeq \pi/15$, $\rho_0 = 2/5$, $t_{\min} = -12$, $dt = 1/5$, $d\psi = \pi/15$, avec la méthode d'intégration de Gauss-Legendre pour les intégrales sur θ et ψ , et la méthode d'intégration du point milieu pour les intégrales sur x et t . Pour les voies de parité $(-1)^{\ell+1}$, la zone $\rho < \rho_0$ n'est pas utile et n'est pas incluse dans les calculs. Les limites du spectre continu de $M(s)$ sont représentées par des courbes noires en tirets épais : pour les voies de parité $(-1)^{\ell+1}$, cela correspond aux continuums $x \rightarrow +\pm\infty$ des Eqs. (77,81) avec tous les $L \geq 1$; pour les voies de parité $(-1)^\ell$, cela correspond aux continuums $x \rightarrow +\pm\infty$ des Eqs. (77,81) avec tous les $L \geq 0$ et au continuum $(x, \theta) \rightarrow (0, \pi)$ [c'est-à-dire $t \rightarrow -\infty$] de l'Eq. (84). Contrairement au cas 3 + 1, aucune valeur propre de $M(s = 0)$ ne croise zéro pour $\alpha < \alpha_c(2; 1) = 13,6069\dots$: on ne trouve aucun effet Efimov à quatre corps dans le problème à 2 + 2 fermions.

l'opérateur $M(s = 0)$ correspondant croise zéro pour une certaine valeur de α en dessous de $\alpha_c(2; 1) \simeq 13,6069$, spécifiquement pour $\alpha = \alpha_c(3; 1) \simeq 13,384$ [13]. La question ici est de savoir si oui ou non un tel croisement peut se produire pour le problème à 2 + 2 fermions, c'est-à-dire pour l'opérateur $M(s = 0)$ correspondant aux Eqs. (68,69). Nous répondons à cette question par un calcul numérique des valeurs propres de $M(s = 0)$.

Mise en œuvre numérique. Dans le secteur de parité $(-1)^{\ell+1}$, nous tronquons la variable x de manière symétrique, c'est-à-dire à l'intervalle $[x_{\min} = -x_{\max}, x_{\max}]$, et nous la discréétisons avec un pas uniforme dx selon la méthode habituelle d'intégration du point milieu. Nous utilisons θ plutôt que $u = \cos \theta$ comme variable d'intégration, de sorte que nous utilisons $\check{\Phi}(x, \theta) = (\sin \theta)^{1/2} \Phi(x, u)$ plutôt que $\Phi(x, u)$ comme fonction inconnue; en multipliant le problème aux valeurs propres $\Omega \Phi = M(s = 0) \Phi$ par $(\sin \theta)^{1/2}$, nous obtenons un problème aux valeurs propres hermitien avec les mêmes valeurs propres, la même partie diagonale et un noyau $\check{K}_{m_z, m'_z}^{(\ell)}(x, \theta; x', \theta') = (\sin \theta \sin \theta')^{1/2} K_{m_z, m'_z}^{(\ell)}(x, u; x', u')$ où $u = \cos \theta$, $u' = \cos \theta'$. Pour une meilleure précision, nous utilisons la méthode d'intégration de Gauss-Legendre [44] pour θ' car cette variable angulaire est naturellement limitée à $[0, \pi]$ [69].

Dans le secteur de parité $(-1)^\ell$, il y a une complication supplémentaire : le noyau diverge au point $(x, \theta) =$

$(0, \pi)$, ce qui rend la discréétisation de (x, θ) précédente numériquement inefficace. À petite distance de ce point, disons moins de ρ_0 , le jeu optimal de variables est (t, ψ) , où $\psi \in [0, \pi]$ est défini par l'équation (88) et $t \in \mathbb{R}^-$ est donné par l'équation (91), puisque le noyau résultant est borné après le changement commode de fonction inconnue $\tilde{\Phi}_{m_z}^{(\ell)}(t, \psi) = \rho \check{\Phi}_{m_z}^{(\ell)}(x, \theta)$, voir l'équation (92). Nous avons donc recours à une méthode mixte : pour $\rho = [x^2 + (\pi - \theta)^2]^{1/2} > \rho_0$, nous utilisons le jeu de variables (x, θ) , avec x discréétisé uniformément avec un pas dx sous-multiple de ρ_0 et θ discréétisé selon la méthode de Gauss-Legendre sur l'intervalle $[0, \theta_{\max}]$ où $\theta_{\max} = \pi$ pour $|x| > \rho_0$ et $\theta_{\max} = \pi - (\rho_0^2 - x^2)^{1/2}$ pour $|x| \leq \rho_0$, le nombre total de points angulaires variant linéairement avec θ_{\max} ; pour $\rho < \rho_0$, nous utilisons le jeu de variables (t, ψ) , avec t tronqué à $[t_{\min}, 0]$ et discréétisé avec un pas uniforme dt selon la méthode d'intégration du point milieu, et $\psi \in [0, \pi]$ discréétisé selon la méthode de Gauss-Legendre [70].

Résultats. Le spectre de $M(s = 0)$ obtenu numériquement pour le problème à 2+2 fermions est représenté sur la Fig. 3 [moitié gauche pour les voies de parité $(-1)^\ell$, moitié droite pour les voies de parité $(-1)^{\ell+1}$], pour les premières valeurs $0 \leq \ell \leq 3$ du nombre quantique ℓ du moment cinétique interne à quatre corps, en fonction du rapport de masse $\alpha = \frac{m_\uparrow}{m_\downarrow}$. C'est une fonction symétrique sous l'échange $\alpha \leftrightarrow 1/\alpha$ donc la figure est limitée à $\alpha \geq 1$; comme l'équation intégrale de départ (13) suppose l'inva-

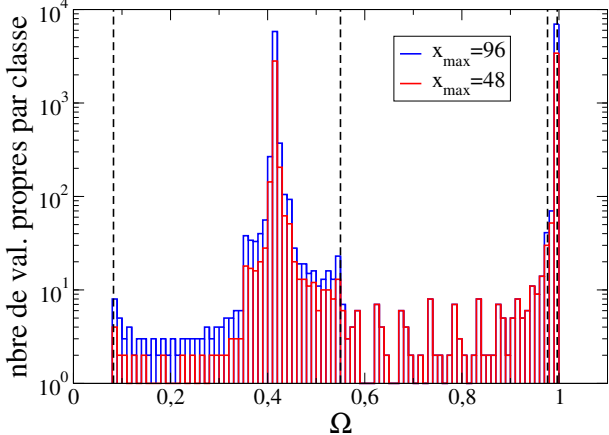


FIGURE 4: Histogramme des valeurs propres Ω de $M(s = 0)$ pour un rapport de masse $\alpha = 10$ et un moment cinétique $\ell = 1$ dans les voies de parité $(-1)^{\ell+1}$, obtenu numériquement après discréétisation et troncature des variables x et θ . La grille numérique est la même que sur la Fig. 3, sauf que des valeurs beaucoup plus grandes de $x_{\max} = -x_{\min}$ sont utilisées, pour révéler l'émergence de la partie continue du spectre dans la limite $x_{\max} \rightarrow +\infty$: $x_{\max} = 48$ (barres rouges au premier plan) et $x_{\max} = 96$ (barres bleues en arrière-plan). Les lignes tiretées verticales noires indiquent les bords du spectre continu prédicts analytiquement (comme sur la Fig. 3); entre les deux premières et entre les deux dernières, on observe en effet que le nombre de valeurs propres par classe est approximativement multiplié par deux lorsque x_{\max} est doublé. Au contraire, l'histogramme n'est pas affecté par le changement de x_{\max} dans les classes situées strictement entre les deuxième et troisième lignes tiretées, ce qui indique que les valeurs propres correspondantes appartiennent au spectre discret de $M(s = 0)$, avec des fonctions propres localisées dans l'espace des x .

riance d'échelle, qui est rompue par l'effet Efimov à trois corps au-delà du seuil $\alpha_c(2; 1) = 13,6069 \dots$, la figure est également limitée à $\alpha < \alpha_c(2; 1)$.

Pour les voies de parité $(-1)^\ell$, le spectre tient entièrement dans les limites du spectre continu prédict analytiquement, qui sont représentées en tirets, sauf pour ℓ pair dans un petit triangle [71] à peine visible près de $\Omega = 0,75$ avec $1 \leq \alpha \lesssim 1,2$: cela signifie que le spectre numérique, par nature discret, doit tendre vers un continuum lorsque les troncatures $x_{\max} = -x_{\min}$ et t_{\min} tendent respectivement vers $+\infty$ et $-\infty$. Le bord inférieur du continuum est donné pour les ℓ pairs par la limite $k \rightarrow 0$ de l'Eq. (84), c'est-à-dire zéro, et pour les ℓ impairs par la plus petite des deux quantités, $1/\sqrt{2}$ [c'est la limite $k \rightarrow +\infty$ de l'Eq. (84)] et $\Lambda_{L=1}(0, \alpha)$ [c'est la valeur minimale de l'Eq. (81), voir Fig. 2]. Le bord supérieur du continuum est donné, quelle que soit la parité de ℓ , par $\Lambda_{L=0}(0, 1/\alpha)$ [c'est la valeur maximale de l'Eq. (77), voir Fig. 2].

Pour les voies de parité $(-1)^{\ell+1}$, il y a trois différences. Premièrement, le continuum (84) n'existe plus, de sorte que le bord inférieur du spectre continu de $M(s = 0)$,

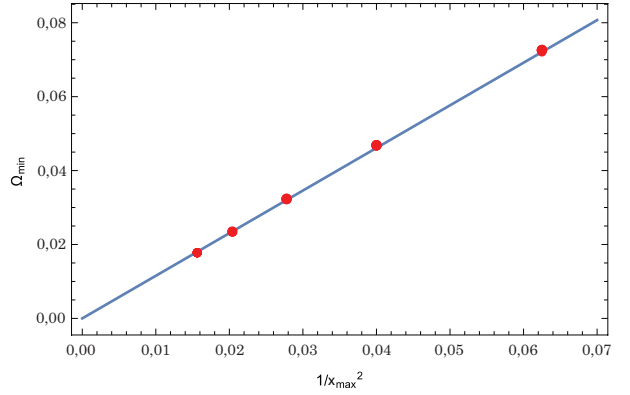


FIGURE 5: Valeur propre minimale Ω_{\min} de $M^{(\ell)}(s = 0)$ déterminée numériquement presque au rapport de masse critique à trois corps, $\alpha = 13,6069 \simeq \alpha_c(2; 1)$, en fonction de la troncature numérique $t_{\min} = -x_{\max}$. Pour chaque valeur de troncature considérée, chaque moment cinétique ℓ de 0 à 12 et secteur de parité $(-1)^\ell$ et $(-1)^{\ell+1}$ contribue par un point sur la figure : le fait que les points (en rouge) se superposent et ne peuvent être distingués montre que Ω_{\min} ne dépend pas de ℓ ni de la parité. De plus, Ω_{\min} est toujours positif, il est linéaire en $1/x_{\max}^2$ et s'extrapole à zéro pour une troncature infinie (en bleu) : ceci est parfaitement cohérent avec le fait que Ω_{\min} reproduit le bord inférieur $\Lambda_{L=1}(ik, \alpha)$ du continuum 2 + 1, où k a une valeur minimale discrète variant comme $1/x_{\max}$ en présence de la troncature numérique, et que $\Lambda_{L=1}(ik, \alpha_c(2; 1))$ s'annule quadratiquement en $k = 0$. En d'autres termes, il n'y a pas de Ω_{\min} négatif ni d'effet Efimov à quatre corps pour 2 + 2 fermions.

maintenant donné par $\Lambda_{L=1}(0, \alpha)$, n'atteint zéro qu'en $\alpha = \alpha_c(2; 1)$. Deuxièmement, les continuums de $L = 0$ dans les équations (77, 81) n'existent plus, de sorte que le bord supérieur du continuum de $M(s = 0)$, donné par $\Lambda_{L=2}(0, 1/\alpha)$, est partout en dessous de $1 = \lim_{\alpha \rightarrow +\infty} \Lambda_{L=2}(0, 1/\alpha)$. Troisièmement, le continuum présente, dans le plan $\alpha - \Omega$ pour $1,53 \lesssim \alpha$, une grande zone intérieure vide, correspondant à $\Lambda_{L=2}(0, \alpha) < \Omega < \Lambda_{L=1}(0, 1/\alpha)$. Pourtant, de nombreuses valeurs propres trouvées numériquement se trouvent dans cette zone intérieure : ces valeurs propres doivent correspondre au spectre discret de $M(s = 0)$, avec des fonctions propres localisées (de carré intégrable) [72]. Nous l'avons vérifié numériquement en calculant la densité d'états de $M(s = 0)$, en pratique l'histogramme de ses valeurs propres, pour des valeurs croissantes de la troncature numérique $x_{\max} = -x_{\min}$: en doublant les valeurs de x_{\max} et x_{\min} , l'espacement $\approx \pi/x_{\max}$ entre les valeurs de k successives dans les Eqs. (77, 81) est approximativement divisé par deux de sorte que la densité d'états du quasi-continuum numérique est approximativement multipliée par deux, alors que la densité d'états du spectre discret n'est essentiellement pas (seulement exponentiellement faiblement) affectée dès que x_{\max} est beaucoup plus grand que la largeur des fonctions propres localisées dans l'espace des x . C'est ce qui est observé sur la Fig. 4, sachant que les emplacements des bords interne et externe du continuum

(correspondant aux lignes tiretées de la Fig. 3) sont indiqués par des lignes tiretées verticales sur la Fig. 4.

Synthèse. Contrairement au cas $3+1$, aucune valeur propre discrète de $M(s=0)$ (nécessairement discrète car elle se trouverait sous le bord inférieur du continuum) ne croise zéro pour $\alpha < \alpha_c(2;1) = 13,6069\dots$, c'est-à-dire avant le seuil de l'effet Efimov à trois corps : aucun effet Efimov à quatre corps n'est trouvé pour le problème à $2+2$ fermions [73]. Cette conclusion est apparente sur la Fig. 3, obtenue pour tous les nombres quantiques de moment cinétique interne $0 \leq \ell \leq 3$. Elle s'étend à toutes les valeurs de moment cinétique que nous avons pu explorer numériquement, $4 \leq \ell \leq 12$, comme nous l'avons montré avec une analyse spectrale soigneuse presque exactement au rapport de masse critique à trois corps, $\alpha = 13,6069$, voir Fig. 5.

VI. CONCLUSION

Nous avons étudié à trois dimensions un système à quatre corps à $2+2$ fermions avec des interactions résonnantes et nous avons obtenu ses équations intégrales dans l'espace des impulsions à énergie nulle. En utilisant l'invariance par rotation et l'invariance d'échelle, nous les avons réduites à une forme bidimensionnelle traitable numériquement (la fonction inconnue ne dépend que de deux variables). Avec ces équations, nous avons montré numériquement qu'aucun effet Efimov à quatre corps ne se produit pour le système à $2+2$ fermions dans les voies de moment cinétique $0 \leq \ell \leq 12$. Le système à $3+1$ fermions reste donc le seul connu à présenter un effet Efimov à quatre corps [13].

Un traitement détaillé de la deuxième motivation pour l'obtention de ces équations intégrales, c'est-à-dire le calcul du quatrième coefficient d'amas déjà mesuré [20, 21] b_4 du gaz unitaire de fermions de spin $1/2$, sort du cadre de cet article. Nous avons tout de même obtenu numériquement une estimation de b_4 inspirée de l'expression analytique du troisième coefficient d'amas b_3 [28, 29] : il s'avère que cette estimation ne reproduit pas la valeur expérimentale (voir l'annexe B), de sorte qu'une étude spécifique est nécessaire ; nous la remettions à plus tard.

Remerciements

Nous remercions J. Levinson et D. Gridnev pour d'utiles discussions. S.E. remercie la Société japonaise pour la promotion de la science (JSPS) pour son soutien. Le groupe de Y.C. est affilié à l'IFRAF.

Annexe A: Le spectre de $M(s)$ est-il borné ?

Dans le secteur de parité $(-1)^\ell$, la troisième contribution dans l'Eq. (69) diverge lorsque $(x,u) \rightarrow (0,-1)$ ou

$(x',u') \rightarrow (0,-1)$. La question est de savoir si cela rend l'opérateur $M(s)$ non borné, pour un $s = iS$ imaginaire pur.

Pour étudier ce problème, nous construisons une fonctionnelle simplifiée qui se concentre sur la partie divergente du noyau matriciel (69), en remplaçant chaque expression de limite non nulle par sa limite, et en remplaçant les expressions de limite nulle par leurs approximations d'ordre dominant (ici quadratiques) :

$$u + \operatorname{ch} x \simeq \frac{1}{2}(x^2 + y^2) \text{ avec } y \equiv \pi - \theta. \quad (\text{A1})$$

En omettant les facteurs numériques et autres contributions bornées (par exemple la partie élevée à la puissance s , de module un), nous obtenons la fonctionnelle moyenne de Ω

$$\langle \Omega \rangle = \frac{\int dx du \int dx' du' \frac{\Phi^*(x,u)\Phi(x',u')}{[(x^2+y^2)(x'^2+y'^2)]^{1/4}(x^2+y^2+x'^2+y'^2)}}{\int dx du |\Phi(x,u)|^2} \quad (\text{A2})$$

où les intégrales sont prises sur un voisinage de $(x,u) = (0,-1)$. Il est commode d'utiliser l'angle θ plutôt que $u = \cos \theta$ comme variable d'intégration, ce qui fait sortir un jacobien $\sin \theta \simeq y$; nous l'absorbons dans l'intégrale au dénominateur de l'Eq. (A2) avec le changement de fonction

$$\check{\Phi} = (\sin \theta)^{1/2} \Phi(x,u) \quad (\text{A3})$$

Un facteur $(\sin \theta \sin \theta')^{1/2} \simeq (yy')^{1/2}$ reste dans l'intégrande au numérateur. Nous limitons l'intégration sur (x,y) à la moitié supérieure $y > 0$ du disque $x^2+y^2 < 1$. Il est alors naturel de passer en coordonnées polaires :

$$(x,y) = (\rho \cos \phi, \rho \sin \phi) \quad (\text{A4})$$

de sorte que $x^2+y^2 = \rho^2$, $x'^2+y'^2 = \rho'^2$ et $(yy')^{1/2} = (\rho\rho')^{1/2}(\sin \phi \sin \phi')^{1/2}$. L'apparition des jacobiens ρ et ρ' dans les éléments $\rho d\rho$ et $\rho' d\rho'$ motive le changement de variable dans l'intégration radiale :

$$X = \rho^2 \text{ et } X' = \rho'^2. \quad (\text{A5})$$

Puis, en considérant $\check{\Phi}$ comme une fonction de X et ϕ , on obtient

$$\langle \Omega \rangle = \frac{\int_0^1 \frac{dX dX'}{X+X'} \int_0^\pi d\phi d\phi' (\sin \phi \sin \phi')^{1/2} \check{\Phi}^*(X,\phi) \check{\Phi}(X',\phi')}{2 \int_0^1 dX \int_0^\pi d\phi |\check{\Phi}(X,\phi)|^2} \quad (\text{A6})$$

Pour se débarrasser de l'angle polaire ϕ , on introduit

$$\Phi_a(X) \equiv \int_0^\pi d\phi (\sin \phi)^{1/2} \check{\Phi}(X,\phi) \quad (\text{A7})$$

afin que l'intégrale sur ϕ et ϕ' au numérateur de l'équation (A6) se réduise au produit $\Phi_a^*(X)\Phi_a(X')$. Dans ce numérateur, nous utilisons le fait que le module de l'intégrale sur X et X' est inférieur à l'intégrale du module, et que $\frac{1}{X+X'} \leq \frac{1}{(X^2+X'^2)^{1/2}}$. Au dénominateur

de l'Eq. (A6), à X fixé, on applique sur l'intervalle $\phi \in [0, \pi]$ l'inégalité de Cauchy-Schwarz $|\langle f|g \rangle|^2 \leq \langle f|f \rangle \langle g|g \rangle$ (en notation de Dirac) avec $f(\phi) = (\sin \phi)^{1/2}$ et $g(\phi) = \tilde{\Phi}(X, \phi)$; après intégration sur X de l'inégalité qui en résulte, on obtient :

$$\int_0^1 dX |\Phi_a(X)|^2 \leq 2 \int_0^1 dX \int_0^\pi d\phi |\tilde{\Phi}(X, \phi)|^2 \quad (\text{A8})$$

dont le second membre est le dénominateur de l'Eq. (A6). Nous arrivons à

$$|\langle \Omega \rangle| \leq \frac{\int_0^1 dX \int_0^1 dX' \frac{|\Phi_a(X)| |\Phi_a(X')|}{(X^2 + X'^2)^{1/2}}}{\int_0^1 dX |\Phi_a(X)|^2} \quad (\text{A9})$$

Nous passons à nouveau en coordonnées polaires

$$(X, X') = (r \cos \psi, r \sin \psi) \quad (\text{A10})$$

de manière à simplifier le facteur $\frac{1}{(X^2 + X'^2)^{1/2}} = \frac{1}{r}$ avec le jacobien et obtenir

$$|\langle \Omega \rangle| \leq \frac{\int_0^{\pi/2} d\psi \int_0^{R(\psi)} dr |\Phi_a(r \cos \psi)| |\Phi_a(r \sin \psi)|}{\int_0^1 dX |\Phi_a(X)|^2} \quad (\text{A11})$$

Le domaine d'intégration sur (X, X') étant le carré $[0, 1]^2$, ψ décrit $[0, \pi/2]$ et, à ψ fixé, r décrit $[0, R(\psi)]$ avec

$$R(\psi) = \min \left(\frac{1}{\cos \psi}, \frac{1}{\sin \psi} \right). \quad (\text{A12})$$

Dans l'intégrale sur r à ψ fixé, nous utilisons à nouveau l'inégalité de Cauchy-Schwarz sur l'intervalle $r \in [0, R(\psi)]$ avec $f(r) = |\Phi_a(r \cos \psi)|$ et $g(r) = |\Phi_a(r \sin \psi)|$:

$$\begin{aligned} & \int_0^{R(\psi)} dr |\Phi_a(r \cos \psi)| |\Phi_a(r \sin \psi)| \leq \\ & \left[\int_0^{R(\psi)} dr |\Phi_a(r \cos \psi)|^2 \right]^{1/2} \left[\int_0^{R(\psi)} dr |\Phi_a(r \sin \psi)|^2 \right]^{1/2} \end{aligned} \quad (\text{A13})$$

Dans le premier facteur au second membre de l'Eq. (A13), nous effectuons le changement de variable $X = r \cos \psi$, de sorte que

$$\begin{aligned} \int_0^{R(\psi)} dr |\Phi_a(r \cos \psi)|^2 &= \frac{1}{\cos \psi} \int_0^{R(\psi) \cos \psi} dX |\Phi_a(X)|^2 \\ &\leq \frac{1}{\cos \psi} \int_0^1 dX |\Phi_a(X)|^2 \end{aligned} \quad (\text{A14})$$

où nous avons utilisé $R(\psi) \cos \psi \leq 1$ et la positivité de $|\Phi_a|^2$. La dernière intégrale de l'équation (A14) n'est rien d'autre que le dénominateur du second membre de l'équation (A11)! Nous procédons de la même

manière pour le deuxième facteur au second membre de l'Eq. (A13), si ce n'est que $\cos \psi$ est remplacé par $\sin \psi$. Enfin, le dénominateur de l'Eq. (A11) se simplifie, de sorte que

$$|\langle \Omega \rangle| \leq \int_0^{\pi/2} \frac{d\psi}{(\cos \psi \sin \psi)^{1/2}} < +\infty \quad (\text{A15})$$

et le spectre de $M(s)$ est borné, lorsque $s \in i\mathbb{R}$.

Annexe B: Énoncer et tester une conjecture sur b_4

1. Le développement en amas

Considérons un gaz de fermions de spin 1/2 spatialement uniforme à l'équilibre thermique dans l'ensemble grand canonique à la limite thermodynamique, à la température T , et avec un potentiel chimique μ commun aux deux états internes puisque le gaz est non polarisé. Le développement bien connu en amas est un développement en série de la pression en puissances de la fugacité $z = \exp(\beta\mu)$ dans la limite non dégénérée $\mu \rightarrow -\infty$ pour une température T fixée, avec $\beta = 1/(k_B T)$ [45]. Pour notre gaz, on l'écrit en général comme

$$\frac{P\lambda^3}{k_B T} = 2 \sum_{n \geq 1} b_n z^n \quad (\text{B1})$$

où le facteur 2 global représente le nombre de composantes de spin et λ est la longueur d'onde thermique de de Broglie

$$\lambda = \left(\frac{2\pi\hbar^2}{mk_B T} \right)^{1/2} \quad (\text{B2})$$

Lorsqu'il est redéveloppé en puissances du petit paramètre de dégénérence $\rho\lambda^3$, où ρ est la densité totale, le développement en amas donne lieu au développement du viriel avec des coefficients du viriel a_n [45]. En pratique, on considère plutôt l'écart Δb_n de b_n à sa valeur pour le gaz parfait de fermions, c'est-à-dire (pour $n > 1$) au simple effet de la statistique de Fermi :

$$b_n = \frac{(-1)^{n+1}}{n^{5/2}} + \Delta b_n \quad (\text{B3})$$

Alors que le développement en amas a été étudiée depuis longtemps et que le second coefficient d'amas b_2 a été obtenu analytiquement dans la référence [46] ($b_1 = 1$ d'après la loi du gaz parfait), il y a un regain d'intérêt pour les coefficients d'amas d'ordre $n > 2$. Tout d'abord, le nouveau défi consiste à calculer les b_n pour une interaction résonnante dans l'onde s (avec une longueur de diffusion a beaucoup plus grande en valeur absolue que la portée de l'interaction), alors que les études précédentes se concentraient sur le modèle d'une interaction de sphère dure [47]. Deuxièmement, dans la limite

unitaire, les coefficients b_n ont été extraits jusqu'à l'ordre $n = 4$ d'une mesure de l'équation d'état des gaz d'atomes froids fermioniques [20, 21]. Les valeurs du quatrième coefficient d'amas obtenues indépendamment par ces deux références sont en accord :

$$\Delta b_4^{\text{ENS}} = 0,096(15) \quad \text{et} \quad \Delta b_4^{\text{MIT}} = 0,096(10) \quad (\text{B4})$$

2. Dans la limite unitaire

Pour des interactions de portée nulle avec une longueur de diffusion dans l'onde s infinie $a^{-1} = 0$, c'est-à-dire dans la limite unitaire, la méthode du régulateur harmonique utilisée dans [25], qui introduit un potentiel de piégeage harmonique isotrope, est assez efficace, en raison de la symétrie dynamique $\text{SO}(2, 1)$ résultant de l'invariance d'échelle [33, 48] et de la séparabilité subséquente de l'équation de Schrödinger en coordonnées hypersphériques [32, 38] dans le piège. La valeur de b_n peut être déduite des fonctions de partition canoniques, c'est-à-dire des spectres d'énergie, de tous les problèmes possibles à k corps dans le piège, avec $k \leq n$. On obtient le développement suivant du grand potentiel Ω du gaz à l'équilibre thermique dans le piège :

$$\frac{-\Omega}{k_B T Z_1} = \sum_{(n_\uparrow, n_\downarrow) \in \mathbb{N}^{2*}} B_{n_\uparrow, n_\downarrow}(\omega) z_\uparrow^{n_\uparrow} z_\downarrow^{n_\downarrow} \quad (\text{B5})$$

où Z_1 est la fonction de partition canonique pour une particule piégée, et il est commode à ce stade d'être général et d'introduire des potentiels chimiques indépendants μ_σ pour les différentes composantes de spin σ , de sorte que $z_\sigma = \exp(\beta \mu_\sigma)$. Ensuite, à partir de l'approximation d'homogénéité locale asymptotiquement exacte [26] (voir également [25]), et en introduisant également les écarts $\Delta B_{n_\uparrow, n_\downarrow}(\omega)$ de $B_{n_\uparrow, n_\downarrow}(\omega)$ à leurs valeurs [74] dans le gaz parfait de fermions, on obtient

$$2\Delta b_n = n^{3/2} \sum_{n_\uparrow=1}^{n-1} \Delta B_{n_\uparrow, n_\downarrow=n-n_\uparrow}(0^+) \quad (\text{B6})$$

où $\Delta B(0^+) = \lim_{\omega \rightarrow 0^+} \Delta B(\omega)$ et où nous avons pu restreindre la somme à $n_\sigma \neq 0$, $\sigma = \uparrow, \downarrow$, puisque les configurations entièrement polarisées n'interagissent pas et ont des écarts nuls au gaz parfait.

Pour $n = 3$, en étendant aux fermions la technique initialement développée pour les bosons [28], l'expression analytique suivante a été obtenue [29] [75] :

$$\Delta B_{2,1}(0^+) = \sum_{\ell \in \mathbb{N}} \left(\ell + \frac{1}{2} \right) \int_0^{+\infty} \frac{dS}{\pi} S \frac{d}{dS} [\ln \Lambda_l(iS, \alpha)] \quad (\text{B7})$$

où la fonction Λ_l est donnée par l'Eq. (78), et le rapport de masse entre les composantes de spins opposés α est égal à un (si bien que $\Delta B_{2,1} = \Delta B_{1,2}$). Ceci donne

$$\Delta b_3 \simeq -0,355103 \quad (\text{B8})$$

en accord avec les études numériques antérieures [26, 27] et les valeurs expérimentales [20].

Pour $n = 4$, le problème reste ouvert. Une tentative numérique [30], avec calcul direct du spectre d'énergie à 4 corps à la limite unitaire dans le piège, a donné la valeur

$$\Delta b_4^{\text{Blume}} = -0,016(4) \quad (\text{B9})$$

Le désaccord avec les résultats expérimentaux (B4) est attribué aux incertitudes dans l'extrapolation à $\omega \rightarrow 0$ des valeurs numériques de $\Delta B_{n_\uparrow, n_\downarrow}(\omega)$, en pratique accessibles seulement pour $\hbar\omega \gtrsim k_B T$. Une théorie diagrammatique approchée [24] (gardant même dans la limite unitaire seulement les diagrammes qui ont une contribution dominante dans le régime perturbatif d'une grande portée effective ou d'une petite longueur de diffusion) donne une estimation plus proche des valeurs expérimentales (B4),

$$\Delta b_4^{\text{Levinson}} \approx 0,06 \quad (\text{B10})$$

L'extension de la méthode analytique de la référence [28] au problème à quatre corps fermionique est techniquement difficile et sort du cadre du présent travail. Au contraire, il est raisonnable ici de proposer et de tester une transposition heuristique directe de l'Eq. (B7) : la fonction transcendante $\Lambda_l(s)$ du problème à trois corps est formellement remplacée par $\det M^{(\ell)}(s)$ pour le problème à quatre corps, où \det est le déterminant et l'opérateur $M^{(\ell)}(s)$, agissant sur les fonctions spinorielles $\Phi_{m_z}^{(\ell)}(x, u)$ comme au second membre de l'Eq. (68), a été introduit et discuté spectralement dans la section IV B pour le problème à $2 + 2$ fermions, et a une expression correspondante connue pour le problème à $3 + 1$ fermions, voir l'Eq. (14) de la référence [13]. En effet, dans les deux cas, les exposants d'échelle s (imaginaires purs dans les voies effimovielles, réels sinon) autorisés par l'équation de Schrödinger dans le modèle de Wigner-Bethe-Peierls à la limite unitaire sont tels que $\Lambda_l(s) = 0$ pour $n = 3$, ou tels que l'Eq. (68) a une solution non nulle $\Phi_{m_z}^{(\ell)}(x, u)$, c'est-à-dire $M^{(\ell)}(s)$ admet une valeur propre nulle. D'où notre conjecture :

$$\begin{aligned} \Delta B_{n_\uparrow, n_\downarrow}^{\text{conj}}(0^+) &= \sum_{\ell \in \mathbb{N}} \left(\ell + \frac{1}{2} \right) \\ &\times \int_0^{+\infty} \frac{dS}{\pi} S \frac{d}{dS} [\ln \det M_{n_\uparrow, n_\downarrow}^{(\ell)}(iS)] \end{aligned} \quad (\text{B11})$$

avec $(n_\uparrow, n_\downarrow) \in \{(1, 3), (2, 2), (3, 1)\}$ et $M_{n_\uparrow, n_\downarrow}^{(\ell)}$ est l'opérateur $M^{(\ell)}$ pour le problème à quatre corps avec n_σ particules dans chaque composante de spin σ .

3. Existence de la dérivée logarithmique du déterminant

La conjecture (B11) n'est pas aussi innocente qu'il y paraît à première vue. La difficulté est que $M^{(\ell)}$ est en

fait un opérateur, et non une matrice de taille finie : il admet un spectre continu, constituant un ensemble infini et dense de “valeurs propres” ; même son spectre discret peut présenter des points d’accumulation, conduisant à un nombre infini mais dénombrable de valeurs propres. En d’autres termes, le déterminant de $M^{(\ell)}(iS)$ n’est pas fini. Numériquement, comme nous l’avons déjà fait dans la section V, on tronque bien sûr la variable non bornée x à l’intervalle compact $[-x_{\max}, x_{\max}]$, ce qui revient à imposer les conditions aux limites sur le spinor :

$$\Phi_{m_z}^{(\ell)}(x = \pm x_{\max}, u) = 0 \quad \forall u \in [-1, 1], \forall m_z \in \{-\ell, \dots, \ell\} \quad (\text{B12})$$

Après discréétisation des variables x et u , $M^{(\ell)}(iS)$ est alors remplacé par une matrice, avec un déterminant bien défini ; il reste encore à savoir s’il y a convergence de l’intégrande vers une limite finie dans l’Eq. (B11) lorsque $x_{\max} \rightarrow +\infty$. Comme nous le voyons maintenant, la réponse est positive.

Le point clé est que ce qui apparaît dans l’intégrande de l’Eq. (B11) n’est pas le déterminant lui-même, mais plutôt sa dérivée logarithmique, qui peut être écrite comme

$$\frac{d}{dS} \ln \det M^{(\ell)}(iS) = \text{Tr} \left\{ [M^{(\ell)}(iS)]^{-1} \frac{d}{dS} M^{(\ell)}(iS) \right\} \quad (\text{B13})$$

où Tr est la trace et M^{-1} l’inverse de M .

Parité $(-1)^{\ell+1}$: dans le secteur de parité $(-1)^{\ell+1}$, le spectre de $M^{(\ell)}(iS)$ est à une distance non nulle de 0 pour un rapport de masse $\alpha = 1$, car il n’y a pas d’effet Efimov à 4 corps, voir la Fig. 3. L’inverse de $M^{(\ell)}(iS)$ est donc bien défini. De plus, l’opérateur $M^{(\ell)}(iS)$ est local dans la base des x , au sens où les éléments de matrice hors de la diagonale de l’opérateur $\mathcal{D}^{-1/2} K^{(\ell)} \mathcal{D}^{-1/2}$ sont des fonctions à décroissance rapide de $|x - x'|$, par exemple il existe une constante $A^{(\ell)}$ telle que

$$\frac{|\langle x, u, \ell, m_z | K^{(\ell)}(iS) | x', u', \ell, m'_z \rangle|}{[d(x, u)d(x', u')]^{1/2}} \leq \frac{A^{(\ell)}}{\text{ch}(x - x')} \quad (\text{B14})$$

pour tous les x, x', u, u' et tous les m_z, m'_z de parité opposée à ℓ , et pour tout $S \in \mathbb{R}$. Ici, nous avons utilisé la notation de Dirac et distingué comme dans l’Eq. (68) une partie diagonale et une partie noyau,

$$M^{(\ell)}(iS) = \mathcal{D} + K^{(\ell)}(iS) \quad (\text{B15})$$

où l’opérateur \mathcal{D} est positif et défini par la fonction élément diagonal $d(x, u)$,

$$\mathcal{D}|x, u, \ell, m_z\rangle = d(x, u)|x, u, \ell, m_z\rangle \quad \text{avec}$$

$$d(x, u) = \left[\frac{\alpha}{(1+\alpha)^2} \left(1 + \frac{u}{\text{ch } x} \right) + \frac{e^{-x} + \alpha e^x}{2(\alpha+1) \text{ch } x} \right]^{1/2} \quad (\text{B16})$$

Cette localité est apparente pour les deux premières contributions du second membre de l’Eq. (69) : chaque contribution est bornée, et est en accord avec l’Eq. (B14)

aux quatre infinis $(x, x') = (\pm\infty, \pm\infty)$ (voir le raisonnement dans la section IV B). Nous nous attendons alors à ce que l’inverse de $M^{(\ell)}(iS)$, qui peut être écrit comme

$$[M^{(\ell)}(iS)]^{-1} = \mathcal{D}^{-1} + K_{\text{inv}}^{(\ell)}(iS) \quad (\text{B17})$$

soit aussi local, à partir du développement en série géométrique :

$$\begin{aligned} (\mathcal{D} + K)^{-1} &= \mathcal{D}^{-1/2} (1 + \mathcal{D}^{-1/2} K \mathcal{D}^{-1/2})^{-1} \mathcal{D}^{-1/2} \\ &= \mathcal{D}^{-1} + \mathcal{D}^{-1/2} \sum_{n \geq 1} (-1)^n (\mathcal{D}^{-1/2} K \mathcal{D}^{-1/2})^n \mathcal{D}^{-1/2} \end{aligned} \quad (\text{B18})$$

chaque terme de la série étant local (pour simplifier, nous omettons d’écrire l’exposant (ℓ) et l’argument iS). Ceci est bien sûr valable si l’opérateur $\mathcal{D}^{-1/2} K \mathcal{D}^{-1/2}$ est suffisamment petit. Pour $\ell = 1$ dans le problème à $2+2$ fermions, ceci peut être rendu rigoureux : la meilleure constante dans l’Eq. (B14) est

$$A = \frac{2(2 - \sqrt{3})}{3\pi} \simeq 0,05686 \quad (\text{B19})$$

Alors [76]

$$\frac{|\langle x, u, \ell = 1, m_z = 0 | K_{\text{inv}}^{(\ell=1)}(iS) | x', u', \ell = 1, m'_z = 0 \rangle|}{[d(x, u)d(x', u')]^{-1/2}} \leq \frac{2A}{\sqrt{1 - (2\pi A)^2}} \frac{\text{sh}(\frac{2\delta}{\pi}|x - x'|)}{\text{sh}(2|x - x'|)} \quad (\text{B20})$$

avec $\delta = \arccos(-2\pi A) \in]\pi/2, \pi[$.

Cette localité n’est en elle-même pas suffisante pour assurer la convergence de la trace dans l’Eq. (B13). En rendant la trace explicite dans cette équation et en injectant une relation de fermeture, on aboutit à l’écriture

$$\begin{aligned} \frac{d}{dS} \ln \det M^{(\ell)}(iS) &= \int_{\mathbb{R}} dx dx' \int_{-1}^1 du du' \sum_{m_z, m'_z}^{(-1)^{\ell+1}} \\ &\quad \langle x, u, \ell, m_z | [M^{(\ell)}(iS)]^{-1} | x', u', \ell, m'_z \rangle \\ &\quad \times \langle x', u', \ell, m'_z | \frac{d}{dS} M^{(\ell)}(iS) | x, u, \ell, m_z \rangle \end{aligned} \quad (\text{B21})$$

où la somme est restreinte à m_z et m'_z de parité opposée à celle de ℓ comme l’indique l’exposant $(-1)^{\ell+1}$. La localité de $M(iS)^{-1}$, et même de $\frac{d}{dS} M(iS)$, limite exponentiellement l’excursion de $|x - x'|$ dans l’intégrale sur x' , mais il reste encore l’intégrale sur la variable non bornée x . Il faut profiter de la structure de $K(iS)$ et de sa dérivée : en décomposant

$$K(iS) = K_1(iS) + K_2(iS), \quad (\text{B22})$$

où K_1 et K_2 correspondent respectivement au premier terme et au second terme du second membre de l’Eq. (69), on trouve

$$\frac{d}{dS} K(iS) = i[D_1, K_1(iS)] + i[D_2, K_2(iS)] \quad (\text{B23})$$

où $[A, B] = AB - BA$ est le commutateur de deux opérateurs et les opérateurs diagonaux D_j sont définis par les fonctions diagonales suivantes

$$d_1(x) = \frac{1}{2} \ln \frac{e^{+x}}{2 \operatorname{ch} x} \quad (\text{B24})$$

$$d_2(x) = \frac{1}{2} \ln \frac{e^{-x}}{2 \operatorname{ch} x} \quad (\text{B25})$$

telles que

$$D_j |x, u, \ell, m_z\rangle = d_j(x) |x, u, \ell, m_z\rangle \quad (\text{B26})$$

Il est clair que le terme diagonal \mathcal{D}^{-1} dans M^{-1} , voir l'Eq. (B17), a une contribution nulle à la trace, puisque $[\mathcal{D}, D_j] = 0$. L'équation (B21) est réécrite en conséquence comme suit :

$$\begin{aligned} \frac{d}{dS} \ln \det M^{(\ell)}(iS) &= \int_{\mathbb{R}} dx dx' \int_{-1}^1 du du' \sum_{m_z, m'_z}^{(-1)^{\ell+1}} \\ &\langle x, u, \ell, m_z | K_{\text{inv}}^{(\ell)}(iS) | x', u', \ell, m'_z \rangle \\ &\times \sum_{j=1}^2 i[d_j(x') - d_j(x)] \langle x', u', \ell, m'_z | K_j^{(\ell)}(iS) | x, u, \ell, m_z \rangle \end{aligned} \quad (\text{B27})$$

Alors $d_1(x)$ tend exponentiellement rapidement vers 0 lorsque $x \rightarrow +\infty$, mais diverge linéairement avec x lorsque $x \rightarrow -\infty$; le contraire est vrai pour $d_2(x)$. Une deuxième propriété est qu'il existe une constante B telle que

$$\begin{aligned} |\langle x, u, \ell, m_z | K_1(iS) | x', u', \ell, m'_z \rangle| &\leq \\ &\left(\frac{e^{+x+x'}}{4 \operatorname{ch} x \operatorname{ch} x'} \right)^{1/4} \frac{B}{\operatorname{ch}(x-x')} \end{aligned} \quad (\text{B28})$$

$$\begin{aligned} |\langle x, u, \ell, m_z | K_2(iS) | x', u', \ell, m'_z \rangle| &\leq \\ &\left(\frac{e^{-x-x'}}{4 \operatorname{ch} x \operatorname{ch} x'} \right)^{1/4} \frac{B}{\operatorname{ch}(x-x')} \end{aligned} \quad (\text{B29})$$

Ceci est dû au fait, évident sur les équations (59,60), que le dénominateur de l'intégrale sur ϕ dans l'équation (69) est toujours plus grand que $(\mu_{\downarrow\downarrow}/m_{\uparrow}) \operatorname{ch}(x-x')$. Ensuite, pour $|x-x'| = O(1)$, le majorant des éléments de la matrice de K_1 (respectivement K_2) tend exponentiellement vite vers 0 quand $x \rightarrow -\infty$ (respectivement $x \rightarrow +\infty$), à cause du premier facteur dans les Eqs. (B28,B29), ce qui écrase la divergence linéaire de $d_1(x)$ (respectivement $d_2(x)$). Alors l'intégrale sur x et x' dans la trace converge exponentiellement rapidement à l'infini, la dérivée logarithmique du déterminant de $M^{(\ell)}(iS)$ dans le secteur de parité $(-1)^{\ell+1}$ est bien définie [77] et sa valeur peut être calculée avec une erreur décroissant rapidement avec la troncature x_{\max} quand $x_{\max} \rightarrow +\infty$. Les résultats

numériques confirment cette conclusion et indiquent que la valeur étonnamment faible $x_{\max} = 5$ est suffisante.

Parité $(-1)^\ell$. La situation est physiquement très différente dans le secteur de parité $(-1)^\ell$, du moins pour ℓ pair : la troisième contribution dans l'Eq. (69) est non nulle, et elle conduit à une partie continue dans le spectre de $M^{(\ell)}(iS)$ qui atteint zéro pour ℓ pair, voir l'Eq. (84). Alors le spectre de l'inverse $[M^{(\ell)}(iS)]^{-1}$ n'est plus borné, et ses éléments de matrice ne sont pas bornés même si on utilise la représentation optimale (t, ψ) dans laquelle les éléments de matrice de $M^{(\ell)}(iS)$ sont bornés, voir l'Eq. (92), lorsque la troncature inférieure t_{\min} sur la variable t tend vers $-\infty$. Alors, comme nous le verrons, il n'y a pas de localité exponentielle dans la base t , mais la dérivée logarithmique du déterminant de $M^{(\ell)}(iS)$ a une limite finie lorsque $t_{\min} \rightarrow -\infty$, qui est approchée avec une erreur tendant vers zéro linéairement en $1/t_{\min}$.

Pour établir cette propriété, une analyse spectrale ou dans l'"espace de Fourier" est plus appropriée que l'analyse dans l'espace "réel" du cas de parité précédent. Après le changement de jauge et le changement de fonctions effectués dans les Eqs. (86,89,91), la partie asymptotique $t \rightarrow -\infty$ des états propres de $M^{(\ell)}(iS)$ du continuum (84) peut être écrite comme

$$\phi_k(t) = e^{ikt} - e^{i\theta(k, S)} e^{-ikt}, \quad k > 0 \quad (\text{B30})$$

voir Fig. 6. Les ondes planes e^{ikt} et e^{-ikt} sont en effet deux solutions linéairement indépendantes du problème aux valeurs propres (92) avec

$$\Omega = \Omega_k = \frac{1}{\sqrt{2}} \left[1 - \frac{1}{\operatorname{ch}(k\pi/2)} \right] \quad (\text{B31})$$

[voir l'Eq. (84), ici ℓ est pair]. La bonne solution est une superposition particulière de ces deux solutions dégénérées, avec une amplitude relative déterminée par la physique en $t = O(1)$, c'est-à-dire pour (x, u) pas extrêmement proche de $(0, -1)$. Analytiquement la valeur de cette amplitude relative est une fonction inconnue de k et S , mais nous savons qu'elle doit être de module un, de sorte que nous pouvons l'exprimer comme dans l'Eq. (B30) en termes d'un simple déphasage $\theta(k, S) \in \mathbb{R}$: (i) l'"hamiltonien" $M^{(\ell)}(iS)$ du spinor est hermitien, donc l'opérateur d'évolution correspondant est unitaire et conserve la probabilité, (ii) le troisième continuum (84) n'est pas dégénéré avec les autres continus pour le rapport de masse considéré $\alpha = 1$, donc l'onde e^{ikt} entrante venant de $t = -\infty$ n'a pas de voie pour s'échapper et doit ressortir entièrement par la voie entrante.

La propriété clé que nous utiliserons est que, comme il est courant dans les problèmes de diffusion unidimensionnelle, le déphasage $\theta(k, S)$ tend vers zéro linéairement à faible k :

$$\theta(k, S) \underset{k \rightarrow 0}{=} kb(S) + o(k) \quad (\text{B32})$$

où $b(S)$ est une longueur de diffusion effective dépendant de S . Nous présentons deux arguments plausibles pour

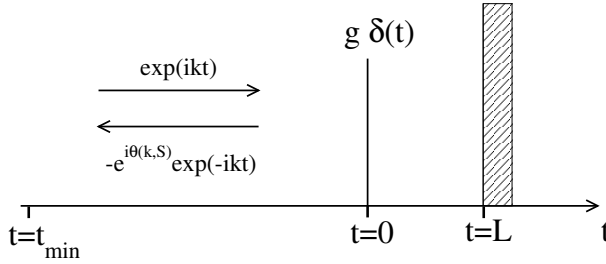


FIGURE 6: Diagramme donnant la structure des états propres du troisième continuum (84), en termes de la variable t de l'Eq. (91) : $k > 0$ est le vecteur d'onde de l'onde entrante, $-k$ celui de l'onde réfléchie avec un déphasage $\theta(k, S)$. La réflexion due à la physique en $t = O(1)$ est, dans un modèle jouet, représentée par un potentiel de diffusion de Dirac en $t = 0$ et un mur infini agissant comme un miroir en $t = L$; le modèle jouet justifie, en le reproduisant, le comportement attendu (B32) de $\theta(k, S)$ à faible k .

l'établir. Le premier argument résulte de l'hypothèse que l'écriture (B30) peut être étendue de manière lisse de $k > 0$ à $k < 0$: ceci implique que si l'on remplace directement k par $-k$ dans l'Eq. (B30), l'onde résultante $t \mapsto e^{-ikt} - e^{i\theta(-k,S)} e^{ikt}$ doit reproduire la solution physique $e^{ikt} - e^{i\theta(k,S)} e^{-ikt}$ à un facteur de phase global près, de sorte que $e^{i\theta(k,S)} = e^{-i\theta(-k,S)}$ et il existe un entier q tel que

$$-\theta(-k, S) = \theta(k, S) + 2q\pi \quad (\text{B33})$$

Le fait que, à une dimension, les ondes d'énergie arbitrairement faible sont génériquement entièrement rétroréfléchies (peu importe à quel point le potentiel de diffusion est faible, pourvu qu'il soit non nul) conduit à $\theta(k, S) \rightarrow 0$ pour $k \rightarrow 0$ et à $q = 0$ dans l'Eq. (B33) ; alors si $\theta(k, S)$ est une fonction lisse de k , l'équation (B32) s'applique. Le deuxième argument utilise un certain modèle pour le potentiel de diffusion dans la région $t = O(1)$, en introduisant à dessein les potentiels les plus singuliers, voir Fig. 6 : un centre de diffusion ponctuel fixe de constante de couplage $g = \hbar^2/(2m_{\text{eff}}a)$ placé en $t = 0$ à une distance L d'un mur infini (le deuxième élément agit comme un miroir et assure que l'onde est entièrement réfléchie à toutes les énergies). À faible k , la relation de dispersion Ω_k peut être quadratrisée, $\Omega_k \approx \hbar^2 k^2/(2m_{\text{eff}})$ avec $m_{\text{eff}} > 0$, conduisant à une équation de Schrödinger effective et à un problème de diffusion, de sorte qu'à S fixé,

$$e^{i\theta(k)} = \frac{(ka)^{-1} + (\tan kL)^{-1} + i}{(ka)^{-1} + (\tan kL)^{-1} - i} \quad (\text{B34})$$

Le déphasage $\theta(k, S)$ est donc effectivement une fonction impaire de k , et à faible k on obtient bien la loi linéaire (B32) avec $2/b(S) = 1/a(S) + 1/L(S)$.

Ensuite, la propriété (B32) permet de conclure que la dérivée logarithmique du déterminant de $M^{(\ell)}(iS)$ a une limite finie lorsque la troncature inférieure t_{\min} tend vers $-\infty$, comme nous le voyons maintenant. De

même que pour l'Eq. (B12), l'existence de cette troncature inférieure correspond à la condition aux limites

$$\phi(t_{\min}) = 0 \quad (\text{B35})$$

ce qui, au vu de l'équation (B30), conduit à la condition de quantification de k [78] :

$$2k|t_{\min}| + \theta(k, S) = 2n\pi, \quad \forall n \in \mathbb{N}^* \quad (\text{B36})$$

Alors la contribution des valeurs propres correspondantes à la dérivée logarithmique du déterminant est

$$\frac{d}{dS} \ln \det M^{(\ell)}(iS)|_{\odot} = \sum_{n>0} \frac{d}{dS} \ln \Omega_k = \sum_{n>0} \Omega_k^{-1} \frac{d\Omega_k}{dk} \frac{dk}{dS} \quad (\text{B37})$$

En prenant la dérivée de l'Eq. (B36) par rapport à S à n fixé, on obtient

$$\frac{dk}{dS} = -\frac{\partial_S \theta(k, S)}{2|t_{\min}| + \partial_k \theta(k, S)} \quad (\text{B38})$$

Dans la limite d'un grand $|t_{\min}|$, on peut négliger $\partial_k \theta(k, S)$ au dénominateur et on peut remplacer dans l'Eq. (B37) la somme sur n par une intégrale $\int dn$. D'après l'Eq. (B36),

$$2 \frac{dk}{dn} |t_{\min}| \xrightarrow[t_{\min} \rightarrow -\infty]{} 2\pi \quad (\text{B39})$$

donc

$$\frac{d}{dS} \ln \det M^{(\ell)}(iS)|_{\odot} \xrightarrow[t_{\min} \rightarrow -\infty]{} - \int_0^{+\infty} \frac{dk}{2\pi} \frac{1}{\Omega_k} \frac{d\Omega_k}{dk} \partial_S \theta(k, S) \quad (\text{B40})$$

Cette intégrale est finie même si Ω_k s'annule quadratiquement en $k = 0$, c'est-à-dire qu'elle échappe à la divergence logarithmique naïvement attendue, car le déphasage $\theta(k, S)$, et donc sa dérivée par rapport à S , s'annulent linéairement en k .

Ce point central étant établi, il reste un problème pratique, la vitesse de convergence avec $|t_{\min}|$. La réponse est fournie par la formule sommatoire de Poisson :

$$\sum_{n \in \mathbb{Z}} f(\lambda n) = \frac{1}{\lambda} \sum_{n \in \mathbb{Z}} \hat{f}(2\pi n/\lambda) \quad (\text{B41})$$

pour tout $\lambda > 0$ et pour une fonction arbitraire $f(k)$, $\hat{f}(x) = \int_{\mathbb{R}} dk \exp(-ikx)f(k)$ étant sa transformée de Fourier. Pour simplifier, nous donnons des détails dans le cas où $\theta(k, S)$ est linéaire en k pour tout k , c'est-à-dire $\theta(k, S) = kb(S)$. D'après la condition de quantification (B36), on a

$$k = \lambda n \quad \text{avec} \quad \lambda = \frac{2\pi}{2|t_{\min}| + b(S)} \quad (\text{B42})$$

de sorte que

$$\frac{dk}{dS} = -\frac{db(S)}{dS} \frac{\lambda}{2\pi} k \quad (\text{B43})$$

Ceci, avec les Eqs. (B37), conduit à une fonction f donnée par

$$f(k) = \frac{k \frac{db(S)}{dS}}{\Omega_k} \frac{d\Omega_k}{dk} \quad (\text{B44})$$

telle que

$$\frac{d}{dS} \ln \det M^{(\ell)}(iS)|_{\odot} = -\frac{\lambda}{2\pi} \sum_{n>0} f(\lambda n) \quad (\text{B45})$$

Puis, en utilisant le fait que la fonction f est paire, on peut exprimer la somme sur \mathbb{N}^* en termes de la somme sur \mathbb{Z} , puis en termes de $f(0)$ et \hat{f} :

$$\begin{aligned} \sum_{n>0} f(\lambda n) &= -\frac{1}{2}f(0) + \frac{1}{2} \sum_{n \in \mathbb{Z}} f(\lambda n) \\ &= -\frac{1}{2}f(0) + \frac{1}{2\lambda} \sum_{n \in \mathbb{Z}} \hat{f}(2\pi n/\lambda) \end{aligned} \quad (\text{B46})$$

La fonction f est une fonction lisse de k , en particulier en $k = 0$, qui décroît rapidement à l'infini, de sorte que sa transformée de Fourier $\hat{f}(q)$ est également à décroissance rapide lorsque $|q| \rightarrow +\infty$. Dans la limite d'un grand $|t_{\min}|$, $1/\lambda$ diverge linéairement en $|t_{\min}|$ et on commet une erreur exponentiellement petite $O[\exp(-C|t_{\min}|)]$ (C est une constante) en négligeant les termes $n \neq 0$ dans la dernière somme sur n dans l'Eq. (B46). Par conséquent,

$$\begin{aligned} \frac{d}{dS} \ln \det M^{(\ell)}(iS)|_{\odot} \Big|_{t_{\min} \rightarrow -\infty} &= -\frac{1}{2\pi} \int_0^{+\infty} dk \frac{k \frac{db(S)}{dS}}{\Omega_k} \frac{d\Omega_k}{dk} \\ &\quad + \frac{\frac{db(S)}{dS}}{2|t_{\min}| + b(S)} + O[\exp(-C|t_{\min}|)] \end{aligned} \quad (\text{B47})$$

où nous avons remplacé λ , $f(0)$ et $\hat{f}(0)$ par leurs valeurs explicites. Lorsque $\theta(k, S)$ n'est pas une fonction linéaire de k , on obtient le résultat général

$$\begin{aligned} \frac{d}{dS} \ln \det M^{(\ell)}(iS)|_{\odot} \Big|_{t_{\min} \rightarrow -\infty} &= -\frac{1}{2\pi} \int_0^{+\infty} dk \frac{\partial_S \theta(k, S)}{\Omega_k} \frac{d\Omega_k}{dk} \\ &\quad + \lim_{k \rightarrow 0} \frac{\frac{1}{2} \frac{d\Omega_k}{dk} \partial_S \theta(k, S)}{\Omega_k [2|t_{\min}| + \partial_k \theta(k, S)]} + O[\exp(-C|t_{\min}|)] \end{aligned} \quad (\text{B48})$$

Dans tous les cas, lorsque $t_{\min} \rightarrow -\infty$, la valeur limite de la dérivée logarithmique du déterminant de $M^{(\ell)}(iS)$ est approchée avec une erreur qui ne tend vers zéro que polynomialement en $1/t_{\min}$ [79].

Au contraire, si la relation de dispersion Ω_k ne tend nulle part vers zéro, comme pour un ℓ impair dans le secteur de parité $(-1)^\ell$, le terme $\lim_{k \rightarrow 0}$ du second membre de l'Eq. (B48) est nul et la convergence de la dérivée logarithmique du déterminant est exponentiellement rapide avec $|t_{\min}|$, comme cela a également été observé numériquement ; cette dernière situation est alors similaire à la convergence exponentiellement rapide de $\frac{d}{dS} \ln \det M^{(\ell)}(iS)$ lorsque $x_{\max} \rightarrow +\infty$, qui est toujours réalisée pour les continuums (77,81), même lorsque le troisième terme dans l'Eq. (69) est non nul.

4. Autres problèmes de convergence

Pour montrer que les valeurs conjecturées (B11) sont finies, il faut également vérifier que l'intégrale sur S est convergente à l'infini, et que la somme sur les moments cinétiques ℓ est convergente. C'est ce que nous avons d'abord exploré numériquement. Premièrement, à un moment cinétique donné ℓ , nous avons trouvé que la dérivée logarithmique du déterminant de $M^{(\ell)}(iS)$ décroît rapidement lorsque $S \rightarrow +\infty$, vraisemblablement de façon exponentielle, voir Fig. 7(a). Deuxièmement, après intégration sur S , on observe également une convergence rapide de la somme sur ℓ , voir Fig. 7(b), si l'on prend la précaution d'être suffisamment précis dans la discrétisation de l'intégrale sur u [80].

Ces résultats numériques suggèrent que la contribution de moment cinétique ℓ à $\Delta B_{2,2}^{\text{conj}}(0^+)$ et à $\Delta B_{3,1}^{\text{conj}}(0^+)$ peut être obtenue, lorsque ℓ est assez grand, à partir d'un calcul perturbatif dans l'Eq. (B13), limité à l'ordre dominant dans les opérateurs $K_j^{(\ell)}$ définis par les Eq. (B15,B22), au moins pour le problème 2+2 dans le secteur de parité $(-1)^{\ell+1}$ où K_{inv} dans l'Eq. (B17) a une chance d'être borné. Cette idée a été mise en œuvre avec succès au niveau des trois corps dans la référence [28], en traitant le terme intégral dans l'Eq. (78) comme une perturbation du terme constant [81].

Appliquons cette idée au problème 2+2, dans le secteur de parité $(-1)^{\ell+1}$ du sous-espace de moment cinétique ℓ . Nous tronquons l'Eq. (B18) à l'ordre un en l'opérateur K , pour obtenir

$$\frac{d}{dS} \ln \det M \simeq \text{Tr} \left[(\mathcal{D}^{-1} - \mathcal{D}^{-1} K \mathcal{D}^{-1}) \frac{d}{dS} K \right] \quad (\text{B49})$$

Puis nous décomposons K comme dans l'Eq. (B22) et nous utilisons la structure de commutateur (B23). En utilisant l'invariance de la trace dans une permutation circulaire et le fait que les opérateurs diagonaux \mathcal{D} de l'Eq. (B16) et D_j de l'Eq. (B26) commutent, nous trouvons que seules les contributions quadratiques croisées dans K_1 et K_2 survivent, de sorte que

$$\begin{aligned} \frac{d}{dS} \ln \det M &\simeq \text{Tr} \left[-\mathcal{D}^{-1} K_1 \mathcal{D}^{-1} \frac{d}{dS} K_2 - (1 \leftrightarrow 2) \right] \\ &= \frac{d}{dS} \text{Tr} (-\mathcal{D}^{-1} K_1 \mathcal{D}^{-1} K_2) \end{aligned} \quad (\text{B50})$$

En intégrant par parties dans l'Eq. (B11) et en utilisant le fait que l'intégrande est une fonction paire de S , nous obtenons l'approximation

$$\int_0^{+\infty} \frac{dS}{\pi} S \frac{d}{dS} \ln \det M \simeq \int_{\mathbb{R}} \frac{dS}{2\pi} \text{Tr} (\mathcal{D}^{-1} K_1 \mathcal{D}^{-1} K_2) \quad (\text{B51})$$

En calculant la trace dans la base $|x, u, \ell, m_z\rangle$ (avec $\ell+m_z$ impair) et en injectant une relation de fermeture dans cette base comme par exemple dans l'Eq. (B21), nous réalisons que l'intégrande a une dépendance en S très

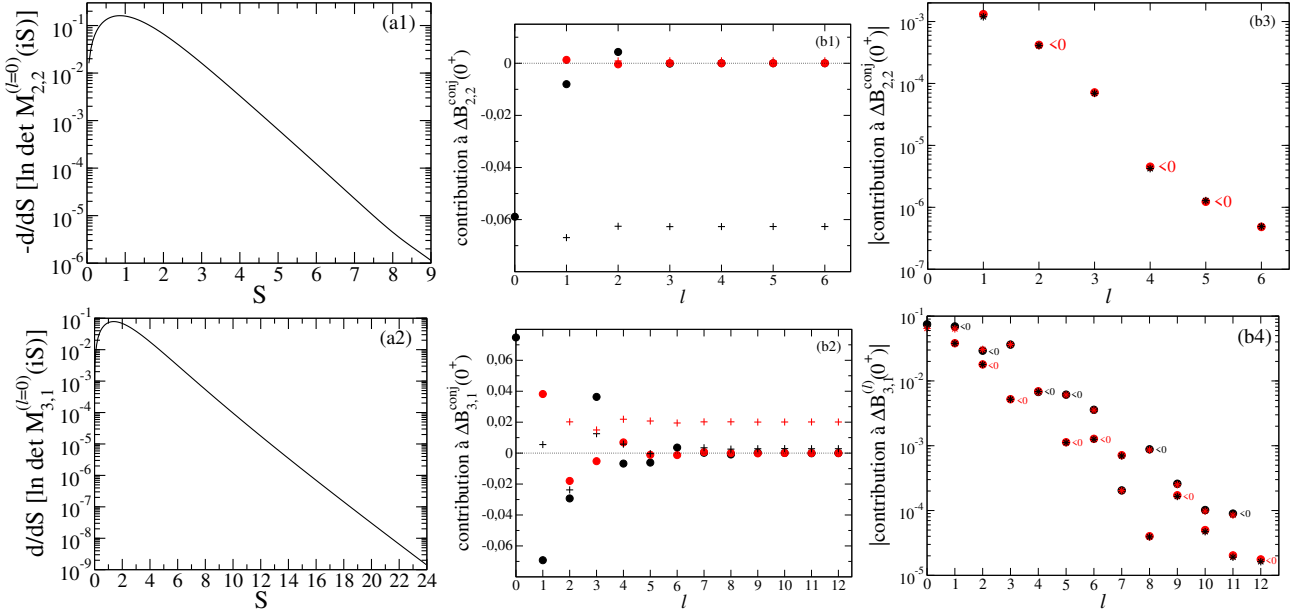


FIGURE 7: Convergence dans l'intégration sur S et la sommation sur ℓ dans l'Eq. (B11) (pour un rapport de masse $\alpha = 1$). (a) La dérivée logarithmique du déterminant de $M^{(\ell)}(iS)$ est une fonction de S à décroissance rapide; la figure prend comme exemple (a1) la voie $\ell = 0$ du problème à $2 + 2$ fermions (pour une troncature numérique $t_{\min} = -9$, donc sans extrapolation; noter le signe moins sur l'axe vertical), (a2) la voie $\ell = 0$ du problème à $3 + 1$ fermions. (b) La somme sur ℓ semble aussi bien converger, voir la contribution de chaque voie de moment cinétique au résultat (B11) pour (b1) le problème $2 + 2$ et (b2) le problème $3 + 1$: disques noirs pour le secteur de parité $(-1)^\ell$, disques rouges pour le secteur de parité $(-1)^{\ell+1}$; les signes plus indiquent la valeur des sommes jusqu'à ℓ correspondantes. Des indications convaincantes sont même montrées en (b3) pour le problème $2 + 2$ dans le secteur de parité $(-1)^{\ell+1}$ et en (b4) pour le problème $3 + 1$ dans les deux secteurs de parité, où les résultats numériques (disques noirs pour la parité $(-1)^\ell$, disques rouges pour la parité $(-1)^{\ell+1}$) sont comparés aux résultats perturbatifs (B54) et (B60) [astérisques rouges pour la parité $(-1)^\ell$, astérisques noirs pour la parité $(-1)^{\ell+1}$] qui étendent à quatre corps une technique développée pour trois corps dans la référence [28] et sont censés être des équivalents asymptotiques exacts pour $\ell \rightarrow +\infty$ (on représente en fait la valeur absolue des résultats, pour pouvoir passer en échelle logarithmique, mais leur signe est indiqué par l'étiquette “ < 0 ” de la même couleur que les disques correspondants lorsqu'ils sont négatifs : ainsi, les disques noirs (rouges) négatifs sont indiqués par une étiquette noire (rouge) “ < 0 ”; on notera que les astérisques noirs (rouges) ont toujours le même signe que les disques rouges (noirs) correspondants).

simple, en raison des simplifications suivantes :

$$\left(\frac{e^x \operatorname{ch} x'}{e^{x'} \operatorname{ch} x}\right)^{s/2} \left(\frac{e^{-x'} \operatorname{ch} x}{e^{-x} \operatorname{ch} x'}\right)^{s/2} = e^{i(x-x')S} \quad (\text{B52})$$

où nous avons écrit le facteur de phase du premier terme de l'Eq. (69) tel qu'il est et le facteur de phase du second terme de l'Eq. (69) avec $x \leftrightarrow x'$, et utilisé $s = iS$ avec S réel. Ainsi, l'intégrale sur x ou x' prend la forme d'une transformée de Fourier par rapport à x ou x' , avec S comme variable conjuguée; c'est la transformée de Fou-

rier d'une fonction lisse de x ou x' à décroissance rapide, donc une fonction de S à décroissance rapide. Ceci explique la décroissance rapide de $\frac{d}{dS} \ln \det M$ observée numériquement pour une grande valeur de S . De plus, l'intégration sur S est simple en raison de l'identité

$$\int_{\mathbb{R}} \frac{dS}{2\pi} e^{i(x-x')S} = \delta(x - x') \quad (\text{B53})$$

Nous obtenons finalement l'approximation d'ordre dominant

$$\begin{aligned} \Delta B_{2,2}^{\text{conj}}(0^+) |_{\text{parité}(-1)^{\ell+1}}^{(\ell)} &\simeq \frac{2\ell+1}{(4\pi)^2} \int_{\mathbb{R}} dx \int_0^\pi d\theta \int_0^\pi d\theta' \int_0^{2\pi} \frac{d\phi}{2\pi} \int_0^{2\pi} \frac{d\phi'}{2\pi} \frac{vv'}{d(x,u)d(x,u')\sin x} \\ &\times \frac{1}{4} \sum_{n=0}^1 \sum_{n'=0}^1 (-1)^{(\ell+1)(n+n')} \mathcal{T}_\ell(\theta + n\pi, \theta' + n'\pi, \phi, \phi') \\ &\times \frac{\left\{ 1 + \frac{1}{1+\alpha} [(u + e^{-x})(u' + e^{-x}) + vv' \cos \phi] \right\} \left\{ 1 + \frac{\alpha}{1+\alpha} [(u + e^x)(u' + e^x) + vv' \cos \phi'] \right\}}{(1 + \frac{1}{1+\alpha})^2} \end{aligned} \quad (\text{B54})$$

Dans l'intégrande de l'équation (B54), $d(x,u)$ est donné par l'équation (B16), nous utilisons à nouveau les notations $u = \cos \theta$ et $v = \sin \theta$ et de même pour θ' , et nous avons introduit la fonction

$$\mathcal{T}_\ell(\theta, \theta', \phi, \phi') \equiv \sum_{m_z, m'_z=-\ell}^{\ell} e^{-im_z\theta} \langle \ell, m_z | e^{i\phi L_x/\hbar} | \ell, m'_z \rangle e^{im'_z\theta'} \langle \ell, m'_z | e^{i\phi' L_x/\hbar} | \ell, m_z \rangle \quad (\text{B55})$$

$$= \text{Tr}_\ell \left[e^{-i\theta L_z/\hbar} e^{i\phi L_x/\hbar} e^{i\theta' L_z/\hbar} e^{i\phi' L_x/\hbar} \right] = \frac{\sin[(2\ell+1)\delta/2]}{\sin(\delta/2)} \quad (\text{B56})$$

où la trace est prise sur tout le sous-espace $\{|\ell, m_z\rangle, -\ell \leq m_z \leq \ell\}$ de moment cinétique ℓ sans restriction de parité et l'angle $\delta \in [0, \pi]$ est tel que [82]

$$1 + 2 \cos \delta = uu'(1 + \cos \phi \cos \phi') - (u + u') \sin \phi \sin \phi' + vv'(\cos \phi + \cos \phi') + \cos \phi \cos \phi' \quad (\text{B57})$$

La somme sur n et n' dans le numérateur de l'intégrande de l'Eq. (B54) supprime la contribution à \mathcal{T}_ℓ des états $|\ell, m_z\rangle$ et $|\ell, m'_z\rangle$ de la mauvaise parité, $(-1)^{m_z} = (-1)^{m'_z} = (-1)^\ell$. Nous nous attendons à ce que l'approximation (B54) soit un équivalent asymptotique exact pour $\ell \rightarrow +\infty$, et c'est aussi ce qu'indique la comparaison avec les résultats numériques de la Fig. 7(b3). À notre surprise, elle est déjà assez bonne pour $\ell = 1$, car elle ne s'écarte de la valeur numérique que d'environ 9%.

Ce traitement perturbatif peut également être appliqué au problème 3+1, en utilisant les équations intégrales de la référence [13]. La principale différence est que le spinor $\Phi_{m_z}^{(\ell)}(x, u)$ est maintenant soumis à une condition reflétant la symétrie d'échange fermionique des deux particules \downarrow qui sont les spectateurs de la paire $\uparrow\downarrow$ en interaction [18],

$$\Phi_{-m_z}^{(\ell)}(-x, u) = (-1)^{\ell+1} \Phi_{m_z}^{(\ell)}(x, u) \quad (\text{B58})$$

Cela signifie que le noyau $K^{(\ell)}$ doit être restreint au sous-espace correspondant, d'où l'apparition d'un projecteur $P = (1+U)/2$ sur ce sous-espace, où l'opérateur unitaire U , écrit en notation de Dirac

$$\begin{aligned} U|x, u, \ell, m_z\rangle &= (-1)^{\ell+1}|-x, u, \ell, -m_z\rangle \\ &= -e^{i\pi L_x/\hbar}|-x, u, \ell, m_z\rangle \end{aligned} \quad (\text{B59})$$

est une involution ($U^2 = \mathbf{1}$) [83]. Le point intéressant est maintenant que, même si $\frac{d}{dS}K$ est une somme de commutateurs comme dans l'Eq. (B23), les D_j correspondants ne commutent pas avec le projecteur P . Par conséquent, lorsqu'on développe M^{-1} au premier ordre en K , $\frac{d}{dS} \ln \det M$ contient à la fois une contribution d'ordre un en K et deux contributions d'ordre deux en K . Voici le résultat dans le sous-espace de moment cinétique ℓ et de parité ε [84] :

$$\begin{aligned}
\Delta B_{3,1}^{\text{conj}}(0^+) \Big|_{\text{parité } \varepsilon}^{(\ell)} &\simeq \frac{2\ell+1}{2\pi\sqrt{2}} \int_0^\pi d\theta \int_0^{2\pi} \frac{d\phi}{2\pi} \frac{v}{d_{31}(0,u)} \frac{\frac{1}{2} \sum_{n=0}^1 \varepsilon^n \mathcal{T}_\ell(\theta + n\pi, 0, \phi + \pi, 0)}{3 + \frac{2\alpha}{1+\alpha} (2u + u^2 + v^2 \cos \phi)} \\
&+ \frac{2\ell+1}{8\pi^2} \int_{\mathbb{R}} dx \int_0^\pi d\theta \int_0^\pi d\theta' \int_0^{2\pi} \frac{d\phi}{2\pi} \int_0^{2\pi} \frac{d\phi'}{2\pi} \frac{vv'}{d_{3,1}(x,u)d_{3,1}(x,u') \operatorname{ch} x} \\
&\times \frac{1}{4} \sum_{n=0}^1 \sum_{n'=0}^1 \varepsilon^{n+n'} \mathcal{T}_\ell(\theta + n\pi, \theta' + n'\pi, \phi, \phi') \\
&\times \frac{1}{\left\{ 2 + e^{-2x} + \frac{2\alpha}{1+\alpha} [e^{-x}(u+u') + uu' + vv' \cos \phi] \right\} \left\{ 2 + e^{2x} + \frac{2\alpha}{1+\alpha} [e^x(u+u') + uu' + vv' \cos \phi'] \right\}} \\
&- \frac{2\ell+1}{4\pi^2} \int_{\mathbb{R}} dx' \int_0^\pi d\theta \int_0^\pi d\theta' \int_0^{2\pi} \frac{d\phi}{2\pi} \int_0^{2\pi} \frac{d\phi'}{2\pi} \left(\frac{e^{x'}}{\operatorname{ch} x'} \right)^{1/2} \frac{vv'}{d_{31}(0,u)d_{31}(x',u')} \\
&\times \frac{\frac{1}{4} \sum_{n=0}^1 \sum_{n'=0}^1 \varepsilon^{n+n'} \mathcal{T}_\ell(\theta + n\pi, n'\pi, \phi, \phi' + \pi)}{\left[2e^{-x'} + e^{x'} + \frac{2\alpha}{1+\alpha} (ue^{-x'} + u' + uu' + vv' \cos \phi) \right] \left[2e^{-x'} + e^{x'} + \frac{2\alpha}{1+\alpha} (ue^{-x'} + u' + uu' + vv' \cos \phi') \right]} \quad (\text{B60})
\end{aligned}$$

où $d_{31}(x, u)$ définit la partie diagonale \mathcal{D} de l'opérateur M pour le problème 3 + 1 (comme $d(x, u)$ l'a fait pour le problème 2 + 2), voir la référence [13] :

$$d_{31}(x, u) = \left[\frac{1+2\alpha}{(1+\alpha)^2} + \frac{\alpha u}{(1+\alpha)^2 \operatorname{ch} x} \right]^{1/2} \quad (\text{B61})$$

Comme on peut le vérifier sur la Fig. 7(b4), cette approximation est en bon accord avec les résultats numériques même pour $\ell = 0$, où elle ne s'écarte du résultat exact que de $\simeq 13\%$. Dans la limite d'un grand ℓ , la première contribution au second membre de l'équation (B60) domine rapidement les deux autres ; en faisant la somme des deux secteurs de parité $\varepsilon = \pm 1$ et en se limitant pour simplifier à un rapport de masse $\alpha = 1$, on peut intégrer sur θ et ϕ à $\delta \in [0, \pi]$ fixé, où $1 + 2 \cos \delta = u + \cos \phi + u \cos \phi$, comme le montre l'équation (B57) prise pour $\theta' = \phi' = 0$, pour obtenir l'équivalent à grand ℓ à décroissance rapide [85]

$$\begin{aligned}
\Delta B_{3,1}^{\text{conj}}(0^+) \Big|_{\ell \rightarrow +\infty}^{(\ell)} &\sim \frac{2\ell+1}{2\pi^2} \int_0^\pi d\delta \sin[(\ell + 1/2)\delta] \\
&\times \arccos \frac{8 \cos^2 \delta + 5 \cos \delta - 1}{3(3 + \cos \delta)} \\
&\times \frac{1}{[(5 + 4 \cos \delta)(1 + \cos \delta + \cos^2 \delta)]^{1/2}} \quad (\text{B62})
\end{aligned}$$

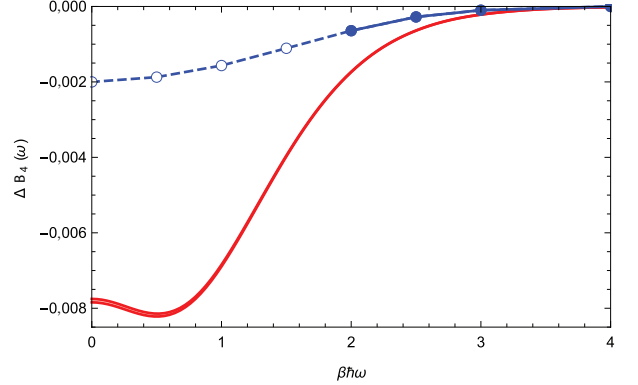


FIGURE 8: Quatrième coefficient d'amas (B67) pour un gaz unitaire de fermions de spin 1/2 non polarisé piégé harmoniquement à la température T , en fonction de $\beta\hbar\omega$, avec $\beta = 1/(k_B T)$, ω la pulsation de piégeage des fermions et $\alpha = m_\uparrow/m_\downarrow = 1$. Ligne bleue avec des symboles : résultats de la référence [30] obtenus par calcul numérique direct des spectres d'énergie jusqu'à quatre corps dans le piège (disques : valeurs effectivement calculées ; cercles : valeurs résultant d'une extrapolation). Lignes rouges : notre conjecture (B66) (les valeurs diffèrent légèrement selon l'extrapolation linéaire ou cubique à la limite d'une troncature numérique $1/t_{\min} \rightarrow 0^-$).

5. Le verdict

Les résultats numériques pour notre conjecture (B11) sont

$$\Delta B_{2,2}^{\text{conj}}(0^+) = -0,0617(2) \quad (\text{B63})$$

$$\Delta B_{3,1}^{\text{conj}}(0^+) = +0,02297(4) \quad (\text{B64})$$

et conduisent, après utilisation de l'Eq. (B6), à

$$\Delta b_4^{\text{conj}} = -0,063(1) \quad (\text{B65})$$

Ceci est clairement en désaccord avec les valeurs expérimentales (B4). De façon remarquable, pour $\Delta B_{3,1}(0^+)$, notre valeur conjecturée est très proche du résultat diagrammatique approché 0,025 de [24], alors que pour $\Delta B_{2,2}(0^+)$, elle diffère largement du résultat (toujours approché) -0,036 de [24] (ces valeurs nous ont été communiquées par Jesper Levinsen).

Un test complémentaire utile est de comparer aux résultats théoriques de la référence [30]. Comme mentionné ci-dessus et dans cette référence, ces résultats, obtenus avec la méthode du régulateur harmonique, sont fiables à des valeurs *non nulles* de $\beta\hbar\omega$ sans extrapolation à $\beta\hbar\omega = 0$ (ω est la pulsation d'oscillation dans le piège et $\beta = 1/(k_B T)$). Il est en fait simple d'étendre avec les mêmes notations la conjecture (B11) à une valeur non

nulle de ω , voir l'Eq. (38) de la référence [28] :

$$\Delta B_{n\uparrow,n\downarrow}^{\text{conj}}(\omega) = \sum_{\ell \in \mathbb{N}} \left(\ell + \frac{1}{2} \right)$$

$$\times \int_0^{+\infty} \frac{dS}{\pi} \frac{\sin(S\beta\hbar\omega)}{\text{sh}(\beta\hbar\omega)} \frac{d}{dS} [\ln \det M_{n\uparrow,n\downarrow}^{(\ell)}(iS)] \quad (\text{B66})$$

Puisque $|\sin(S\beta\hbar\omega)/\text{sh}(\beta\hbar\omega)| \leq S$, cela ne soulève pas de nouveaux problèmes de convergence et l'évaluation numérique de $\Delta B_{2,2}^{\text{conj}}(\omega)$ et $\Delta B_{3,1}^{\text{conj}}(\omega)$ est simple une fois que les dérivées logarithmiques du déterminant de M sont connues. La valeur du quatrième coefficient d'amas dans le piège qui en résulte

$$\Delta B_4(\omega) \equiv \frac{1}{2} [\Delta B_{3,1}(\omega) + \Delta B_{2,2}(\omega) + \Delta B_{1,3}(\omega)] \quad (\text{B67})$$

(avec $\Delta B_{3,1} = \Delta B_{1,3}$ pour le rapport de masse $\alpha = 1$) est représentée en fonction de $\beta\hbar\omega$ sur la Fig. 8. Elle est clairement en désaccord avec les résultats de la référence [30], non seulement avec ceux résultant de l'extrapolation à $\beta\hbar\omega = 0$ mais aussi avec ceux réellement calculés.

La conjecture est donc invalidée, et un travail théorique supplémentaire est nécessaire pour obtenir l'expression analytique correcte de Δb_4 pour le gaz unitaire de fermions.

-
- [1] S. Inouye, M.R. Andrews, J. Stenger, H.-J. Miesner, D.M. Stamper-Kurn, W. Ketterle, Nature **392**, 151 (1998); K.M. O'Hara, S. L. Hemmer, M. E. Gehm, S. R. Granade, J. E. Thomas, Science **298**, 2179 (2002); T. Bourdel, J. Cubizolles, L. Khaykovich, K.M.F. Magalhães, S.J.J.M.F. Kokkelmans, G.V. Shlyapnikov, C. Salomon, Phys. Rev. Lett. **91**, 020402 (2003); C.A. Regal, M. Greiner, D.S. Jin, Phys. Rev. Lett. **92**, 040403 (2004); M.W. Zwierlein, C.A. Stan, C.H. Schunck, S.M.F. Raupach, A.J. Kerman, W. Ketterle, Phys. Rev. Lett. **92**, 120403 (2004).
- [2] E. Wigner, Zeits. f. Physik **83**, 253 (1933); H. Bethe, R. Peierls, Proc. R. Soc. London, Ser. A **148**, 146 (1935).
- [3] V. Efimov, Sov. J. Nucl. Phys. **12**, 589 (1971); V. Efimov, Nucl. Phys. A **210**, 157 (1973); A. Bulgac, V. Efimov, Sov. J. Nucl. Phys. **22**, 296 (1975).
- [4] T. Kraemer, M. Mark, P. Waldburger, J. G. Danzl, C. Chin, B. Engeser, A.D. Lange, K. Pilch, A. Jaakkola, H.-C. Naegerl, R. Grimm, Nature **440**, 315 (2006); M. Zaccanti, B. Deissler, C. D'Errico, M. Fattori, M. Jona-Lasinio, S. Müller, G. Roati, M. Inguscio, G. Modugno, Nature Physics **5**, 586 (2009); Phys. Rev. Lett. **103**, 163202 (2009); Phys. Rev. Lett. **105**, 103203 (2010); N. Gross, Z. Shotan, O. Machtey, S. Kokkelmans, L. Khaykovich, C. R. Physique **12**, 4 (2011); T. Lompe, T.B. Ottenstein, F. Serwane, A.N. Wenz, G. Zürn, S. Joachim, Science **330**, 940 (2010); B.S. Rem, A.T. Grier, I. Ferrier-Barbut, U. Eismann, T. Langen, N. Navon, L. Khaykovich, F. Werner, D.S. Petrov, F. Chevy, C. Salomon, Phys. Rev. Lett. **110**, 163202 (2013); P. Dyke, S.E. Pollack, R.G. Hulet, Phys. Rev. A **88**, 023625 (2013); B. Huang, L.A. Sidorenkov, R. Grimm, J.M. Hutson, Phys. Rev. Lett. **112**, 190401 (2014); R. Pires, J. Ulmanis, S. Häfner, M. Repp, A. Arias, E.D. Kuhnle, M. Weidemüller, Phys. Rev. Lett. **112**, 250404 (2014); S.-K. Tung, K. Jimenez-García, J. Johansen, C.V. Parker, C. Chin, Phys. Rev. Lett. **113**, 240402 (2014).
- [5] M. Berninger, A. Zenesini, B. Huang, W. Harm, H.-C. Nägerl, F. Ferlaino, R. Grimm, P.S. Julienne, J.M. Hutson, Phys. Rev. Lett. **107**, 120401 (2011); Jia Wang, J.P. D'Incao, B.D. Esry, C.H. Greene, Phys. Rev. Lett. **108**, 263001 (2012); P. Naidon, S. Endo, M. Ueda, Phys. Rev. Lett. **112**, 105301 (2014).
- [6] R. Amado, F. Greenwood, Phys. Rev. D **7**, 2517 (1973).
- [7] D. Gridnev, J. Math. Phys. **54**, 042105 (2013).
- [8] A. Deltuva, Phys. Rev. A **82**, 040701 (2010).
- [9] J. von Stecher, J.P. D'Incao, C.H. Greene, Nature Physics **5**, 417 (2009).
- [10] L. Platter, H.-W. Hammer, Ulf-G. Meissner, Phys. Rev. A **70**, 052101 (2004); H.-W. Hammer, L. Platter, Eur. Phys. J. A **32**, 113 (2007).
- [11] Yusuke Nishida, Shina Tan, Few-Body Syst. **51**, 191 (2011).
- [12] Yusuke Nishida, S. Moroz, Dam Thanh Son, Phys. Rev. Lett. **110**, 235301 (2013); S. Moroz, Yusuke Nishida, Phys. Rev. A **90**, 063631 (2014); D. Gridnev, J. Phys. A : Math. Theor. **47**, 505204 (2014); Chao Gao, Jia Wang, Zhenhua Yu, Phys. Rev. A **92**, 020504(R) (2015).

- [13] Y. Castin, C. Mora, L. Pricoupenko, Phys. Rev. Lett. **105**, 223201 (2010).
- [14] D.S. Petrov, Phys. Rev. A **67**, 010703 (2003).
- [15] E. Braaten, H.-W. Hammer, Phys. Rep. **428**, 259 (2006).
- [16] D.S. Petrov, C. Salomon, G.V. Shlyapnikov, J. Phys. B **38**, S645 (2005).
- [17] D. Blume, K.M. Daily, Phys. Rev. Lett. **105**, 170403 (2010).
- [18] C. Mora, Y. Castin, L. Pricoupenko, C. R. Physique **12**, 71 (2011).
- [19] L. Pricoupenko, Phys. Rev. A **83**, 062711 (2011).
- [20] N. Navon, S. Nascimbène, F. Chevy, C. Salomon, Science **328**, 729 (2010).
- [21] Mark J.H. Ku, A.T. Sommer, L.W. Cheuk, M.W. Zwierlein, Science **335**, 563 (2012).
- [22] D.B. Kaplan, Sichun Sun, Phys. Rev. Lett. **107**, 030601 (2011).
- [23] X. Leyronas, Phys. Rev. A **84**, 053633 (2011).
- [24] V. Ngampruetikorn, Meera M. Parish, J. Levinsen, Phys. Rev. A **91**, 013606 (2015).
- [25] A. Comtet, Y. Gefralin, S. Ouvry, J. Phys. A **22**, 3917 (1989); J. McCabe, S. Ouvry, Phys. Lett. B **260**, 113 (1991).
- [26] Xia-Ji Liu, Hui Hu, P.D. Drummond, Phys. Rev. Lett. **102**, 160401 (2009); Phys. Rev. A **82**, 023619 (2010).
- [27] K.M. Daily, D. Blume, Phys. Rev. A **85**, 013609 (2012).
- [28] Y. Castin, F. Werner, Rev. can. phys. **91**, 382 (2013).
- [29] Chao Gao, Shimpei Endo, Y. Castin, EPL **109**, 16003 (2015).
- [30] D. Rakshit, K.M. Daily, D. Blume, Phys. Rev. A **85**, 033634 (2012).
- [31] S. Tan, arXiv:cond-mat/0412764v2 (2005); F. Werner, Y. Castin, arXiv:cond-mat/0507399v1 (2005).
- [32] F. Werner, Y. Castin, Phys. Rev. A **74**, 053604 (2006).
- [33] Y. Castin, C. R. Physique **5**, 407 (2004).
- [34] Y. Castin, F. Werner, chap. 5, *The BCS-BEC Crossover and the Unitary Fermi Gas*, LNIP 836, W. Zwerger éd. (Springer, Berlin, 2011).
- [35] Wu-Ki Tung, *Group Theory in Physics* (World Scientific, Philadelphia, 1985).
- [36] Seth T. Rittenhouse, N.P. Mehta, Chris H. Greene, Phys. Rev. A **82**, 022706 (2010).
- [37] Y. Castin, E. Tignone, Phys. Rev. A **84**, 062704 (2011).
- [38] F. Werner, Y. Castin, Phys. Rev. Lett. **97**, 150401 (2006).
- [39] G. Gasaneo, J.H. Macek, J. Phys. B **35**, 2239 (2002); M. Birse, J. Phys. A **39**, L49 (2006).
- [40] O.I. Kartavtsev, A.V. Malykh, Zh. Eksp. Teor. Phys. **86**, 713 (2007).
- [41] D.S. Petrov, C. Salomon, G.V. Shlyapnikov, Phys. Rev. Lett. **93**, 090404 (2004).
- [42] F. Werner, Y. Castin, Phys. Rev. A **86**, 013626 (2012).
- [43] S. Tölle, H.-W. Hammer, B. Ch. Metsch, C. R. Physique **12**, 59 (2011).
- [44] W.H. Press, S.A. Teukolsky, W.T. Vetterling, B.P. Flannery, *Numerical Recipes* (Cambridge University Press, Cambridge, 1988).
- [45] K. Huang, *Statistical Mechanics* (Wiley, New York, 1963).
- [46] E. Beth, G.E. Uhlenbeck, Physica III **8**, 729 (1936); Physica IV **10**, 915 (1937).
- [47] T.D. Lee, C.N. Yang, Phys. Rev. **116**, 25 (1959); A. Pais, G.E. Uhlenbeck, Phys. Rev. **116**, 250 (1959); P.C. Hemmer, Phys. Lett. **27A**, 377 (1968); B. Jancovi, Phys. Rev. **178**, 295 (1969); B. Jancovi, Phys. Rev. **184**, 119 (1969); S.K. Adhikari, R.D. Amado, Phys. Rev. Lett. **27**, 485 (1971); W.G. Gibson, Phys. Rev. A **6**, 2469 (1972). B. Jancovici, S. Merkuriev, Phys. Rev. A **12**, 2610 (1975).
- [48] L.P. Pitaevskii, A. Rosch, Phys. Rev. A **55**, R853 (1997).
- [49] En principe, $M^{(\ell)}(s)$ est un opérateur, avec un nombre infini de valeurs propres, et son déterminant est infini. La formulation mathématiquement correcte consiste à imposer que l'une des valeurs propres de $M^{(\ell)}(s)$ s'annule. En pratique, dans le calcul numérique, on discrétise et tronque les variables, de sorte que la formulation en termes de déterminant peut être utilisée.
- [50] Ce terme supplémentaire conduit au facteur $(\text{ch } x)^s$ dans l'ansatz (20) et à un facteur supplémentaire $(\text{ch } x'/\text{ch } x)^s$ dans le noyau K de l'Eq. (69). Cela ne change pas le déterminant de l'opérateur $M(s)$. Cela préserve également la nature hermitienne de $M(s)$ pour $s \in i\mathbb{R}$.
- [51] Avec la notation $Y_\ell^{m_z}(\mathbf{n}) = Y_\ell^{m_z}(\theta_{\mathbf{n}}, \phi_{\mathbf{n}})$, où $\theta_{\mathbf{n}}$ et $\phi_{\mathbf{n}}$ sont les angles polaire et azimuthal de \mathbf{n} dans les coordonnées sphériques habituelles associées aux coordonnées cartésiennes (x, y, z) , on fait face à l'intégrale sur la sphère unité $\int \frac{d^2 n}{4\pi} Y_\ell^{m_z}(\mathbf{n}) [Y_\ell^{m'_z}(\mathcal{R}^{-1}\mathbf{n})]^*$. Puisque $Y_\ell^{m'_z}(\mathcal{R}^{-1}\mathbf{n}) = \langle \mathbf{n} | R | \ell, m'_z \rangle = \sum_{m''_z} Y_\ell^{m''_z}(\mathbf{n}) \langle \ell, m''_z | R | \ell, m'_z \rangle$ et les harmoniques sphériques forment une base orthonormée, $\int d^2 n Y_\ell^{m_z}(\mathbf{n}) [Y_\ell^{m''_z}(\mathbf{n})]^* = \delta_{m_z, m''_z}$, on obtient (28). Ici, \mathcal{R} est une rotation dans l'espace tridimensionnel et l'opérateur R est sa représentation dans l'espace de Hilbert.
- [52] Pour une fonction arbitraire ϕ , on définit $I \equiv \int d^3 k_1 d^3 k_3 \phi(\mathbf{k}_1, \mathbf{k}_3)$. Alors on a $I = (4\pi \times 2\pi) \int_{SO(3)} d\mathcal{R} \int_0^{+\infty} dk_1 dk_3 k_1^2 k_3^2 \int_{-1}^1 du_{13} \phi(\mathcal{R}\mathbf{k}_1^{\text{fix}}, \mathcal{R}\mathbf{k}_3^{\text{fix}})$. Pour le montrer on fait un changement de variable de jacobien unité dans l'intégrale définissant I , à savoir $\mathbf{k}_1 \rightarrow \mathcal{R}\mathbf{k}_1$ et $\mathbf{k}_3 \rightarrow \mathcal{R}\mathbf{k}_3$, où \mathcal{R} est une rotation quelconque : $I = \int d^3 k_1 d^3 k_3 \phi(\mathcal{R}\mathbf{k}_1, \mathcal{R}\mathbf{k}_3)$. Comme le résultat ne dépend pas de \mathcal{R} , on peut en faire la moyenne sur $SO(3)$, avec la mesure invariante normalisée. En changeant l'ordre d'intégration sur \mathcal{R} et sur \mathbf{k}_1 et \mathbf{k}_3 , on obtient $I = \int d^3 k_1 d^3 k_3 J_{\mathbf{k}_1, \mathbf{k}_3}$ avec $J_{\mathbf{k}_1, \mathbf{k}_3} \equiv \int_{SO(3)} d\mathcal{R} \phi(\mathcal{R}\mathbf{k}_1, \mathcal{R}\mathbf{k}_3)$. Dans $J_{\mathbf{k}_1, \mathbf{k}_3}$ on effectue alors le changement de variable $\mathcal{R} \rightarrow \mathcal{R}\rho$, où ρ est une rotation quelconque. Comme la mesure est invariante, $J_{\mathbf{k}_1, \mathbf{k}_3} = \int_{SO(3)} d\mathcal{R} \phi(\mathcal{R}\rho\mathbf{k}_1, \mathcal{R}\rho\mathbf{k}_3)$. Puis pour tous \mathbf{k}_1 et \mathbf{k}_3 donnés, on choisit ρ tel que $\rho\mathbf{k}_1 = \mathbf{k}_1^{\text{fix}}$ et $\rho\mathbf{k}_3 = \mathbf{k}_3^{\text{fix}}$, si bien que $J_{\mathbf{k}_1, \mathbf{k}_3} = \int_{SO(3)} d\mathcal{R} \phi(\mathcal{R}\mathbf{k}_1^{\text{fix}}, \mathcal{R}\mathbf{k}_3^{\text{fix}})$. En insérant cette expression de $J_{\mathbf{k}_1, \mathbf{k}_3}$ dans I et en changeant à nouveau l'ordre d'intégration, on obtient $I = \int_{SO(3)} d\mathcal{R} \int d^3 k_1 d^3 k_3 \phi(\mathcal{R}\mathbf{k}_1^{\text{fix}}, \mathcal{R}\mathbf{k}_3^{\text{fix}})$. À \mathbf{k}_1 fixé, on intègre sur \mathbf{k}_3 en coordonnées sphériques d'axe polaire \mathbf{k}_1 ; comme l'intégrande ne dépend pas de l'angle azimuthal, on fait sortir un facteur 2π . L'intégrale résultante sur k_3 et θ_{13} ne dépend pas de la direction de \mathbf{k}_1 , donc, après intégration sur \mathbf{k}_1 en coordonnées sphériques d'axe polaire arbitraire, on sort un facteur supplémentaire 4π et on obtient la relation désirée.
- [53] Une distribution $\delta(\mathbf{k})$ tridimensionnelle est le produit de trois distributions $\delta(\mathbf{u}_n \cdot \mathbf{k})$ unidimensionnelles où (\mathbf{u}_n) est une base orthonormale. Comme expliqué dans le texte, on peut prendre $\mathbf{k} = \mathbf{k}_2 + \mathbf{k}_4 + \mathcal{R}_Y(\beta)\mathcal{R}_Z(\gamma)(\mathbf{k}_1^{\text{fix}} + \mathbf{k}_3^{\text{fix}})$. Nous prenons d'abord $\mathbf{u}_1 = \mathbf{e}_Y$ pour que $\mathbf{u}_1 \cdot \mathbf{k} =$

$(\mathcal{R}_Z(-\gamma)\mathbf{e}_Y) \cdot (\mathbf{k}_1^{\text{fix}} + \mathbf{k}_3^{\text{fix}}) = \sin \gamma \mathbf{e}_X \cdot (\mathbf{k}_1^{\text{fix}} + \mathbf{k}_3^{\text{fix}}) = -\sin \gamma \sin \beta_0 |\mathbf{k}_1^{\text{fix}} + \mathbf{k}_3^{\text{fix}}|$ où nous avons utilisé l'Eq. (50). Cela donne le facteur $\delta(\sin \gamma)$ dans l'Eq. (49). Comme expliqué dans le texte, nous pouvons nous restreindre au cas $\gamma = 0$ (à un changement $\beta \leftrightarrow -\beta$ près) et nous nous retrouvons avec un Dirac bidimensionnel $\delta(\mathbf{k}_\perp)$ dans le plan orthogonal à \mathbf{e}_Y . En principe $\mathbf{k}_\perp = \mathbf{k}_2 + \mathbf{k}_4 + \mathcal{R}_Y(\beta)(\mathbf{k}_1^{\text{fix}} + \mathbf{k}_3^{\text{fix}})$ mais nous pouvons prendre de manière équivalente $\mathbf{k}_\perp = \mathcal{R}_Y(-\beta)(\mathbf{k}_2 + \mathbf{k}_4) + \mathbf{k}_1^{\text{fix}} + \mathbf{k}_3^{\text{fix}}$ en raison de l'invariance par rotation de la distribution de Dirac. En utilisant $\mathcal{R}_Y(-\beta)\mathbf{e}_Z = \cos \beta \mathbf{e}_Z - \sin \beta \mathbf{e}_X$ et en prenant $\mathbf{u}_2 = \frac{\mathbf{k}_1^{\text{fix}} + \mathbf{k}_3^{\text{fix}}}{|\mathbf{k}_1^{\text{fix}} + \mathbf{k}_3^{\text{fix}}|} = \cos \beta_0 \mathbf{e}_Z - \sin \beta_0 \mathbf{e}_X$ et son dual $\mathbf{u}_3 = \sin \beta_0 \mathbf{e}_Z + \cos \beta_0 \mathbf{e}_X$ dans le plan ZX , nous justifions l'Eq. (49).

- [54] De manière similaire à l'Eq. (53), $|\ell, m_x = 0\rangle = s_+ e^{-i(\pi/2)L_y/\hbar} |\ell, m_z = 0\rangle = s_- e^{-i(-\pi/2)L_y/\hbar} |\ell, m_z = 0\rangle$ où s_\pm ne sont que des signes puisque $|\ell, m_x = 0\rangle$ peut être pris avec des composantes réelles dans la base $|\ell, m_z\rangle$ (L_y a des éléments de matrice imaginaires purs). Alors $s_- s_+ \langle \ell, m_z = 0 | e^{-i\pi L_y/\hbar} | \ell, m_z = 0 \rangle = 1$. L'action de $e^{-i\pi L_y/\hbar}$ en coordonnées cartésiennes est $(x, y, z) \rightarrow (-x, y, -z)$; en coordonnées sphériques d'axe polaire Oz , elle est $(\theta, \phi) \rightarrow (\pi - \theta, \pi - \phi)$. Pour $Y_\ell^{m_z=0}(\theta, \phi)$, qui ne dépend pas de ϕ , c'est équivalent à l'action de la parité $(\theta, \phi) \rightarrow (\pi - \theta, \pi + \phi)$ et cela fait sortir un facteur $(-1)^\ell$ de sorte que $s_- = (-1)^\ell s_+$ et $|\ell, m_x = 0\rangle = (s_+/2)(e^{-i(\pi/2)L_y/\hbar} + (-1)^\ell e^{-i(-\pi/2)L_y/\hbar}) |\ell, m_z = 0\rangle$. En développant en série les exponentielles dans cette dernière expression, et en utilisant le fait que L_y ne couple que des états de m_z de parités différentes, on obtient l'Eq. (54).
- [55] On peut garder $[0, 2\pi]$ comme intervalle d'intégration sur ϕ' puisque l'intégrande est une fonction périodique de ϕ' de période 2π .
- [56] Pour $b_0 > b_1 > 0$, $\int_0^{2\pi} \frac{d\phi}{2\pi} \frac{e^{im_x\phi}}{b_0+b_1 \cos \phi} = z_0^{|m_x|}/[(b_0 - b_1)(b_0 + b_1)]^{1/2}$ avec $z_0 = -b_1/\{b_0 + [(b_0 - b_1)(b_0 + b_1)]^{1/2}\}$.
- [57] Si $x \rightarrow -\infty, x' \rightarrow +\infty$ ou $x \rightarrow +\infty, x' \rightarrow -\infty$, le noyau matriciel (69) tend entièrement exponentiellement vers zéro, ce qui n'apporte aucune nouvelle information significative.
- [58] Ceci est trivial pour $\ell = 0$. Pour $\ell \geq 1$, cela résulte du fait que, pour $L \geq 1$, on peut prendre $m_x = 1$. Alors $\langle \ell, m_z | \ell, m_x = 1 \rangle \neq 0$, sauf si ℓ est pair et $m_z = 0$ (en accord avec l'Eq. (54), compte tenu de la symétrie $x \leftrightarrow y$), auquel cas on peut revenir au choix $m_x = 0$ et utiliser le fait que $\langle \ell, m_z = 0 | \ell, m_x = 0 \rangle \neq 0$ pour ℓ pair.
- [59] Expliquons plus physiquement pourquoi la fonction Λ_L apparaît dans l'expression du spectre continu. L'idée est de considérer un état physique du système à $2 + 2$ fermions, correspondant à une solution de carré intégrable non nulle $\Phi_{m_z}^{(\ell)}(x, u)$ de l'Eq. (68), et de voir comment la fonction d'onde à quatre corps varie lorsque trois particules, disons 1, 2 et 3, convergent vers le même point, la quatrième particule étant à un autre endroit fixé. Comme nous l'avons vu, un état propre étendu du continuum qui varie pour $x \rightarrow -\infty$ comme $e^{ikx} e^{im_z\theta/2} \langle \ell, m_z | \ell, m_x = 0 \rangle P_L(u)$, $k \in \mathbb{R}$, correspond à la valeur propre $\Omega = \Lambda_L(ik, \alpha)$. Selon le raisonnement par prolongement analytique de la référence [13], ceci implique que l'état propre localisé $\Phi_{m_z}^{(\ell)}(x, u)$ de $\Omega = 0$ tend vers zéro pour $x \rightarrow -\infty$ comme $e^{\kappa x} e^{im_z\theta/2} \langle \ell, m_z | \ell, m_x = 0 \rangle P_L(u)$, où la quantité

réelle κ est la plus petite racine positive de

$$\Lambda_L(\kappa, \alpha) = 0$$

avec L choisie de façon à minimiser κ (minimiser κ revient à sélectionner la fonction exponentielle $e^{\kappa x}$ la plus lentement décroissante, qui est la contribution dominante pour $x \rightarrow -\infty$). Ceci implique que κ est un des exposants d'échelle possibles s_3 du problème à $2 + 1$ fermions, voir l'Eq. (82). Afin de déterminer la limite de l'Eq. (10) lorsque r_{13} et $|\mathbf{r}_2 - \mathbf{R}_{13}| \rightarrow 0$ tendent vers zéro avec la même loi d'échelle, c'est-à-dire que les deux sont proportionnels à l'hyperrayon R_{123} des particules 1, 2 et 3, nous déterminons la limite à grand \mathbf{k}_2 de l'intégrande de ψ_{24} dans l'Eq. (10) à \mathbf{k}_4 fixé : en n'écrivant pas la partie angulaire pour simplifier, nous trouvons que $D(\mathbf{k}_2, \mathbf{k}_4)$ varie comme $k_2^{-2-\kappa} k_4^{\kappa-s-3/2}$, de sorte que sa transformée de Fourier, selon l'argument habituel de comptage de puissances, varie comme $|\mathbf{r}_2 - \mathbf{R}_{13}|^{\kappa-1} |\mathbf{r}_4 - \mathbf{R}_{13}|^{s-\kappa-3/2}$. Le même raisonnement s'applique à ψ_{14} . À $|\mathbf{r}_4 - \mathbf{R}_{13}| > 0$ fixé, la fonction d'onde à quatre corps varie donc comme $R_{123}^{\kappa-2} = R_{123}^{s_3-2}$, exactement comme le prédit l'équation (5.179) de la référence [34]. Toute cette discussion est formelle pour le problème à $2 + 2$ fermions puisque, comme nous le verrons, il n'y a pas d'effet Efimov à quatre corps, mais elle s'applique explicitement au problème à $3 + 1$ fermions et complète bien la référence [13].

- [60] Le spectre continu $\Omega^{(\circlearrowleft)}$ peut être retrouvé en gardant seulement mais exactement dans l'Eq. (69) la dernière contribution au noyau matriciel $K_{m_z, m'_z}^{(\ell)}$ de l'Eq. (68), c'est-à-dire sans recourir à une approximation locale de cette contribution autour de $(x, u) = (0, -1)$. Le calcul explicite reste simple pour un rapport de masse unité $\alpha = 1$. Les vecteurs propres de l'opérateur qui en résulte sont alors de la forme $\Phi_{m_z}^{(\ell)}(x, u) = e^{im_z\gamma} \langle \ell, m_z | \ell, m_x = 0 \rangle \Phi(x, u)$ avec les ansatz $\Phi(x, u) = (\text{ch } x)^{-(s-1/2)/2} (u + \text{ch } x)^{-(s+7/2)/2} \chi(\sqrt{2}k_{24}/K_{24})$, k_{24} et K_{24} étant les nombres d'onde relatifs et de centre de masse des particules 2 et 4, de sorte que $2k_{24}/K_{24} = (\frac{\text{ch } x-u}{\text{ch } x+u})^{1/2}$. On obtient alors l'équation intégrale sur $\chi(k)$: $\Omega(2k^2 + 1)^{1/2} \chi(k) = (k^2 + 1)^{1/2} \chi(k) - \frac{2(-1)^\ell}{\pi} \int_0^{+\infty} dk' k'^2 \chi(k')/(1 + k^2 + k'^2)$. En posant $\chi(k) = k^{-3/2} (1 + 2k^2)^{-1/4} \psi(t)$ avec $k = \exp(-t)$, on obtient $\Omega \psi(t) = \left(\frac{1+e^{-2t}}{1+2e^{-2t}}\right)^{1/2} \psi(t) - \frac{2(-1)^\ell}{\pi} \int_{\mathbb{R}} dt' \frac{\psi(t') \exp[-3(t+t')/2]}{(1+e^{-2t}+e^{-2t'})(1+2e^{-2t})(1+2e^{-2t'})^{1/4}}$. Le continuum $t \rightarrow -\infty$ de ce problème aux valeurs propres résout $(\sqrt{2}\Omega - 1)\psi_\infty(t) = -\frac{(-1)^\ell}{\pi} \int_{\mathbb{R}} dt' \frac{\psi_\infty(t')}{\text{ch}(t-t')}$, avec des solutions d'ondes planes $\psi_\infty(t') = e^{ikt}$, ce qui redonne (84). L'ansatz pour $\Phi(x, u)$ résulte du fait que $D(\mathbf{k}_2, \mathbf{k}_4)$ est de la forme $K_{24}^{-(s+7/2)} P_\ell(\mathbf{e}_z \cdot \mathbf{K}_{24}/K_{24}) \chi(\sqrt{2}k_{24}/K_{24})$ (P_ℓ est un polynôme de Legendre), ce qui est évident si l'on revient à l'Eq. (13) et que l'on réalise que sa dernière contribution conserve le vecteur d'onde total \mathbf{K}_{24} (à un signe près).
- [61] En réalité, la solution physique pour le spineur $\Phi_{m_z}^{(\ell)}(x, u)$ doit correspondre à une valeur propre nulle de la matrice $M^{(\ell)}(s)$. A cet égard, $k = 0$ n'est acceptable que pour ℓ pair. De plus, comme nous le verrons dans l'annexe B [voir la note de bas de page appelée avant l'Eq. (B36)], lorsque $\Omega = 0$, $\phi(t)$ varie en fait linéairement en t pour

- $t \rightarrow -\infty$, de sorte que $D(\mathbf{k}_2, \mathbf{k}_4)$ diverge comme $\ln(|\mathbf{k}_2 + \mathbf{k}_4|/k_{24})/(|\mathbf{k}_2 + \mathbf{k}_4|/k_{24})^{s+3/2}$ lorsque $\mathbf{k}_2 + \mathbf{k}_4 \rightarrow \mathbf{0}$. Il en résulterait une divergence en $\ln(r_{24}/|\mathbf{R}_{24} - \mathbf{R}_{13}|)/r_{24}$ de la fonction $\mathcal{A}_{13}(\mathbf{r}_2 - \mathbf{R}_{13}, \mathbf{r}_4 - \mathbf{R}_{13})$ en $r_{24} = 0$, ce qui est physiquement obscur. Gardons cependant à l'esprit que, selon la section V, il n'y a pas d'effet Efimov à quatre corps dans le problème $2 + 2$, de sorte que l'Eq. (68) n'admet en fait aucune solution non identiquement nulle $\Phi^{(0)}$ si $s \in i\mathbb{R}$.
- [62] Pour $\ell > 0$, on peut utiliser l'identité : $\sum_{m_z=-\ell}^{\ell} [Y_{\ell}^{m_z}(\mathbf{e}_z, \mathbf{e}_{4\perp 2} \cdot \mathbf{e}_z, \mathbf{e}_{24} \cdot \mathbf{e}_z)]^* e^{im_z(\gamma_{24} + \theta_{24}/2)} \langle \ell, m_z | \ell, m_x = 0 \rangle = s_+ Y_{\ell}^0(\tilde{\mathbf{K}}_{24})$ où $\tilde{\mathbf{K}}_{24} = (\mathbf{k}_2 + \mathbf{k}_4)/|\mathbf{k}_2 + \mathbf{k}_4|$, on rappelle que $\gamma_{24} = \tau_{24} - \theta_{24}/2$ et τ_{24} est l'angle entre \mathbf{k}_2 et $\mathbf{k}_2 + \mathbf{k}_4$, la notation des harmoniques sphériques est celle de la note [51] et le signe s_+ est défini dans la note [54]. Cette identité est également utile pour la note [60].
- [63] Si $k_{24} \rightarrow +\infty$, $|x|$ tend nécessairement vers $+\infty$ puisque $|u| \leq 1$, auquel cas K_{24} et k_{24} divergent tous deux comme $e^{|x|}$ et ont un rapport de limite non nulle.
- [64] Nous avons utilisé $\int_0^{+\infty} dy \sin(ay) \sin(by)/y^{s+1/2} = \frac{1}{2} \Gamma(\frac{1}{2} - s) \sin[\frac{\pi}{4}(1 - 2s)][|a - b|^{s-\frac{1}{2}} - |a + b|^{s-\frac{1}{2}}]$, pour $s \in i\mathbb{R}$ et des nombres réels a et b qui diffèrent en valeur absolue.
- [65] L'intégrande dans l'Eq. (97) est un $O(1/q^2)$ lorsque $q \rightarrow +\infty$, de sorte que l'intégrale converge lorsque $r_{24} \rightarrow 0$ à $\mathbf{R}_{24} - \mathbf{R}_{13}$ non nul fixé. De plus, elle converge vers une valeur non nulle (par exemple vers π pour $s = 0$).
- [66] Si l'on prend une fonction $D(\mathbf{k}_2, \mathbf{k}_4)$ sans singularité en $\mathbf{k}_2 + \mathbf{k}_4 = \mathbf{0}$, par exemple $\Phi_0^{(0)}(x, u) = \exp(-\kappa|x|)$ dans l'ansatz (20) comme dans la note [59] pour $\ell = L = 0$, on trouve par un calcul explicite que $\mathcal{A}(\mathbf{r}_2 - \mathbf{R}_{13}, \mathbf{r}_4 - \mathbf{R}_{13})$ est de valeur finie en $\mathbf{r}_2 = \mathbf{r}_4 = \mathbf{R}_{24}$.
- [67] Il y a ici un paradoxe. Comme le montre l'Eq. (3), l'action de l'hamiltonien H sur $\psi_{24}(\mathbf{r}_1, \mathbf{r}_2, \mathbf{r}_3, \mathbf{r}_4)$ conduit à une distribution $\delta(\mathbf{r}_1 - \mathbf{r}_3)$, et non à une distribution $\delta(\mathbf{r}_2 - \mathbf{r}_4)$. Cela montre que ψ_{24} est la composante dite 1 – 3 de Faddeev, et qu'elle ne peut avoir aucune singularité en $1/r_{24}$. Comment \mathcal{A}_{13} peut-elle alors avoir une telle singularité? Comme d'habitude, la réponse se trouve dans l'ordre des limites. À une valeur fixée non nulle de r_{13} , il est évident que la fonction $u(r_{13})$ de l'équation (10), par sa dépendance en q_{13} donnée par l'équation (11), fournit une coupure ultraviolette d'ordre $1/r_{13}$ dans l'espace des vecteurs d'onde $(\mathbf{k}_2, \mathbf{k}_4)$, de sorte que ψ_{24} ne peut diverger lorsque $r_{24} \rightarrow 0$. Mais si l'on prend d'abord la limite $r_{13} \rightarrow 0$, la fonction $u(r_{13})$ est remplacée par son équivalent $1/(4\pi r_{13})$ qui ne dépend pas de l'impulsion : la coupure en vecteur d'onde est rejetée à l'infini et $\lim_{r_{13} \rightarrow 0} (r_{13} \psi_{24})$ peut maintenant diverger comme $1/r_{24}$ en $r_{24} = 0$.
- [68] Ce raisonnement peut être transposé au cas de quatre bosons identiques, lorsque trois d'entre eux convergent au même point dans la voie du mouvement relatif à trois corps où se produit l'effet Efimov. Comme cette voie a un moment cinétique nul et une parité paire, cela implique que, dans une telle configuration, le moment cinétique interne total ℓ du système à quatre corps est porté par le mouvement relatif du quatrième boson par rapport au centre de masse des trois premiers bosons, ce qui conduit à une parité globale $(-1)^{\ell}$. Ceci montre que, pour $\ell \neq 0$, dans la limite unitaire, le système à quatre bosons dans un piège harmonique isotrope devrait avoir des états en interaction dans le secteur de parité $(-1)^{\ell+1}$ qui sont immunisés contre l'effet Efimov à trois corps. De tels états "universels" ont en effet été observés numériquement dans la référence [43], mais pour un moment cinétique interne total $\ell = 0$: cette observation ne peut être expliquée par notre raisonnement.
- [69] Si, pour simplifier, on omet d'écrire les autres variables, l'intégrale sur θ' , de la forme $\int_0^\pi d\theta' \tilde{K}(\theta, \theta') \tilde{\Phi}(\theta')$, est approximée par $\sum_{j=1}^{n_\theta} w(\theta_j) \tilde{K}(\theta_i, \theta_j) \tilde{\Phi}(\theta_j)$, où $(\theta_i)_{1 \leq i \leq n_\theta}$ est l'ensemble des valeurs discrètes (non équidistantes) de θ proposées par la méthode de Gauss-Legendre à n_θ points et $w(\theta_i)$ les poids correspondants. Pour rendre hermitienne la forme discrétisée de $\tilde{M}(s = 0)$ qui en résulte, il suffit de prendre comme inconnues $w(\theta_j)^{1/2} \tilde{\Phi}(\theta_j)$ et de multiplier l'équation aux valeurs propres par $w(\theta_i)^{1/2}$, ce qui conduit au noyau $[w(\theta_i)w(\theta_j)]^{1/2} \tilde{K}(\theta_i, \theta_j)$ sans modifier le spectre.
- [70] Avec les notations de la note précédente, on prend $[dx w_x(\theta_i)]^{1/2} \tilde{\Phi}_{m_z}^{(\ell)}(x, \theta_i)$ comme inconnues dans la zone $\rho > \rho_0$, et $[dt w(\psi_i)]^{1/2} \rho_0 e^t \tilde{\Phi}_{m_z}^{(\ell)}(x(t, \psi_i), \theta(t, \psi_i))$ comme inconnues dans la zone $\rho < \rho_0$. Ainsi, après multiplication de l'équation aux valeurs propres par $[dx w_x(\theta_i)]^{1/2}$ ou $[dt w(\psi_i)]^{1/2} \rho_0 e^t$, on obtient une matrice hermitienne. La dépendance en x du poids $w_x(\theta_i)$ résulte de la dépendance en x de θ_{\max} .
- [71] Le triangle correspond à la zone $1/\sqrt{2} \leq \Omega \leq \Lambda_{L=1}(0, \alpha)$.
- [72] La même conclusion doit s'appliquer aux valeurs propres Ω de la Fig. 3 [parité $(-1)^{\ell+1}$] qui sont au-dessus du bord supérieur externe du continuum, ainsi que pour celles qui sont au-dessous du bord inférieur externe du continuum (il en existe pour α proche de un).
- [73] Il est explicitement supposé ici qu'une racine potentielle imaginaire pure s_4 de l'Eq. (22) existerait au-dessus d'une certaine valeur seuil $\alpha_c(2; 2)$ du rapport de masse α , avec $s_4 = 0$ au seuil. On peut cependant imaginer un autre scénario, avec s_4 toujours une fonction continue de α : s_4 existerait pour tout rapport de masse $\alpha \in [1, \alpha_c(2; 1)]$, avec $\alpha_c(2, 1) = 13,6069\dots$ le seuil de l'effet Efimov à trois corps, auquel cas s_4 n'aurait pas besoin de s'annuler pour certaines valeurs de α . Ce scénario est cependant exclu (i) par les résultats expérimentaux pour le gaz unitaire de fermions de spin 1/2, qui a un rapport de masse $\alpha = 1$ (aucune perte significative à quatre corps n'est observée) et (ii) par les calculs numériques dans la conjecture sur le quatrième coefficient d'amas b_4 de ce gaz unitaire de fermions dans l'Appendice B [on trouve pour $\alpha = 1$ que l'opérateur $M(s)$ est positif pour tout s imaginaire pur, ce qui exclut l'existence d'une racine s_4].
- [74] Notons que $\Delta B_{n\uparrow, n\downarrow}$ est en fait égal à $B_{n\uparrow, n\downarrow}$ dès que les deux indices sont différents de zéro, puisque le grand potentiel du gaz parfait est la somme du grand potentiel de chaque composante de spin, et qu'aucun terme croisé $\uparrow\downarrow$ ne peut apparaître dans le développement en amas qui en résulte.
- [75] Elle peut être déduite de l'Eq. (7) de la référence [29] par intégration par parties.
- [76] Pour $\ell = 1$ dans le secteur de parité paire, la valeur minimale de A donnée par l'Eq. (B19) correspond à $x = x' \rightarrow +\infty$, $u = u' = 0$ dans l'Eq. (B14). Utilisons la notation $O = \langle \ell = 1, m_z = 0 | \mathcal{D}^{-1/2} K^{(\ell=1)} \mathcal{D}^{-1/2} | \ell = 1, m'_z = 0 \rangle$ et introduisons l'opérateur T dans l'espace des fonctions de la variable x tel que, dans la notation

de Dirac, $\langle x|T|x'\rangle = A/\text{ch}(x-x')$. Alors l'Eq. (B14) peut être réécrite comme $|\langle x, u|O|x', u'\rangle| \leq \langle x|T|x'\rangle$. Pour tout entier n supérieur strictement à 1, nous injectons $n-1$ relations de fermeture et utilisons l'inégalité triangulaire pour obtenir $|\langle x, u|O^n|x', u'\rangle| \leq \int_{\mathbb{R}} dx_1 \dots dx_{n-1} \int_{-1}^1 du_1 \dots du_{n-1} \langle x|T|x_1\rangle \dots \langle x_{n-1}|T|x'\rangle = 2^{n-1} \langle x|T^n|x'\rangle$. Alors $|\langle x, u|[(\mathbb{1}+O)^{-1} - \mathbb{1}]|x', u'\rangle| \leq \langle x| \frac{T}{\mathbb{1}-2T} |x'\rangle = \int_{\mathbb{R}} \frac{dk}{2\pi} e^{ik(x-x')} \frac{t_k}{1-2t_k}$, où nous avons utilisé un développement en série en puissances de O et où $t_k = \int_{\mathbb{R}} dy \frac{A}{\text{ch} y} e^{iky} = \pi A/\text{ch}(k\pi/2)$ est le spectre de T . En calculant l'intégrale sur k et en combinant le résultat avec l'identité $\langle \ell=1, m_z=0 | K_{\text{inv}}^{(\ell=1)} | \ell=1, m'_z=0 \rangle = \mathcal{D}^{-1/2} [(\mathbb{1}+O)^{-1} - \mathbb{1}] \mathcal{D}^{-1/2}$, on obtient l'Eq. (B20).

[77] Pour terminer le calcul, on peut utiliser l'hypothèse faible que les éléments de la matrice de K_{inv} sont uniformément bornés, que $|d_1(x) - d_1(x')| \left(\frac{e^{x+x'}}{4 \text{ch} x \text{ch} x'} \right)^{1/4} \leq |d_1(x)| \left(\frac{e^x}{2 \text{ch} x} \right)^{1/4} + |d_1(x')| \left(\frac{e^{x'}}{2 \text{ch} x'} \right)^{1/4}$, en vertu de $\exp(x') \leq 2 \text{ch } x'$ ou $\exp(x) \leq 2 \text{ch } x$ et de l'inégalité triangulaire $|d_1(x) - d_1(x')| \leq |d_1(x)| + |d_1(x')|$. On peut ensuite intégrer sur x' ou sur x (selon le terme considéré), en utilisant $\int_{\mathbb{R}} \frac{dx}{\text{ch}(x-x')} = \pi$, et on est finalement confronté à l'intégrale $\int_{\mathbb{R}} dx |d_1(x)| \left(\frac{e^x}{2 \text{ch} x} \right)^{1/4} < +\infty$.

[78] La valeur $k=0$, c'est-à-dire $n=0$, ne doit pas être incluse. Si on prend directement la limite $k \rightarrow 0$ dans l'Eq. (B30) on obtient le résultat absurde $\phi_{k=0}(t) = 0$. La manière correcte de prendre la limite est de diviser d'abord l'Eq. (B30) par ik . On trouve alors que $\phi_{k=0}(t)$ diverge comme $2t - b(S)$ quand $t \rightarrow -\infty$, donc ne satisfait pas à la condition aux limites (B35).

[79] Dans le numérique, nous extrapolons à $1/t_{\min} = 0$ en utilisant un ajustement cubique en $1/t_{\min}$, avec des résultats disponibles jusqu'aux valeurs minimales $1/|t_{\min}| = 1/200$ pour $\ell=0$ et $1/|t_{\min}| = 1/30$ pour $\ell>0$. Pour $\ell=0$, comme test du formalisme à t_{\min} fini, nous avons utilisé l'équation (B48) pour prédire l'erreur numérique dominante sur $\Delta B_{2,2}^{\text{conj}(\ell=0)}(0^+)$ due à la troncature t_{\min} , c'est-à-dire $(8\pi|t_{\min}|)^{-1} \int_{\mathbb{R}} dS [b(\infty) - b(S)] = 2,3(1)/(8\pi|t_{\min}|)$, qui est en accord avec le calcul numérique direct. Pour obtenir $b(S)$ à tout S , et donc l'intégrale de $b(\infty) - b(S)$, nous avons calculé numériquement les vecteurs propres correspondant aux premières valeurs propres Ω_n ($n \geq 1$) de $M^{(\ell=0)}(s=iS)$, et nous avons ajusté les fonctions correspondantes $\phi_n(t)$ [définies comme dans l'Eq. (91)] par une fonction sinusoïdale à trois paramètres $t \mapsto A_n \sin(k_n t - \theta_n/2)$ comme suggéré par l'Eq. (B30), où A_n est une amplitude complexe, k_n un nombre d'onde effectif et θ_n un déphasage. Les ajustements sont très bons, les valeurs obtenues de k_n s'accordent très bien avec la relation de dispersion (84); en posant $\theta(k_n, S) = \theta_n$, on trouve aussi que la condition de quantification (B36) est bien satisfaite; enfin, en extrapolant θ_n/k_n à $n=0$ linéairement en k_n^2 , on obtient $b(S)$. Pour être complet, on note que $b(S)$ est proche d'une gaussienne d'amplitude négative sur un fond non nul $b(\infty)$, c'est-à-dire $b(\infty) - b(S) \simeq 1,05 \times \exp(-0,668S^2)$. Comme la variable t dans l'Eq. (91) dépend de ρ_0 , il en va de même pour $b(\infty)$. Dans nos calculs, $\rho_0 = 2/5$ et nous trouvons $b(\infty) = 3,84(1)$. Plus analytiquement, on s'attend à ce qu'à grand S , le déphasage

$\theta(k, S)$ soit imposé par la troisième contribution dans l'Eq. (69), les deux premières devenant rapidement oscillantes et négligeables. On peut alors utiliser les résultats analytiques de la note [60]: en introduisant le déphasage $\theta_\psi(k)$ tel que $\psi(t) = \sin[kt - \theta_\psi(k)/2] + o(1)$ pour $t \rightarrow -\infty$, on s'attend à ce que $\theta(k, S) \rightarrow \theta_\psi(k) - 2k \ln(\rho_0/\sqrt{2})$ pour $S \rightarrow \infty$, donc $b(\infty) = b_\psi - 2 \ln(\rho_0/\sqrt{2})$ avec $b_\psi \simeq 1,33$. Nos résultats numériques répondent à ces attentes, ce qui constitue un bon test.

- [80] En pratique, nous avons utilisé la méthode de Gauss-Legendre avec jusqu'à 59 points, en utilisant θ plutôt que $u = \cos \theta$ comme variable d'intégration, avec le changement de fonction (A3) et l'inclusion du jacobien supplémentaire $(\sin \theta \sin \theta')^{1/2}$ dans le noyau matriciel.
- [81] L'intégration de $\Lambda_\ell(iS)/\cos \nu - 1$ sur $S \in \mathbb{R}$ en utilisant la première ligne de l'Eq. (78) conduit à $\int_{-1}^1 du P_\ell(u)/(1+u \sin \nu)$. La limite à grand ℓ de cette intégrale reproduit exactement l'Eq. (42) de la référence [28], comme nous l'avons vérifié en utilisant $P_\ell(u) = (2^\ell \ell!)^{-1} \frac{d^\ell}{du^\ell} [(u^2 - 1)^\ell]$, en intégrant ℓ fois par parties puis en utilisant la méthode de Laplace.
- [82] Le produit des quatre opérateurs unitaires sous la trace représente, dans l'espace de Hilbert à une particule, une rotation d'angle δ autour d'un axe quelconque. Il est facile d'évaluer explicitement cette trace en fonction des angles $\theta, \theta', \phi, \phi'$ dans le cas $\ell=1$, où chaque opérateur peut être remplacé par une matrice de rotation 3×3 bien connue dans l'espace tridimensionnel habituel. Ceci conduit à l'expression (B57).
- [83] De plus, l'espace de Hilbert a été limité en référence [13] aux chets $|x, u, \ell, m_z\rangle$ avec $x > 0$, comme la condition de symétrie (B58) le permet, ce qui revient à ajouter un projecteur supplémentaire $\mathcal{P}_{x>0}$. Cela complique les choses car $\mathcal{P}_{x>0}$ et U ne commutent pas. Heureusement, pour calculer les traces des opérateurs, on peut utiliser les propriétés $UP = PU = P$, $\mathcal{P}_{x<0} = U\mathcal{P}_{x>0}U$ et $\mathcal{P}_{x<0} + \mathcal{P}_{x>0} = \mathbb{1}$, ainsi que l'invariance de la trace par permutation circulaire des opérateurs, de sorte que $\text{Tr}(\mathcal{P}_{x<0}PAP) = \text{Tr}(UP_{x>0}UPAP) = \text{Tr}(\mathcal{P}_{x>0}PAP) = \frac{1}{2}\text{Tr}(PAP) = \frac{1}{2}\text{Tr}(AP)$ et $\text{Tr}(AP\mathcal{P}_{x<0}PB) = \text{Tr}(APP_{x>0}PB) = \frac{1}{2}\text{Tr}(APB)$, où A et B sont des opérateurs quelconques
- [84] On écrit l'opérateur M de la référence [13] avant sa restriction au sous-espace de symétrie (B58) sous la forme $\mathcal{D} + K_0 + UK_0U$; après prise en compte de la symétrie et restriction à l'espace de Hilbert des chets $|x, u, \ell, m_z\rangle$ avec $x > 0$, il devient $\mathcal{P}_{x>0}[\mathcal{D} + (1+U)K_0(1+U)]\mathcal{P}_{x>0}$. Les première, deuxième et troisième contributions au second membre de l'Eq. (B60) sont respectivement données par $-(\ell+1/2)/(2\pi)$ fois l'intégrale sur $S \in \mathbb{R}$ de $\text{Tr}_{\ell,\varepsilon}(\tilde{K}_0U)$, de $-\frac{1}{2}\text{Tr}_{\ell,\varepsilon}[\tilde{K}_0(U\tilde{K}_0U)]$ et de $-\text{Tr}_{\ell,\varepsilon}(\tilde{K}_0^2U)$, où nous avons posé $\tilde{K}_0 \equiv \mathcal{D}^{-1}K_0$ et l'indice ℓ, ε signifie que la trace est restreinte aux états $|\ell, m\rangle$ avec $(-1)^m = \varepsilon$. On notera que $UDU = \mathcal{D}$ et $[\mathcal{P}_{x>0}, \mathcal{D}] = 0$.
- [85] La fonction indépendante de ℓ en facteur du sinus dans l'intégrande de l'Eq. (B62) est une fonction lisse de δ sur $[0, \pi]$, et toutes ses dérivées d'ordre pair (y compris d'ordre zéro) s'annulent en $\delta=0$ et toutes ses dérivées d'ordre impair s'annulent en $\delta=\pi$. Par intégration par parties répétée (en intégrant toujours la fonction sinus), le terme tout intégré s'annule aux bords et on sort à chaque étape un facteur $(\ell+1/2)^{-1}$. Donc

l'équation (B62) est un $O[(\ell + 1/2)^{-n}]$ quand $\ell \rightarrow +\infty$,
pour tout entier n .